



**TUGAS AKHIR – RC141501**

**MODIFIKASI PERENCANAAN STRUKTUR  
GEDUNG FAKULTAS ILMU DAN ADMINISTRASI  
UNIVERSITAS BRAWIJAYA MENGGUNAKAN  
SISTEM RANGKA BRESING KONSENTRIS  
KHUSUS**

HANIEF HARIS SETIAWAN  
NRP 3113 100 030

Dosen Pembimbing I :  
Harun Al Rasyid, ST., MT., Ph.D

Dosen Pembimbing II :  
Ir. Isdarmanu, M.Sc

**JURUSAN TEKNIK SIPIL**  
Fakultas Teknik Sipil Dan Perencanaan  
Institut Teknologi Sepuluh Nopember  
Surabaya 2017



**FINAL PROJECT - RC141501**

**PLANNING MODIFICATION OF ADMINISTRATION  
DEPARTMENT BRAWIJAYA UNIVERSITY BUILDING  
STRUCTURE BY USING SPESIFIC CONCENTRICALLY  
BRACED FRAMES**

**HANIEF HARIS SETIAWAN  
NRP 3113 100 030**

**Major Supervisor  
HARUN AL RASYID, ST., MT., Ph.D  
Ir. ISDARMANU M.Sc**

**CIVIL ENGINEERING DEPARTMENT  
Faculty of Civil Engineering and Planning  
Sepuluh Nopember Institute of Technology  
Surabaya 2017**

**MODIFIKASI PERENCANAAN STRUKTUR  
GEDUNG FAKULTAS ILMU DAN ADMINISTRASI  
UNIVERSITAS BRAWIJAYA MENGGUNAKAN  
SISTEM RANGKA BRESING KONSENTRIS  
KHUSUS**

**TUGAS AKHIR**

Diajukan untuk Memenuhi Salah Satu  
Syarat Memperoleh Gelar Sarjana Teknik pada  
Program Studi S-1  
Jurusang Teknik Sipil  
Fakultas Teknik Sipil dan Perencanaan  
Institut Teknologi Sepuluh Nopember

Oleh :  
**HANIEF HARIS SETIAWAN**  
NRP. 3113 100 030

Disetujui oleh Dosen Pembimbing Tugas Akhir :

Pembimbing :

Harun Al Rasyid, ST., MT., PH.D. .....  
NIP. 198308082008121003

Ir Isdarmawati M.Sc  
NIP. 194709191976031001



**SURABAYA  
JANUARI, 2017**

**MODIFIKASI PERENCANAAN STRUKTUR GEDUNG  
FAKULTAS ILMU DAN ADMINISTRASI UNIVERSITAS  
BRAWIJAYA MENGGUNAKAN SISTEM RANGKA  
BRESING KONSENTRIS KHUSUS**

**Nama Mahasiswa** : Hanief Haris Setiawan  
**NRP** : 3113 100 030  
**Jurusan** : Teknik Sipil FTSP-ITS  
**Dosen Pembimbing** : Harun Al Rasyid, ST., MT.,Ph.D  
Ir. Isdarmunu M.Sc

**Abstrak**

Gedung baru Fakultas Ilmu Administrasi (FIA) UB merupakan sebuah bangunan perkuliahan yang terdiri dari 12 lantai dan semi basement yang pada awalnya didesain menggunakan struktur beton bertulang biasa dengan system struktur Moment Resisting Frame (MRF) . Perencanaan yang sebelumnya didesain dengan ukuran kolom dan balok yang relative besar sehingga menambah berat sendiri dan akan membebani pondasi.

Dalam tugas akhir ini dilakukan perencanaan ulang menggunakan struktur baja komposit dengan system rangka bresing konsentris khusus dengan jenis inverted V. Sistem rangka bresing konsentris khusus dikembangkan sebagai penahan gaya lateral dan memiliki tingkat kekakuan yang cukup baik dibanding system Moment Resisting Frame ( MRF ) sehingga lebih tepat untuk diterapkan pada gedung yang tinggi

Dari analisa dan hasil perhitungan diperoleh hasil, yaitu: tebal pelat atap 11 cm, pelat lantai gedung 11 cm, dimensi balok induk WF600.200.13.23, dimensi kolom CFT 600.600.15.15, dimensi bresing WF300.200.9.14, *base plate* menggunakan *fixed plate* dari katalog Continental Steel. Sambungan struktur utama direncanakan sebagai sambungan kaku dengan baut yang telah disesuaikan. Perencanaan pondasi menggunakan bore pile diameter 80 cm dengan tulangan utama 16D13 dengan kedalaman 4 m yang dimulai dari elevasi -3,5m. Sloof ukuran 40 cm x 60 cm dengan tulangan utama 5D22 dan tulangan geser Ø10-300.

Kata Kunci : Baja-Beton komposit, Bresing Konsentris, Bangunan perkuliahan

**PLANNING MODIFICATION OF ADMINISTRATION  
DEPARTMENT BRAWIJAYA UNIVERSITY BUILDING  
STRUCTURE BY USING SPESIFIC CONCENTRICALLY  
BRACED FRAMES (EBF)**

**Student Name** : Hanief Haris Setiawan  
**Student Registry Number** : 3113 100 030  
**Major** : Teknik Sipil FTSP-ITS  
**Supervisor** : Harun Al Rasyid, ST., MT.,Ph.D  
Ir. Isdarmanu M.Sc

**Abstrack**

The new building Administration Department Brawijaya University consist of 12 floors and a semi-basement originally designed using Reinforced Concrete with Moment Resisting Frame Structural System. In original design, the dimension of the columns and beams relatively large so it will affect to its self weight and this case will aggravating the foundation performance .

In this Final Project, The New Building will be modified using the Composite Steel with Spesific Concentrically Braced Frame (CBF) System Structure with Inverted V Brace. Concentrically Braced Frame developed as a Lateral Force Resisting and has a good level of rigidity than Moment Resisting Frame System Structure (MRF) and this design more precisely to be applied on this Building.

From analyzing and calculating, the results which are obtained are 11 cm thick plate of roof, 11 cm the plate of floor, WF600.200.13.23 the dimension of main beam, CFT 600.600.15.15 the dimension column, WF300.200.9.14 dimension of brace, base plate using fixed plate, from catalogue of Continental Steel. The main splicing structure is planned as rigid connection with suitable bolt. Foundation planning uses pile of Bore Pile with 80 cm diameter and 4 m depth that start from -3,5m from the surface. The dimension of Sloof is 40 cm X 60 cm with the main reinforcement 5D22 and shear reinforcement Ø 10-300.

Key words: Concrete-Steel Composite, Concentrically Braced Frame, University

Halaman ini sengaja dikosongkan

## **KATA PENGANTAR**

Puji syukur kepada Tuhan yang maha kuasa atas segala berkat dan kasih-Nya sehingga penulis dapat menyelesaikan Tugas Akhir dengan judul " Modifikasi Perencanaan Struktur Gedung Fakultas Ilmu Dan Administrasi Universitas Brawijaya Menggunakan Sistem Rangka Bresing Konsentris Khusus". Tugas Akhir ini disusun penulis dalam rangka memenuhi salah satu syarat kelulusan di Jurusan Teknik Sipil, Fakultas Teknik Sipil dan Perencanaan ITS.

Selama proses penyusunan Tugas Akhir ini, penulis mendapatkan banyak bimbingan, dukungan dan pengarahan dari berbagai pihak. Oleh karena itu, dengan segala kerendahan hati dan rasa hormat yang besar penulis menyampaikan rasa terima kasih yang tulus dan sebesar-besarnya kepada :

1. Orang tua dan keluarga yang selalu memberikan dukungan baik moril dan materil, dan menjadi motivasi penulis dalam menyelesaikan tugas akhir ini.
2. Bapak Harun Al Rasyid, ST., MT., Ph.D. dan Ir Isdarmanu M.Sc selaku dosen pembimbing yang selalu sabar dan tulus dalam memberikan bimbingan dan motivasi.
3. Teman-teman yang sangat membantu penyelesaian tugas ini Denny,Bryan dan Ilham dan Lainnya tidak bisa disebutkan satu persatu.
4. Semua pihak yang telah membantu dalam penyusunan Tugas Akhir ini. Seluruh dosen pengajar Jurusan Teknik Sipil FTSP-ITS, terima kasih atas ilmu yang telah diberikan. Seluruh staff dan karyawan Jurusan Teknik Sipil FTSP-ITS.

Penulis menyadari bahwa dalam proses penyusunan Tugas Akhir ini banyak terdapat kekurangan, oleh karena itu kritik dan saran dari berbagai pihak sangat diharapkan demi kesempurnaan tugas akhir ini. Penulis berharap laporan ini nantinya dapat memberikan manfaat bagi semua pihak.

Penyusun

Halaman ini sengaja dikosongkan

## **DAFTAR ISI**

### **HALAMAN JUDUL**

### **HALAMAN PENGESAHAN**

<b>ABSTRAK .....</b>	i
<b>ABSTRACT .....</b>	ii
<b>KATA PENGANTAR .....</b>	iv
<b>DAFTAR ISI.....</b>	v
<b>DAFTAR GAMBAR .....</b>	xv
<b>DAFTAR TABEL.....</b>	xxi
<b>BAB I PENDAHULUAN .....</b>	1
1.1 Latar Belakang .....	1
1.2 Rumusan Masalah .....	3
1.3 Maksud dan Tujuan .....	4
1.4 Batasan Masalah.....	5
1.5 Manfaat .....	5
<b>BAB II TINJAUAN PUSTAKA .....</b>	7
2.1 Umum.....	7
2.2 Struktur Komposit .....	8
2.2.1 Balok Komposit.....	8
2.2.2 Kolom Komposit.....	9
2.3 Aksi Komposit.....	11

2.4	Struktur Gedung .....	13
2.5	Sistem Rangka Bresing Konsentris.....	14
2.6	Struktur Basement .....	15
2.7	Pondasi .....	16
<b>BAB III METODOLOGI .....</b>		<b>21</b>
3.1	Umum.....	21
3.2	Bagan Alir Penyelesaian Tugas Akhir .....	22
3.3	Metodologi Pengerjaan Tugas Akhir .....	23
	3.3.1 Pengumpulan Data.....	23
	3.3.2 Studi Literatur.....	23
	3.3.3 Preliminary Design .....	24
	3.3.4 Pembebanan.....	24
	3.3.5 Perencanaan Struktur Sekunder .....	32
3.4	Konsep Perencanaan Struktur Baja.....	33
	3.4.1 Desain Balok .....	33
	3.4.2 Desain Kolom.....	38
	3.4.3 Desain Balok- Kolom.....	39
	3.4.4 Perencanaan Bresing Konsentris .....	42
	3.4.4.1 Parameter Kelangsungan .....	42
	3.4.4.2 Kuat Perlu .....	42

3.5	Sambungan .....	43
3.6	Pondasi .....	44
3.6.1	Kontrol Perencanaan Pondasi .....	45
3.6.2	Perhitungan Daya Dukung Ujung Tiang.....	45
3.6.3	Perhitungan daya dukung Selimut Tiang .....	45
3.6.4	Perhitungan daya dukung Ultimate Tiang .....	46
3.7	Perencanaan Basement .....	46
3.6.1	Perencanaan Pelat Basement .....	46
3.6.2	Kontrol Terhadap Bahaya Heaving .....	47

## **BAB IV HASIL DAN PEMBAHASAN ..... 49**

4.1	Perencanaan Struktur Sekunder .....	49
4.1.1	Perencanaan Pelat Lantai.....	49
4.1.2	Perencanaan Balok Anak.....	52
4.1.3	Perencanaan Balok Lift .....	60
4.1.4	Perencanaan Tangga dan Bordes .....	66
4.2	Pemodelan Struktur .....	82
4.2.1	Pembebanan Struktur Utama .....	83
4.2.2	Berat Total Bangunan.....	86
4.2.3	Kombinasi Pembebanan .....	86
4.2.4	Pembebanan Gempa Dinamis .....	86
4.2.5	Permodelan Pelat Sebagai Diafragma.....	87

4.2.6	Arah Pembebatan .....	87
4.2.7	Parameter Respon Spectrum Rencana .....	87
4.2.8	Faktor Reduksi Gempa (R).....	89
4.2.9	Faktor Keutamaan (I) .....	89
4.2.10	Analisis Struktur.....	90
4.3	Perencanaan Elemen Struktur Primer .....	100
4.3.1	Perencanaan Batang Bresing .....	100
4.3.2	Perencanaan Balok Induk .....	107
4.3.3	Perencanaan Kolom.....	115
4.3.4	Perencanaan Sambungan .....	121
4.4	Perencanaan Struktur Bawah .....	148
4.4.1	Perencanaan Pelat Dinding Penahan Tanah.....	148
4.4.2	Perencanaan Pelat Basement .....	151
4.4.3	Perencanaan Tie Beam Basement.....	153
4.4.4	Perencanaan Pondasi Tiang Bor .....	157
4.4.5	Perencanaan Poer .....	163
4.4.6	Perencanaan Kolom Pedestal.....	174
<b>BAB V</b>	<b>KESIMPULAN DAN SARAN.....</b>	<b>179</b>
5.1	Kesimpulan.....	179
5.2	Saran.....	180

## **DAFTAR PUSTAKA**

## **LAMPIRAN**

## **DAFTAR GAMBAR**

Gambar 1.1	Potongan Memanjang dan Melintang Gedung FIA UB .....	1
Gambar 1.2	Denah Gedung FIA UB .....	2
Gambar 2.1	Balok Komposit Dengan Penghubung Geser	8
Gambar 2.2	Balok Baja yang diberi Selubung Beton .....	8
Gambar 2.3	Profil baja berselubung beton dan profil baja Kingcross.....	8
Gambar 2.4	Profil Baja Berintikan Beton.....	9
Gambar 2.5	Lendutan Balok non Komposit .....	11
Gambar 2.6	Lendutan pada Balok Komposit.....	12
Gambar 2.7	Kekakuan Sistem Rangka Bresing Konsentris	13
Gambar 2.8	Struktur Basement .....	14
Gambar 2.9	Jenis Pondasi Dangkal .....	17
Gambar 2.10	Jenis Pondasi Dalam .....	18
Gambar 3.1	Alur Perencanaan Struktur Baja.....	28
Gambar 3.2	Peta Spektra 0,2 Detik Untuk Periode Ulang Gempa 2500 Tahun .....	32
Gambar 3.3	Peta Spektra 1 Detik Untuk Periode Ulang Gempa 2500 Tahun .....	33
Gambar 3.4	Nilai kc Untuk Kolom Dengan Ujung-Ujung Ideal .....	40

Gambar 3.5	Nilai kc Untuk Komponen Struktur (A)	
	Tidak Bergoyang (B) Bergoyang .....	40
Gambar 3.6	Pemodelan gaya uplift pelat basement.....	45
Gambar 3.7	Pemodelan Heaving .....	46
Gambar 4.1	Denah Pelat Lantai Gedung .....	50
Gambar 4.2	Detail Pelat Lantai Gedung.....	50
Gambar 4.3	Penulangan Lantai Perkantoran .....	51
Gambar 4.4	Denah Pelat Lantai Atap.....	52
Gambar 4.5	Detail Pelat Lantai Atap .....	52
Gambar 4.6	Penulangan Lantai Atap.....	53
Gambar 4.7	Denah Balok Lantai Atap .....	54
Gambar 4.8	Denah Balok Lantai Perkantoran .....	62
Gambar 4.9	<i>Lift</i> .....	63
Gambar 4.10	<i>Hoistway Section</i> .....	64
Gambar 4.11	Model Pembebanan Balok Penggantung <i>Lift</i> .....	66
Gambar 4.12	Diagram Momen Balok Penggantung <i>Lift</i> ...	67
Gambar 4.13	Denah Tangga.....	71
Gambar 4.14	Tampak Samping Tangga.....	71
Gambar 4.15	Denah Bordes .....	73
Gambar 4.16	Tampak Samping Tangga.....	73
Gambar 4.17	Model Pembebanan Balok Utama Tangga....	76

Gambar 4.18	Bidang M Balok Tangga.....	78
Gambar 4.19	Bidang D Balok Tangga .....	79
Gambar 4.20	Bidang N Balok Tangga .....	79
Gambar 4.21	Analisa Lendutan Balok Utama Tangga .....	82
Gambar 4.22	Pembebanan Balok Penumpu Tangga.....	83
Gambar 4.23	Analisa Lendutan Balok Penumpu Tangga...	85
Gambar 4.24	Denah Struktur Gedung FIA UB .....	88
Gambar 4.25	Permodelan Gedung FIA UB.....	89
Gambar 4.26	Grafik Spektral Percepatan Gempa Wilayah Malang .....	95
Gambar 4.27	Daerah Kolom Yang Ditinjau .....	97
Gambar 4.28	Hasil Output SAP 2000 Kolom .....	98
Gambar 4.29	Element Arah X.....	108
Gambar 4.30	Gaya Tekan Bresing Arah X .....	109
Gambar 4.31	Gaya Tarik Bresing Arah X .....	109
Gambar 4.32	Element Arah Y .....	112
Gambar 4.33	Gaya Tekan Bresing Arah Y .....	113
Gambar 4.34	Gaya Tarik Bresing Arah Y .....	113
Gambar 4.35	Elemen Balok yang Ditinjau Arah X .....	116
Gambar 4.36	Gaya Dalam Balok Arah X .....	117
Gambar 4.37	Elemen Balok yang Ditinjau Arah Y .....	120
Gambar 4.38	Gaya Dalam Balok Arah Y .....	121

Gambar 4.39	Kolom CFT HSS 600.600.15.15 .....	125
Gambar 4.40	Detail Pelat Siku pada Gelagar .....	130
Gambar 4.41	Detail Pelat Siku pada Gelagar .....	131
Gambar 4.42	Sambungan Balok Anak dengan Balok Induk	132
Gambar 4.43	Detail Pelat Siku Pada Gelagar .....	134
Gambar 4.44	Sambungan Balok Utama Tangga dengan Balok Penumpu Tangga .....	135
Gambar 4.45	Detail Pelat Siku pada Gelagar .....	136
Gambar 4.46	Sambungan Balok Penumpu Tangga dengan Kolom .....	137
Gambar 4.47	Pemodelan Sambungan Antar Kolom.....	139
Gambar 4.48	Sambungan Balok Induk dengan Kolom .....	141
Gambar 4.49	Sambungan Bracing dengan Pelat Buhul.....	148
Gambar 4.50	Arah Beban Sumbu X pada Base Plate .....	152
Gambar 4.51	Arah Beban Sumbu Y pada Base Plate .....	153
Gambar 4.52	Base Plate pada Kolom.....	156
Gambar 4.53	Tampak Samping Base Plate dan Kolom Pedestal .....	156
Gambar 4.54	Pemodelan Basement.....	158
Gambar 4.55	Gaya yang bekerja pada dinding basement...	159
Gambar 4.56	Penampang Sloof 400 x 600 .....	166
Gambar 4.57	Perencanaan Poer.....	171
Gambar 4.58	Tampak atas Kolom dan Poer.....	171

Gambar 4.59	Geser Ponds Akibat Tiang Pancang.....	171
Gambar 4.60	Pemodelan Perhitungan Penulangan arah X .	172
Gambar 4.61	Pemodelan Perhitungan Penulangan arah Y .	173
Gambar 4.62	Hasil Analisis Kolom Pedestal dengan PCACOL .....	174
Gambar 4.63	Penulangan Kolom Pedestal .....	174

## **DAFTAR TABEL**

Tabel 3.1	Berat Sendiri Bangunan Dan Komponen Gedung .....	23
Tabel 3.2	Koefisien Situs $F_a$ .....	26
Tabel 3.3	Koefisien Situs $F_v$ .....	26
Tabel 3.4	Klasifikasi Situs.....	28
Tabel 3.5	Kategori Resiko Gedung Dan Struktur Lainnya Untuk Beban Gempa.....	28
Tabel 3.6	Faktor Keutamaan Gedung .....	28
Tabel 3.7	Kategori Desain Seismik Berdasarkan Parameter Respons Percepatan Pada Perioda Pendek .....	29
Tabel 3.8	Kategori Desain Seismik Berdasarkan Parameter Respons Percepatan Pada Perioda 1 Detik .....	29
Tabel 3.9	Mencari Nilai $\omega$ .....	37
Tabel 4.1	Tabel Perhitungan N Rata-Rata .....	91
Tabel 4.2	Parameter Respon Gempa Wilayah Malang Untuk Kelas Situs B (Batuan).....	94
Tabel 4.3	Perhitungan Beban .....	98
Tabel 4.4	Rasio Partisipasi Massa .....	99
Tabel 4.5	Kontrol Waktu Getar Alami Fundamental ....	100

Tabel 4.6	Reaksi Dasar Struktur .....	102
Tabel 4.7	Gaya Geser Dasar Akibat Beban Gempa .....	107
Tabel 4.8	Kontrol Simpangan Antar Lantai Akibat Beban Gempa Arah X.....	104
Tabel 4.9	Kontrol Simpangan Antar Lantai Akibat Beban Gempa Arah Y.....	105

## BAB I

### PENDAHULUAN

#### 1.1 Latar Belakang

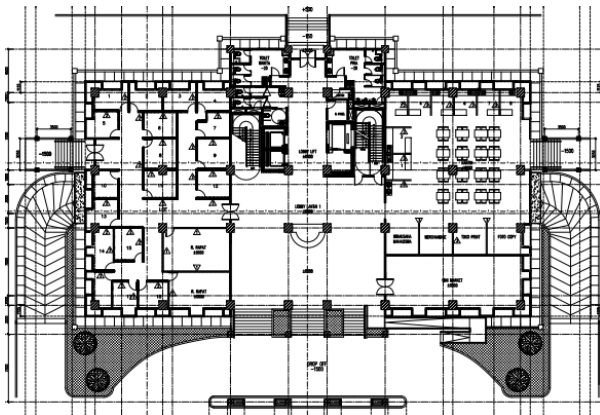
Salah satu permasalahan dalam pembangunan infrastruktur di kota Malang adalah keterbatasan lahan yang tersedia. Lahan yang semakin sempit membuat pembangunan gedung yang dahulu direncanakan melebar menjadi bertingkat. Sementara itu, untuk membangun sebuah gedung bertingkat dibutuhkan waktu yang cukup lama dalam pengrajananya. Kemajuan teknologi terutama di bidang konstruksi membuat pemilik gedung(owner) hanya akan memilih bahan mana yang lebih cepat pengrajananya, ekonomis, dan kuat untuk struktur utama gedung tersebut . Gedung baru Fakultas Ilmu Administrasi Universitas Brawijaya ( FIA UB ) adalah salah satu dari gedung perkuliahan bertingkat yang ada di Kota Malang



Gambar 1.1 Potongan memanjang dan melintang Gedung FIA UB

Gedung ini terdiri dari 12 Lantai dan 1 lantai semi basement, dimana di setiap lantainya terdapat ruangan dengan bentang balok terpanjang, yaitu 7 meter. Bangunan ini secara keseluruhan dibangun dengan elemen struktur beton bertulang dengan system struktur Moment Resisting Frame. Untuk

mendapatkan kinerja struktur yang lebih baik dan lebih efektif dalam meningkatkan kapasitas pembebanan serta kekakuan bangunan, maka elemen struktur beton bertulang tersebut akan direncanakan menggunakan struktur beton-baja komposit dan penambahan bresing konsentris khusus sebagai sistem penahan gaya lateral.



Gambar 1.2 Denah Gedung FIA UB

Penggunaan baja komposit akan memanfaatkan seluruh penampang untuk menerima beban karena adanya interaksi antara komponen struktur baja dan beton dengan karakteristik dasar bahan yang dioptimalkan, sehingga dengan penampang yang lebih kecil, beban yang mampu dipikul sama dengan beton bertulang biasa

Keunggulan dalam sistem komposit adalah (1) Penghematan berat baja, (2) Penampang balok yang digunakan lebih kecil, (3) Kekakuan lantai meningkat, (4) Kapasitas menahan beban lebih besar (Salmon,1991)

Sistem penahan gaya lateral yang digunakan dalam modifikasi gedung Fakultas Ilmu dan Administrasi ini adalah sistem struktur Sistem Rangka Bresing Konsentris Khusus .

Sistem ini dipilih karena memiliki keuntungan yang tidak dimiliki sistem lain, yaitu lebih mudah dalam hal perbaikan kerusakan struktur. Selain itu, Sistem Rangka Bresing Konsentris Khusus (SRBKK) membuat elemen struktur akan menjadi lebih kaku . Peraturan yang dipergunakan pada modifikasi perencanaan ini menggunakan peraturan terbaru SNI 1729-2015 tentang Spesifikasi untuk bangunan gedung baja structural, SNI 1726-2012 tentang Tata cara perencanaan ketahanan gempa untuk struktur bangunan gedung dan non gedung, PPIUG 1983 dan SNI 1727-2013 mengenai Peraturan Pembebatan

Tujuan akhir dari Tugas Akhir ini adalah menghasilkan perencanaan struktur gedung menggunakan material Baja dengan system penahan lateral Bresing Konsentris yang memenuhi persyaratan keamanan struktur berdasar peraturan yang berlaku di Indonesia.

## 1.2 Rumusan Masalah

Dari uraian latar belakang di atas, maka untuk perencanaan struktur gedung FIA Universitas Brawijaya dengan sistem rangka bresing konsentris khusus, permasalahan yang ditinjau antara lain:

a. Permasalahan Utama

Bagaimana merencanakan modifikasi Gedung Fakultas Ilmu dan Administrasi ( FIA )Universitas Brawijaya dengan menggunakan system struktur bresing konsentris khusus ?

b. Detail Permasalahan

1. Bagaimana menentukan preliminary design penampang profil baja yang akan dipilih?
2. Bagaimana merencanakan struktur sekunder yang meliputi struktur atap, pelat lantai, balok anak dan tangga?
3. Bagaimana cara menghitung pembebatan setelah adanya modifikasi?
4. Bagaimana memodelkan dan menganalisa struktur dengan menggunakan program bantu SAP 2000?

5. Bagaimana merencanakan struktur utama yang meliputi balok dan kolom baja?
6. Bagaimana merencanakan sambungan yang memenuhi kriteria perencanaan struktur?
7. Bagaimana merencanakan struktur bawah yang menggunakan bore pile ?
8. Bagaimana menuangkan hasil bentuk desain dan analisa ke dalam bentuk gambar teknik ?

### 1.3 Maksud dan Tujuan

Maksud dan tujuan dalam penulisan proposal tugas akhir ini adalah sebagai berikut :

#### a. Tujuan Utama

Memperoleh hasil perencanaan struktur baja gedung Fakultas Ilmu dan Administrasi ( FIA ) Universitas Brawijaya dengan menggunakan sistem struktur bresing konsentris khusus

#### b. Detail Tujuan

1. Mampu merencanakan preliminary design penampang profil baja yang akan dipilih.
2. Mampu merencanakan struktur sekunder yang meliputi struktur atap, pelat lantai, balok anak dan tangga.
3. Mampu menentukan pembebanan yang terjadi dengan adanya modifikasi.
4. Mampu memodelkan dan menganalisa struktur dengan menggunakan program bantu SAP 2000.
5. Mampu merencanakan struktur utama yang meliputi balok dan kolom baja.
6. Mampu merencanakan sambungan yang memenuhi kriteria perencanaan struktur.
7. Mampu merencanakan struktur bawah yang menggunakan bore pile
8. Dapat menuangkan hasil bentuk desain dan analisa ke dalam bentuk gambar teknik.

## 1.4 Batasan Masalah

Untuk menghindari penyimpangan pembahasan dari masalah yang telah diuraikan di atas, maka diperlukan pembatasan masalah yang meliputi :

1. Perencanaan gedung ini dimaksudkan sebagai bahan studi sehingga tidak mempertimbangkan aspek ekonomi
2. Desain struktur berdasarkan pada SNI 1729-2015
3. Pembebatan dihitung berdasarkan SNI 1727-2013 dan dengan pertimbangan dari PPIUG 1983
4. Perhitungan beban gempa berdasarkan SNI 03-1726-2012
5. Tidak membahas detail metode pelaksanaan.

## 1.5 Manfaat

Manfaat yang bisa diharapkan dari modifikasi perencanaan ini adalah:

1. Hasil akhir dari modifikasi perencanaan ini dapat menjadi referensi untuk perencanaan gedung dengan menggunakan struktur baja.
2. Memberikan alternatif struktur lain yang lebih efisien

## **BAB II**

### **TINJAUAN PUSTAKA**

#### **2.1 Umum**

Pada abad ke-19, muncul material baru yang dinamakan dengan baja yang merupakan perpaduan antara unsur besi dan karbon dimana material baja ini memiliki kadar karbon yang lebih sedikit daripada kadar besi tuangnya . Sejak akhir abad ke-19, metode pengolahan baja yang murah dikembangkan secara luas. Kerangka baja yang menyanggah konstruksi pelat beton bertulang yang dicor di tempat, sebelumnya direncanakan dengan asumsi pelat beton dan baja bekerja secara terpisah dalam menahan beban. Pengaruh komposit dari baja dan beton yang bekerja bersamaan tidak diperhitungkan. Pengabaian ini didasarkan pada alasan bahwa lekatan antara lantai atau pelat beton dengan puncak balok baja tidak dapat diandalkan. Namun dengan berkembangnya teknik pengelasan, pemakaian alat penyambung geser (shear connector) mekanis menjadi praktis untuk menahan gaya geser horizontal yang timbul ketika batang terlentur ( Salmon & Johnson, 1991 )

Struktur baja komposit dalam aplikasinya berperan sebagai elemen dari bangunan, baik sebagai kolom, balok dan pelat. Struktur balok komposit terdiri dari dua tipe, yaitu balok komposit dengan penghubung geser dan balok komposit terselubung beton. Kolom komposit dapat berupa pipa baja yang dicor beton atau baja profil yang terselimuti beton dengan tulangan longitudinal dan diikat dengan tulangan lateral. Pada struktur pelat komposit digunakan pelat beton yang bagian bawahnya diperkuat dek baja bergelombang. (Widiarsa & Deskata, 2007)

Sistem struktur Bresing Konsentris Khusus merupakan pengembangan dari system portal tidak berpengaku atau yang lebih dikenal sebagai Moment Resisting Frame(MRF). Sistem ini dikembangkan sebagai system penahan gaya lateral dan memiliki kekakuan yang lebih baik dibanding MRF. Kekakuan system ini

terjadi akibat adanya elemen pengaku yang berfungsi sebagai penahan gaya lateral struktur

## **2.2 Struktur Komposit**

Batang komposit adalah batang yang terdiri dari profil baja dan beton yang digabung untuk memikul beban tekan atau lentur. Batang pemikul lentur disebut dengan balok komposit, sedangkan batang pemikul tekan disebut dengan kolom komposit

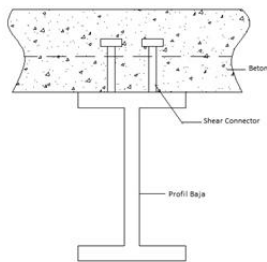
### **2.2.1 Balok Komposit**

Balok adalah elemen struktur penahan beban yang bekerja tegak lurus dengan sumbu longitudinalnya. Balok dirancang untuk menahan dan mentransfer beban menuju elemen kolom

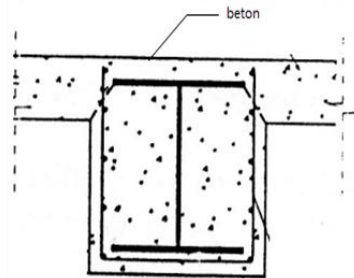
#### **2.2.1.1 Tipe Balok Komposit**

Ada dua tipe dari balok komposit, antara lain:

- a. Balok komposit dengan penghubung geser
- b. Balok baja yang diberi selubung beton



*Gambar 2.1 Balok komposit  
Dengan penghubung geser*



*Gambar 2.2 Balok baja  
yang diberi selubung  
beton*

*Sumber : Isdarmanu,Marwan . Diktat Kuliah Struktur Baja*

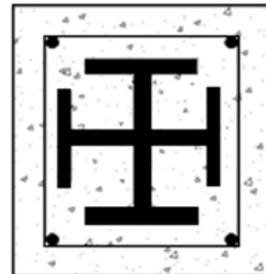
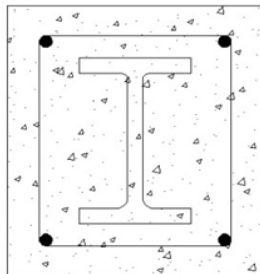
## 2.2.2 Kolom Komposit

### 2.2.2.1 Tipe Kolom Komposit

Ada dua tipe kolom komposit, yaitu :

a. Kolom baja berselubung beton

Kolom komposit yang terbuat dari profil baja yang diberi selubung beton di sekelilingnya

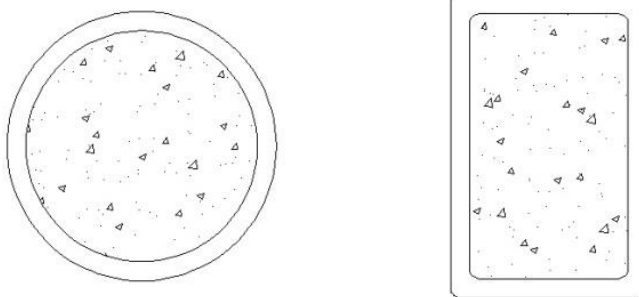


*Gambar 2.3 Profil baja berselubung beton dan profil  
baja kingcross*

*Sumber : Isdarmanu,Marwan . Diktat Kuliah Struktur  
Baja 2*

b. Kolom baja berintikan beton

Kolom komposit dengan penampang baja berongga yang diisi dengan beton



*Gambar 2.4 Profil baja berintikan beton*

*Sumber : Isdarmanu, Marwan . Diktat Kuliah  
Struktur Baja 2*

Pada kolom baja berselubung beton, penambahan beton akan menunda kegagalan local pada profil baja serta memiliki ketahanan terhadap korosi yang lebih baik ketimbang kolom baja berintikan beton. Material baja pada kolom baja berselubung beton berfungsi sebagai penahan beban yang terjadi setelah beton mengalami kegagalan.

Pada kolom baja terisi beton, material baja berfungsi sebagai wadah bagi cor coran beton dan berfungsi paling krusial bagi perencanaan. Kolom baja terisi beton memiliki keuntungan pada saat dilaksanakan di lapangan, karena pengrajaannya cepat dan tidak sukar dalam pengrajaannya

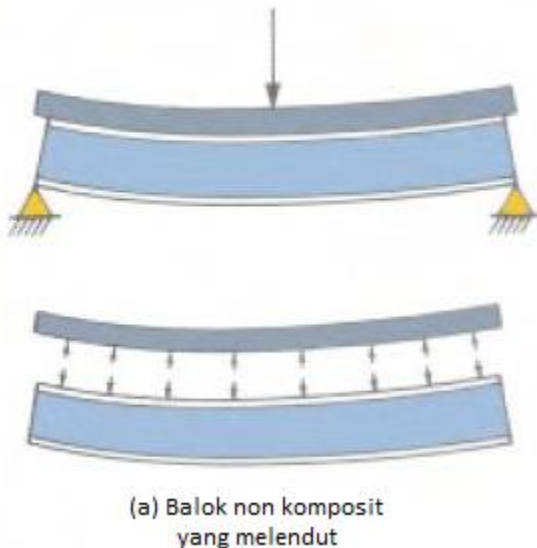
Kolom komposit menjadi solusi efektif bagi permasalahan yang ada pada desain yang praktis. Salah satunya, yaitu jika beban yang terjadi pada struktur kolom sangat besar, maka penambahan material beton pada struktur kolom dapat memikul beban yang terjadi, sehingga ukuran profil baja yang dipergunakan tidak terlalu besar(*Leon & Griffis, 2005* )

### **2.3 Aksi Komposit**

Aksi komposit terjadi apabila dua batang structural pemikul beban seperti pada pelat beton dan balok baja sebagai penyangganya dihubungkar secara menyeluruh dan mengalami defleksi dalam satu kesatuan

a. Balok non-komposit

Pada balok non komposit, pelat beton dan balok baja tidak bekerja bersama-sama sebagai satu kesatuan karena tidak terpasang alat penghubung geser. Apabila balok non komposit mengalami defleksi pada saat dibebani, maka permukaan bawah pelat beton akan tertarik dan mengalami perpanjangan, sedangkan permukaan atas dari balok baja akan tertekan dan mengalami perpendekan.

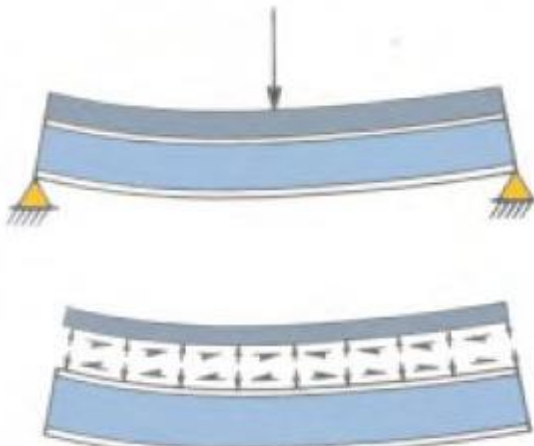


(a) Balok non komposit  
yang melendut

Gambar 2.5 Lendutan Balok non Komposit  
Sumber : Salmon dkk, 1991

b. Balok komposit

Pada balok komposit, pelat beton dan balok baja bekerja bersama-sama sebagai satu kesatuan karena terpasang alat penghubung geser. Apabila balok komposit mengalami defleksi pada saat dibebani. Pada bidang kontak tersebut bekerja gaya geser vertical dan horizontal, dimana gaya geser horizontal tersebut akan menahan perpanjangan serat bawah pelat dan perpendekan serat atas balok baja



(b) Balok komposit yang melendut

*Gambar 2.6 Lendutan pada balok komposit  
Sumber : Salmon dkk, 1991*

## 2.4 Struktur Gedung

Pembagian keteraturan gedung diatur dalam SNI 1726-2012 pasal 7.3.2 . Adapun penggolongannya sebagai berikut :

### 1. Struktur Gedung Beraturan

Pengaruh gempa rencana struktur gedung beraturan dapat ditinjau sebagai pengaruh beban gempa static ekivalen

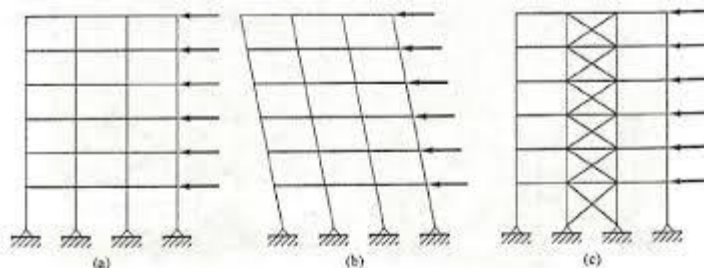
### 2. Struktur Gedung Tidak Beraturan

Pengaruh gempa rencana struktur menggunakan analisa respons dinamik

## 2.5 Sistem Rangka Bresing Konsentris( SRBK )

Pada struktur gedung tinggi, kekakuan merupakan syarat penting untuk diperhatikan, karena kekakuan dapat menahan gaya beban lateral. Adanya aksi gaya beban lateral pada portal dapat menimbulkan momen lentur, puntir, gaya geser dan gaya aksial pada semua elemen struktur. Gaya tersebut menyebabkan perlemahan pada struktur tersebut . Dan untuk mengatasinya adalah dengan menggunakan rangka pengaku bresing

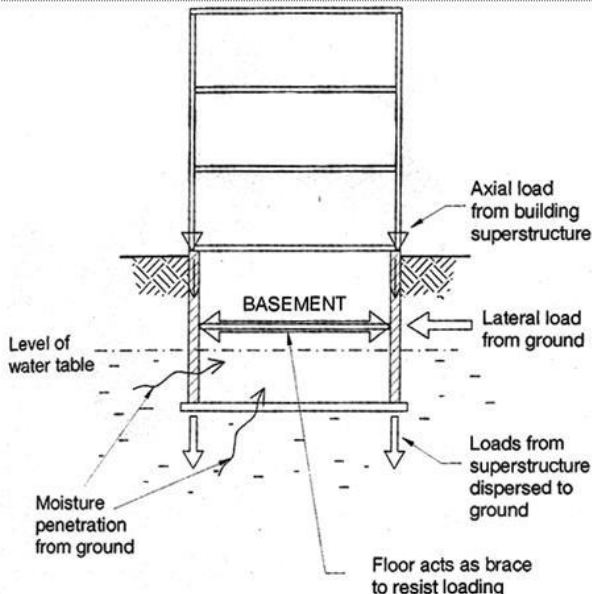
Sistem Rangka Bresing Konsentris merupakan pengembangan dari system Moment Resisting Frame (MRF). Sistem Rangka Bresing Konsentris dikembangkan sebagai system penahan gaya lateral dan memiliki kekakuan lebih baik dibanding Moment Resisting Frame. Sistem ini menerapkan penyerapan energy melalui peleahan pelat buhul. Sistem ini daktilitasnya kurang begitu baik sehingga kegagalannya ditentukan oleh tekuk bresing.



*Gambar 2.7 Kekakuan Sistem Rangka Bresing Konsentris  
Sumber : Salmon dkk, 1991*

## 2.6 Struktur Basement

Perencanaan dinding basement dapat juga difungsikan sebagai dinding penahan tanah. Karena lantai basement berada di bawah tanah, maka dinding basement mengalami tegangan tanah, tegangan air tanah horizontal dan akibat kendaraan



Gambar 2.8 Struktur Basement

Sumber : Heinemann, 1987

## 2.7 Pondasi

Pondasi adalah struktur bagian bawah bangunan yang berhubungan langsung dengan tanah dan suatu bagian dari konstruksi yang berfungsi menahan gaya beban diatasnya. Pondasi dibuat menjadi satu kesatuan dasar bangunan yang kuat yang terdapat dibawah konstruksi. Pondasi dapat didefinisikan sebagai bagian paling bawah dari suatu konstruksi yang kuat dan stabil (*solid*).

Dalam perencanaan pondasi untuk suatu struktur dapat digunakan beberapa macam tipe pondasi. Pemilihan pondasi berdasarkan fungsi bangunan atas (*upper structure*) yang akan dipikul oleh pondasi tersebut, besarnya beban dan beratnya bangunan atas, keadaan tanah dimana bangunan tersebut didirikan dan berdasarkan tinjauan dari segi ekonomi.

Semua konstruksi yang direncanakan, keberadaan pondasi sangat penting mengingat pondasi merupakan bagian terbawah dari bangunan yang berfungsi mendukung bangunan serta seluruh beban bangunan tersebut dan meneruskan beban bangunan itu, baik beban mati, beban hidup dan beban gempa ke tanah atau batuan yang berada dibawahnya. Bentuk pondasi tergantung dari macam bangunan yang akan dibangun dan keadaan tanah tempat pondasi tersebut akan diletakkan, biasanya pondasi diletakkan pada tanah yang keras.

Pondasi bangunan biasanya dibedakan atas dua bagian yaitu pondasi dangkal (*shallow foundation*) dan pondasi dalam (*deep foundation*), tergantung dari letak tanah kerasnya dan perbandingan kedalaman dengan lebar pondasi. Pondasi dangkal kedalamannya kurang atau sama dengan lebar pondasi ( $D \leq B$ ) dan dapat digunakan jika lapisan tanah kerasnya terletak dekat dengan permukaan tanah. Sedangkan pondasi dalam digunakan jika lapisan tanah keras berada jauh dari permukaan tanah.

Pondasi dapat digolongkan berdasarkan kemungkinan besar beban yang harus dipikul oleh pondasi :

### 1. Pondasi dangkal

Pondasi dangkal disebut juga pondasi langsung, pondasi ini digunakan apabila lapisan tanah pada dasar pondasi yang mampu mendukung beban yang dilimpahkan terletak tidak dalam (berada relatif dekat dengan permukaan tanah). Beberapa contoh pondasi dangkal adalah sebagai berikut:

#### a. Pondasi telapak

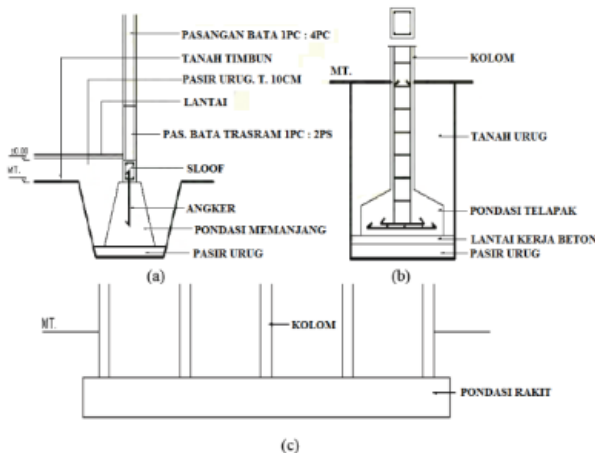
Pondasi yang berdiri sendiri dalam mendukung kolom atau pondasi yang mendukung bangunan secara langsung pada tanah bilamana terdapat lapisan tanah yang cukup tebal dengan kualitas baik yang mampu mendukung bangunan itu pada permukaan tanah atau sedikit dibawah permukaan tanah. (Gambar 2.9b)

#### b. Pondasi memanjang

Pondasi yang digunakan untuk mendukung sederetan kolom yang berjarak dekat sehingga bila dipakai pondasi telapak sisinya akan terhimpit satu sama lainnya. (Gambar 2.9a)

#### c. Pondasi rakit (raft foundation)

Pondasi yang digunakan untuk mendukung bangunan yang terletak pada tanah lunak atau digunakan bila susunan kolom-kolom jaraknya sedemikian dekat disemua arahnya, sehingga bila menggunakan pondasi telapak, sisi-sisinya berhimpit satu sama lainnya. (Gambar 2.9c)



Gambar 2.9 Jenis Pondasi Dangkal  
(*Suyono Sostrodarsono, Kazua Nakazawa.1984*)

## 2. Pondasi dalam

Pondasi dalam adalah pondasi yang meneruskan beban bangunan ke tanah keras atau batu yang terletak jauh dari permukaan. Pondasi dalam adalah pondasi yang meneruskan beban bangunan ke tanah keras atau batu yang terletak jauh dari permukaan, seperti :

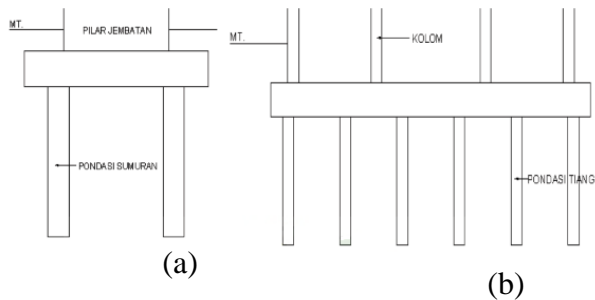
### a. Pondasi sumuran (*pier foundation*)

Pondasi sumuran merupakan pondasi peralihan antara pondasi dangkal dan pondasi tiang, digunakan bila tanah dasar yang kuat terletak pada kedalaman yang relatif dalam, dimana pondasi sumuran nilai kedalaman ( $D_f$ ) dibagi lebar ( $B$ ) lebih kecil atau sama dengan 4, sedangkan pondasi dangkal  $D_f/B \leq 1$ . (Gambar 2.2d)

### b. Pondasi tiang (*pile foundation*)

Pondasi tiang digunakan bila tanah pondasi pada kedalaman yang normal tidak mampu mendukung bebannya dan tanah kerasnya terletak pada kedalaman yang sangat dalam. Pondasi tiang

umumnya berdiameter lebih kecil dan lebih panjang dibanding dengan pondasi sumuran. (Gambar 2.2e)



Gambar 2.10 Jenis Pondasi Dalam  
(*Suyono Sostrodarsono, Kazua Nakazawa. 1984*)

Halaman ini sengaja dikosongkan

## BAB III

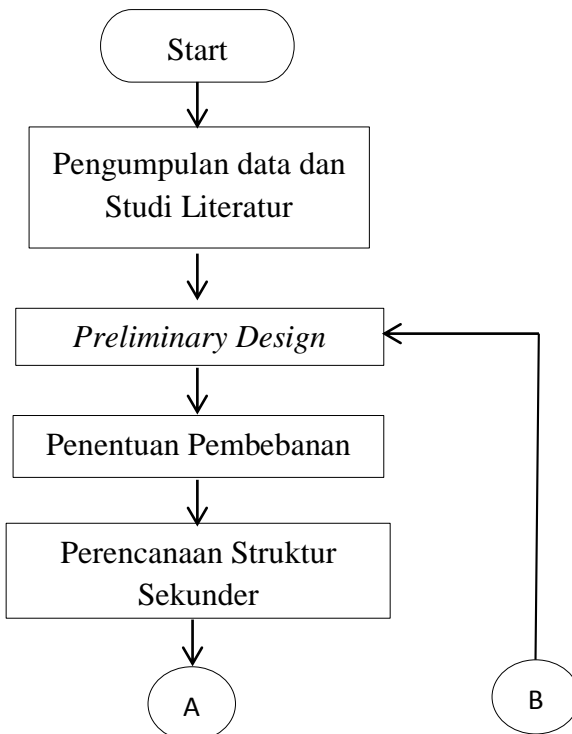
# METODOLOGI

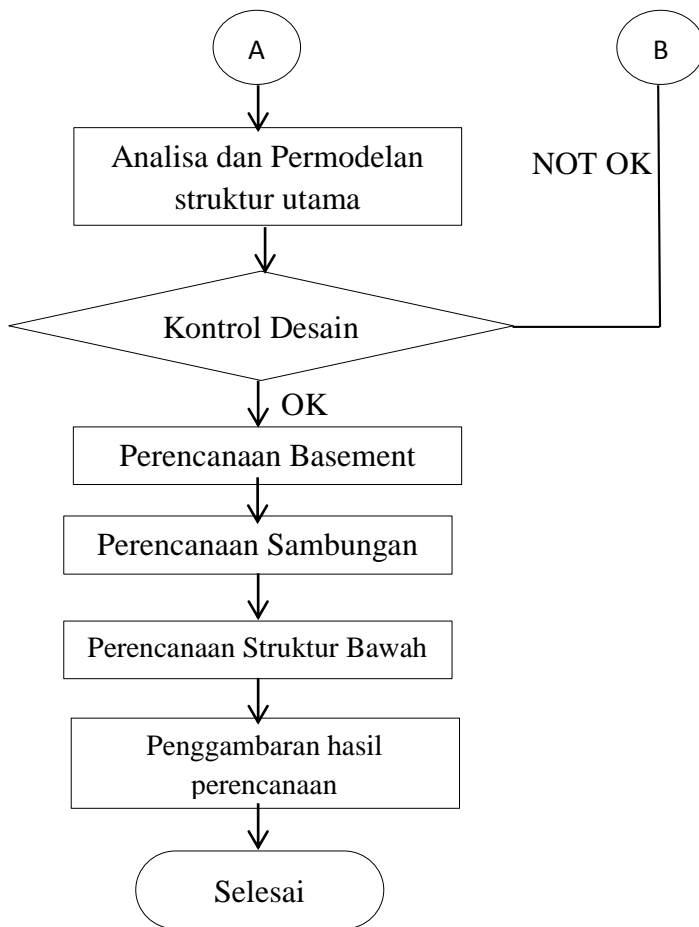
### 3.1 Umum

Sebelum mengerjakan Tugas Akhir, maka perlu disusun langkah-langkah pelaksanaan sesuai dengan uraian kegiatan yang akan dilakukan. Urutan pelaksanaannya dimulai dari pengumpulan dan studi terhadap literatur beserta pedoman perancangan, hingga mencapai tujuan akhir dari analisa struktur yang akan disajikan.

### 3.2 Bagan Alir Penyelesaian Tugas Akhir

Langkah-langkah yang dilakukan untuk menyelesaikan tugas akhir ini adalah sebagai berikut :





Gambar 3.1 Alur Perencanaan Struktur Baja

### **3.3 Metodologi penggerjaan tugas akhir**

Dari diagram alir diatas, dapat dijelaskan metodologi yang dipergunakan dalam penyusunan tugas akhir ini adalah sebagai berikut :

#### **3.3.1 Pengumpulan data**

Mencari data umum bangunan dan data tanah Fakultas Ilmu dan Administrasi Universitas Brawijaya

Data umum bangunan :

1. Nama Gedung :Gedung Fakultas Ilmu Administrasi(FIA),Universitas Brawijaya
2. Lokasi :Jl.M.T.Haryono, Ketawanggede, Kec. Lowokwaru, Kota Malang, Jawa Timur
3. Fungsi :Bangunan Perkuliahian/Sekolah
4. Jumlah Lantai : 1 Basement dan 12 Lantai
5. Tinggi Gedung : 48,5 meter
6. Material struktur: Beton Bertulang
7. Kondisi tanah : Tanah keras
8. Data tanah : Terlampir

#### **3.3.2 Studi Literatur**

Melakukan studi terhadap literature yang berkaitan dengan topic Tugas Akhir mengenai perencanaan bangunan struktur baja komposit. Literatur yang dipergunakan adalah sebagai berikut :

1. Tata Cara Perencanaan Struktur Baja Untuk Bangunan Gedung (SNI 1729-2015)
2. Tata Cara Perhitungan Struktur Beton Untuk Bangunan Gedung (SNI 2847-2013)
3. Tata Cara Perencanaan Ketahanan Gempa Untuk Rumah Dan Gedung (SNI 03-1726-2012)
4. Peraturan Pembebatan Indonsia Untuk Gedung (PPIUG 1983)

5. Buku ajar Struktur Baja 2 Institut Teknologi Sepuluh Nopember
6. Buku ajar pondasi dangkal Herman Wahyudi

### **3.3.3 Preliminary Design**

Adapun Tugas Akhir ini akan dimodifikasi perencanaannya menggunakan material baja dengan data sebagai berikut :

1. Nama Gedung : Gedung Fakultas Ilmu Administrasi(FIA),Universitas Brawijaya
2. Lokasi :Jl.M.T.Haryono, Ketawanggede, Kec. Lowokwaru, Kota Malang, Jawa Timur
3. Fungsi : Bangunan Perkuliahan/Sekolah
4. Jumlah Lantai : 1 Basement dan 12 Lantai
5. Tinggi Gedung : 48,5 meter
6. Material struktur: Baja Beton Komposit
7. Sistem struktur : Sistem Rangka Bresing Konsentrис

### **3.3.4 Pembebanan**

#### **3.3.4.1 Beban Mati**

Beban mati terdiri dari berat struktur sendiri,dinding,pelat, finishing arsitektur dan seluruh peralatan tetap yang tidak terpisahkan dari gedung tersebut. Pembebanan berdasarkan PPIUG 1983 sebagai berikut :

Tabel 3.1 Berat Sendiri Bangunan Dan Komponen Gedung

Nama bahan bangunan dan komponen gedung	Berat sendiri
Bahan bangunan	
Baja	7850 kg/m <sup>3</sup>
Beton	2200 kg/m <sup>3</sup>
Beton bertulang	2400 kg/m <sup>3</sup>

Komponen gedung	
Adukan per cm tebal dari semen	21 kg/m <sup>2</sup>
Aspal, per cm tebal	14 kg/m <sup>2</sup>
Dinding setengah bata	250 kg/m <sup>2</sup>
Plafond	11 kg/m <sup>2</sup>
Penggantung langit – langit	7 kg/m <sup>2</sup>
Penutup lantai tanpa adukan per cm tebal	24 g/m <sup>2</sup>

(Sumber: PPIUG 1983)

### 3.3.4.2 Beban Hidup

Beban hidup untuk bangunan sekolah atau perkuliahan adalah sebesar 250 kg/m<sup>2</sup> dan untuk pekerja di atap adalah sebesar 100 kg/m<sup>2</sup>

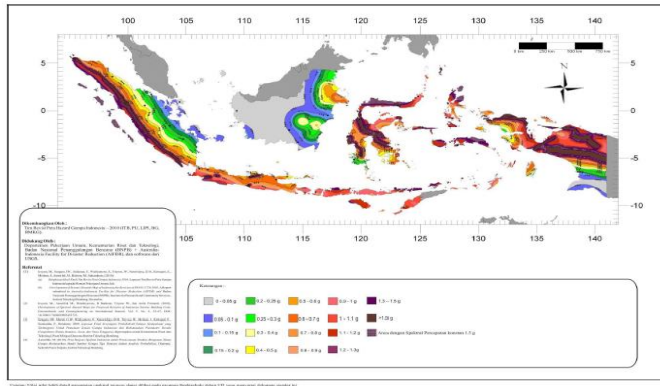
### 3.3.4.3 Beban Angin

Beban angin ditentukan dengan menganggap adanya angin tekan dan angin hisap yang bekerja secaa tegak lurus pada bidang yang ditinjau. Besarnya beban angin diatur dalam PPIUG 1983 pasal 4.2 untuk bangunan jauh dari laut adalah sebesar 25 kg/m<sup>2</sup>

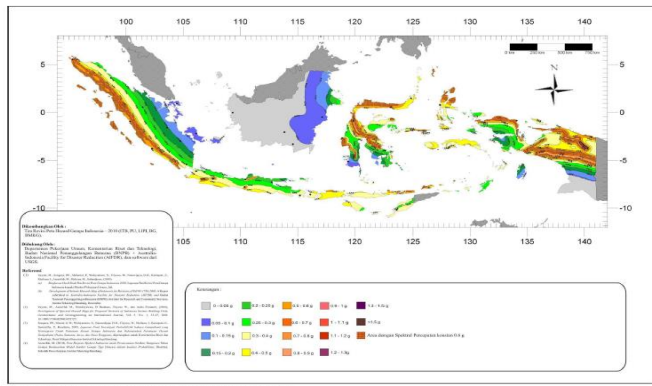
### 3.3.4.4 Beban Gempa

Gempa rencana ditetapkan mempunyai periode ulang 2500 tahun, agar probabilitas terjadinya terbatas pada 2% selama umur gedung 50 tahun. Terdapat 2 buah peta wilayah gempa, yaitu untuk gempa dengan periode  $T=0,2$  detik dan gempa dengan periode  $T=1$  detik. Grafik respons spektrum tidak disediakan, melainkan harus direncanakan sendiri menggunakan parameter-parameter percepatan yang dapat dihitung berdasarkan wilayah gempa dan struktur gedung yang dibangun. Langkah-langkah membuat respons spektrum desain adalah sebagai berikut:

- a. Menentukan  $S_s$  (diperoleh dari peta gempa dengan periode ulang 2500 tahun dan  $T=0,2$  detik) dan  $S_1$  (diperoleh dari peta gempa dengan periode ulang 2500 tahun dan  $T=1$  detik)



Gambar 3.2 Peta Spektra 0,2 Detik Untuk Periode Ulang Gempa 2500 Tahun  
(Sumber: SNI 03-1726-2012)



Gambar 3.3 Peta Spektra 1 Detik Untuk Periode Ulang Gempa 2500 Tahun (Sumber: SNI 03-1726-2012)

b. Menentukan jenis tanah dan koefisien situs

Setelah jenis tanah ditentukan, dengan nilai  $S_s$  dan  $S_1$  yang diperoleh dilangkah awal maka  $f_a$  dan  $f_v$  akan diperoleh melalui tabel.

Tabel 3.2 Koefisien Situs  $F_a$

Kelas Situs	Parameter respons spektral percepatan gempa $MCE_R$ terpetakan pada periode pendek, $T=0,2$ detik, $S_s$				
	$S_s \leq 0.25$	$S_s = 0.5$	$S_s = 0.75$	$S_s = 1$	$S_s \geq 1.25$
SA	0.8	0.8	0.8	0.8	0.8
SB	1	1	1	1	1
SC	1.2	1.2	1.1	1	1
SD	1.6	1.4	1.2	1.1	1
SE	2.5	1.7	1.2	0.9	0.9
SF	$SS^b$				

CATATAN :

(a) Untuk nilai-nilai antara  $S_s$  dapat dilakukan interpolasi linier

(b) SS= Situs yang memerlukan investigasi geoteknik spesifik dan analisis respons situs-spesifik, lihat Pasal 6.9.1

(Sumber: SNI 03-1726-2012)

Tabel 3.3 Koefisien Situs  $F_v$

Kelas Situs	Parameter respons spektral percepatan gempa $MCE_R$ terpetakan pada periode pendek, $T=1,0$ detik, $S_1$				
	$S_1 \leq 0.1$	$S_1 = 0.2$	$S_1 = 0.3$	$S_1 = 0.4$	$S_1 \geq 0.5$
SA	0.8	0.8	0.8	0.8	0.8
SB	1	1	1	1	1
SC	1.7	1.6	1.5	1.4	1.3
SD	2.4	2	1.8	1.6	1.5
SE	3.5	3.2	2.8	2.4	2.4
SF	$SS^b$				

CATATAN :

(a) Untuk nilai-nilai antara  $S_1$  dapat dilakukan interpolasi linier

(b) SS= Situs yang memerlukan investigasi geoteknik spesifik dan analisis respons situs-spesifik, lihat Pasal 6.9.1

(Sumber: SNI 03-1726-2012)

c. Menghitung  $S_{MS}$  dan  $S_{MI}$

$S_{MS}$  dan  $S_{MI}$  (parameter spektrum respon percepatan pada periode pendek dan periode 1 detik) yang disesuaikan dengan pengaruh klasifikasi situs, harus ditentukan dengan perumusan berikut ini:

$$S_{MS} = F_a \cdot S_S \quad (3.1)$$

$$S_{MI} = F_v \cdot S_1 \quad (3.2)$$

d. Menghitung parameter percepatan desain

Parameter percepatan spektral desain untuk periode pendek,  $S_{DS}$  dan periode 1 detik  $S_{DI}$  harus ditentukan melalui persamaan berikut:

$$S_{DS} = 2/3 S_{MS} \quad (3.3)$$

$$S_{DI} = 2/3 S_{MI} \quad (3.4)$$

e. Spektrum respons desain

- Untuk periode yang lebih kecil dari  $T_0$ , spektrum respons percepatan desain  $S_a$  harus diambil dari persamaan:

$$S_a = S_{DS} \left( 0,4 + 0,6 \frac{T}{T_0} \right) \quad (3.6)$$

- Untuk periode lebih besar dari atau sama dengan  $T_0$  dan lebih kecil atau sama dengan  $T_s$ , spektrum respons percepatan desain,  $S_a$  sama dengan  $S_{DS}$
- Untuk periode lebih besar dari  $T_s$ , spektrum respons percepatan desain  $S_a$ , diambil berdasarkan persamaan:

$$T_0 = 0,2 \frac{S_{D1}}{S_{DS}} \quad (3.7)$$

$$T_s = 0,2 \frac{S_{D1}}{S_{DS}} \quad (3.8)$$

$$S_a = \frac{S_{D1}}{T} \quad (3.9)$$

- Sesuai pasal 5.3, jenis tanah dikelompokan menjadi 6 bagian, dengan pembagiannya berdasarkan besaran percepatan rambat gelombang geser rata-rata (vs), nilai hasil

test penetrasi standar rata- rata (N), dan kuat geser nilai rata- rata.

Tabel 3.4 Klasifikasi Situs

Kelas Situs	$\bar{V}_2$ (m/detik)	$\bar{N}$ atau $\bar{N}_{cb}$	$\bar{s}_u$ (kPa)
<b>SA (batuan keras)</b>	> 1500	N/A	N/A
<b>SB (batuan)</b>	750 sampai 1500	N/A	N/A
<b>SC (tanah keras, sangat padat dan batuan lunak)</b>	350 sampai 750	>50	$\geq 100$
<b>SD (tanah sedang)</b>	175 sampai 350	15 sampai 50	50 sampai 100
<b>SE (tanah lunak)</b>	< 175	<15	< 50
Atau setiap profil tanah yang mengandung lebih dari 3 m tanah dengan karakteristik sebagai berikut : <ol style="list-style-type: none"> <li>Indeks plastisitas, PI &gt; 20,</li> <li>Kadar air, w <math>\geq 40\%</math>, dan</li> <li>Kuat geser niralir <math>\bar{s}_u &lt; 25 kPa</math></li> </ol>			

(Sumber: SNI 1726-2012)

- Sesuai pasal 4.1.2, menentukan kategori resiko struktur bangunan gedung atau non gedung. Pengaruh gempa rencana harus dikalikan dengan faktor keutamaan.

Tabel 3.5 Kategori Resiko Gedung Dan Struktur Lainnya Untuk Beban Gempa

Jenis Pemanfaatan	Kategori Resiko
Gedung dengan resiko redah terhadap jiwa manusia	I
Semua gedung lain	II
Gedung dengan resiko tinggi terhadap jiwa manusia	III
Gedung yang ditunjukan untuk fasilitas penting	IV

(Sumber: SNI 03-1726-2012)

Tabel 3.6 Faktor Keutamaan Gedung

Kategori Resiko	Faktor Keutamaan Gempa, $I_e$
I atau II	1,0
III	1,25
IV	1,50

(Sumber: SNI 03-1726-2012)

f. Kategori Desain Gempa

Sesuai pasal 6.5, struktur harus memiliki suatu kategori desain seismik yang mengikuti pasal ini.

Tabel 3.7 Kategori Desain Seismik Berdasarkan Parameter Respons Percepatan Pada Perioda Pendek

Nilai $S_{DS}$	Kategori Risiko	
	I atau II atau III	IV
$S_{DS} < 0,167$	A	A
$0,167 \leq S_{DS} < 0,33$	B	C
$0,33 \leq S_{DS} < 0,50$	C	D
$0,50 \leq S_{DS}$	D	D

(Sumber: SNI 03-1726-2012)

Tabel 3.8 Kategori Desain Seismik Berdasarkan Parameter Respons Percepatan Pada Perioda 1 Detik

Nilai SI	Kategori resiko	
	I atau II atau III	IV
$S_{DS} \leq 0,067$	A	A
$0,067 \leq S_{DS} \leq 0,133$	B	C
$0,133 \leq S_{DS} \leq 0,20$	C	D
$0,20 \leq S_{DS}$	D	D

(Sumber: SNI 03-1726-2012)

g. Gaya geser dasar gempa dan beban lateral gempa

Sesuai pasal 7.8, gaya dasar seismik V dalam arah yang ditetapkan harus ditentukan dengan persamaan berikut:

$$V = C_s \cdot W \quad (3.10)$$

Keterangan:

$C_s$  = koefisien respons seismik

$W$  = koefisien respons seismik

Koefisien respons seismik,  $C_s$  harus ditentukan dengan persamaan berikut:

$$C_s = \frac{S_{DS}}{\left(\frac{R}{I_e}\right)} \quad (3.11)$$

Nilai  $C_s$  yang dihitung diatas tidak boleh melebihi berikut ini:

$$C_s = \frac{S_{DS}}{\left(\frac{T}{I_e}\right)} \quad (3.12)$$

$C_s$  harus tidak kurang dari

$$C_s = 0,044 S_{DS} I_e \geq 0,01 \quad (3.13)$$

Untuk struktur yang berlokasi di  $S_1$  sama dengan atau lebih besar dari  $0,6g$ , maka  $C_s$  harus tidak kurang dari

$$C_s = \frac{0,5S_1}{\left(\frac{R}{I_e}\right)} \quad (3.14)$$

Keterangan:

$C_{DS}$  = parameter percepatan spektrum respons desain dalam rentang perioda pendek

$C_{D1}$  = parameter percepatan spektrum respons desain pada perioda 1 detik

$S_1$  = parameter percepatan spektrum respons maksimum yang dipetakan

$T$  = perioda struktur dasar (detik)

$R$  = faktor modifikasi respons

$I_e$  = faktor keutamaan hunian

Sesuai pasal 7.8.3 gaya gempa lateral yang timbul di semua tingkat harus ditentukan dari persamaan berikut:

$$\begin{aligned} F_x &= C_{vx} V \text{ dan} \\ C_{vx} &= \frac{w_x h_x^k}{\sum_{i=1}^n w_i h_i^k} \end{aligned} \quad (3.15)$$

Keterangan:

$C_{vx}$  = faktor distribusi vertikal

$V$  = gaya lateral desain total

$w_i$  dan  $w_x$  = bagian berat seismik efektif total struktur yang ditempatkan atau dikenakan pada tingkat I atau x

$h_i$  dan  $h_x$  = periode struktur dasar (detik)

R = tinggi dari dasar sampai tingkat I atau x

k = eksponen yang terkait dengan periode struktur

Sesuai pasal 7.8.4 gaya tingkat desain gempa di semua tingkat harus ditentukan dengan persamaan berikut:

$$V_x = \sum_{i=x}^N F_i \quad (3.16)$$

Keterangan:

$F_i$  = bagian dari gaya geser dasar seismik yang timbul di tingkat i

### 3.3.5 Perencanaan Struktur Sekunder

Direncanakan dan dikontrol sesuai SNI 1729-2015 pasal H1.1 yang berisi

Bila  $\frac{Pr}{Pc} \geq 0,2$  , maka

$$\frac{Pr}{Pc} + \left( \frac{M_{rx}}{Mc_x} + \frac{M_{ry}}{Mc_y} \right) \leq 1 \quad (3.17)$$

Bila  $\frac{Pr}{Pc} \leq 0,2$  , maka  

$$\frac{Pr}{2Pc} + \frac{8}{9} \left( \frac{Mr_x}{Mc_x} + \frac{Mry}{Mc_y} \right) \leq 1 \quad (3.18)$$

Dimana :

- Pr = Kekuatan aksial perlu
- Pc = Kekuatan aksial tersedia
- Mr = Kekuatan lentur perlu arah x
- Mc = Kekuatan lentur tersedia
- x = Indeks sehubungan sumbu kuat lentur
- y = Indeks sehubungan sumbu lemah lentur

### 3.4 Konsep Perencanaan Struktur Baja

#### 3.4.1 Desain Balok

Pada elemen balok bekerja gaya lentur dan gaya geser. Kapasitas lentur dan gaya geser harus memenuhi persyaratan sebagai berikut:

$$\phi_m M_n > M_u \quad (3.19)$$

$$\phi_s V_n > V_u \quad (3.20)$$

Dengan  $\phi_m$  adalah faktor reduksi lentur dan  $\phi_s$  adalah faktor reduksi geser yang nilainya sebesar 0,9. Pada perencanaan elemen balok, gaya-gaya luar yang bekerja diperbesar dengan 1,1 kali dan nilainya harus lebih besar atau sama dengan  $1,1 R_v n_e / 2$

(untuk lentur) dan 1,1 Ry Vn (untuk geser). Nilai geser dan momen (Vu dan Mu) untuk perencanaan balok diambil dari nilai yang terbesar dari persamaan-persamaan tersebut.

Pada perencanaan elemen balok harus dilakukan pengecekan terhadap hal-hal sebagai berikut:

- a. Cek terhadap kelangsungan penampang sayap (*flange*):

- Penampang kompak

$$\lambda = \frac{bf}{2tf} \leq \lambda_p = \frac{170}{\sqrt{fy}} \quad (3.21)$$

- Penampang tidak kompak

$$\lambda_p \leq \lambda \leq \lambda_r \quad (3.22)$$

$$\lambda_r = \frac{370}{\sqrt{fy-fr}} \quad (3.23)$$

- badan (*web*):

- Penampang kompak

$$\lambda = \frac{h-2(tf+r)}{tw} \leq \lambda_p = \frac{1680}{\sqrt{fy}} \quad (3.24)$$

- Penampang tidak kompak

$$\lambda_p \leq \lambda \leq \lambda_r \quad (3.25)$$

$$\lambda_r = \frac{2550}{\sqrt{fy-fr}} \quad (3.26)$$

Jika  $\lambda > \lambda_r$ , maka penampang termasuk penampang langsing, dimana:

$\lambda$  = faktor kelangsungan penampang

C = batas kelangsungan untuk penampang kompak

h = tinggi penampang

bf = lebar sayap

tw = tebal badan

tf = tebal sayap

fy = tegangan leleh baja

r = jari-jari kelengkungan

$\lambda_r$  = batas kelangsungan untuk penampang non kompak

fr = tegangan residu, untuk penampang buatan pabrik 70 Mpa dan jika penampang buatan dilas 115 Mpa

- b. Cek terhadap kapasitas lentur penampang
- Penampang kompak
 
$$M_n = M_p \quad (3.27)$$

$$M_p = 1,12 \cdot Sx \cdot fy \quad (3.28)$$
  - Penampang tidak kompak
 
$$M_n = M_p - (M_p - M_p) \left( \frac{\lambda_r - \lambda}{\lambda_r - \lambda} \right) \quad (3.29)$$

$$M_p = 1,12 \cdot Sx \cdot fy \quad (3.30)$$
  - Untuk Penampang langsing
 
$$M_n = M_r \left( \frac{\lambda_r}{\lambda} \right)^2 \quad (3.31)$$
 Secara umum harus dipenuhi persamaan:
 
$$M_u \leq \phi M_n \quad (3.32)$$

Keterangan:

$M_n$  = momen nominal

$M_r$  = momen batas tekuk

- c. Cek terhadap tekuk torsi lateral

- Bentang pendek

Syarat bentang pendek:  $L_b < L_p$

$$L_p = 1,76 \cdot r_y \sqrt{\frac{E}{f_y}} \quad (3.33)$$

Kapasitas lentur:  $M_n = M_p$

- Bentang menengah

Syarat bentang menengah:  $L_p \leq L_b \leq L_r$

$$L_r = \frac{x_1 r_y}{f_y - f_r} \sqrt{1 + \sqrt{1 + x_2 (f_y - f_r)^2}} \quad (3.34)$$

$$x_1 = \frac{\pi}{s_x} \sqrt{\frac{G J E A}{2}} \quad (3.35)$$

$$x_2 = \frac{4 C_w}{I_y} \left( \frac{s_x}{G J} \right)^2 \quad (3.36)$$

$$C_w = \frac{1}{24} \cdot t_f \cdot b^3 \cdot (h - 2t_f)^2 \quad (3.37)$$

Kapasitas lentur:

$$M_n = C_b \cdot \left[ M_p - (M_p - M_r) \cdot \frac{L_r - L_b}{L_r - L_p} \right] \leq M_p \quad (3.38)$$

$$C_b = \frac{12,5 \cdot M_{maks}}{2,5 \cdot M_{maks} + 3 \cdot M_a + 4 \cdot M_b + 3 \cdot M_c} \leq M_p \quad (3.39)$$

Keterangan:

$C_b$  = koefisien pengali momen tekuk lateral

$M_{maks}$  = harga absolute momen max pada segmen tanpa pengaku lateral pada sebuah balok ( $L_b$ ).

$L_b$  = panjang bentang antara dua pengaku lateral

$L_p$  = panjang bentang maksimum untuk balok yang dapat menerima beban plastis

$L_r$  = panjang bentang minimum balok yang kekuatanya mulai ditentukan oleh momen kritis tekuk torsional lateral

$M_A$  = momen pada  $\frac{1}{4}$  bentang  $L_b$

$M_B$  = momen pada  $\frac{1}{2}$  bentang  $L_b$

$M_C$  = momen pada  $\frac{3}{4}$  bentang  $L_b$

$E$  = Modulus elastisitas baja

$r_y$  = jari-jari girasi terhadap sumbu y (sumbu lemah)

$G$  = Modulus geser baja

$J$  = konstanta punter torsional

$x_1, x_2$  = koefisien perhitungan momen tekuk torsional lateral

$C_w$  = kostanta warping penampang

- Bentang panjang

Syarat bentang panjang:  $L_b > L_r$

Kapasitas lentur:  $M_n = M_{cr} \leq M_p$

$$M_{cr} = C_b \cdot \frac{\pi}{L_b} \cdot \sqrt{G \cdot J \cdot E \cdot I_y} \cdot \sqrt{1 + \frac{\pi^2 \cdot E \cdot C_w}{G \cdot J \cdot L_b^2}} \quad (3.40)$$

Keterangan:

$M_{cr}$  = momen kritis terhadap tekuk lateral

d. Cek nominal geser

Kuat geser balok tergantung perbandingan antara tinggi bersih pelat badan ( $h$ ) dengan tebal pelat badan ( $t_w$ )

- Pelat badan leleh (Plastis)

$$1,1 \sqrt{\frac{k_n E}{f_y}} < \frac{h}{t_w} \leq 1,37 \sqrt{\frac{k_n E}{f_y}} \quad (3.41)$$

Sehingga,

$$V_n = 0,69 \cdot f_y \cdot A_w \quad (3.42)$$

- Pelat badan menekuk inelastic (*Inelastic Buckling*)

$$1,1 \sqrt{\frac{k_n E}{f_y}} < \frac{h}{t_w} \leq 1,37 \sqrt{\frac{k_n E}{f_y}} \quad (3.43)$$

$$k_n = 5 + \frac{5}{(a/h)^2} \quad (3.44)$$

Sehingga,

$$V_n = 0,9 \frac{k_n E}{\left(\frac{h}{t_w}\right)^2} \quad (3.45)$$

Kontrol kuat geser rencana:

$$V_u \leq \phi V_n \rightarrow \phi = 0,9 \quad (3.46)$$

Keterangan:

$V_n$  = kapasitas nominal geser penampang

$V_u$  = kapasitas geser perlu

$A_w$  = luas pelat badan ( $A_w = d \cdot t_w$ )

$a$  = jarak pengaku vertikal plat badan

$h$  = tinggi penampang

e. Kontrol kuat tarik

- Kuat leleh

$$P_n \leq f_y A_g \quad (3.47)$$

$$P_u \leq \phi P_n, \text{ dimana } \phi = 0,9 \quad (3.48)$$

- Kuat Putus

$$P_n \leq f_u A_g \quad (3.49)$$

$$P_u \leq \phi P_n, \text{ dimana } \phi = 0,7 \quad (3.50)$$

### 3.4.2 Desain Kolom

Kolom merupakan elemen struktur yang menerima gaya tekan. Kolom menahan beban aksial melalui titik centroid. Komponen struktur yang mengalami gaya tekan konsentris akibat beban terfaktor, Nu harus memenuhi syarat:

$$N_u \leq \emptyset N_n \rightarrow \emptyset = 0,85 \quad (3.51)$$

$$N_n = A_g \cdot f_{cr} = A_g \cdot \frac{f_y}{\omega} \quad (3.52)$$

- Kontrol elemen penampang sayap

$$\lambda = \frac{bf}{2tf}; \lambda_p = \frac{250}{\sqrt{f_y}} \quad (3.53)$$

$\lambda < \lambda_r \rightarrow$  penampang tidak langsing  
 $\lambda < \lambda_r \rightarrow$  penampang langsing

- Kontrol elemen penampang Badan

$$\lambda = \frac{h}{tw}; \lambda_p = \frac{665}{\sqrt{f_y}} \quad (3.54)$$

$\lambda < \lambda_r \rightarrow$  penampang tidak langsing  
 $\lambda < \lambda_r \rightarrow$  penampang langsing

- Kelangsungan komponen struktur

- Kelangsungan elemen penampang  $< \lambda_r$
- Kelangsungan komponen struktur tekan

$$\lambda_r = \frac{L_k}{i} \leq 200 \rightarrow L_k = k_c \cdot L \quad (3.55)$$

- Cek terhadap tekuk lentur

$$\lambda_c = \frac{\lambda}{\pi} \sqrt{\frac{f_y}{E}} \quad (3.56)$$

- Ketentuan untuk nilai  $\lambda_c$

Tabel 3.9 Mencari Nilai  $\omega$

$\lambda_c \leq 0,25$	$\omega = 1$
$0,25 \leq \lambda_c \leq 1,2$	$\omega = \frac{1,43}{1,6 - 0,67\lambda_c}$
$\lambda_c \geq 0,25$	$\omega = 1,25\lambda_c^2$

(Sumber: SNI 1729-2015)

- Perbandingan kekakuan kolom terhadap kekakuan penahan ujung ujungnya (kekakuan baloknya)

$$G = \frac{\sum \left( \frac{I}{L} \right)_c}{\sum \left( \frac{I}{L} \right)_b} \quad (3.57)$$

Keterangan:

$I_c$  = Momen inersia kolom

$L_c$  = Panjang kolom

$I_b$  = Momen inersia balok

$L_b$  = Panjang balok

Ketentuan:

- kolom dengan perletakan sendi (tidak kaku)  $G \geq 10$
- kolom dengan perletakan jepit (kaku)  $G \geq 1$
- untuk batang tekan dalam struktur segitiga,  $L_k$  tidak boleh diambil kurang dari panjang toritis batang.
- Angka kelangsungan untuk batang tekan dibatasi sebesar 200

### 3.4.3 Desain Balok- Kolom

- Persamaan interaksi antara gaya normal tekan dan lentur:
  - Momen lentur dominan

$$\frac{P_u}{\phi_c P_n} \geq 0,20 \rightarrow \frac{P_u}{\phi_c P_n} + \frac{8}{9} \left( \frac{M_{ux}}{\phi_b M_{nx}} + \frac{M_{uy}}{\phi_b M_{ny}} \right) \leq 1,00 \quad (3.58)$$

- Gaya aksial dominan

$$\frac{P_u}{\phi_c P_n} < 0,20 \rightarrow \frac{P_u}{2\phi_c P_n} + \frac{8}{9} \left( \frac{M_{ux}}{\phi_b M_{nx}} + \frac{M_{uy}}{\phi_b M_{ny}} \right) \leq 1,00 \quad (3.59)$$

Keterangan:

$P_u$  = Gaya normal tekan akibat beban terfaktor

$M_{ux}$  dan  $M_{uy}$  = Momen lentur (amplifikasi) terhadap sumbu x dan sumbu y

$P_n$  = Kekuatan nominal tekan

$M_{nx}$  dan  $M_{ny}$  = Kekuatan nominal lentur terhadap sumbu x dan sumbu y

$\Phi_c = 0,85$  faktor reduksi untuk kuat tekan

$\Phi_b = 0,90$  faktor reduksi untuk kuat lentur

- Amplifikasi momen

- Amplifikasi momen untuk elemen tidak bergoyang

$$M_u = \delta_b \cdot M_{ntu} \quad (3.64)$$

$$\delta_b = \frac{C_m}{1 - \left( \frac{N_u}{N_{crb}} \right)} \geq 1,00 \quad (3.65)$$

$$C_m = 0,6 - 0,4\beta \leq 1,0 \rightarrow \beta = \frac{M_1}{M_2} \quad (3.66)$$

- Amplifikasi momen untuk elemen bergoyang

$$M_u = \delta_b \cdot M_{nt} + \delta_s \cdot M_{lt} \quad (3.67)$$

$$\delta_s = \frac{C_m}{1 - \left( \frac{\sum N_u}{\sum N_{crs}} \right)} \quad (3.68)$$

$$N_{crb} = N_{crs} = \frac{\pi^2 E}{\lambda^2} A_g \quad (3.69)$$

Keterangan:

$M_{ntu}$  = momen berfaktor pada analisa orde pertama yang diakibatkan oleh beban tidak menimbulkan goyangan (beban gravitasi)

$\delta_b$  = Faktor amplifikasi, untuk memasukan pengaruh P-δ

$N_u$  = Gaya tekan berfaktor

$N_{crb}$  = Gaya tekan kritis Euler untuk elemen tidak bergoyang (k-untuk tidak bergoyang)

$C_m$  = 1; elemen dengan ujung-ujung sederhana

$C_m$  = 0,85; elemen dengan ujung-ujung kaku

$M_{lt}$  = momen berfaktor pada analisa orde pertama yang diakibatkan beban yang menimbulkan pergoyangan (beban lateral)

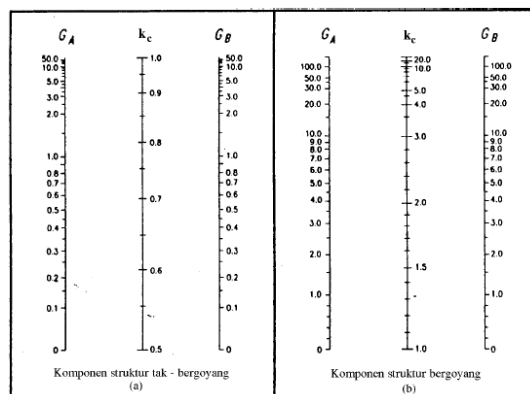
$\delta_s$  = Faktor amplifikasi, untuk memasukan pengaruh P-Δ

$\Sigma N_u$  = jumlah gaya tekan berfaktor seluruh kolom dalam satu tingkat yang ditinjau

$\Sigma N_{crs}$  = jumlah gaya kritis Euler untuk element bergoyang, (k-bergoyang) dalam satu tingkat yang ditinjau

Garis terputus menunjukkan diagram kolom tertekuk	(a)	(b)	(c)	(d)	(e)	(f)
						
Nilai $k_c$ teoritis	0.5	0.7	1.0	1.0	2.0	2.0
Nilai $k_c$ yang dianjurkan untuk kolom yang mendekati kondisi ideal	0.65	0.80	1.2	1.0	2.10	2.0
Kode ujung	 Jepit  Sendi  Roll tanpa putaran sudut  Ujung bebas					

Gambar 3.4 Nilai  $k_c$  Untuk Kolom Dengan Ujung-Ujung Ideal  
 (Sumber: SNI-03-1729-2002)



Gambar 3.5 Nilai  $k_c$  Untuk Komponen Struktur (A)  
 Tidak Bergoyang (B) Bergoyang  
 (Sumber: SNI-03-1729-2002)

### **3.4.4 Perencanaan Bresing Konsentris**

Melakukan perencanaan terhadap bresing sendiri . Bresing harus direncanakan sebagai sekering( fuse ) dari struktur, sehingga bresing direncanakan leleh terlebih dahulu. Kolom dan balok tidak diperbolehkan leleh sedikitpun . Bresing yang dipergunakan sebagai komponen penahan lateral harus memenuhi parameter berikut :

#### **3.4.4.1 Parameter Kelangsungan**

Batang bresing harus memenuhi syarat kelangsungan yaitu :

$$\frac{Kc \times L}{r} \leq \frac{1900}{\sqrt{f_y}} \quad (3.70)$$

Dimana :  $K_c$  = faktor panjang efektif kolom

$L$  = pengaruh beban hidup akibat pengguna gedung

$r$  = jari jari girasi

$f_y$  = Tegangan leleh

#### **3.4.4.2 Kuat Perlu**

##### **3.4.4.2.1 Kuat Tarik**

Kuat nominal aksial Tarik batang bresing yang ditetapkan adalah sebesar :

$$P_u = R_y \times f_y \times A_g \quad (3.71)$$

Dimana :

$R_y$  = faktor modifikasi tegangan leleh

$F_y$  = tegangan leleh bahan baja

$A_g$  = Luas penampang bruto

### 3.4.4.2.2 Kuat Tekan

Kuat nominal aksial Tekan batang bresing yang ditetapkan adalah sebesar :

$$P_u = 1,1 \times R_y \times A_g \times F_{cr} \quad (3.72)$$

Dimana :

$R_y$  = faktor modifikasi tegangan leleh

$A_g$  = Luas penampang bruto

$F_{cr}$  = Tegangan kritis

## 3.5 Sambungan

Perencanaan sambungan dalam Tugas Akhir ini berdasarkan SNI 03-1729-2002

- Sambungan baut

Kuat geser:

$$V_d = \emptyset_f \cdot V_n = \emptyset_f \cdot r_1 \cdot f_u^b \cdot A_b \quad (3.73)$$

Kuat tumpu:

$$R_d = \emptyset_f \cdot V_n = 2,4 \emptyset_f \cdot d_b \cdot t_r \cdot f_u \quad (3.74)$$

“Dari nilai  $V_d$  dan  $R_d$  dipilih nilai terkeci”

Jumlah baut (n):

$$n = \frac{V_u}{\emptyset R_n} \quad (3.75)$$

Dimana:

$\emptyset_f$  = Faktor reduksi kekuatan fraktur (0,85)

$r_1$  = 0,5 untuk baut tanpa ulir pada bidang geser

= 0,4 untuk baut ada ulir pada bidang geser

$f_u^b$  = Tegangan tarik putus baut

- $A_b$  = Luas bruto penampang baut  
 $f_u$  = Tegangan tarik putus yang terendah dari baut dan pelat  
 $t_p$  = Tebal tertipis pelat

- Kontrol jarak baut

Jarak tepi minimum = 1,5 db

Jarak tepi maksimum =  $(4t_p + 100 \text{ mm})$  atau 200 mm

Jarak minimum antar baut = 3 db

Jarak maksimum antar baut = 15 tp atau 200 mm

Kontrol kekuatan pelat:

$$\emptyset P_n = 0,75 \times 0,6 \times A_nv \quad (3.76)$$

$$\emptyset P_n > V_n \quad (3.77)$$

### 3.6 Pondasi

Setelah menghitung beban struktur atas secara keseluruhan, maka kita harus meneruskan beban tersebut ke struktur bawah (pondasi) yang direncanakan menggunakan bored pile dengan metode *Luciano-Decourt*. Langkah-langkah yang dikerjakan dalam perencanaan struktur tersebut adalah:

1. Menghitung beban total dari struktur atas
2. Mencari data tanah dan menghitung daya dukung tanah
3. Menghitung daya dukung ujung tiang
4. Menghitung daya dukung selimut tiang
5. Menghitung daya dukung ultimate pondasi

### **3.6.1 Kontrol Perencanaan Pondasi**

Melakukan control kemampuan pondasi dari perencanaan yang telah dilaksanakan sesuai dengan persyaratan.

### **3.6.2 Perhitungan Daya Dukung Ujung tiang (Qb)**

Perhitungan daya dukung ujung tiang didasarkan pada perhitungan N-SPT yang kemudian diinput pada rumus :

$$Q_b = A_b \times 38 \times \underline{N} \quad (3.84)$$

Dimana :

- Qb = Daya dukung ultimate ujung tiang
- Ab = Luas Penampang ujung tiang bor
- N = Rata rata nilai N-SPT dari daerah antara 8D diatas ujung tiang dengan 4D dibawah ujung tiang
- D = Diameter pondasi
- L<sub>b</sub> = Kedalaman penetrasi tiang pada lapisan ujung tanah keras

### **3.6.3 Perhitungan daya dukung selimut tiang (Qs)**

Perhitungan daya dukung selimut tiang didasarkan pada nilai SPT dan luas per lapisan tanah apabila tanah perlapisan memiliki sifat yang berbeda dengan rumus :

$$Q_s = (N_{spt1} \times A_{lapisan1}) + (N_{spt2} \times A_{lapisan2}) \\ \dots + (N_{sptn} \times A_{lapisan n}) \quad (3.85)$$

### 3.6.4 Perhitungan daya dukung ultimate tiang (Qu)

Perhitungan daya dukung ultimate tiang didasarkan pada nilai daya dukung selimut(Qs) dan daya dukung ujung(Qb) dengan rumus :

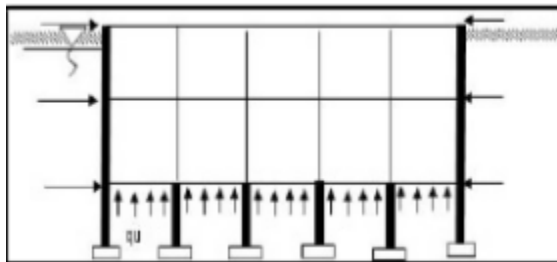
$$Qu = Qb + Qs \quad (3.86)$$

## 3.7 Perencanaan Basement

### 3.7.1 Perencanaan Pelat Basement

Pelat didesain untuk menerima gaya uplift dari air tanah, sehingga dari gaya uplift tersebut yang membentuk beban merata di bawah basement. Dari gaya uplift dan gaya tekanan tanah horizontal maka dapat menghasilkan output momen terhadap pelat basement kearah x dan y. Selanjutnya dapat diperoleh ukuran tulangan berapa yang dipergunakan sesuai dengan rumus di bawah ini :

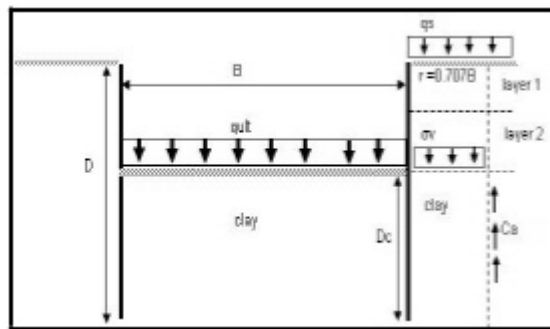
$$\frac{Mu}{\rho x b x d} = As \text{ tulangan} \quad (3.87)$$



Gambar 3.6 Permodelan gaya uplift pelat basement

### 3.7.2 Kontrol terhadap bahaya heaving

Karena berkurangnya tegangan efektif atau overburden akibat ekskavasi, maka ditakutkan lapisan tanah lunak akan mengalir ke dalam lubang galian dan terjadi *heave*. Kadaan yang demikian perlu adanya control kedalaman dinding terhadap bahaya *heave*



Gambar 3.7 Permodelan Heaving



## BAB IV

### Hasil dan Pembahasan

#### 4.1 Perencanaan Struktur Sekunder

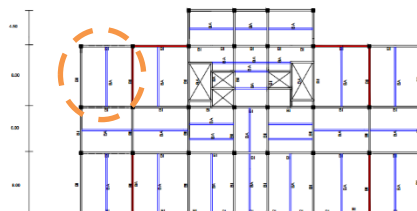
Perencanaan Struktur Sekunder meliputi perencanaan pelat lantai, balok anak, balok lift dan tangga

##### 4.1.1 Perencanaan Pelat Lantai

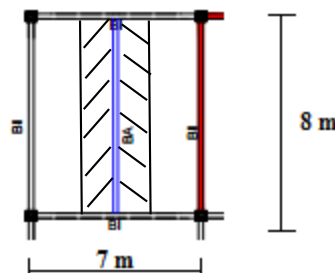
Perencanaan lantai yang ada pada gedung ini menggunakan Bondex dengan table perencanaan praktis yang ada dari SUPER FLOOR DECK. Struktur lantai direncanakan dengan menggunakan satu baris penyangga (one row props) selama proses pengerasan pelat beton. Spesifikasi yang digunakan adalah sebagai berikut :

- Bondex Menggunakan Tebal 0,75 mm
- Beton menggunakan mutu K-250 kg/cm<sup>2</sup>

###### 4.1.1.1 Perencanaan Pelat Lantai Gedung



Gambar 4.1 Denah Pelat Lantai Gedung



Gambar 4.2 Detail Pelat Lantai Gedung

Beban Mati :

- Berat spesi 2 cm  $0,02 \times 2200 = 44 \text{ kg/m}^2$
  - Berat keramik 1 cm  $1 \times 24 = 24 \text{ kg/m}^2$
  - Berat plafon + penggantung  $11 + 7 = 18 \text{ kg/m}^2$
  - Berat ducting dan *plumbing*  $= 10 \text{ kg/m}^2$
- $$q_{D\text{total}} = 96 \text{ kg/m}^2$$

Beban Hidup :

- Lantai Gedung perkuliahan  $q_{L\text{lantai}} = 250 \text{ kg/m}^2$

Beban Berguna :

- $Q_u = q_D + q_L$   
 $= 96 + 250$   
 $= 346 \text{ kg/m}^2 \approx 400 \text{ kg/m}^2$

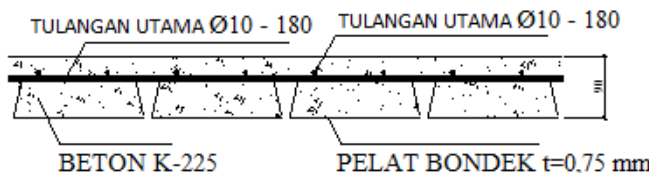
Data-data perencanaan pelat bondex

- Bentang 3,5 m
- Beban berguna =  $400 \text{ kg/m}^2$
- Bentang menerus dengan tulangan negatif, didapatkan tebal pelat 11 cm, dan tulangan negatif  $4,09 \text{ cm}^2/\text{m}$

Digunakan tulangan  $\varnothing 10$  ( $A_s = 0,7857 \text{ cm}^2$ )

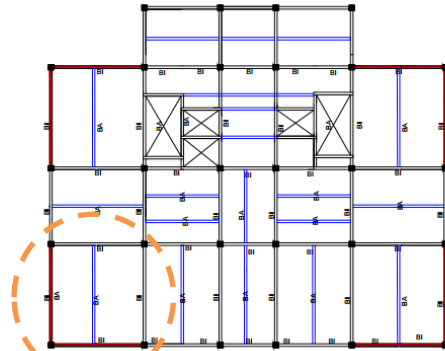
Jumlah tulangan yang dibutuhkan tiap meter adalah :

- $n = \frac{4,09}{0,7857} = 5,2055 \approx 6$  buah
- Jarak antar tulangan  $s = \frac{1000}{6} = 166,66 \text{ mm} \approx 180 \text{ mm}$
- Jadi dipasang tulangan negatif  $\varnothing 10 - 180$

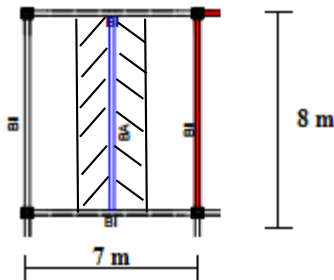


Gambar 4.3 Penulangan Pelat Lantai Gedung

#### 4.1.1.2 Perencanaan Pelat Lantai Atap



Gambar 4.4 Denah Pelat Lantai Atap



Gambar 4.5 Detail Pelat Lantai Atap

Peraturan pembebanan pada struktur pelat lantai ruangan apartemen ini menggunakan SNI 1727-2013

Beban Mati :

- Berat spesi 2 cm  $0,02 \times 2200$   $= 44 \text{ kg/m}^2$
- Berat keramik 1 cm  $1 \times 24$   $= 24 \text{ kg/m}^2$
- Berat plafon + penggantung  $11 + 7$   $= 18 \text{ kg/m}^2$
- Berat ducting dan *plumbing*  $\frac{= 10 \text{ kg/m}^2}{q_{D\text{total}}} +$

$$q_{D\text{total}} = 96 \text{ kg/m}^2$$

Beban Hidup :

- Lantai Atap  $q_L = 100 \text{ kg/m}^2$

Beban Berguna :

-  $Q_u = q_D + q_L = 96 + 100 = 196 \text{ kg/m}^2 \approx 200 \text{ kg/m}^2$

Data-data perencanaan pelat bondek

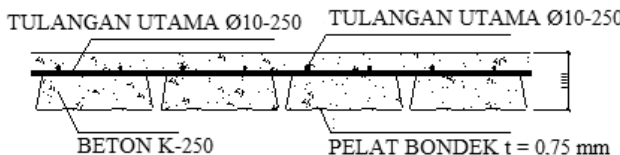
- Bentang = 3,5 m
- Beban berguna = 200 kg/m<sup>2</sup>
- Bentang menerus dengan tulangan negatif, didapatkan tebal pelat 11 cm, dan tulangan negatif 2,90 cm<sup>2</sup>/m  
Digunakan tulangan Ø10 (As = 0,785 cm<sup>2</sup>)

Jumlah tulangan yang dibutuhkan tiap meter adalah :

- $n = \frac{2,90}{0,785} = 3,69 = 4 \text{ buah}$

- jarak antar tulangan =  $\frac{1000}{4} = 250 \text{ mm}$

- jadi dipasang tulangan negatif Ø 10 – 250



Gambar 4.6 Penulangan Lantai Atap

#### 4.1.2 Perencanaan Balok Anak

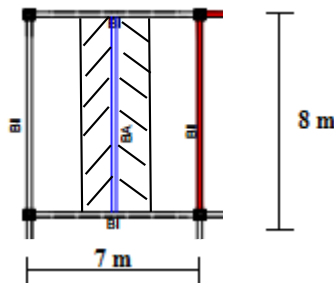
Fungsi dari balok anak adalah menerima beban dari pelat lantai lalu meneruskan serta membagi beban yang dipikul ke balok induk. Balok anak didesain sebagai struktur sekunder, sehingga didalam perhitungan tidak menerima beban lateral yang diakibatkan oleh gempa.

##### 4.1.2.1 Perencanaan Balok Anak Lantai Atap

Balok anak yang terletak pada lantai atap direncanakan menggunakan profil WF 350 x 175 x 6 x 9, dengan data- data sebagai berikut:

d	= 346 mm	ix	= 14,5 cm
bf	= 174 mm	iy	= 3,88 cm
tf	= 9 mm	Zx	= 792 cm <sup>3</sup>

$t_w$	= 6 mm	$Z_y = 139 \text{ cm}^3$
A	= $52,68 \text{ cm}^2$	$S_x = 641 \text{ cm}^3$
q	= $41,4 \text{ kg/m}$	$S_y = 91 \text{ cm}^3$
$I_x$	= $11100 \text{ cm}^4$	$r = 14 \text{ cm}$
$I_y$	= $792 \text{ cm}^4$	$h = d - 2(t_f + r)$
Fy	= $250 \text{ Mpa (BJ-41)}$	= 300 mm



Gambar 4.7 Denah Balok Lantai Atap

- Beban- Beban Yang Bekerja

- Beban Mati

Beberat pelat bondek	= 10,1	$\text{kg}/\text{m}^2$
Beberat beton $0,09 \times 2400$	= 216	$\text{kg}/\text{m}^2$
Beberat plafon + penggantung $11 + 7$	= 18	$\text{kg}/\text{m}^2$
Beberat ducting dan plumbing	<u>= 10</u>	$\text{kg}/\text{m}^2$
	= 254,1	$\text{kg}/\text{m}^2$
$254,1 \text{ kg}/\text{m}^2 \times 3,5 \text{ m}$	= 889	$\text{kg}/\text{m}$
Beberat profil	<u>= 41,4</u>	$\text{kg}/\text{m}$
	<u><math>q_D = 930,4</math></u>	$\text{kg}/\text{m}$

- Beban hidup (SNI 1727:2013)

$$q_L = 3,5 \text{ m} \times 100 \text{ kg}/\text{m}^2 = 350 \text{ kg}/\text{m}$$

- Beban berfaktor :

$$\begin{aligned} q_U &= 1,2 \cdot q_D + 1,6 \cdot q_L \\ &= 1,2 \cdot 930,4 + 1,6 \cdot 350 = 1676,48 \text{ kg}/\text{m} \end{aligned}$$

- Gaya Dalam Yang Bekerja Pada Balok

- Momen:

$$Mu = \frac{1}{8} \cdot qu \cdot L^2 = \frac{1676,48 \times 8 \times 8}{8}$$

$$= 13411,84 \text{ kg m}$$

- Gaya Geser:

$$Vu = \frac{1}{2} \cdot qu \cdot L = \frac{1676,48 \times 8}{2}$$

$$= 6705,92 \text{ kg}$$

- Kontrol Kuat Momen Lentur

- Pelat sayap:

$$\frac{bf}{2tf} = \frac{174}{2.9} = 9,66$$

$$\lambda_p = \frac{170}{\sqrt{f_y}} = 10,75$$

$$\frac{bf}{2tf} < \lambda_p \rightarrow \text{Penampang Kompak}$$

- Pelat badan:

$$\frac{h}{tw} = \frac{300}{6} = 50$$

$$\lambda_p = \frac{1680}{\sqrt{f_y}} = 106,25$$

$$\frac{h}{tw} < \lambda_p \rightarrow \text{Penampang Kompak}$$

- Karena penampang kompak, maka  $M_n = M_p$

$$M_p = Zx \times f_y$$

$$= 792 \text{ cm}^3 \times 2500 \text{ kg/m}^2$$

$$= 1980000 \text{ kg.cm} = 19800 \text{ kg.m}$$

- Kontrol Penampang Terhadap Tekuk Lateral

Jarak penahan lateral ( $L_b$ ) = 100 cm

$L_p = 179,333 \text{ cm}$  } Dari Tabel ( $L_p$  &  $L_r$ )

$$L_r = 473,487 \text{ cm}$$

$L_b < L_p < L_r \rightarrow$  Bentang Pendek

$$M_{nx} = M_{px} = Z_x \times f_y$$

$$= 792 \text{ cm}^3 \times 2500 \text{ kg/m}^2$$

$$= 1980000 \text{ kg.cm} = 19800 \text{ kg.m}$$

$$M_{ny} = M_{py} = Z_y \times f_y$$

$$= 139 \text{ cm}^3 \times 2500 \text{ kg/m}^2$$

$$= 347500 \text{ kg.cm} = 3475 \text{ kg.m}$$

- Persamaan Interaksi

$$\frac{M_{ux}}{\phi_b \cdot M_{nx}} + \frac{M_{uy}}{\phi_b \cdot M_{ny}} \leq 1,0$$

$$\frac{13411,84}{0,9 \times 19800} + \frac{0}{0,9 \times 3475} \leq 1,0 \rightarrow 0,752 < 1,0 \text{ (OK)}$$

- Kontrol Geser

$$V_u = 5093,89 \text{ kg}$$

$$\frac{h}{tw} \leq \frac{1100}{\sqrt{f_y}} \rightarrow \frac{300}{6} \leq \frac{1100}{\sqrt{f_y}}$$

$$50 \leq 69,57 \rightarrow Plastis$$

$$\text{Maka, } V_n = 0,6 f_y A_w$$

$$= 0,6 \times 2500 \times (30 \times 0,6) = 27000 \text{ kg}$$

$$\phi V_n \geq V_u$$

$$\phi V_n = 0,9 \cdot 27000 \text{ kg}$$

$$= 24300 \text{ kg} > 6705,92 \text{ kg (OK)}$$

Lendutan

- $f_{ijin} = \frac{L}{180} \rightarrow \frac{800}{180} = 4,44 \text{ cm}$

Lendutan akibat beban

$$f_x = \left( \frac{5}{384} \cdot \frac{(qdl + ql).L^4}{E \cdot I_x} \right)$$

$$= \left( \frac{5}{384} \cdot \frac{(930,4 + 350) \cdot 10^{-2} \cdot 800^4}{2 \cdot 10^6 \cdot 11100} \right)$$

$$= 3,076 \text{ cm}$$

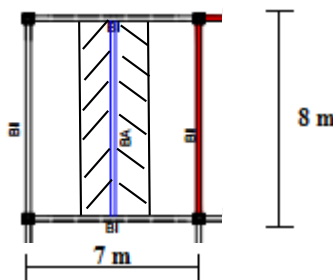
$$f_{ijin} > f_x \rightarrow 3,076 \text{ cm} > 4,444 \text{ cm} \quad (\text{OK})$$

“ Profil WF 350 x 175 x 6 x 9 dapat digunakan sebagai balok anak pada lantai atap”

#### 4.1.2.2 Perencanaan Balok Anak Lantai Gedung

Balok anak yang terletak pada lantai akan difungsikan sebagai perkantoran direncanakan menggunakan profil WF 400 x 200 x 8 x 13, dengan data- data sebagai berikut:

d	= 400 mm	$i_x = 16,8 \text{ cm}$
bf	= 200 mm	$i_y = 4,54 \text{ cm}$
tf	= 13 mm	$Z_x = 1286 \text{ cm}^3$
tw	= 8 mm	$Z_y = 266 \text{ cm}^3$
A	= 84.12 $\text{cm}^2$	$S_x = 1190 \text{ cm}^3$
q	= 66,0 kg/m	$S_y = 174 \text{ cm}^3$
$I_x$	= 23700 $\text{cm}^4$	r = 16 cm
$I_y$	= 1740 $\text{cm}^4$	$h = d - 2(tf+r)$
Fy	= 250 Mpa (BJ-41)	= 342 mm



Gambar 4.8 Denah Balok Lantai Perkantoran

- Beban- Beban Yang Bekerja

- Beban Mati

Berat pelat bondek	= 10,1	kg/m <sup>2</sup>
Berat spesi 2 x 21	= 42	kg/m <sup>2</sup>
Berat tegel	= 24	kg/m <sup>2</sup>
Berat beton 0,11 x 2400	= 264	kg/m <sup>2</sup>
Berat plafon + penggantung 11 + 7	= 18	kg/m <sup>2</sup>
Berat ducting dan plumbing	<u>= 10</u>	<u>kg/m<sup>2</sup></u>
	= 368,10	kg/m <sup>2</sup>
368,10 kg/m <sup>2</sup> x 3,5 m	= 1288,35	kg/m
Berat profil	<u>= 66,0</u>	<u>kg/m</u>
	<u>q<sub>D</sub></u>	<u>= 1354,35 kg/m</u>

- Beban hidup (SNI 1727:2013)

$$q_L = 3,5 \text{ m} \times 250 \text{ kg/m}^2 = 875 \text{ kg/m}$$

- Beban berfaktor :

$$\begin{aligned} q_U &= 1,2 \cdot q_D + 1,6 \cdot q_L \\ &= 1,2 \cdot 1354,35 + 1,6 \cdot 875 = 3025,22 \text{ kg/m} \end{aligned}$$

- Gaya Dalam Yang Bekerja Pada Balok

- *Momen:*

$$\begin{aligned} Mu &= \frac{1}{8} \cdot q_U \cdot L^2 = \frac{3025,22 \times 8 \times 8}{8} \\ &= 24201,76 \text{ kg m} \end{aligned}$$

- *Gaya Geser:*

$$\begin{aligned} Vu &= \frac{1}{2} \cdot q_U \cdot L = \frac{3025,22 \times 8}{2} \\ &= 12100,88 \text{ kg} \end{aligned}$$

- Kontrol Kuat Momen Lentur

- Pelat sayap:

$$\frac{bf}{2tf} = \frac{200}{2.13} = 7,69$$

$$\lambda_p = \frac{170}{\sqrt{fy}} = 10,75$$

$$\frac{bf}{2tf} < \lambda_p \rightarrow \text{Penampang Kompak}$$

- Pelat badan:

$$\frac{h}{tw} = \frac{342}{8} = 42,75$$

$$\lambda_p = \frac{1680}{\sqrt{fy}} = 106,25$$

$$\frac{h}{tw} < \lambda_p \rightarrow \text{Penampang Kompak}$$

- Karena penampang kompak, maka  $M_n = M_p$

$$\begin{aligned} M_p &= Zx \times fy \\ &= 1286 \text{ cm}^3 \times 2500 \text{ kg/m}^2 \\ &= 3215000 \text{ kg.cm} = 32150 \text{ kg.m} \end{aligned}$$

- Kontrol Penampang Terhadap Tekuk Lateral

Jarak penahan lateral ( $L_b$ ) = 100 cm

$$\begin{aligned} L_p &= 226,003 \text{ cm} \\ L_r &= 658,357 \text{ cm} \end{aligned} \quad \left. \right\} \text{ Dari Tabel (Lp & Lr)}$$

$L_b < L_p < L_r \rightarrow$  Bentang Pendek

$$\begin{aligned} M_{nx} &= M_{px} = Zx \times fy \\ &= 1286 \text{ cm}^3 \times 2500 \text{ kg/m}^2 \\ &= 3215000 \text{ kg.cm} = 32150 \text{ kg.m} \end{aligned}$$

$M_{ny} = M_{py} = Zy \times fy$

$$\begin{aligned} &= 266 \text{ cm}^3 \times 2500 \text{ kg/m}^2 \\ &= 665000 \text{ kg.cm} = 6650 \text{ kg.m} \end{aligned}$$

- Persamaan Interaksi

$$\frac{M_{ux}}{\phi_b \cdot M_{nx}} + \frac{M_{uy}}{\phi_b \cdot M_{ny}} \leq 1,0$$

$$\frac{24201,76}{0,9.32150} + \frac{0}{0,9.6650} \leq 1,0 \rightarrow 0,71 < 1,0 \rightarrow (\text{OK})$$

- Kontrol Geser

$$V_u = 12100,88 \text{ kg}$$

$$\frac{h}{tw} \leq \frac{1100}{\sqrt{f_y}} \rightarrow \frac{256}{5,5} \leq \frac{1100}{\sqrt{f_y}}$$

$$42,75 \leq 69,57 \rightarrow Plastis$$

Maka,  $V_n = 0,6 f_y A_w$   
 $= 0,6 \times 2500 \times (40 \times 0,8) = 48000 \text{ kg}$

$$\emptyset V_n \geq V_u$$

$$\emptyset V_n = 0,9 \cdot 48000 \text{ kg}$$

$$= 43200 \text{ kg} > 12100,88 \text{ kg (OK)}$$

- Lendutan

$$f_{jin} = \frac{L}{360} \rightarrow \frac{800}{360} = 2,222 \text{ cm}$$

Lendutan akibat beban

$$f_x = \left( \frac{5}{384} \cdot \frac{(qdl+ql^2)L^4}{E.I_x} \right)$$

$$= \left( \frac{5}{384} \cdot \frac{(1354,35 + 875) \cdot 10^{-2} \cdot 800^4}{2 \cdot 10^6 \cdot 23700} \right) = 1,76 \text{ cm}$$

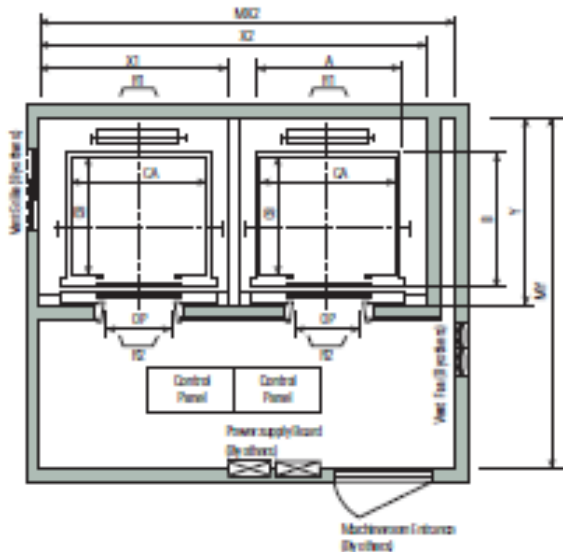
$$f_{jin} > f_x \rightarrow 2,222 \text{ cm} > 1,76 \text{ cm (OK)}$$

“ Profil WF 400 x 200 x 8 x 13 dapat digunakan sebagai balok anak pada lantai perkantoran”

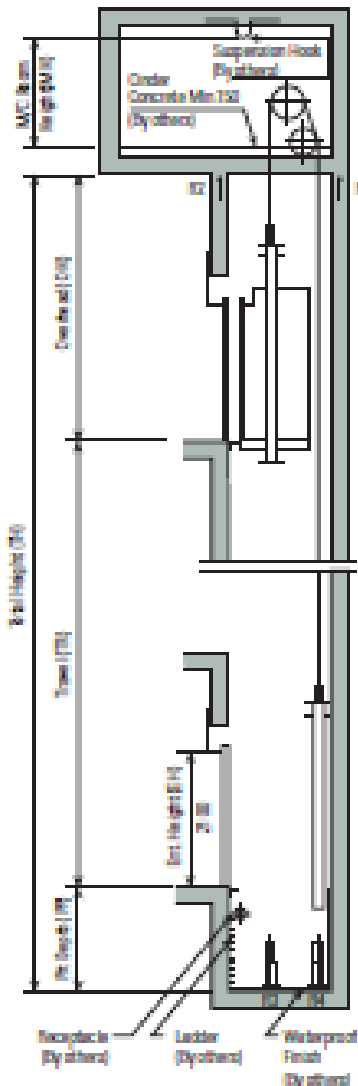
#### 4.1.3 Perencanaan Balok Penggantung Lift 1 Car

Pada perencanaan balok lift meliputi balok-balok yang berkaitan dengan ruang mesin lift yaitu terdiri dari balok penumpu dan balok penggantung lift. Pada bangunan ini menggunakan lift penumpang dengan data-data sebagai berikut:

- Tipe lift : Passenger Elevators
- Merek : HYUNDAI
- Kapasitas : 13 Orang / 900 kg
- Lebar pintu (*opening width*) : 900 mm
- Internal car : 1700 x 1520 mm<sup>2</sup>
- Dimensi ruang luncur (*hoistway inside*) 1 Car : 2250 x 2100 mm<sup>2</sup>
- Beban reaksi ruang mesin :  $R_1 = 4200 \text{ kg}$   
 $R_2 = 2700 \text{ kg}$



Gambar 4.9 Lift



Gambar 4.10 Hoistway Section

### Perencanaan Balok Penggantung Lift

Balok penggantung lift direncanakan menggunakan profil WF 300 x 150 x 6,5 x 9, dengan data- data sebagai berikut:

d	= 300 mm	ix = 12,4 cm
bf	= 150 mm	iy = 3,29 cm
tf	= 9 mm	Zx = 522 cm <sup>3</sup>
tw	= 6,5 mm	Zy = 104 cm <sup>3</sup>
A	= 46,78 cm <sup>2</sup>	Sx = 481 cm <sup>3</sup>
q	= 36,7 kg/m	Sy = 67,7 cm <sup>3</sup>
Ix	= 7210 cm <sup>4</sup>	r = 13 cm
Iy	= 508 cm <sup>4</sup>	h = d - 2(tf+r)
Fy	= 250 Mpa (BJ-41)	= 256 mm

- Pembebanan Balok Penggantung Lift

- Beban mati

$$\begin{array}{ll} \text{Berat profil balok penggantung lift} & = 36,70 \text{ kg/m} \\ \text{Berat sambungan (10\%)} & = 3,67 \text{ kg/m} \\ \hline \text{qd} & = 40,37 \text{ kg/m} \end{array}$$

- Beban hidup

Digunakan beban hidup untuk *maintenance*

$$\text{Beban hidup terpusat (P)} = 100 \text{ kg}$$

- Beban merata ultimate

$$\begin{aligned} qu &= 1,2 \times qd + 1,6 \times P \\ &= (1,2 \times 40,37) + (1,6 \times 100) = 208,44 \text{ kg/m} \end{aligned}$$

- Beban terpusat lift

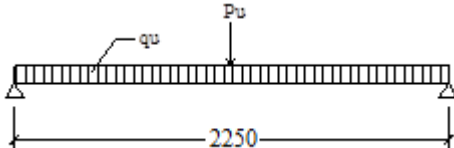
Pada pasal 4.7 Impact load RSNI-03-1727 (Peraturan Pembebanan Untuk Bangunan Rumah dan Gedung) menyatakan bahwa semua beban elevator harus ditingkatkan 100% untuk beban kejut dan tumpuan struktur harus direncanakan berdasarkan beban lendutan atau spesifikasi teknik dari pembuat.

Pada tabel perencanaan lift diperoleh:

$$\begin{aligned} PU_1 &= R_1 \cdot (1+100\%) \\ &= 4200 \times (1+100\%) = 8400 \text{ kg} \end{aligned}$$

$$\begin{aligned} PU_2 &= R_2 \cdot (1+100\%) \\ &= 2700 \times (1+100\%) = 5400 \text{ kg} \\ \text{Dipilih beban PU terbesar} &= 8400 \text{ kg} \end{aligned}$$

- Perhitungan Gaya Dalam Balok Penggantung Lift



Gambar 4.11 Model Pembebaan Balok Penggantung Lift

- Reaksi perletakan

$$\begin{aligned} Ra &= Rb = \frac{1}{2} \times qu \times L + \frac{1}{2} \times Pu \\ &= \frac{1}{2} \times 208,44 \times 2,25 \text{ m} + \frac{1}{2} \times 8400 \\ &= 4434,395 \text{ kg} \end{aligned}$$

- Momen maksimum

$$\begin{aligned} M_{max} &= \frac{1}{8} \times qu \times L^2 + \frac{1}{4} \times Pu \times L \\ &= \frac{1}{8} \times 208,44 \times 2,25 \text{ m} + \frac{1}{4} \times 8400 \times 2,25 \text{ m} \\ &= 4783,62375 \text{ kg m} \end{aligned}$$

- Gaya geser

$$\begin{aligned} Vu &= Ra \\ &= 4434,395 \text{ kg} \end{aligned}$$

- Kontrol Kuat Momen Lentur

- Pelat sayap:

$$\frac{bf}{2tf} = \frac{150}{2.9} = 8,33$$

$$\lambda_p = \frac{170}{\sqrt{f_y}} = 10,75$$

$$\frac{bf}{2tf} < \lambda_p \rightarrow \text{Penampang Kompak}$$

- Pelat badan:

$$\frac{h}{tw} = \frac{256}{6,5} = 39,38$$

$$\lambda_p = \frac{1680}{\sqrt{f_y}} = 106,25$$

$$\frac{h}{tw} < \lambda_p \rightarrow \text{Penampang Kompak}$$

- Karena penampang kompak, maka  $M_n = M_p$

$$\begin{aligned} M_p &= Zx \times f_y \\ &= 522 \text{ cm}^3 \times 2500 \text{ kg/m}^2 \\ &= 1305000 \text{ kg.cm} = 13050 \text{ kg.m} \end{aligned}$$

- Kontrol Penampang Terhadap Tekuk Lateral

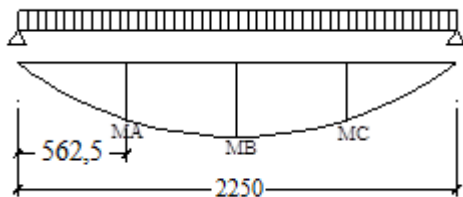
Jarak penahan lateral ( $L_b$ ) = 225 cm

$$\begin{array}{l} L_p = 163,78 \text{ cm} \\ L_r = 478,20 \text{ cm} \end{array} \quad ] \quad \text{Dari Tabel (Lp & Lr)}$$

$L_p < L_b < L_r \rightarrow$  Bentang Menengah

Karena bentang menengah, maka:

$$M_n = Cb \left[ M_r + (M_p - M_r) \frac{L_r - L_b}{L_r - L_p} \right] \leq M_p$$



Gambar 4.12 Diagram Momen Balok Penggantung Lift

$$\begin{aligned}
 M_A &= M_C \\
 &= R_A \times (L/4) - q_u \times (L/4) \times (L/8) \\
 &= 4434,395 \times 0,5625 - 208,44 \times 0,5625 \times 0,28125 \\
 &= 2461,371 \text{ kg.m}
 \end{aligned}$$

$$\begin{aligned}
 M_B &= M_{\text{Max}} \\
 &= 4783,62375 \text{ kg m} \\
 Cb &= \frac{12,5 \cdot M_{\text{max}}}{2,5 \cdot M_{\text{max}} + 3 \cdot M_A + 4 \cdot M_B + 3 \cdot M_C} \leq 2,3
 \end{aligned}$$

$$\begin{aligned}
 &= \frac{12,5 \cdot 4783,62375}{2,5 \cdot 4783,62375 + 3 \cdot 2461,371 + 4 \cdot 4783,62375 + 3 \cdot 2461,371} \\
 &= 1,3098 \leq 2,3 \text{ (plastis)}
 \end{aligned}$$

$$\begin{aligned}
 M_p &= Zx \cdot f_y \\
 &= 522 \cdot 2500 = 1305000 \text{ kg.cm} = 13050 \text{ kg.m}
 \end{aligned}$$

$$\begin{aligned}
 M_r &= Sx \cdot (f_y - f_r) \\
 &= 481 \cdot (2500 - 700) = 865800 \text{ kg.cm} = 8658 \text{ kg.m}
 \end{aligned}$$

$$\begin{aligned}
 M_n &= Cb \left[ M_r + (M_p - M_r) \frac{L_r - L_b}{L_r - L_p} \right] \\
 &= 1,31 \left[ 8658 + (13050 - 8658) \frac{478,2 - 400}{478,2 - 163,78} \right] \\
 &= 12734,31 \text{ kg.m} < M_p \rightarrow \text{Maka dipakai } M_n
 \end{aligned}$$

Cek kemampuan Penampang

$$\begin{aligned}
 \emptyset_b \cdot M_n &\geq M_U \\
 \emptyset_b \cdot M_n &= 0,9 \times 12734,31 \text{ kg.m} \\
 &= 11460,88 \text{ kg.m} \geq 4783,62375 \text{ kg.m}
 \end{aligned}$$

- Kontrol Geser

$$V_u = 4434,395 \text{ kg}$$

$$\frac{h}{tw} \leq \frac{1100}{\sqrt{f_y}} \rightarrow \frac{256}{6,5} \leq \frac{1100}{\sqrt{f_y}}$$

$$39,38 \leq 69,57 \rightarrow \text{Plastis}$$

$$\begin{aligned}
 \text{Maka, } V_n &= 0,6 f_y A_w \\
 &= 0,6 \times 2500 \times (30 \times 0,65) = 29250 \text{ kg}
 \end{aligned}$$

$$\begin{aligned}
 \emptyset V_n &\geq V_u \\
 \emptyset V_n &= 0,9 \cdot 29250 \text{ kg}
 \end{aligned}$$

$$= 26325 \text{ kg} > 4434,395 \text{ kg (OK)}$$

- Lendutan

$$f_{ijin} = \frac{L}{360} \rightarrow \frac{225}{360} = 0,625 \text{ cm}$$

Lendutan akibat beban

$$f^o = \frac{5((qdl+ql)/100)l^4}{384 \cdot EI_x} + \frac{P \cdot l^3}{48 EI_x}$$

$$f^o = \frac{5 \times ((40,37+100)/100) \times 225^4}{384 \times 2 \times 10^6 \times 7210} + \frac{8400 \times 225^3}{48 \times 2 \times 10^6 \times 7210}$$

$$= 0,141 \text{ cm}$$

$$f_{ijin} > f^o \rightarrow 0,625 \text{ cm} > 0,141 \text{ cm (OK)}$$

“ Profil WF 300 x 150 x 6,5 x 9 dapat digunakan sebagai balok penggantung lift”

#### 4.1.4 Perencanaan Tangga dan Bordes

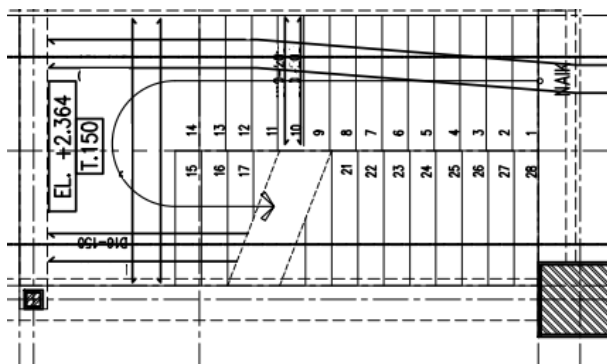
Tangga adalah sebuah konstruksi yang dirancang untuk menghubungi dua tingkat vertikal yang memiliki jarak satu sama lain. Pada gedung perkuliahan Fakultas Ilmu dan Administrasi Universitas Brawijaya ini struktur tangga direncanakan menggunakan konstruksi dari dek baja yang dicor beton.

##### 4.1.4.1 Perencanaan Tangga

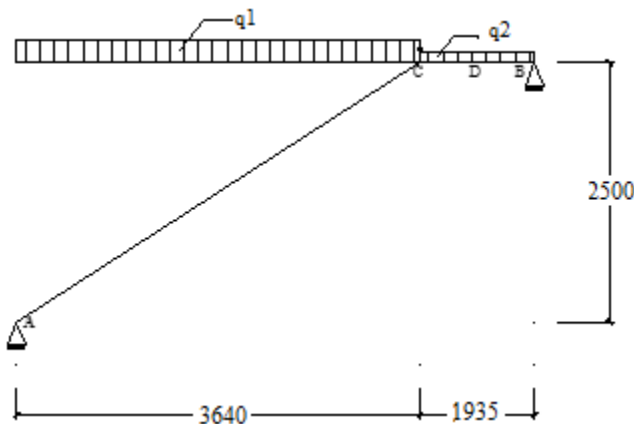
###### Data Teknis Tangga

- Mutu baja	= BJ-41
- Tinggi antar lantai	= 500 cm
- Tinggi bordes	= 250 cm
- Panjang tangga	= 364 cm
- Lebar tangga	= 145 cm
- Lebar bordes	= 193,5 cm
- Lebar injakan ( <i>i</i> )	= 28 cm
- Lebar pegangan tangga	= 10 cm

- Persyaratan-persyaratan jumlah injakan tangga  
 $60 \text{ cm} \leq (2t + i) \leq 65 \text{ cm}$   
 $25^\circ < a < 40^\circ$   
 Dimana :  
 t = tinggi injakan (cm)  
 i = lebar injakan (cm)  
 a = kemiringan tangga
- Perhitungan Jumlah Injakan dan Kemiringan Tangga  
 Tinggi injakan ( $t$ ) = 17 cm  
 Jumlah tanjakan =  $\frac{(500/2)}{17} = 14,705 \text{ buah} = 15 \text{ buah}$   
 Jumlah injakan ( $n$ ) = 15 - 1 = 14 buah  
 $60 \text{ cm} \leq (2 \times 17 + 28) \leq 65 \text{ cm}$   
 $60 \text{ cm} < (62) < 65 \text{ cm (OK)}$   
 Lebar bordes = 193,5 cm  
 Lebar tangga = 145 cm  
 $a = \text{arc tg} \left( \frac{500/2}{364} \right) = 34,48^\circ > 40^\circ$



Gambar 4.13 Denah Tangga



Gambar 4.14 Tampak Samping Tangga

- Tebal efektif Pelat Tangga

$$\begin{aligned} \text{Luas } \Delta 1 &= 0,5 \times i \times t \\ &= 0,5 \times 28 \times 17 \\ &= 238 \text{ cm}^2 \end{aligned}$$

$$\begin{aligned} \text{Luas } \Delta 2 &= 0,5 \times (i^2 + t^2)^{0,5} \times d \\ &= 0,5 \times (28^2 + 17^2)^{0,5} \times d \\ &= 16,5d \text{ cm}^2 \end{aligned}$$

$$\begin{aligned} \text{Luas } \Delta 1 &= \text{Luas } \Delta 2 \\ 238 \text{ cm}^2 &= 16,5d \\ d \text{ efektif} &= 14,42 \text{ cm} \end{aligned}$$

- Perencanaan Pelat Beton Anak Tangga

Anak tangga terbuat dari beton dan pelat beton anak tangga menggunakan pelat beton dengan deck baja. Struktur pelat beton anak tangga direncanakan menggunakan bantuan tabel perencanaan praktis berdasar brosur "SUPER FLOOR DECK"

- Tebal deck baja = 0,75 mm
- Mutu Beton = 30 MPa
- Mutu Baja U-48 = 4800 kg/cm<sup>2</sup>

- Berat Jenis Beton = 2400 kg/cm<sup>2</sup>
- Tipe Pelat = Bentang Tunggal
- Tulangan Susut = Wire Mesh diameter 5 mm

Beban Mati :

- Berat ekivalen anak tangga 24 x 14,42 = 346,08 kg/m<sup>2</sup>
  - Berat spesi 2 cm 0,02 x 2200 = 44 kg/m<sup>2</sup>
  - Berat keramik 1 cm 1 x 24 = 24 kg/m<sup>2</sup>
- $q_{D\text{total}} = 414,08 \text{ kg/m}^2$

Beban Hidup:

Beban hidup pada tangga diambil sebesar 480 kg/m<sup>2</sup> sesuai SNI 1727-2013 tabel 4.1

Beban Berguna

$$Q_u = Q_d + Q_l = 414,08 + 480 = 894,08 \text{ kg/m}^2$$

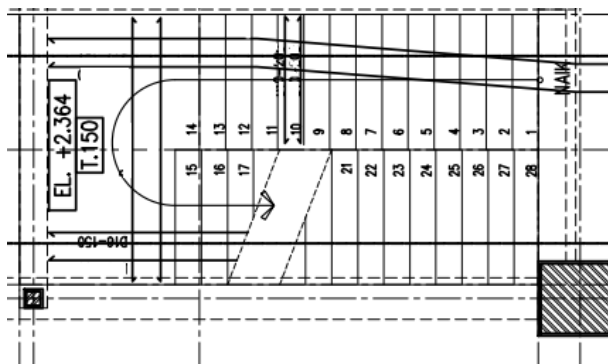
Data-data perencanaan pelat bondex

- Bentang 1,45 m ≈ 1,5 m
- Beban berguna = 894 kg/m<sup>2</sup> ≈ 1000 kg/m<sup>2</sup>

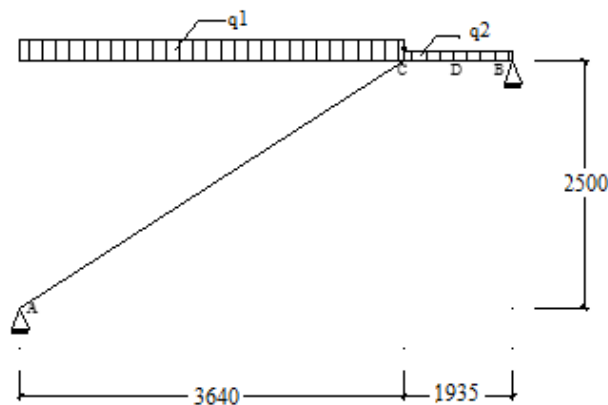
Bentang tunggal tanpa tulangan negative, diperoleh tebal pelat sebesar 9 cm

#### 4.1.4.2 Perencanaan Bordes

Anak tangga terbuat dari beton dan pelat beton anak tangga menggunakan pelat beton dengan deck baja. Struktur pelat beton anak tangga direncanakan menggunakan bantuan tabel perencanaan praktis berdasar brosur “SUPER FLOOR DECK”



Gambar 4.15 Denah Bordes

Gambar 4.16 Tampak Samping Tangga  
Pelat Bordes

- Tebal deck baja = 0,75 mm
- Mutu Beton = 30 MPa
- Mutu Baja U-48 =  $4800 \text{ kg/cm}^2$
- Berat Jenis Beton =  $2400 \text{ kg/cm}^2$
- Tipe Pelat = Bentang Tunggal
- Tulangan Susut = Wire Mesh diameter 5 mm

Beban Mati :

$$\begin{aligned}
 - \text{ Berat spesi } 2 \text{ cm } 0,02 \times 2200 &= 44 \text{ kg/m}^2 \\
 - \text{ Berat keramik } 1 \text{ cm } 1 \times 24 &\equiv 24 \text{ kg/m}^2 \\
 q_{\text{total}} &= 68 \text{ kg/m}^2
 \end{aligned}$$

Beban Hidup:

Beban hidup pada tangga diambil sebesar  $480 \text{ kg/m}^2$  sesuai SNI 1727-2013 tabel 4.1

Beban Berguna

$$Qu = Qd + Ql = 68 + 480 = 548 \text{ kg/m}^2$$

Data-data perencanaan pelat bondex

- Bentang  $1,935 \text{ m} \approx 2 \text{ m}$
- Beban berguna  $= 548 \text{ kg/m}^2 \approx 600 \text{ kg/m}^2$
- Bentang menerus dengan tulangan negatif, didapatkan tebal pelat 9 cm, dan tulangan negatif  $2,03 \text{ cm}^2/\text{m}$

Digunakan tulangan  $\emptyset 10$  ( $As = 0,7857 \text{ cm}^2$ )

Jumlah tulangan yang dibutuhkan tiap meter adalah :

- $n = \frac{2,03}{0,7857} = 2,583 \approx 3 \text{ buah}$
- Jarak antar tulangan  $s = \frac{1000}{3} = 333,33 \text{ mm} \approx 300 \text{ mm}$

#### 4.1.4.3 Perencanaan Balok Utama Tangga

Balok utama tangga dianalisa dengan menggunakan 2 buah balok WF pada sisi kanan dan kiri tangga dengan rencana di atas dua tumpuan sederhana yang menerima beban merata yang berasal dari berat sendiri balok, beban bordes dan beban dari anak tangga. Balok utama direncanakan menggunakan profil WF 250 x 125 x 5 x 8, dengan spesifikasi sebagai berikut:

$$\begin{aligned}
 d &= 248 \text{ mm} & ix &= 10,4 \text{ cm} \\
 bf &= 124 \text{ mm} & iy &= 2,79 \text{ cm} \\
 tf &= 8 \text{ mm} & Zx &= 305 \text{ cm}^3 \\
 tw &= 5 \text{ mm} & Zy &= 63 \text{ cm}^3
 \end{aligned}$$

A	= 32,68 cm <sup>2</sup>	Sx = 285 cm <sup>3</sup>
q	= 25,7 kg/m	Sy = 41,1 cm <sup>3</sup>
Ix	= 3540 cm <sup>4</sup>	r = 12 cm
Iy	= 255 cm <sup>4</sup>	h = d - 2(tf+r)
Fy	= 250 Mpa (BJ-41)	= 208 mm

- Perencanaan Pembebatan Anak Tangga

Beban mati (anak tangga)

$$\text{Berat anak tangga } 414,08 \text{ kg/m}^2 \times 1,45/2 = 300,208 \text{ kg/m}$$

$$\text{Pelat Bondek } 0,09 \times 1,45/2 \times 2400 = 156,6 \text{ kg/m}$$

$$\begin{aligned} \text{Berat profil balok } 25,7 / \cos(34,48) &= 31,17 \text{ kg/m} \\ \underline{\quad} &+ \\ qd1 &= 487,985 \text{ kg/m} \end{aligned}$$

Beban hidup

$$q_{L1} = 480 \times 1,45/2 = 348 \text{ kg/m}$$

$$q_{U1} = 1,2 q_D + 1,6 q_L$$

$$= 1,2 \times 487,985 + 1,6 \times 348$$

$$= 1142,382 \text{ kg/m}$$

- Perencanaan Pembebatan Dan Gaya Dalam Bordes

Beban mati

$$\text{Spesi dan Keramik } 1,45/2 \times 68 = 49,3 \text{ kg/m}$$

$$\text{Pelat Bondek } 1,45/2 \times 0,09 \times 2400 = 156,6 \text{ kg/m}$$

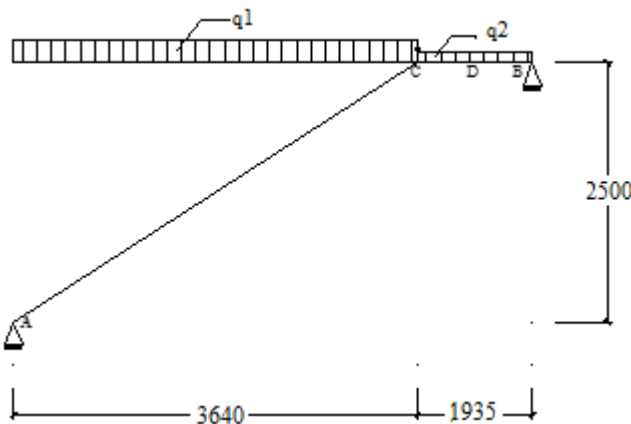
$$\begin{aligned} \text{Balok Tangga } 31,17 \text{ kg/m} &= 31,17 \text{ kg/m} \\ \underline{\quad} &+ \\ qd2 &= 237,37 \text{ kg/m} \end{aligned}$$

Beban hidup

$$q_{L2} = 480 \times 1,45/2 = 348 \text{ kg/m}$$

$$q_{U2} = 1,2 q_{D2} + 1,6 q_{L2}$$

$$= 1,2 \times 237,37 + 1,6 \times 348 = 841,644 \text{ kg/m}$$



Gambar 4.17 Model Pembebanan Balok Utama Tangga

- Perhitungan pembebanan

$$\Sigma Ma = 0$$

$$Rb.(3,64+1,935) = qu1.3,64.3,64/2 + qu2.(3,64+1,935/2)$$

$$Rb = \frac{1142,382 \times 3,64 \times 3,64/2 + 841,644 \times (3,64 + \frac{1,935}{2})}{5,575}$$

$$= 2052,55 \text{ kg}$$

$$\Sigma Mb = 0$$

$$Ra.(3,64+1,935) = qu1.3,64.(3,64+3,64/2+1,935+ \\ qu2.(1,935^2/2) = 0$$

$$Ra = \frac{1142,382 \times 3,64 \times 3,755 + 841,644 \times 1,872}{5,575}$$

$$= 3083,383 \text{ kg}$$

Kontrol:

$$\sum V = Ra + Rb - qu_1 \times 3,64 - qu_2 \times 1,935$$

$$= 3083,383 + 2052,55 - 1142,382 \cdot 3,64 - 841,644 \cdot 1,935 \\ = 0 (\text{OK})$$

Bidang M

- a - c :

$$Mx = Ra \cdot x - \frac{1}{2} qu_1 \cdot x^2$$

$$= 3083,833 \cdot x - \frac{1}{2} 1142,382 \cdot x^2$$

$$x = 0 \text{ m}$$

$$Ma = 0 \text{ kg.m}$$

$$x = 3,64 \text{ m}$$

$$Mc = 3083,383 \cdot 3,64 - \frac{1}{2} \cdot 1142,382 \cdot 3,64^2 = 3655,46 \text{ kg.m}$$

Momen maksimum terjadi apabila  $\frac{dM_x}{dx} = 0$

$$\frac{dM_x}{dx} = 3083,383 - 1142,382 \cdot x = 0$$

$$x = 2,7 \text{ m}$$

$$\begin{aligned} M_{\max} &= 3083,383 \cdot 2,7 - \frac{1}{2} \cdot 1142,382 \cdot 2,7^2 \\ &= 4161,151 \text{ kg.m} \end{aligned}$$

- b - c :

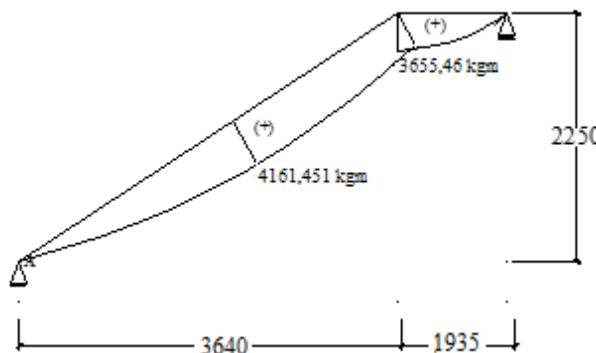
$$\begin{aligned} Mx &= Rb \cdot x - \frac{1}{2} qu_2 \cdot x^2 - p \cdot x \\ &= 887,10 \cdot x - \frac{1}{2} \cdot 353,01 \cdot x^2 - 5,58 \cdot x \end{aligned}$$

$$x = 0 \text{ m}$$

$$Mb = 0 \text{ kg.m}$$

$$x = 1,935 \text{ m}$$

$$Mc = 3655,46 \text{ kg.m}$$



Gambar 4.18 Bidang M Balok Tangga

### Bidang D

- a - c :

$$Dx = Ra \cdot \cos(32,74^\circ) - qu_1 \cdot x \cdot \cos(32,74^\circ)$$

$$= 3083,383 \cdot \cos(34,48^\circ) - 1142,382 \cdot x \cdot \cos(34,48^\circ)$$

$$x = 0 \text{ m}$$

$$\begin{aligned} Da_{ka} &= 3083,383 \cdot \cos(34,48^\circ) - 1142,382 \cdot 0 \cdot \cos(34,48^\circ) \\ &= 2541,7 \text{ kg} \end{aligned}$$

$$x = 3,64 \text{ m}$$

$$\begin{aligned} Dc_{ki} &= 3083,383 \cdot \cos(34,48^\circ) - 1142,382 \cdot 3,64 \cdot \cos(34,48^\circ) \\ &= -886,055 \text{ kg} \end{aligned}$$

- b - c :

$$\begin{aligned} Dx &= -Rb + qu_2 \cdot x + p_1 \\ &= -886,055 + 841,644 \cdot x + 5,58 \end{aligned}$$

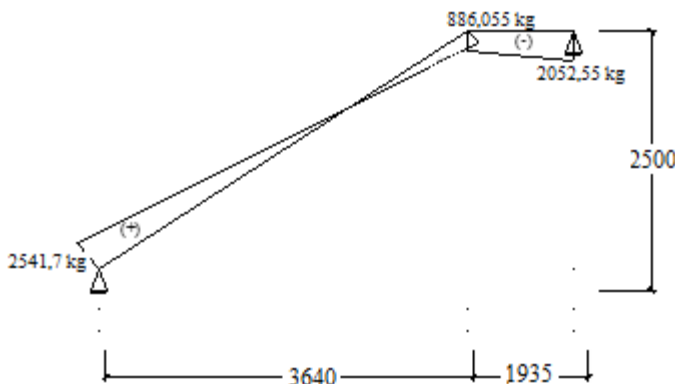
$$x = 0 \text{ m}$$

$$\begin{aligned} Db_{ki} &= -886,055 + 841,644 \cdot 0 + 5,58 \\ &= -886,055 \text{ kg} \end{aligned}$$

$$x = 1,935$$

$$Db_{ki} = -886,055 - 841,644 \cdot 1,935$$

$$Db_{ki} = -2052,55 \text{ kg}$$



Gambar 4.19 Bidang D Balok Tangga  
Bidang N

- a - c :

$$Nx = 3083,383 \cdot \sin(34,48^\circ) - 1142,382 \cdot x \cdot \sin(34,48^\circ)$$

$$x = 0 \text{ m}$$

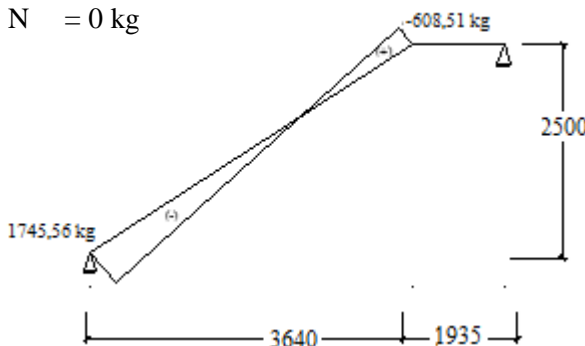
$$\begin{aligned} Na_{ka} &= 3083,383 \cdot \sin(34,48^\circ) - 1142,382 \cdot 0 \cdot \sin(34,48^\circ) \\ &= 1745,56 \text{ kg} \end{aligned}$$

$$x = 3,64 \text{ m}$$

$$\begin{aligned} N_{ck} &= 3083,383 \cdot \sin(34,48^\circ) - 1142,382 \cdot 3,64 \cdot \sin(34,48^\circ) \\ &= -608,51 \text{ kg} \end{aligned}$$

- c - b :

$$N = 0 \text{ kg}$$



Gambar 4.20 Bidang N Balok Tangga

- Kontrol Penampang Terhadap Tekuk Lokal

- Pelat sayap :

$$\lambda = \frac{b_f}{2t_f} = \frac{124}{2 \times 8} = 7,75$$

$$\lambda_p = \frac{170}{\sqrt{f_y}} = \frac{170}{\sqrt{250}} = 10,75$$

$\lambda < \lambda_p \rightarrow$  penampang kompak

- Pelat badan :

$$\lambda = \frac{h}{tw} = \frac{248-2(8+12)}{5} = 41,60$$

$$\lambda_p = \frac{1680}{\sqrt{f_y}} = \frac{1680}{\sqrt{250}} = 106,25$$

$\lambda < \lambda_p \rightarrow$  penampang kompak

- Karena penampang kompak, maka  $M_n = M_p$

$$M_p = f_y \cdot Z_x = 2500 \times 305$$

$$= 762500 \text{ kg.cm}$$

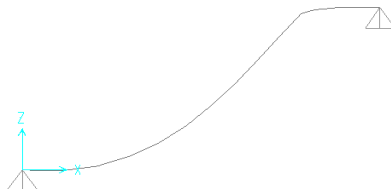
$$= 7625 \text{ kg.m}$$

- Kontrol Penampang Terhadap Tekuk Lateral  
 $L_b = 20 \text{ cm}$  (jarak antara pengikat bondek ke balok tangga)  
 $L_p = 138,88 \text{ cm}$       } Dari Tabel ( $L_p & L_r$ )  
 $L_r = 404,55 \text{ cm}$   
 $L_b < L_p < L_r \rightarrow$  Bentang Pendek, maka  $M_n = M_p$   
 $M_n = M_p = Z_x \times f_y$   
 $= 305 \text{ cm}^3 \times 2500 \text{ kg/m}^2$   
 $= 762500 \text{ kg.cm} = 7625 \text{ kg.m}$   
Cek kemampuan penampang  
 $\phi_b \cdot M_n \geq M_u$   
 $\phi_b \cdot M_n = 0,9 \times 7625$   
 $= 6863 \text{ kg.m} \geq 4161,151 \text{ kg.m}$  (OK)
- Kontrol Geser  
 $V_u = 2541,7 \text{ kg}$   
 $\frac{h}{tw} \leq \frac{1100}{\sqrt{f_y}} \rightarrow \frac{208}{5} \leq \frac{1100}{\sqrt{f_y}}$   
 $41,60 \leq 69,57 \rightarrow$  Plastis  
Maka,  $V_n = 0,6 f_y A_w$   
 $= 0,6 \times 2500 \times (24,8 \times 0,5) = 18600 \text{ kg}$   
 $\phi V_n \geq V_u$   
 $\phi V_n = 0,9 \cdot 18600 \text{ kg}$   
 $= 16740 \text{ kg} > 2541,7 \text{ kg}$  (OK)
- Persamaan Interaksi Tekan - Lentur  
 $L = \sqrt{(364)^2 + (250)^2} = 441,58 \text{ cm}$   
 $K_c = 1$  (sendi - rol)  
 $\lambda = k_c \times L = 1,0 \times 441,58 = 441,58$   
 $\lambda_c = \frac{\lambda}{\pi \cdot i_x \sqrt{\frac{f_y}{E}}} = \frac{441,58}{\pi \cdot 10,4 \sqrt{\frac{250}{200000}}} = 1,167 \rightarrow \lambda_c < 1,25$   
 $\omega = \frac{1,43}{1,6 - 0,67 \lambda_c} = \frac{1,43}{1,6 - 0,67 \cdot 1,167} = 1,76$   
 $P_n = \frac{A_g \times f_y}{\omega} = \frac{32,68 \times 2500}{1,76} = 46440,85 \text{ kg}$   
 $\phi P_n = 0,85 \times 46440,85 \text{ kg}$

$$\begin{aligned}
 &= 39474,72 \text{ kg} \\
 \frac{Pu}{\phi Pn} &= \frac{886,055}{39474,72} = 0,02 < 0,2 \text{ maka rumus interaksi 2} \\
 &= \frac{Pu}{2\phi Pn} + \left[ \frac{Mux}{\phi b Mnx} + \frac{Muy}{\phi b Mny} \right] \leq 1,0 \\
 &= \frac{886,055}{2 \cdot 39474,72} + \left[ \frac{4161,051}{6863} + 0 \right] \leq 1,0 \\
 &= 0,61 < 1 \text{ (OK)}
 \end{aligned}$$

- Kontrol Lendutan

$$f_{ijin} = \frac{L}{240} = \frac{\sqrt{(364)^2 + (250)^2}}{240} = 1,84$$



Gambar 4.21 Analisa Lendutan Balok Utama Tangga  
Berdasar analisa program SAP 2000, diperoleh lendutan max balok utama tangga ( $f^o$ ) = 0,564 cm (Hasil analisa SAP)  
 $f^o < f_{ijin} \rightarrow 0,564 \text{ cm} < 1,84 \text{ cm}$  (OK).

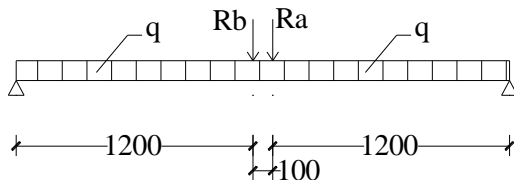
#### 4.1.4.4 Perencanaan Balok Penumpu Tangga

Balok utama penumpu tangga direncanakan memakai profil WF 250 x 125 x 5 x 8 dengan data-data sebagai berikut:

$d$	= 248 mm	$i_x$	= 10,4 cm
$bf$	= 124 mm	$i_y$	= 2,79 cm
$tf$	= 8 mm	$Z_x$	= 305 cm <sup>3</sup>
$tw$	= 5 mm	$Z_y$	= 63 cm <sup>3</sup>
$A$	= 32,68 cm <sup>2</sup>	$S_x$	= 285 cm <sup>3</sup>
$q$	= 25,7 kg/m	$S_y$	= 41,1 cm <sup>3</sup>
$I_x$	= 3540 cm <sup>4</sup>	$r$	= 12 cm
$I_y$	= 255 cm <sup>4</sup>	$h$	= $d - 2(tf+r)$
$F_y$	= 250 Mpa (BJ-41)		= 208 mm

- Pembebanan

Pembebanan pada balok penumpu tangga diperoleh dari gaya reaksi ( $R_a$  dan  $R_b$ ) yang bekerja pada balok utama tangga. Gaya reaksi tersebut akan menjadi beban terpusat  $P$  yang menumpu pada balok penumpu tangga. Pada balok penumpu tangga juga bekerja beban merata yang berasal dari dinding setengah dari tinggi lantai dan berat profil. Sketsa pembebanan balok penumpu tangga bisa dilihat pada gambar di bawah ini :



Gambar 4.22 Pembebanan Balok Penumpu Tangga

$$R_a = 3038,383 \text{ kg}$$

$$R_b = 2052,255 \text{ kg}$$

Beban merata ( $q$ )

$$\text{Berat profil} = 25,7 \text{ kg/m}$$

$$\begin{aligned} \text{Beban dinding } 2,25 \times 100 &= 225 \text{ kg/m} + \\ &= 250,7 \text{ kg/m} \end{aligned}$$

$$\begin{aligned} \text{Berat sambungan 10\%} &= 25,07 \text{ kg/m} + \\ &= 275,77 \text{ kg/m} \end{aligned}$$

- Reaksi Perletakan

$$\Sigma M_a = 0$$

$$R_{vb} \cdot 3 - R_a \cdot 1,535 - R_b \cdot 1,435 - \frac{1}{2} \cdot q \cdot 3^2 = 0$$

$$\begin{aligned} R_{vb} &= \frac{3038,383 \times 1,3 + 2052,25 \times 1,2 + \frac{1}{2} \times 275,77 \times 3^2}{3} \\ &= 2424,79 \text{ kg} \end{aligned}$$

$$\Sigma M_b = 0$$

$$R_{va} \cdot 3 - R_b \cdot 1,535 - R_a \cdot 1,435 - \frac{1}{2} \cdot q \cdot 3^2 = 0$$

$$R_{va} = \frac{2052,25 \times 1,535 + 3038,383 \times 1,435 + \frac{1}{2} \times 275,77 \times 3^2}{3}$$

$$= 2917,08 \text{ kg}$$

Kontrol:

$$\begin{aligned}\sum V &= R_{va} + R_{vb} - R_a - R_b - q \times 3,85 \\ &= 2424,79 + 2917,08 - 3038,383 - 2052,25 - 275,77 \times 3 \\ &= 0 \text{ (OK)}\end{aligned}$$

- Perhitungan Gaya Dalam

#### Momen maksimum

$$\begin{aligned}M_{max} &= R_{va} \times 1,25 - R_a \times 0,125 - \frac{1}{2} \times q \times 1,485^2 \\ &= 2917,08 \times 1,485 - 3038,38 \times 0,05 - \frac{1}{2} \times 275,77 \times 1,485^2 \\ &= 3875,877 \text{ kg.m}\end{aligned}$$

#### Gaya geser

$$V_U = -R_{va} = -2917,08 \text{ kg}$$

- Kontrol Penampang Terhadap Tekuk Lokal

- Pelat sayap :

$$\lambda = \frac{b_f}{2t_f} = \frac{124}{2 \times 8} = 7,75$$

$$\lambda_p = \frac{170}{\sqrt{f_y}} = \frac{170}{\sqrt{250}} = 10,75$$

$$\lambda < \lambda_p \rightarrow \text{penampang kompak}$$

- Pelat badan :

$$\lambda = \frac{h}{tw} = \frac{248 - 2(12+8)}{5} = 41,6$$

$$\lambda_p = \frac{1680}{\sqrt{f_y}} = \frac{1680}{\sqrt{250}} = 106,25$$

$$\lambda < \lambda_p \rightarrow \text{penampang kompak}$$

- Karena penampang kompak, maka  $M_n = M_p$

$$M_p = f_y \cdot Zx = 2500 \times 305$$

$$= 762500 \text{ kg.cm}$$

$$= 7625 \text{ kg.m}$$

- Kontrol Penampang Terhadap Tekuk Lateral

Jarak penahan lateral ( $L_b$ ) = 120 cm

$L_p = 138,88 \text{ cm}$       }      Dari Tabel ( $L_p$  &  $L_r$ )

$L_r = 331,236 \text{ cm}$

$L_b < L_p < L_r \rightarrow$  Bentang Pendek

Karena bentang menengah, maka:

$$\begin{aligned} M_n &= M_p = Z_x \times f_y \\ &= 305 \text{ cm}^3 \times 2500 \text{ kg/m}^2 \\ &= 762500 \text{ kg.cm} = 7625 \text{ kg.m} \end{aligned}$$

Cek kemampuan penampang

$$\begin{aligned} \phi_b \cdot M_n &\geq M_u \\ \phi_b \cdot M_n &= 0,9 \times 7625 \\ &= 6862,5 \text{ kg.m} \geq 3875,877 \text{ kg.m (OK)} \end{aligned}$$

- Kontrol Geser

$$V_u = 1248,2 \text{ kg}$$

$$\frac{h}{tw} \leq \frac{1100}{\sqrt{f_y}} \rightarrow \frac{208}{5} \leq \frac{1100}{\sqrt{f_y}}$$

$$41,6 \leq 69,57 \rightarrow \text{Plastis}$$

$$\begin{aligned} \text{Maka, } V_n &= 0,6 f_y A_w \\ &= 0,6 \times 2500 \times (24,8 \times 0,5) = 18600 \text{ kg} \end{aligned}$$

$$\phi V_n \geq V_u$$

$$\begin{aligned} \phi V_n &= 0,9 \cdot 18600 \text{ kg} \\ &= 16740 \text{ kg} > 2917,08 \text{ kg (OK)} \end{aligned}$$

- Kontrol Lendutan

$$f_{ijin} = \frac{L}{240} = \frac{250}{240} = 1,04$$



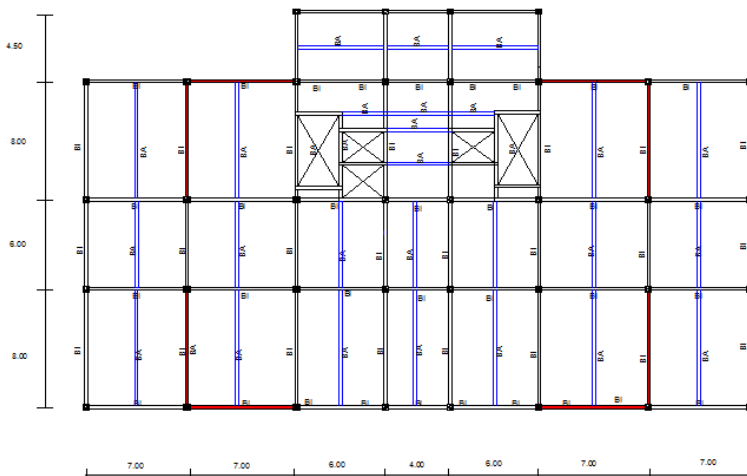
Gambar 4.23 Analisa Lendutan Balok Penumpu Tangga

$$f^o = 0,21 \text{ cm (Hasil analisa SAP)}$$

$$f^o < f_{ijin} \rightarrow 0,21 \text{ cm} < 1,04 \text{ cm (OK)}$$

## 4.2 Permodelan Struktur

Permodelan struktur atas pada tugas akhir ini menggunakan sistem *concentrically braced frames* (CBF). Sistem struktur CBF ini berfungsi sebagai penahan gaya lateral yang terjadi akibat gempa bumi. Struktur yang akan direncanakan merupakan bangunan perkuliahan 12 lantai dengan tambahan 1 lantai basement, dengan denah struktur adalah sebagai berikut:

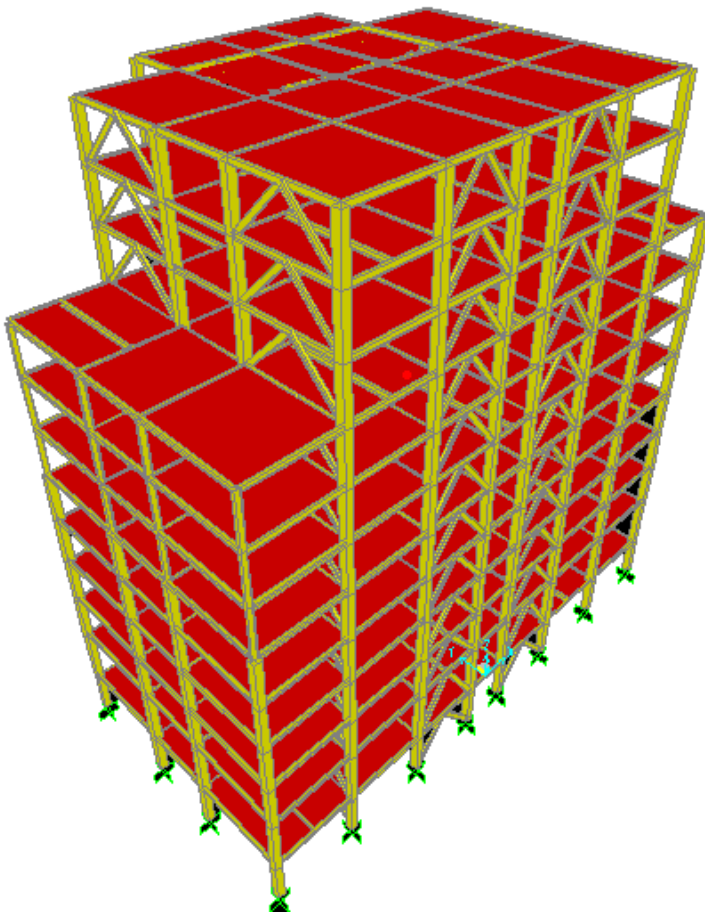


Gambar 4.22 Denah Struktur Gedung FIA UB

Pada gambar 5.1 arah vertikal mengikuti arah sumbu Y global (sumbu model) dan sumbu X adalah arah horizontal gambar. Sistem rangka baja yang direncanakan pada tugas akhir ini menggunakan Inverted V CBF yang dipasang pada bagian tertentu.

Permodelan struktur perkantoran dilakukan menggunakan program bantu SAP 2000. Pada program SAP 2000, struktur perkantoran akan dimodelkan sesuai dengan kondisi sesungguhnya, sehingga akan membantu dalam perencanaan agar memenuhi persyaratan yang berada di SNI-1729-2002 (Baja) dan SNI-1726-2012 (Gempa).

Berikut adalah permodelan yang dilakukan dalam program SAP 2000:



Gambar 4.23 Permodelan Gedung FIA UB

#### 4.2.1 Pembebaan Struktur Utama

Pembebaan struktur didasarkan pada SNI 1727-2013 dan dari brosur dengan rincian sebagai berikut:

1. Beban mati (*Dead Load*)

Beban mati adalah seluruh bagian bangunan yang bersifat tetap dan tidak terpisahkan dari bangunan selama masa layannya.

Beban mati yang dihitung pada struktur ini antara lain:

- Berat beton yang memiliki berat jenis 2400 kg/m<sup>3</sup>
- Berat pelat bondek 10,1 kg/ m<sup>2</sup>
- Berat profil baja yang terpasang sebagai rangka baja berupa balok, kolom, tangga, bressing dll memiliki berat jenis 7850 kg/m<sup>3</sup>
- Berat dinding bata ringan hebel 100 kg/ m<sup>2</sup>
- Berat spesi sebesar 22 kg/ m<sup>2</sup> untuk setiap ketebalan 1 cm
- Berat keramik sebesar 24 kg/ m<sup>2</sup> untuk setiap ketebalan 1cm
- Berat plafond dan penggantung sebesar 18 kg/ m<sup>2</sup>
- Beban lift merupakan beban terpusat pada balok lantai teratas, dengan besar beban lift terlampir.

Dengan rincian pembebanan sebagai berikut :

a. Pelat Atap

Berat Pelat Bondek	= 10,1 kg/m <sup>2</sup>
Berat Beton 0,09 x 2400	= 216 kg/m <sup>2</sup>
Beban Aspal,t = 1cm = 1 x 14	= 14 kg/m <sup>2</sup>
Beban rangka dan Plafon = (50+7)	= 18 kg/m <sup>2</sup>
Ducting Plumbing	<u>= 10 kg/m<sup>2</sup></u>
	= 268,1 kg/m <sup>2</sup>

b. Pelat Lantai Gedung

Berat Pelat Bondek	= 10,1 kg/m <sup>2</sup>
Berat Beton 0,09 x 2400	= 216 kg/m <sup>2</sup>
Beban Spesi,t = 2 cm = 2 x 21	= 42 kg/m <sup>2</sup>
Beban Keramik,t = 1 cm = 1 x 24	= 24 kg/m <sup>2</sup>
Beban rangka dan Plafon = (11+7)	= 18 kg/m <sup>2</sup>
Ducting Plumbing	<u>= 10 kg/m<sup>2</sup></u>
	= 320,1 kg/m <sup>2</sup>

2. Beban hidup (*Live Load*)

Beban hidup adalah beban yang bertumpu pada bangunan yang memiliki kemungkinan untuk lepas dari bangunan tersebut. Beban hidup sudah termasuk perlengkapan ruangan dan dinding

pemisah ringan (dinding partisi) yang beratnya tidak melebihi  $100 \text{ kg/m}^2$ . Beban hidup yang bekerja pada perkantoran ini adalah sebagai berikut:

- Lantai atap =  $100 \text{ kg/m}^2$
- Lantai perkantoran =  $250 \text{ kg/m}^{2\text{lah}}$

### 3. Beban gempa (*Earthquake Load*)

Berdasarkan wilayah gempa, kota Malang termasuk dalam wilayah gempa zona 4. Penentuan jenis tanah berdasarkan nilai SPT. Perhitungan beban gempa pada bangunan ini dilakukan dengan menganalisa beban gempa dinamik dan parameter gempa yang digunakan diambil dari desain Spectra Indonesia.

### 4. Data Tanah.

Salah satu persyaratan sebelum membangun sebuah bangunan adalah mengetahui jenis tanah di lokasi dimana akan didirikan bangunan. Salah satu cara mengetahui jenis tanah lokasi adalah dengan test penetrasi tanah (SPT). Berikut perhitungan N rata-rata untuk menentukan jenis tanah:

$$\tilde{N} \geq 50 = \text{Tanah Keras}$$

$$15 \leq \tilde{N} \leq 50 = \text{Tanah Sedang}$$

$$\tilde{N} < 15 = \text{Tanah Lunak}$$

Tabel 4.1 Tabel Perhitungan N Rata-Rata

Keterangan	Kedalaman (m)	Tebal	N	Tebal/N
Lapisan 1	0	-	0	-
Lapisan 2	3	3	24	0.125
Lapisan 3	6	3	>50	0.0428
Lapisan 4	9	3	>50	0.0428
Total		9		0.2106

$$\tilde{N} = \frac{9}{0,2106} = 42,73$$

Dari perhitungan nilai N rata- rata diatas diperoleh jenis tanah kategori tanah sedang

#### **4.2.2 Berat Total Bangunan**

Karena besarnya beban gempa sangat dipengaruhi oleh berat dari struktur bangunan, maka perlu diketahui berat total

bangunan untuk menentukan gaya geser statik. Berat dari bangunan berasal dari beban mati yang terdiri dari berat sendiri material-material konstruksi dan elemen-elemen struktur, serta beban hidup yang diakibatkan oleh hunian atau penggunaan bangunan.

Pada perencanaan tugas akhir ini perhitungan berat struktur diambil dari analisis menggunakan program SAP 2000 untuk kombinasi 1D +1L.

#### **4.2.3 Kombinasi Pembebaan**

Setelah memperhitungkan beban akibat gempa dan gravitasi, maka seluruh beban tersebut dihitung dengan faktor kombinasi yang mengacu pada SNI 1729-2015 sebagai berikut::

- 1,4 DL
- 1,2 DL + 1,6 LL
- 1,2 DL + 0,5 LL ± ΩE
- 0,9 DL ± ΩE

Keterangan :

DL : Beban mati

LL : Beban hidup

E : Beban gempa yang dinyatakan dalam 2 arah

Ω : Faktor kuat cadang struktur sebesar 2,2 sesuai tabel 15.2-1 SNI 1729-2015 untuk struktur rangka bresing konsentrifis

#### **4.2.4 Pembebaan Gempa Dinamis**

Perencanaan struktur Gedung FIA UB ini terdiri dari 12 tingkat dengan 1 basement yang memiliki ketinggian total 48,5 m. Perhitungan beban gempa pada struktur ini ditinjau dengan

pengaruh gempa dinamik sesuai SNI 1726-2012. Analisis dilakukan berdasarkan analisis respon dinamik dengan parameter-parameter yang sudah ditentukan.

#### **4.2.5 Permodelan Pelat Sebagai Diafragma**

Menurut SNI 03-1726-2012 Pasal 7.3.1.2. Keberadaan pelat beton atau dek metal yang diberi penutup (*topping*) beton, pada saat menerima beban gempa dapat berfungsi sebagai penyalur beban gempa pada struktur primer atau dapat diidealisasikan sebagai diafragma kaku. Dalam permodelan dimodelkan sebagai thin membrane

#### **4.2.6 Arah Pembebanan**

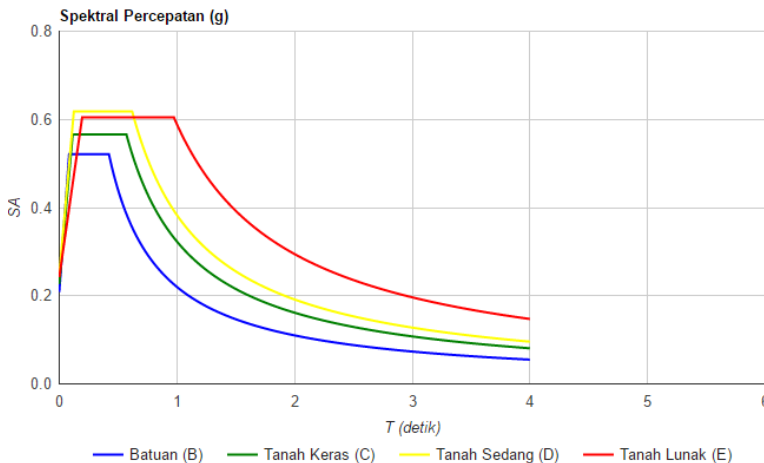
Arah pembebanan gempa dalam kenyataannya adalah sembarang, sehingga pada umumnya selalu terdapat 2 komponen beban gempa dalam arah masing-masing sumbu koordinat ortogonal yang bekerja bersamaan pada struktur gedung. Kondisi ini disimulasikan dengan meninjau pembebanan gempa dalam suatu arah sumbu koordinat yang ditinjau 100%, yang bekerja bersamaan dengan pembebanan gempa dalam arah tegak lurus tetapi ditinjau 30%.

#### **4.2.7 Parameter Respon Spectrum Rencana**

Dalam perencanaan bangunan, ada beberapa metode perhitungan pengaruh gempa, satu di antaranya adalah *response spectrum*. Gempa merupakan getaran yang tentu saja memiliki parameter-parameter sebuah getaran, seperti frekuensi, periode, spektrum dan parameter lainnya. Dalam hal ini informasi *response spectrum* merupakan fungsi spektra percepatan gempa (S) terhadap rentang waktu selama periode gempa berlangsung (T). Perhitungan gaya gempa menggunakan analisis dinamik sesuai persyaratan SNI 03-1726-2012. Berikut adalah nilai parameter respon spektrum untuk wilayah Malang dengan kondisi tanah sedang.

Tabel 4.2 Parameter Respon Gempa Wilayah Malang Untuk Kelas Situs B (Batuhan)

PGA (g)	0,399
S <sub>S</sub> (g)	0,781
S <sub>I</sub> (g)	0,330
C <sub>RS</sub>	1,003
C <sub>R1</sub>	0,921
F <sub>PGA</sub>	1,000
F <sub>A</sub>	1,000
F <sub>V</sub>	1,000
PSA (g)	0,399
S <sub>MS</sub> (g)	0,781
S <sub>M1</sub> (g)	0,330
S <sub>DS</sub> (g)	0,521
S <sub>D1</sub> (g)	0,220
T <sub>0</sub> (detik)	0,084
T <sub>S</sub> (detik)	0,422



Gambar 4.25 Grafik Spektral Percepatan Gempa Wilayah Malang

#### 4.2.8 Faktor Reduksi Gempa (R)

Pada tugas akhir ini, gedung perkantoran direncanakan menggunakan sistem rangka baja dengan sistem eksentris. Berdasarkan tabel 9 SNI 03-1726-2012 diperoleh nilai-nilai

Sistem penahan-gaya seismik	Koefisien modifikasi respons, $R^a$	Faktor kuat-lebih sistem, $\Omega_0^g$	Faktor pembesaran defleksi, $C_d^b$	Batasan sistem struktur dan batasan tinggi struktur, $h_s$ (m) <sup>c</sup>				
				Kategori desain seismik				
				B	C	D <sup>d</sup>	E <sup>d</sup>	F <sup>e</sup>
2. Rangka baja dengan bresing konsentris khusus	6	2	5	TB	TB	48	48	30
3. Rangka baja dengan bresing konsentris biasa	3½	2	3½	TB	TB	10'	10'	TR'

#### 4.2.9 Faktor Keutamaan (I)

Untuk berbagai kategori risiko struktur bangunan gedung dan non gedung pengaruh gempa rencana terhadapnya harus dikalikan dengan suatu faktor keutamaan  $I_e$ . Gedung direncanakan sebagai bangunan Perkantoran, pada tabel 3.6 bangunan termasuk kategori II sehingga pada Tabel 3.7 diperoleh nilai  $I=1$ .

#### 4.2.10 Analisis Struktur

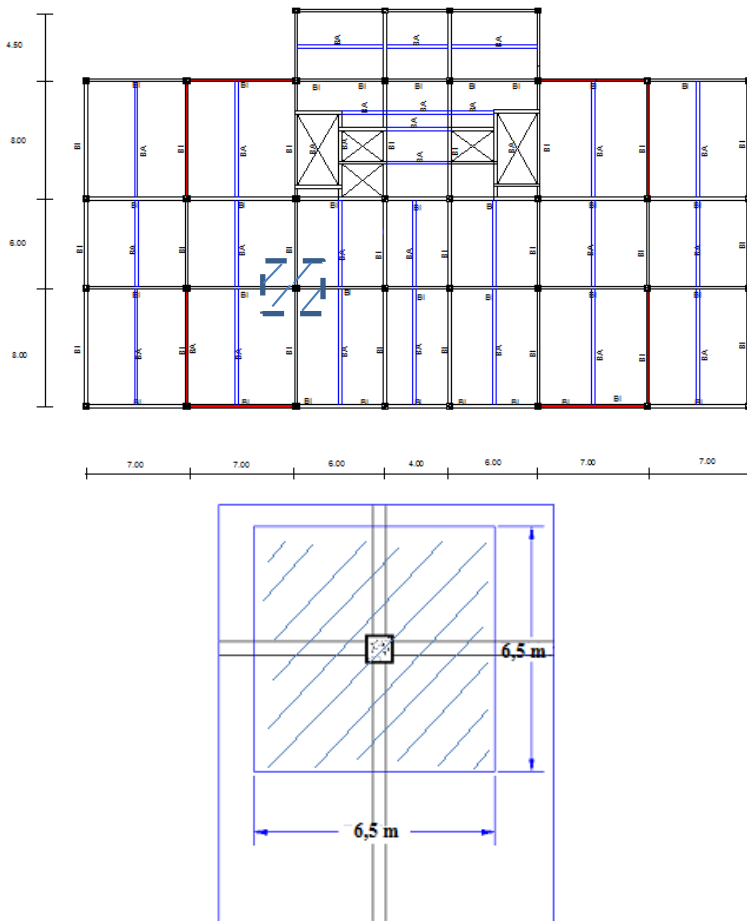
Hasil analisis struktur harus dikontrol terhadap suatu batasan- batasan tertentu untuk menentukan kelayakan sistem struktur tersebut. Kontrol- kontrol tersebut adalah sebagai berikut:

- Kontrol partisipasi massa
- Kontrol periode getar struktur
- Kontrol nilai akhir respon spektrum
- Kontrol batas simpangan (*drift*)

Sebelum melakukan kontrol- kontrol diatas, untuk membuktikan hasil permodelan struktur sesuai dengan keadaan sesungguhnya, maka dibutuhkan pemeriksaan secara manual. Pembuktian ini bisa dilakukan dengan cara membandingkan hasil analisa SAP2000 pada satu kolom yang ditinjau dengan kombinasi 1D+1L. Hasil perbandingan analisa dengan SAP 2000 dengan perhitungan manual tidak boleh melebihi batasan 5%.

Dari hasil analisis struktur juga, dipilih gaya dalam maksimum yang terjadi pada masing- masing elemen struktur sebagai kontrol kapasitas penampang.

- Kontrol Permodelan Struktur**



Gambar 4.26 Daerah Kolom Yang Ditinjau

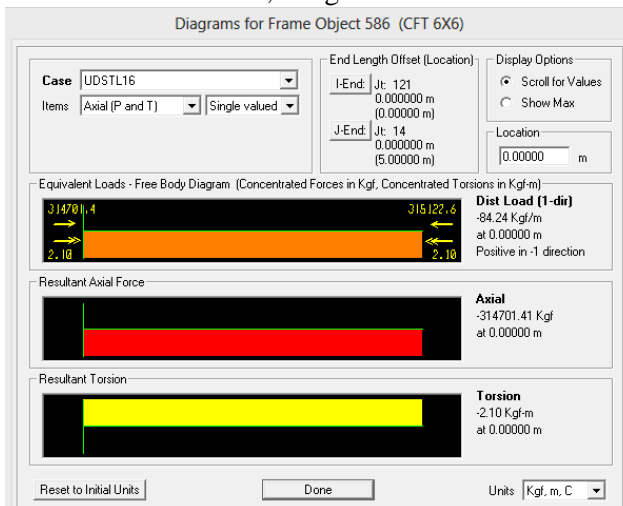
Luas area yang ditinjau =  $6.5 \text{ m} \times 6.5 \text{ m} = 42,25 \text{ m}^2$

Perhitungan beban mati dan beban hidup disajikan dalam bentuk tabel:

Tabel 4.3 Perhitungan Beban

Keterangan	Berat	Jumlah	Panjang	Luas	Berat (kg)
ql lantai	250 kg/m <sup>2</sup>	10	-	42,25 m <sup>2</sup>	105625
ql atap	100 kg/m <sup>2</sup>	1	-	42,25 m <sup>2</sup>	4225
qd lantai	320,1 kg/m <sup>2</sup>	10	-	42,25 m <sup>2</sup>	135242.25
qd atap	268,1 kg/m <sup>2</sup>	1	-	42,25 m <sup>2</sup>	11327.225
Kolom	896,56 kg/m	10	4 m	-	35862.55
BI Lantai	166 kg/m	10	6.5 m	-	10790
BA Lantai	66 kg/m	10	6.5 m	-	4290
BI Atap	66 kg/m	1	6.5 m	-	429
BA Atap	41,4 kg/m	1	6.5 m	-	269.1
Total					308060.1

Dari hasil analisa SAP2000 pada kolom As C-2 diperoleh beban aksial sebesar 314701,41 kg.



Gambar 4.27 Hasil Output SAP 2000 Kolom  
Selisih perhitungan antara perhitungan manual dan hasil sap 2000 adalah sebagai berikut:

$$314701.41 \text{ kg} - 308060.1 \text{ kg} = 6641,31 \text{ kg}$$

Sehingga diperoleh persentase:

$$\frac{6641,31}{308060.1} \times 100 = 2,15\% < 5\% (OK)$$

Dari hasil perhitungan diatas diperoleh kesimpulan bahwa permodelan telah mendekati keadaan sesungguhnya.

- Kontrol Partisipasi Massa**

Untuk mendapatkan hasil analisis struktur yang baik, analisis yang dilakukan harus menyertakan jumlah ragam yang cukup untuk mendapatkan partisipasi massa ragam terkombinasi minimal 90% dari massa aktual dari masing-masing arah horizontal orthogonal dari respon yang ditinjau ((SNI 1726-2012 pasal 7.9.1).

Pada perhitungan ini digunakan bantuan program SAP2000 untuk mendapatkan hasil partisipasi massa seperti pada tabel 5.4 dibawah ini.

Tabel 4.4 Rasio Partisipasi Massa

TABLE: Modal Participating Mass Ratios					
OutputCase	StepType	StepNum	SumUX	SumUY	SumUZ
Text	Text	Unitless	Unitless	Unitless	Unitless
MODAL	Mode	1	0.0003236	0.626	0.00001898
MODAL	Mode	2	0.718	0.628	0.00001902
MODAL	Mode	3	0.722	0.729	0.00003482
MODAL	Mode	4	0.722	0.838	0.0001886
MODAL	Mode	5	0.859	0.838	0.0001893
MODAL	Mode	6	0.859	0.843	0.000764
MODAL	Mode	7	0.86	0.906	0.0007645
MODAL	Mode	8	0.86	0.906	0.626
MODAL	Mode	9	0.866	0.906	0.654
MODAL	Mode	10	0.866	0.918	0.657
MODAL	Mode	11	0.897	0.918	0.662

MODAL	Mode	12	0.914	0.918	0.687
-------	------	----	-------	-------	-------

Dari tabel 5.2 di atas didapat partisipasi massa arah X sebesar 91% pada moda ke 12 dan partisipasi massa arah Y sebesar 91% pada moda ke 7 . Maka dapat disimpulkan analisis struktur yang sudah dilakukan telah memenuhi syarat yang terdapat pada SNI-03-1726-2012 pasal 7.9.1 yaitu partisipasi massa ragam terkombinasi paling sedikit sebesar 90%.

- **Kontrol Waktu Getar Alami Fundamental**

Perkiraan periode alami fundamental ( $T_a$ ) dalam detik, harus ditentukan dengan persamaan berikut:

$$T_a = C_t \cdot h_n^x \quad (\text{nilai } C_t \text{ dan } x \text{ diambil dari tabel 15 SNI 03-1726-2012})$$

$$C_t = 0,0731$$

$$x = 0,75$$

$$h_n = 48,5$$

$$T_a = 0,0731 \cdot 48,5^{0,75} = 1,4306 \text{ detik}$$

Dengan nilai  $S_{DI} = 0,22$ , maka  $C_u = 1,5$

Sehingga periode struktur yang diijinkan adalah :

$$T = T_a \cdot C_u = 1,4306 \cdot 1,5 = 2,1459 \text{ detik}$$

Tabel 4.5 Perioda dan Frekuensi Struktur

TABLE: Modal Periods And Frequencies				
OutputCase	StepType	StepNum	Period	Frequency
Text	Text	Unitless	Sec	Cyc/sec
MODAL	Mode	1	2.108415	0.47429
MODAL	Mode	2	1.53497	0.65148
MODAL	Mode	3	1.296825	0.77111
MODAL	Mode	4	0.693055	1.4429
MODAL	Mode	5	0.48424	2.0651
MODAL	Mode	6	0.412112	2.4265
MODAL	Mode	7	0.387028	2.5838

MODAL	Mode	8	0.307888	3.2479
MODAL	Mode	9	0.286687	3.4881
MODAL	Mode	10	0.26519	3.7709
MODAL	Mode	11	0.255254	3.9177
MODAL	Mode	12	0.250241	3.9962

Dari tabel di atas didapat  $T_c = 2,1084$  s. Maka berdasarkan kontrol waktu getar alami fundamental nilai T masih lebih kecil dari  $C_u$ . T. Jadi analisis struktur apartemen Mulyorejo masih memenuhi syarat SNI 03-1726-2012 Pasal 7.8.2.

- Kontrol Nilai Akhir Respon Spektrum**

Jika kombinasi respons untuk gaya geser dasar ragam dinamik ( $V_t$ ) lebih kecil 85% dari gaya geser dasar statik ( $V$ ) menggunakan prosedur gaya lateral ekivalen, maka gaya gempa harus dikalikan dengan 0,85V/ $V_t$  (SNI 1726-2012 Pasal 7.9.4.1)

Rumus geser statik adalah:

$$V = C_s \cdot W \quad (\text{SNI 03-1726-2012 Pasal 7.8.1})$$

$$C_s = \frac{S_{DS}}{R/I} = \frac{1,0}{6/1} = 0,1666$$

Nilai tidak boleh lebih dari:

$$C_{s \max} = \frac{S_{D1}}{T \cdot \left(\frac{R}{I}\right)} = \frac{0,22}{2,0145 \cdot \left(\frac{6}{1}\right)} = 0,0321 < 0,125$$

*(Not OK)*

Dan tidak boleh kurang dari:

$$C_{s \min} = 0,044 \cdot S_{DS} \cdot I_e > 0,01$$

$$= 0,044 \cdot 0,521 \cdot 1 > 0,01$$

$$= 0,0229 \geq 0,01 \rightarrow (\text{OK})$$

Maka:  $C_{s \min} < C_s > C_{s \max}$

$$0,0229 < 0,125 > 0,0321$$

Maka yang dipakai  $C_{s \max} = 0,0321$

Jika nilai  $S_1 \geq 0,6g$ , maka nilai  $C_s$  diperoleh dengan menggunakan persamaan:  $C_s = \frac{0,5 S_1}{(R/I)}$

Syarat:

$$S_1 \geq 0,6g$$

$$0,330 < 5,886 \text{ (Rumus tidak dipakai)}$$

Dari perhitungan diperoleh  $S_1 < 0,6g$ , maka rumus diatas tidak digunakan, sehingga nilai  $C_s$  yang digunakan adalah  $C_{smin} = 0,0229$

Dari analisis struktur yang sudah dilakukan, diperoleh berat total struktur Perkantoran Unesa adalah sebagai berikut:

Tabel 4.6 Reaksi Dasar Struktur

TABLE: Base Reactions					
OutputCase	CaseType	StepType	GlobalFX	GlobalFY	GlobalFZ
Text	Text	Text	Kgf	Kgf	Kgf
UDSTL9	Combination		-1.25E-08	3.578E-08	8305726.53
UDSTL10	Combination		-1.69E-08	4.783E-08	10982234.17
UDSTL11	Combination	Max	35225.26	1775.77	8328205.85
UDSTL11	Combination	Min	-35225.26	-1775.77	8324582.49
UDSTL12	Combination	Max	206403.62	10297.97	8329844.43
UDSTL12	Combination	Min	-206403.62	-10297.97	8322943.9
UDSTL13	Combination	Max	35225.26	1775.77	5341207.31
UDSTL13	Combination	Min	-35225.26	-1775.77	5337583.95
UDSTL14	Combination	Max	206403.62	10297.97	5342845.89
UDSTL14	Combination	Min	-206403.62	-10297.97	5335945.36
UDSTL15	Combination		-8.92E-09	2.556E-08	5932661.81
UDSTL16	Combination		-1.28E-08	3.628E-08	8347061.81

Dari tabel di atas didapat berat total struktur adalah 8347061,81 kg. Maka :

$$\begin{aligned}
 V_{\text{statik}} &= C_s \cdot W \\
 &= 0,0229 \cdot 8347061,81 \text{ kg} \\
 &= 191147,69 \text{ kg}
 \end{aligned}$$

Dari hasil analisis menggunakan program SAP 2000 didapatkan nilai gaya geser dasar (base shear) sebagai berikut :

Tabel 4.7 Gaya Geser Dasar Akibat Beban Gempa

Beban Gempa	Global FX (kg)	Global FY (kg)
Gempa Arah X	214612.56	61921.086
Gempa Arah Y	64389.786	206403.62

Kontrol nilai akhir respon spectrum:

- Arah-x :

$$\begin{aligned}
 V_{\text{dynamik}} &\geq 0,85 \cdot V_{\text{statik}} \\
 214612,56 \text{ kg} &> 0,85 \cdot 191147,69 \text{ kg} \\
 214612,56 \text{ kg} &> 162475,536 \text{ kg} \dots \text{ok}
 \end{aligned}$$

- Arah-y :

$$\begin{aligned}
 V_{\text{dynamik}} &\geq 0,85 \cdot V_{\text{statik}} \\
 206403,62 \text{ kg} &< 0,85 \cdot 191147,69 \text{ kg} \\
 206403,62 \text{ kg} &< 162475,536,1 \text{ kg} \dots \text{ok}
 \end{aligned}$$

Dari perhitungan diatas, diperoleh bahwa gaya geser dasar ragam (Vt) lebih besar dari gaya geser dasar (V) sehingga gaya geser tingkat nominal akibat gempa rencana struktur gedung hasil analisis tidak perlu diperbesar dan untuk analisis selanjutnya menggunakan analisis respons spektrum.

- **Kontrol Simpangan Antar Lantai (*Drift*)**

Perhitungan simpangan antar lantai ( $\Delta$ ) harus dihitung sebagai perbedaan defleksi pada pusat massa di tingkat teratas dan terbawah yang ditinjau. Apabila pusat massa tidak terletak segaris dalam arah vertikal, diijinkan untuk menghitung defleksi didasarkan tingkat berdasarkan proyeksi vertikal dari pusat massa tingkat diatasnya.

$\Delta_s$  dihitung sebagai selisih terbesar dari defleksi titik diatas dan dibawah tingkat yang letaknya segaris secara vertikal. Defleksi pusat massa di tingkat x ( $\delta_x$ ) ditentukan dengan persamaan berikut:

$$\delta_x = \frac{C_d \delta_{xe}}{I_e} \leq \Delta_a$$

Dimana:

$\delta_{xe}$  = defleksi pada lantai ke-x yang ditentukan dengan analisis elastis

$C_d$  = faktor pembesaran defleksi (4)

$I_e$  = faktor keutamaan gedung (1,0)

$\Delta_a = 0,020h_{sx}$

$\rho$  = Faktor redundansi (1,0)

Tabel 4.8 Kontrol Simpangan Antar Lantai Akibat Beban Gempa Arah X

Lantai	hi	$\Delta_{xe}$ (mm)	$\Delta_x$ (mm)	$\Delta$ (mm)	$\Delta_a$ (mm)	$\Delta_a/\rho$ (mm)	$\Delta \leq \Delta_a/\rho$ (mm)
Atap	4000	12.8	51.2	3.2	80	80	OK
Lantai 11	4000	12	48	3.56	80	80	OK
Lantai 10	4000	11.11	44.44	4.04	80	80	OK
Lantai 9	4000	10.1	40.4	4.4	80	80	OK
Lantai 8	4000	9	36	4.8	80	80	OK
Lantai 7	4000	7.8	31.2	4.8	80	80	OK
Lantai 6	4000	6.6	26.4	5.2	80	80	OK
Lantai 5	4000	5.3	21.2	5.2	80	80	OK
Lantai 4	4000	4	16	5.2	80	80	OK

Lantai 3	4000	2.7	10.8	4.8	80	80	OK
Lantai 2	4000	1.5	6	4.8	80	80	OK
Lantai 1	5000	0.3	1.2	0	100	100	OK
Basement	3500	0.3	1.2	1.2	70	70	OK

Tabel 4.9 Kontrol Simpangan Antar Lantai Akibat Beban Gempa Arah Y

Lantai	hi	$\Delta xe$	$\Delta x$	$\Delta$	$\Delta a$	$\Delta a/p$	$\Delta \leq \Delta a/p$
		(mm)	(mm)	(mm)	(mm)	(mm)	(mm)
Atap	4000	5.8	23.2	1.2	80	80	OK
Lantai 11	4000	5.5	22	0.8	80	80	OK
Lantai 10	4000	5.3	21.2	2	80	80	OK
Lantai 9	4000	4.8	19.2	1.2	80	80	OK
Lantai 8	4000	4.5	18	2	80	80	OK
Lantai 7	4000	4	16	2	80	80	OK
Lantai 6	4000	3.5	14	2.4	80	80	OK
Lantai 5	4000	2.9	11.6	2.4	80	80	OK
Lantai 4	4000	2.3	9.2	2.8	80	80	OK
Lantai 3	4000	1.6	6.4	2.4	80	80	OK
Lantai 2	4000	1	4	3.2	80	80	OK
Lantai 1	5000	0.2	0.8	0.8	100	100	OK
Basement	3500	0	0	0	70	70	OK

Dari hasil analisa tabel di atas maka analisis struktur memenuhi persyaratan sesuai dengan SNI 03-1726-2012 Pasal 7.9.3 dan Pasal 7.12.1.

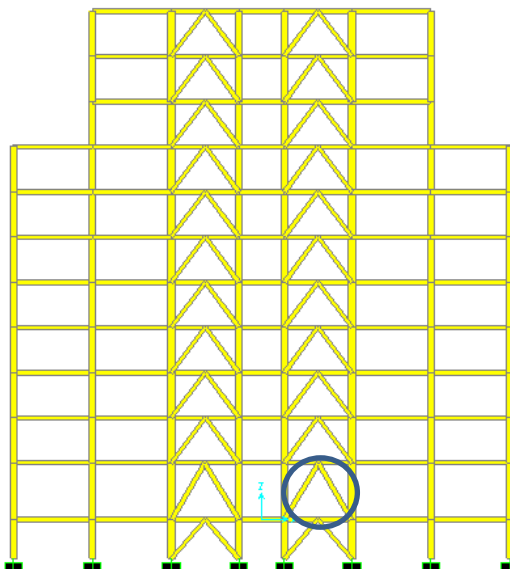
### 4.3 Perencanaan Elemen Struktur Primer

Setelah melakukan permodelan struktur 3 dimensi dengan menggunakan program bantu SAP 2000, elemen- elemen struktur akan dianalisa sesuai dengan ketentuan- ketentuan perencanaan struktur berdasarkan SNI 1729-2015.

#### 4.3.1 Perencanaan Batang Bresing

##### 4.3.2.1 Perencanaan Bresing arah Memanjang

Pada perhitungan arah x dipilih bresing yang menerima beban terbesar, yaitu pada lantai 1 pada elemen 1365



Gambar 4.28 Element Arah X

Pada *bresing* arah X direncanakan menggunakan profil WF 300 x 200 x 9 x 14 dengan data- data sebagai berikut:

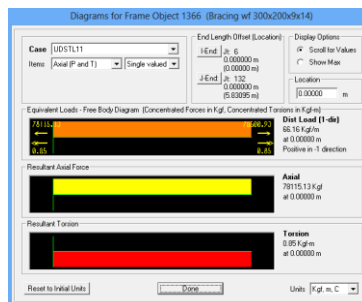
$$\begin{array}{ll}
 d & = 298 \text{ mm} & i_x & = 12,6 \text{ cm} \\
 b_f & = 201 \text{ mm} & i_y & = 4,77 \text{ cm} \\
 t_f & = 14 \text{ mm} & Z_x & = 963 \text{ cm}^3
 \end{array}$$

$$\begin{array}{ll}
 t_w = 9 \text{ mm} & Z_y = 288 \text{ cm}^3 \\
 A = 83,36 \text{ cm}^2 & S_x = 893 \text{ cm}^3 \\
 q = 65,4 \text{ kg/m} & S_y = 189 \text{ cm}^3 \\
 I_x = 13300 \text{ cm}^4 & r = 28 \text{ cm} \\
 I_y = 1900 \text{ cm}^4 & h = d - 2(t_f + r) \\
 F_y = 250 \text{ Mpa (BJ-41)} & = 234 \text{ mm}
 \end{array}$$

Hasil dari output SAP 2000, dengan kombinasi 1,2D+0,5L+1EX untuk bresing arah x diperoleh gaya dalam sebesar:



Gambar 4.29 Gaya Tekan *Bresing* Arah X



Gambar 4.30 Gaya Tarik *Bresing* Arah X

$$\begin{aligned}
 P_u &= -118285,44 \text{ kg (tekan)} \\
 P_u &= 78115,13 \text{ kg (tarik)}
 \end{aligned}$$

- Kontrol penampang

Pelat sayap

$$\lambda = \frac{bf}{2tf} = \frac{200}{2.14} = 7,14$$

$$\lambda_p = \frac{135}{\sqrt{fy}} = 8,54$$

$\lambda < \lambda_p \rightarrow$  Penampang Kompak

Pelat badan

$$\lambda = \frac{h}{tw} = \frac{234}{9} = 26$$

$$\lambda_p = \frac{1680}{\sqrt{fy}}$$

$$\lambda_p = \frac{1680}{\sqrt{250}} = 106,25$$

$\lambda < \lambda_p \rightarrow$  Penampang Kompak

- **Kontrol kuat tekan rencana**

direncanakan tumpuan sendi-sendi,  $kc = 1$

$$\frac{kc \times L}{i} \leq \frac{2625}{\sqrt{fy}} \text{ dengan } L = 5,83 \text{ meter}$$

$$\frac{2625}{\sqrt{250}} = 166,02$$

$$\lambda_x = \frac{1 \times 583}{12,6} = 46,26$$

$$\lambda_y = \frac{1 \times 583}{4,77} = 122,22 \text{ (menentukan)}$$

$\lambda = 122,22 < 166,02 \dots (\text{OK})$

$$\lambda_c = \frac{\lambda}{\pi} \cdot \sqrt{\frac{fy}{E}} = \frac{122,22}{\pi} \cdot \sqrt{\frac{250}{200000}} = 1,126$$

$$\omega = \frac{1,43}{1,6 - 0,67 \cdot \lambda_c} = \frac{1,43}{1,6 - 0,67 \cdot 1,126} = 1,59$$

- Kekuatan Nominal

$$N_n = Ag \times \frac{fy}{w} = 83,36 \times \frac{2500}{1,59} = 153589,74 \text{ kg}$$

- Kekuatan Rencana

$$\phi_c N_n = 0,85 \times 153589,74 \text{ kg} = 126551,2 \text{ kg}$$

$$Nu \leq \phi_c Nn$$

$$118285,44 \text{ kg} \leq 126551,2 \text{ kg (OK)}$$

- **Kontrol kuat tarik rencana**

Bressing tarik

$$P_{max} = R_y \cdot F_y \cdot Ag \\ = 1,5 \cdot 2500 \cdot 83,36 = 315450 \text{ kg}$$

Kuat Rencana Leleh

$$\phi N_n = 0,90 \times fy \times Ag = 187560 \text{ kg (menentukan)}$$

Kuat Rencana Putus

$$\phi N_n = 0,750 \times fu \times Ae$$

$$An = 83,36 - (6 \times 2,075 \times 0,9) = 72,155 \text{ cm}^2$$

$$U = 1-x/l = 1 - (1,5/1,6) = 0,9$$

$$Ae = 0,9 \times 72,155 = 64,94 \text{ cm}^2$$

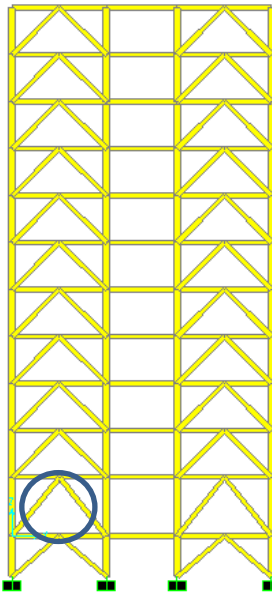
$$Nn = 0,750 \times 4100 \times 64,94 \\ = 199690,5 \text{ kg}$$

$$Nu \leq \phi N_n$$

$$78115,13 \text{ kg} \leq 187560 \text{ kg ... (OK)}$$

#### **4.3.2.2 Perencanaan Bresing arah Melintang**

Pada perhitungan arah y dipilih bresing yang menerima beban terbesar, yaitu pada lantai 1 pada elemen 1437

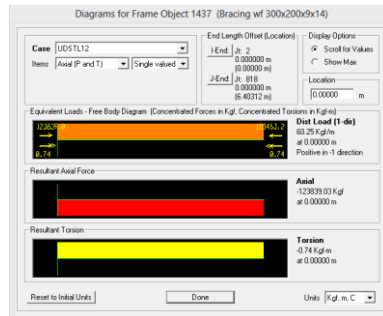
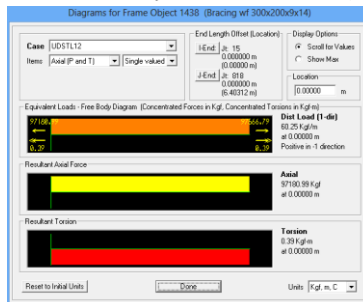


Gambar 4.31 Element Arah Y

Pada bresing arah Y direncanakan menggunakan profil WF 300 x 200 x 9 x 14 dengan data-data sebagai berikut:

$d$	= 298 mm	$i_x$	= 12,6 cm
$b_f$	= 201 mm	$i_y$	= 4,77 cm
$t_f$	= 14 mm	$Z_x$	= 963 cm <sup>3</sup>
$t_w$	= 9 mm	$Z_y$	= 288 cm <sup>3</sup>
$A$	= 83,36 cm <sup>2</sup>	$S_x$	= 893 cm <sup>3</sup>
$q$	= 65,4 kg/m	$S_y$	= 189 cm <sup>3</sup>
$I_x$	= 13300 cm <sup>4</sup>	$r$	= 28 cm
$I_y$	= 1900 cm <sup>4</sup>	$h$	= $d - 2(t_f + r)$
$F_y$	= 250 Mpa (BJ-41)		= 234 mm

Hasil dari output SAP 2000, dengan kombinasi 1,2D+0,5L+1EX untuk bresing arah x diperoleh gaya dalam sebesar:

Gambar 4.32 Gaya Tekan *Bresing* Arah YGambar 4.33 Gaya Tarik *Bresing* Arah Y

$$P_u = -123839,03 \text{ kg (tekan)}$$

$$P_u = 97180,99 \text{ kg (tarik)}$$

- Kontrol penampang

Pelat sayap

$$\lambda = \frac{bf}{2tf} = \frac{200}{2.14} = 7,14$$

$$\lambda_p = \frac{135}{\sqrt{fy}} = 8,54$$

$\lambda < \lambda_p \rightarrow$  Penampang Kompak

Pelat badan

$$\lambda = \frac{h}{tw} = \frac{234}{9} = 26$$

$$\lambda_p = \frac{1680}{\sqrt{f_y}}$$

$$\lambda_p = \frac{1680}{\sqrt{250}} = 106,25$$

$\lambda < \lambda_p \rightarrow$  Penampang Kompak

### - Kontrol kuat tekan rencana

direncanakan tumpuan sendi-sendi,  $k_c = 1$

$$\frac{k_c \times L}{i} \leq \frac{2625}{\sqrt{f_y}} \text{ dengan } L = 5,83 \text{ meter}$$

$$\frac{2625}{\sqrt{250}} = 166,02$$

$$\lambda_x = \frac{1 \times 583}{12,6} = 46,26$$

$$\lambda_y = \frac{1 \times 583}{4,77} = 122,22 \text{ (menentukan)}$$

$\lambda = 122,22 < 166,02 \dots (\text{OK})$

$$\lambda_c = \frac{\lambda}{\pi} \cdot \sqrt{\frac{f_y}{E}} = \frac{122,22}{\pi} \cdot \sqrt{\frac{250}{200000}} = 1,126$$

$$\omega = \frac{1,43}{1,6 - 0,67 \cdot \lambda_c} = \frac{1,43}{1,6 - 0,67 \cdot 1,126} = 1,59$$

### - Kekuatan Nominal

$$N_n = Ag \times \frac{f_y}{w} = 83,36 \times \frac{2500}{1,59} = 153589,74 \text{ kg}$$

### - Kekuatan Rencana

$$\phi_c N_n = 0,85 \times 153589,74 \text{ kg} = 126551,2 \text{ kg}$$

$$Nu \leq \phi_c N_n$$

$123839,03 \text{ kg} \leq 126551,2 \text{ kg} (\text{OK})$

- **Kontrol kuat tarik rencana**

Kuat Rencana Leleh

$$\phi N_n = 0,90 \times f_y \times A_g = 187560 \text{ kg} \text{ (menentukan)}$$

Kuat Rencana Putus

$$\phi N_n = 0,750 \times f_u \times A_e$$

$$A_n = 83,36 - (6 \times 2,075 \times 0,9) = 72,155 \text{ cm}^2$$

$$U = 1-x/l = 1 - (1,5/1,6) = 0,9$$

$$A_e = 0,9 \times 72,155 = 64,94 \text{ cm}^2$$

$$N_n = 0,750 \times 4100 \times 64,94$$

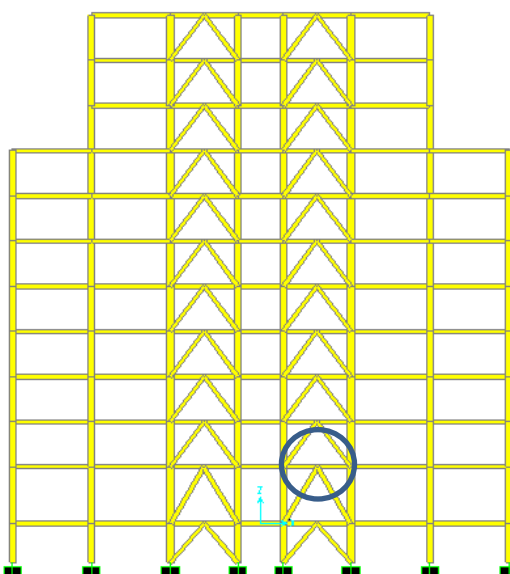
$$= 199690,5 \text{ kg}$$

$$N_u \leq \phi N_n$$

$$97180,99 \text{ kg} \leq 187560 \text{ kg} \dots (\text{OK})$$

#### 4.3.2 Perencanaan Balok Induk

##### 4.3.2.1 Balok Induk Arah Memanjang

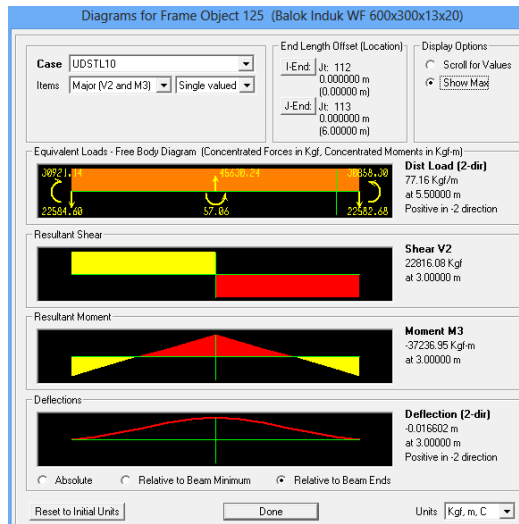


Gambar 4.34 Element Balok yang Ditinjau Arah X

Balok memanjang arah X direncanakan menggunakan profil WF 600 x 200 x 13 x 23, dengan data-data sebagai berikut:

$d$	= 612 mm	$ix$	= 28,6 cm
$bf$	= 200 mm	$iy$	= 6,53 cm
$tf$	= 23 mm	$Zx$	= 3778 cm <sup>3</sup>
$tw$	= 13 mm	$Zy$	= 728 cm <sup>3</sup>
$A$	= 211,5 cm <sup>2</sup>	$Sx$	= 3380 cm <sup>3</sup>
$q$	= 166 kg/m	$Sy$	= 602 cm <sup>3</sup>
$I_x$	= 103000 cm <sup>4</sup>	$r$	= 28 cm
$I_y$	= 3180 cm <sup>4</sup>	$h$	= $d - 2(tf + r)$
$F_y$	= 250 Mpa (BJ-41)		= 556 mm

Hasil dari output SAP 2000,dengan kombinasi 1,2D+1,6L untuk perencanaan balok arah memanjang( arah x ) , diambil gaya dalam balok terbesar pada frame object 125, diperoleh gaya dalam sebesar:



Gambar 6.8 Gaya Dalam Balok Arah X

$$\begin{aligned} Mu_{Max} &= 37236,95 \text{ kgm} \\ Vu_{Max} &= 22816,08 \text{ kg} \end{aligned}$$

- Kontrol penampang

Tekuk Lokal

Pelat sayap

$$\lambda = \frac{bf}{2tf} = \frac{200}{2.26} = 4,37$$

$$\lambda_p = \frac{170}{\sqrt{fy}} = 10,75$$

$\lambda < \lambda_p \rightarrow$  Penampang Kompak

Pelat badan

$$\lambda = \frac{h}{tw} = \frac{556}{14} = 39,71$$

$$\lambda_p = \frac{1680}{\sqrt{fy}} = 106,25$$

$\lambda < \lambda_p \rightarrow$  Penampang Kompak

Tekuk Lateral

Lb = 150 cm (terdapat lateral support)

Lp = 214,553 cm

Lr = 545,796 cm

$$Lb < Lp < Lr \rightarrow M_n = M_p = Zx \cdot F_y$$

- Kapasitas momen penampang

Karena penampang kompak, maka  $M_n = M_p$

$$M_n = Zx \cdot f_y$$

$$= 3778 \times 2500 = 8535000 \text{ kg.cm}$$

$$\emptyset_b \cdot M_n = 0,9 \times 8535000 \text{ kg.cm}$$

$$= 7681500 \text{ kg.cm}$$

- Cek kemampuan penampang terhadap momen  
 $\emptyset_b \cdot M_n \geq M_u$   
 $76815 \text{ kgm} \geq 37236,95 \text{ kgm} \dots (\text{OK})$
- Kontrol penampang akibat geser

$$\frac{h}{tw} = \frac{556}{14} = 39,71 : \frac{1100}{\sqrt{f_y}} = 69,57$$

$$\frac{h}{tw} < \frac{1100}{\sqrt{f_y}}$$

maka,  $V_n$

$$\begin{aligned} &= 0,6 \times f_y \times A_w \\ &= 0,6 \times 2500 \times (55,6 \times 1,3) \\ &= 108240 \text{ kg} \end{aligned}$$

$\phi V_n$

$$\begin{aligned} &= 0,9 \times 108240 \text{ kg} \\ &= 97578 \text{ kg} \end{aligned}$$

$\phi V_n \geq V_u$

$$97578 \text{ kg} \geq 22816 \text{ kg} \dots (\text{OK})$$

- Kontrol penampang akibat adanya bresing

$$\alpha = \arctan(5/3) = 59^\circ$$

$$\begin{aligned} P_{ub} &= (R_y F_y A_g - 0,3 P_n) \sin \alpha \\ &= (1,5 \cdot 250 \cdot 83,36 - 0,3 \cdot 123839) \sin 59^\circ \\ &= 23854,8202 \text{ kg} \end{aligned}$$

$$\begin{aligned} M_{ub} &= 0,25 \times 23854,8202 \times 6 \\ &= 35782,2303 \text{ kgm} \end{aligned}$$

Direncanakan terdapat lateral support, sehingga tercapai bentang pendek ( $M_n = Z_x \cdot F_y$ )

$$M_n = 8535000 \text{ kgcm} = 85350 \text{ kgm}$$

$$M_{ub} < \phi M_n$$

$$35782,2303 < 0,9 \times 85350$$

$$35782,2303 \text{ kgm} < 76815 \text{ kgm} \dots (\text{OK})$$

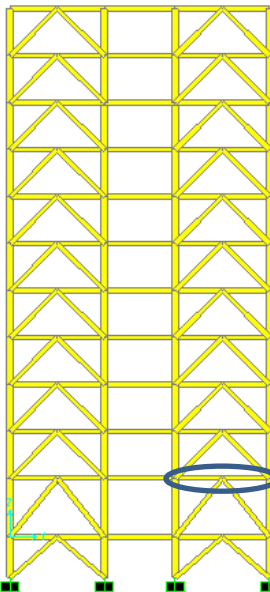
- Kontrol penampang akibat lendutan

$$\text{Lendutan Izin} = \frac{l}{360} = \frac{600}{360} = 1,66666 \text{ cm}$$

Hasil cek lendutan pada SAP 2000 = 1,2624 cm

$$1,2624 \text{ cm} \leq 1,66666 \text{ cm} \dots (\text{OK})$$

#### 4.3.2.2 Balok Induk Arah Melintang



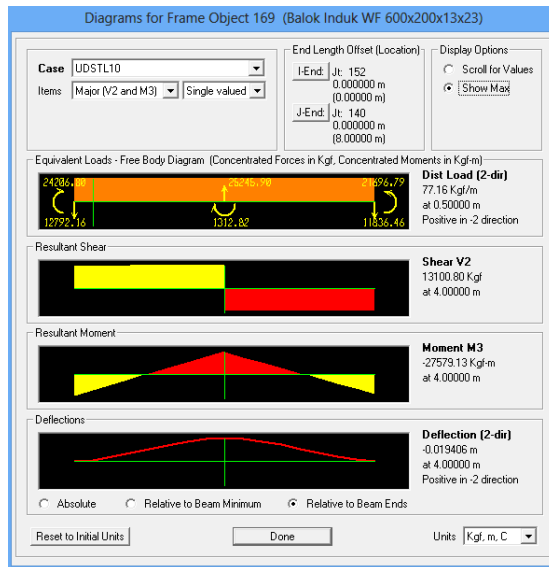
Gambar 4.35 Element Balok yang Ditinjau Arah Y

Balok melintang arah Y direncanakan menggunakan profil WF 600 x 200 x 13 x 23, dengan data- data sebagai berikut:

$d = 612 \text{ mm}$	$ix = 28,6 \text{ cm}$
$bf = 200 \text{ mm}$	$iy = 6,53 \text{ cm}$
$tf = 23 \text{ mm}$	$Zx = 3778 \text{ cm}^3$
$tw = 13 \text{ mm}$	$Zy = 728 \text{ cm}^3$
$A = 211,5 \text{ cm}^2$	$Sx = 3380 \text{ cm}^3$
$q = 166 \text{ kg/m}$	$Sy = 602 \text{ cm}^3$
$I_x = 103000 \text{ cm}^4$	$r = 28 \text{ cm}$
$I_y = 3180 \text{ cm}^4$	$h = d - 2(tf+r)$
$F_y = 250 \text{ Mpa (BJ-41)}$	$= 556 \text{ mm}$

Hasil dari output SAP 2000,dengan kombinasi 1,2D+1,6L untuk perencanaan balok arah memanjang( arah x ) , diambil gaya

dalam balok terbesar pada frame object 169, diperoleh gaya dalam sebesar:



Gambar 4.36 Gaya dalam Balok arah Y

$$\text{Mu Max} = 27579,13 \text{ kgm}$$

$$\text{Vu Max} = 13100,80 \text{ kg}$$

- Kontrol penampang

Tekuk Lokal

Pelat sayap

$$\lambda = \frac{bf}{2tf} = \frac{200}{2.26} = 4,37$$

$$\lambda_p = \frac{170}{\sqrt{f_y}} = 10,75$$

$\lambda < \lambda_p \rightarrow \text{Penampang Kompak}$

Pelat badan

$$\lambda = \frac{h}{tw} = \frac{556}{14} = 39,71$$

$$\lambda_p = \frac{1680}{\sqrt{f_y}} = 106,25$$

$\lambda < \lambda_p \rightarrow \text{Penampang Kompak}$

Tekuk Lateral

Lb = 150 cm (terdapat lateral support)

Lp = 214,553 cm

Lr = 545,796 cm

$$Lb < Lp < Lr \rightarrow M_n = M_p = Z_x \cdot F_y$$

- Kapasitas momen penampang  
Karena penampang kompak, maka  $M_n = M_p$   
 $M_n = Z_x \cdot f_y$   
 $= 3778 \times 2500 = 8535000 \text{ kg.cm}$

$$\emptyset_b \cdot M_n = 0,9 \times 8535000 \text{ kg.cm}$$

$$= 7681500 \text{ kg.cm}$$

- Kapasitas momen penampang  
Karena penampang kompak, maka  $M_n = M_p$   
 $M_n = Z_x \cdot f_y$   
 $= 3778 \times 2500 = 8535000 \text{ kg.cm}$
- Cek kemampuan penampang terhadap momen  
 $\emptyset_b \cdot M_n \geq M_u$   
 $76815 \text{ kgm} \geq 27579,13 \text{ kgm} \dots (\text{OK})$

- Kontrol penampang akibat geser

$$\frac{h}{tw} = \frac{556}{14} = 39,71: \frac{1100}{\sqrt{f_y}} = 69,57$$

$$\frac{h}{tw} < \frac{1100}{\sqrt{f_y}}$$

$$\begin{aligned}
 \text{maka, } V_n &= 0,6 \times f_y \times A_w \\
 &= 0,6 \times 2500 \times (55,6 \times 1,3) \\
 &= 108240 \text{ kg} \\
 \varnothing V_n &= 0,9 \times 108240 \text{ kg} \\
 &= 97578 \text{ kg}
 \end{aligned}$$

$$\begin{aligned}
 \varnothing V_n &\geq V_u \\
 97578 \text{ kg} &\geq 13100,80 \text{ kg} \dots (\text{OK})
 \end{aligned}$$

- Kontrol penampang akibat adanya bresing

$$\begin{aligned}
 \alpha &= \text{arc tan}(5/4) = 51,34^\circ \\
 P_{ub} &= (R_y F_y A_g - 0,3 P_n) \sin \alpha \\
 &= (1,5 \cdot 250 \cdot 83,36 - 0,3 \cdot 123839) \sin 51,34 \\
 &= 21731,39 \text{ kg}
 \end{aligned}$$

$$\begin{aligned}
 M_{ub} &= 0,25 \times 21731,39 \times 8 \\
 &= 43462,78 \text{ kgm}
 \end{aligned}$$

Direncanakan terdapat lateral support, sehingga tercapai bentang pendek ( $M_n = Z_x \cdot F_y$ )

$$M_n = 8535000 \text{ kgcm} = 85350 \text{ kgm}$$

$$M_{ub} < \varnothing M_n$$

$$43462,78 < 0,9 \times 85350$$

$$43462,78 \text{ kgm} < 76815 \text{ kgm} \dots (\text{OK})$$

- Kontrol penampang akibat lendutan

$$\text{Lendutan Izin} = \frac{l}{360} = \frac{800}{360} = 2,2222 \text{ cm}$$

$$\text{Hasil cek lendutan pada SAP 2000} = 1,4737 \text{ cm}$$

$$1,4737 \text{ cm} \leq 2,2222 \text{ cm} \dots (\text{OK})$$

### 4.3.3 Perencanaan Kolom

Pada perencanaan kolom, perhitungan pada kolom didasarkan pada lantai 1 elemen 99. Direncanakan menggunakan Kolom CFT(Concrete Filled Steel Tube) dengan panjang kolom 350 cm. berikut data-data profil yang digunakan:

H = 600 mm	$i_x = 18,996 \text{ cm}$
B = 600 mm	$i_y = 18,996 \text{ cm}$
$t_f = 15 \text{ mm}$	$Z_x = 13949,5937 \text{ cm}^3$
$t_w = 15 \text{ mm}$	$Z_y = 13949,5937 \text{ cm}^3$
A = $177,5 \text{ cm}^2$	$F_y = 250 \text{ Mpa (BJ-41)}$
$I_x = 407080 \text{ cm}^4$	
$I_y = 407080 \text{ cm}^4$	

Hasil dari output SAP 2000 diperoleh gaya-gaya yang bekerja pada kolom paling maximum sebagai berikut:

Frame 99

( 1,2D + 1,6L )	
$P_u$	= 478977 kg
$M_{ux}$	= 1178,77 kgm
$M_{uy}$	= 548,48 kgm
(EARTHQUAKE)	
$P_u$	= 370330,46 kg
$M_{ux}$	= 5339,59 kgm
$M_{uy}$	= 18500 kgm

Frame 1518

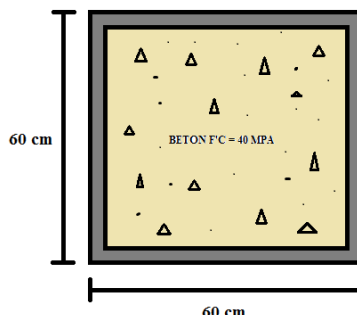
(1,2D + 1,6L )	
$P_u$	= 23687,15 kg
$M_{ux}$	= 21579,53 kgm
$M_{uy}$	= 5960,14 kgm
(EARTHQUAKE)	
$P_u$	= 2081,96 kg
$M_{ux}$	= 6621,66 kg
$M_{uy}$	= 6892,78 kg

Bahan :

$$\text{BJ 41 : } F_y = 2500 \text{ kg/cm}^2$$

$$F_u = 4100 \text{ kg/cm}^2$$

CASING HSS 600.600.15.15



Gambar 4.37 Kolom CFT HSS 600.600.15.15

- Kuat nominal tekan kolom komposit

- Kontrol luas penampang minimum profil baja:

$$\frac{A_s}{A_c + A_s} \times 100\% = \frac{177,75}{3422,25 + 177,75} \times 100\% \\ = 4,93\% \geq 4\% \dots (\text{OK})$$

- Kontrol tebal minimum penampang persegi

$$t_{min} = \frac{b \times \sqrt{f_y}}{\sqrt{3E}} = \frac{600 \times \sqrt{250}}{\sqrt{3 \times 2 \times 10^5}} 12,24 \text{ mm} \leq 15 \text{ mm} \text{ (OK)}$$

- Kuat nominal tekan kolom komposit

$$\lambda = \frac{bf}{2tf} = \frac{600}{2 \times 15} = 20$$

$$\lambda_p = \frac{2,26x\sqrt{E}}{\sqrt{f_y}} = 65,24$$

$\lambda < \lambda_p \rightarrow$  Penampang Kompak

Sehingga kekuatan nominal tekan diperhitungkan sebagai berikut:

$$P_{no} = P_p$$

$$P_p = f_y A_s + C_2 F'_c (A_c + A_w) E_s / E_c$$

$$P_p = 2500 \times 177,75 + 0,85 \times 400(3422,25 + 0)$$

$$P_p = P_{\text{nominal}} = 1607940 \text{ kg}$$

- Momen nominal Kolom

- Kontrol penampang terhadap tekuk lokal

$$\lambda = \frac{bf}{2tf} = \frac{600}{2 \times 15} = 20$$

$$\lambda_p = \frac{1,12x\sqrt{E}}{\sqrt{f_y}} = 31,43$$

$\lambda < \lambda_p \rightarrow$  Penampang Kompak

Karena penampang kompak, maka  $M_n = M_p$

$$M_p = Z_x \cdot F_y = 2500 \times 13949,59375 = 34873984,375 \text{ kgm}$$

$$M_u \leq M_p = 21579,53 \text{ kgm} \leq 34873984,375 \text{ kgm}$$

- Kontrol penampang terhadap tekuk lateral

Panjang tak terkekang = Dkolom-Dbalok

$$L_b = 400 - 61,2 = 358,8 \text{ cm}$$

$$L_p = 1,76 \times i_y \times \frac{\sqrt{E}}{\sqrt{F_y}} = 945,427 \text{ cm}$$

$L_b < L_p \rightarrow$  Bentang pendek ( $M_n = M_p$ )

$$M_n = M_p = Z_x \cdot F_y$$

$$= 3949,5937 \times 2500$$

$$= 34873984,375 \text{ kgm}$$

$$M_u \leq M_p = 21579,53 \text{ kgm} \leq 34873984,375 \text{ kgm}$$

- Kekuatan lentur dan Axial Orde Kedua

Momen lentur dan axial terfaktor arah X dan Y ditentukan berdasarkan persamaan berikut

$$M_r = B_1 \cdot M_{nt} + B_2 \cdot M_{lt} \quad (\text{SNI 1729:2015 A-8-1})$$

$$P_r = P_{nt} + B_2 \cdot P_t \quad (\text{SNI 1729:2015 A-8-2})$$

dengan

$$C_m = 0,6 - 0,4(M_1/M_2)$$

$$B_1 = \frac{C_m}{1 - aP_r/P_{el}} > 1,00$$

$$Pe1 = \frac{\pi^2 x Ex I}{(KL)^2}$$

$$B2 = \frac{1}{1 - \frac{a \cdot P_{Story}}{Pe Story}}$$

$$PeStory = \frac{Rm \cdot H \cdot L}{\Delta H}$$

### Keterangan

Mr	= Kekuatan lentur orde kedua dari kombinasi beban DFBK(Desain Faktor Beban dan Ketahanan) atau DKI (Desain Kemampuan Ijin)
B1	= Pengali untuk menghitung P-δ arah tekan lentur
B2	=Pengali untuk menghitung P-δ arah Translasi
Mlt	=Momen orde pertama akibat hanya translasi lateral struktur
Mnt	=Momen orde pertama akibat DFBK atau DKI
Plt	=Aksial orde pertama akibat hanya translasi lateral struktur
Pnt	=Aksial orde pertama akibat DFBK atau DKI
Pr	=Kekuatan aksial orde kedua dari kombinasi beban DFBK atau DKI
Cm	= Koefisien dengan asumsi tanpa translasi lateral
Pe1	= Tekuk kritis elastis komponen struktur tanpa translasi lateral pada ujung komponen struktur
K1	= Faktor panjang efektif (1,0)
a	= 1,0 (DFBK) ; 1,6 (DKI)
Pstory	= Beban vertical total didukung tingkat dengan kombinasi DFBK atau DKI
Pestory	= Kekuatan tekuk kritis elastis
P <sub>mf</sub>	= Beban vertical total kolom untuk rangka pemikul momen, bernilai 0 untuk angka berbresing
Rm	= $1 - 0,15 \frac{P_{mf}}{P_{Story}}$

### FRAME 99

- Arah Sumbu X :
  - Kontrol Momen terhadap beban gravitasi (1,2D+1,6L)
  - Dari SAP 2000 diperoleh output sebagai berikut:

M1 = 474,01 kgm  
 M2 = 1178,77 kgm  
 Cm = 0,3176  
 $P_{el} = 95811035,27 \text{ kg}$   
 $B_1 = 0,3793 < 1,0 \text{ use } 1,0$

  - Kontrol Momen terhadap beban lateral(1,2D+0,5L+Ex)
  - Dari SAP 2000 diperoleh output sebagai berikut:

$P_{story} = 1585058409,63 \text{ kg}$   
 $P_{estory} = 1,0279 \times 10^{10} \text{ kg}$   
 $B_2 = 1,12 > 1,0$   
 $M_{rx} = (1,0 \times 1178,77) + (1,12 \times 5339,59)$   
 $= 7159,1108 \text{ kgm}$
- Arah Sumbu Y :
  - Kontrol Momen terhadap beban gravitasi(1,2D+1,6L)
  - Dari SAP 2000 diperoleh output sebagai berikut:

M1 = 3395,42 kgm  
 M2 = 4533,74kgm  
 Cm = 0,3004  
 $P_{el} = 95811035,27 \text{ kg}$   
 $B_1 = 0,365 < 1,0 \text{ use } 1,0$

  - Kontrol Momen terhadap beban lateral(1,2D+0,5L+Ey)
  - Dari SAP 2000 diperoleh output sebagai berikut:

$P_{story} = 1585058409,63 \text{ kg}$   
 $P_{estory} = 1,0279 \times 10^{10} \text{ kg}$   
 $B_2 = 1,108 > 1,0$   
 $M_{ry} = (1,0 \times 548,48) + (1,108 \times 18500)$   
 $= 21046,8 \text{ kgm}$

Kuat Aksial Orde Kedua

$$\begin{aligned} \text{Pr} &= 478977 + 1,108 \times 370330,46 \\ &= 889303,149 \text{ kgm} \end{aligned}$$

$$\text{Pn} = 1607940 \text{ kg}$$

$$\frac{P_r}{\emptyset P_n} = \frac{889303,149}{0,9 \times 1607940} = 0,614 \geq 0,2$$

digunakan rumus interaksi sebagai berikut :

$$\frac{P_r}{\emptyset P_n} + \frac{8}{9} \left( \frac{M_{rx}}{M_{cx}} + \frac{M_{ry}}{M_{cy}} \right) \leq 1,0$$

$$\frac{889303,149}{0,9 \times 1607940} + \frac{8}{9} \left( \frac{7159,1108}{348739,84375} + \frac{21046,8}{348739,84375} \right)$$

$$0,694 < 1.00$$

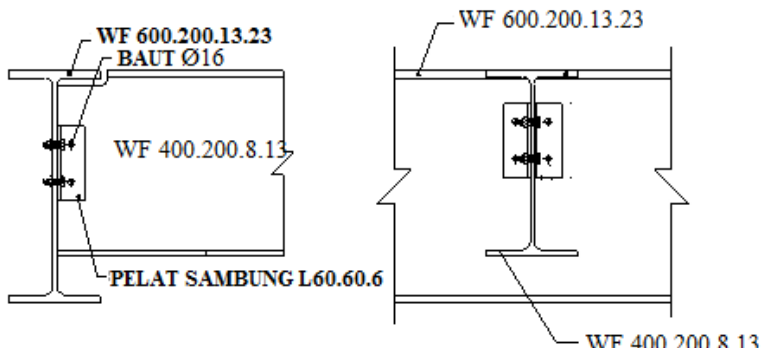
Hasil Kontrol Interaksi diperoleh  $0,694 \leq 1.00$  , maka kolom dapat dipakai

#### 4.3.4 Perencanaan Sambungan

##### 4.3.4.1 Sambungan Balok Anak Lantai Gedung dengan Balok Induk

Sambungan antara balok anak lantai perkantoran dan balok induk direncanakan dengan baut yang hanya memikul beban geser dari balok anak, sehingga dalam analisa dianggap sebagai sendi.

Dari perhitungan sebelumnya diperoleh gaya geser yang bekerja pada balok anak sebesar 12100,88 kg, dengan dimensi balok anak WF400.200.8.13 dan balok induk WF600.200.13.23. Pada sambungan ini direncanakan dengan profil siku 60 x 60 x 6.



Gambar 4.38 Detail Pelat Siku Pada Gelagar

-Sambungan Pada Badan Balok Anak:

$$\text{Øbaut} = 16 \text{ mm} (\text{Ab} = 2,01 \text{ cm}^2)$$

$$\text{Mutu baut BJ.50 (f}_u = 5000 \text{ kg/cm}^2)$$

Ulir tidak pada bidang geser ( $r_1 = 0,5$ )

- Kuat geser baut:

$$\begin{aligned}\text{Ø.Vn} &= \text{Ø} \cdot r_1 \cdot f_u \cdot m \cdot \text{Ab} \\ &= 0,75 \cdot 0,5 \cdot 5000 \cdot 2 \cdot 2,01 \\ &= 7539,82 \text{ kg}\end{aligned}$$

- Kuat tumpu baut

$$\begin{aligned}\text{Ø.Rn} &= \text{Ø} \cdot 2,4 \cdot \text{db} \cdot \text{tp} \cdot f_u \\ &= 0,75 \cdot 2,4 \cdot 1,6 \cdot 0,8 \cdot 4100\end{aligned}$$

$$n = \frac{V_u}{\emptyset \cdot R_n} = \frac{12100,88}{9446,4} = 1,708 \text{ buah}$$

Dipasang 2 buah baut diameter 16 mm

- Sambungan Pada Badan Balok Induk:

$$\emptyset_{\text{baut}} = 16 \text{ mm} (\text{Ab} = 2,01 \text{ cm}^2)$$

$$\text{Mutu baut BJ.50 (f}_u = 5000 \text{ kg/cm}^2)$$

Ular tidak pada bidang geser ( $r_1 = 0,5$ )

- Kuat geser baut:

$$\begin{aligned}\emptyset \cdot V_n &= \emptyset \cdot r_1 \cdot f_u \cdot m \cdot A_b \\ &= 0,75 \cdot 0,5 \cdot 5000 \cdot 2 \cdot 2,01 \\ &= 7539,82 \text{ kg}\end{aligned}$$

- Kuat tumpu baut

$$\begin{aligned}\emptyset \cdot R_n &= \emptyset \cdot 2,4 \cdot d_b \cdot t_p \cdot f_u \\ &= 0,75 \cdot 2,4 \cdot 1,6 \cdot 0,6 \cdot 4100 \\ &= 7084,8 \text{ kg (menentukan)}\end{aligned}$$

$$n = \frac{V_u}{\emptyset \cdot R_n} = \frac{12100,88}{7084,8} = 1,708 \approx 2 \text{ buah}$$

Dipasang 2 buah baut diameter 16 mm

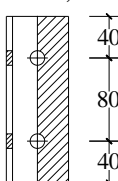
- Kontrol kekuatan siku penyambung

Dipakai siku penyambung 60 x 60 x 6

BJ41 ( $f_u = 4100 \text{ kg/cm}^2$ )

$\emptyset$  lubang = 16mm + 1,5 mm (lubang dibuat dengan bor)

$$= 17,5 \text{ mm} = 1,75 \text{ cm}$$



Gambar 4.39 Detail Pelat Siku Pada Gelagar

Luas bidang geser

$$A_{nv} = L_{nv} \times t_{siku} = (16 - 2 \times 1,75) \times 0,6 = 7,50 \text{ cm}^2$$

Kuat rencana

$$\varphi R_n = \varphi 0,6 \times f_u \times A_{nv}$$

$$= 0,75 \times 0,6 \times 4100 \times 7,5 = 13387,5 \text{ Kg}$$

Terdapat 2 siku, sehingga

$$2\varphi R_n = 2 \times 13387,5 = 27675 \text{ kg}$$

Syarat:

$$V_u \leq 2\varphi R_n \rightarrow 12100,88 \text{ kg} < 27675 \text{ kg (OK)}$$

#### Kontrol jarak baut

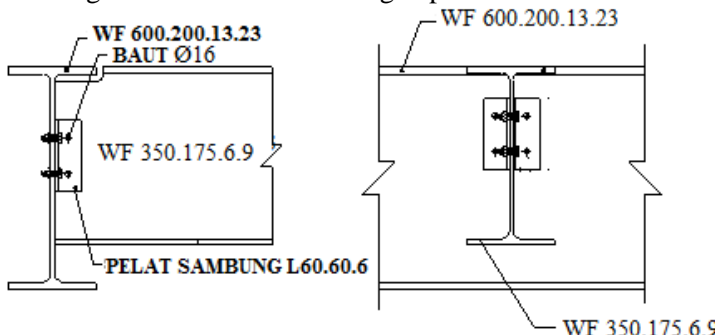
Jarak ke tepi = 1,5 db s.d (4tp+100 mm) atau 200 mm  
 $= 21 \text{ mm s.d. } 200 \text{ cm} \rightarrow \text{Tepasang} = 40\text{cm}$

Jarak antar baut = 3 db s.d 15 tp atau 200 mm  
 $= 42 \text{ mm s.d. } 200 \text{ mm} \rightarrow \text{Tepasang} = 80\text{mm}$

#### 4.3.4.2 Sambungan Balok Anak Atap Dengan Balok Induk

Sambungan antara balok anak lantai perkantoran dan balok induk direncanakan dengan baut yang hanya memikul beban geser dari balok anak, sehingga dalam analisa dianggap sebagai sendi.

Dari perhitungan sebelumnya diperoleh gaya geser yang bekerja pada balok anak sebesar 6705,92 kg, dengan dimensi balok anak WF350.175.6.9 dan balok induk WF600.200.13.23. Pada sambungan ini direncanakan dengan profil siku 60 x 60 x 6.



Gambar 4.40 Sambungan Balok Anak Dengan Balok Induk

- Sambungan Pada Badan Balok Anak:

$$\text{Øbaut} = 16 \text{ mm} (\text{Ab} = 2,01 \text{ cm}^2)$$

$$\text{Mutu baut BJ.50} (\text{fu} = 5000 \text{ kg/cm}^2)$$

$$\text{Ultrir tidak pada bidang geser} (r_1 = 0,5)$$

- Kuat geser baut:

$$\begin{aligned}\text{Ø.Vn} &= \text{Ø} \cdot r_1 \cdot \text{fu} \cdot m \cdot \text{Ab} \\ &= 0,75 \cdot 0,5 \cdot 5000 \cdot 2 \cdot 2,01 \\ &= 7539,82 \text{ kg(menentukan)}\end{aligned}$$

- Kuat tumpu baut

$$\begin{aligned}\text{Ø.Rn} &= \text{Ø} \cdot 2,4 \cdot \text{db} \cdot \text{tp} \cdot \text{fu} \\ &= 0,75 \cdot 2,4 \cdot 1,6 \cdot 0,8 \cdot 4100 \\ &= 9446,4 \text{ kg}\end{aligned}$$

$$n = \frac{\text{Vu}}{\text{Ø.Rn}} = \frac{6705,92}{7539,82} = 0,92 \text{ bh} \approx 2 \text{ buah}$$

Dipasang 2 buah baut diameter 16 mm

- Sambungan Pada Badan Balok Induk:

$$\text{Øbaut} = 16 \text{ mm} (\text{Ab} = 2,01 \text{ cm}^2)$$

$$\text{Mutu baut BJ.50} (\text{fu} = 5000 \text{ kg/cm}^2)$$

$$\text{Ultrir tidak pada bidang geser} (r_1 = 0,5)$$

- Kuat geser baut:

$$\begin{aligned}\text{Ø.Vn} &= \text{Ø} \cdot r_1 \cdot \text{fu} \cdot m \cdot \text{Ab} \\ &= 0,75 \cdot 0,5 \cdot 5000 \cdot 1 \cdot 2,01 \\ &= 3768,82 \text{ kg}\end{aligned}$$

- Kuat tumpu baut

$$\begin{aligned}\text{Ø.Rn} &= \text{Ø} \cdot 2,4 \cdot \text{db} \cdot \text{tp} \cdot \text{fu} \\ &= 0,75 \cdot 2,4 \cdot 1,6 \cdot 1,2 \cdot 4100 \\ &= 14169,6 \text{ kg (menentukan)}$$

$$n = \frac{\text{Vu}}{\text{Ø.Rn}} = \frac{6705,92}{3768,82} = 1,78 \approx 2 \text{ buah}$$

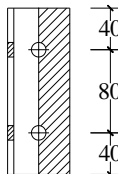
Dipasang 2 buah baut diameter 16 mm

- Kontrol kekuatan siku penyambung

Dipakai siku penyambung 60 x 60 x 6

BJ41 ( $f_u = 4100 \text{ kg/cm}^2$ )

$$\begin{aligned}\varnothing \text{ lubang} &= 16\text{mm} + 1,5 \text{ mm (lubang dibuat dengan bor)} \\ &= 17,5 \text{ mm} = 1,75 \text{ cm}\end{aligned}$$



Gambar 4.41 Detail Pelat Siku Pada Gelagar

Luas bidang geser

$$A_{nv} = L_{nv} \times t_{siku} = (16 - 2 \times 1,75) \times 0,6 = 7,50 \text{ cm}^2$$

Kuat rencana

$$\begin{aligned}\varphi R_n &= \varphi 0,6 \times f_u \times A_{nv} \\ &= 0,75 \times 0,6 \times 4100 \times 7,5 = 13387,5 \text{ Kg}\end{aligned}$$

Terdapat 2 siku, sehingga

$$2\varphi R_n = 2 \times 13387,5 = 27675 \text{ kg}$$

Syarat:

$$V_u \leq 2\varphi R_n \rightarrow 6705,92 \text{ kg} < 27675 \text{ kg (OK)}$$

#### Kontrol jarak baut

$$\begin{aligned}\text{Jarak ke tepi} &= 1,5 \text{ db s.d } (4tp+100 \text{ mm}) \text{ atau } 200 \text{ mm} \\ &= 21 \text{ mm s.d. } 200 \text{ cm} \rightarrow \text{Tepasang} = 40\text{cm}\end{aligned}$$

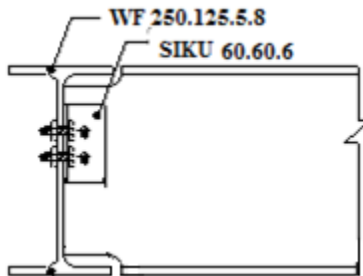
$$\begin{aligned}\text{Jarak antar baut} &= 3 \text{ db s.d. } 15 \text{ tp atau } 200 \text{ mm} \\ &= 42 \text{ mm s.d. } 200 \text{ mm} \rightarrow \text{Tepasang} = 80\text{mm}\end{aligned}$$

#### **4.3.4.3 Sambungan Balok Utama Tangga Dengan Balok Penumpu Tangga**

Sambungan antara balok utama tangga dan balok penumpu tangga direncanakan dengan baut yang hanya memikul beban geser dari balok utama, sehingga dalam analisa dianggap sebagai sendi.

Dari perhitungan sebelumnya diperoleh gaya geser yang bekerja pada balok sebesar 2052,55 kg, dengan dimensi balok utama tangga yaitu WF 250 x 125 x 5 x 8 dan balok penumpu

tangga WF 250 x 125 x 5 x 8. Pada sambungan ini direncanakan dengan profil siku 60 x 60 x 6



Gambar 4.42 Sambungan Balok Utama Tangga Dengan Balok Penumpu Tangga

- Sambungan balok utama tangga dengan siku:

$$\text{Øbaut} = 8 \text{ mm } (\text{Ab} = 0,5028 \text{ cm}^2)$$

$$\text{Mutu baut BJ-50 } (\text{fu} = 5000 \text{ kg/cm}^2)$$

Ultrir tidak pada bidang geser ( $r_1 = 0,5$ )

- Kuat geser baut:

$$\text{Ø.Vn} = \text{Ø} \cdot r_1 \cdot \text{fu} \cdot m \cdot \text{Ab}$$

$$= 0,75 \cdot 0,5 \cdot 5000 \cdot 2 \cdot 0,5028$$

$$= 2138,7 \text{ kg (menentukan !)}$$

- Kuat tumpu baut

$$\text{Ø.Rn} = \text{Ø} \cdot 2,4 \cdot \text{db} \cdot \text{tp} \cdot \text{fu}$$

$$= 0,75 \cdot 2,4 \cdot 0,8 \cdot 0,6 \cdot 4100$$

$$= 2361,60 \text{ kg}$$

$$n = \frac{\text{Vu}}{\text{Ø.Rn}} = \frac{845,74}{2138,7} = 0,385 \approx 2 \text{ buah}$$

Dipasang 2 buah baut diameter 8 mm

- Sambungan balok penumpu tangga dengan siku:

$$\text{Øbaut} = 8 \text{ mm } (\text{Ab} = 0,5028 \text{ cm}^2)$$

$$\text{Mutu baut BJ-50 } (\text{fu} = 5000 \text{ kg/cm}^2)$$

Ultrir tidak pada bidang geser ( $r_1 = 0,5$ )

- Kuat geser baut:

$$\begin{aligned}\mathcal{Q} \cdot V_n &= \mathcal{Q} \cdot r_1 \cdot f_u \cdot m \cdot A_b \\ &= 0,75 \cdot 0,5 \cdot 5000 \cdot 1 \cdot 0,5028 \\ &= 1069,6 \text{ kg (menentukan !)}$$

Kuat tumpu baut

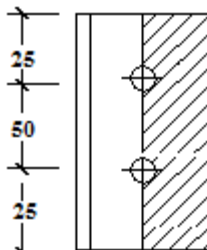
$$\begin{aligned}\mathcal{Q} \cdot R_n &= \mathcal{Q} \cdot 2,4 \cdot d_b \cdot t_p \cdot f_u \\ &= 0,75 \cdot 2,4 \cdot 0,8 \cdot 0,4 \cdot 4100 \\ &= 2361,60 \text{ kg}\end{aligned}$$

$$n = \frac{V_u}{\mathcal{Q} \cdot R_n} = \frac{2052,55}{1190,8} = 1,72 \approx 2 \text{ buah}$$

Dipasang 1 buah baut diameter 8 mm

- Kontrol kekuatan siku penyambung  
Dipakai siku penyambung 60x60x6  
BJ41 ( $f_u = 4100 \text{ kg/cm}^2$ )  
 $\mathcal{Q} \text{ lubang} = 8 \text{ mm} + 1,5 \text{ mm}$  (lubang dibuat dengan bor)  
 $= 9,5 \text{ mm} = 0,95 \text{ cm}$

Luas bidang geser



Gambar 4.43 Detail Pelat Siku Pada Gelagar

Luas bidang geser

$$A_{nv} = L_{nv} \times t_{siku} = (10 - 2 \times 0,95) \times 0,6 = 4,86 \text{ cm}^2$$

Kuat rencana

$$\begin{aligned}\varphi R_n &= \varphi 0,6 \times f_u \times A_{nv} \\ &= 0,75 \times 0,6 \times 4100 \times 4,86 = 8966,70 \text{ kg}\end{aligned}$$

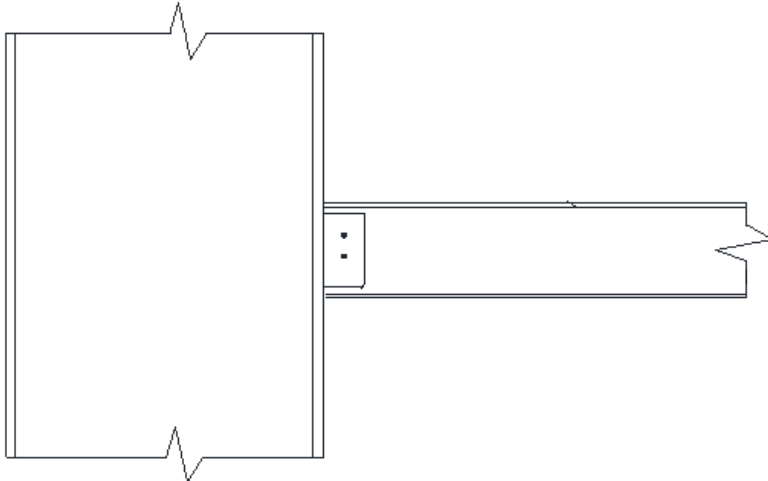
Syarat:

$$V_u \leq \varphi R_n \rightarrow 2052,55 \text{ kg} < 8966,70 \text{ kg kg (OK)}$$

#### 4.3.4.4 Sambungan Balok Penumpu Tangga Dengan Kolom

Sambungan antara balok anak lantai perkantoran dan balok induk direncanakan dengan baut yang hanya memikul beban geser dari balok anak, sehingga dalam analisa dianggap sebagai sendi.

Dari perhitungan sebelumnya diperoleh gaya geser yang bekerja pada balok penumpu tangga adalah sebesar 2917,08 kg dimensi balok balok penumpu tangga WF 250.125.5.8 . Pada sambungan ini direncanakan dengan profil siku 60 x 60 x 6.



Gambar 4.44 Sambungan Balok Penumpu Tangga Dengan Kolom

- Sambungan Pada Badan Balok Anak:  
 $\text{Øbaut} = 10 \text{ mm}$  ( $A_b = 0,785 \text{ cm}^2$ )  
 Mutu baut BJ.50 ( $f_u = 5000 \text{ kg/cm}^2$ )  
 Ulir tidak pada bidang geser ( $r_1 = 0,5$ )
  
- Kuat geser baut:  

$$\begin{aligned}\text{Ø.Vn} &= \text{Ø} \cdot r_1 \cdot f_u \cdot m \cdot A_b \\ &= 0,75 \cdot 0,5 \cdot 5000 \cdot 1 \cdot 0,785 \\ &= 1471,875 \text{ kg (menentukan)}\end{aligned}$$

- Kuat tumpu baut

$$\begin{aligned}\varnothing \cdot R_n &= \varnothing \cdot 2,4 \cdot db \cdot tp \cdot fu \\ &= 0,75 \cdot 2,4 \cdot 1 \cdot 0,5 \cdot 4100 \\ &= 3690 \text{ kg} \\ n &= \frac{V_u}{\varnothing \cdot R_n} = \frac{2917,08}{1471,875} = 1,969 = 2 \text{ buah}\end{aligned}$$

Dipasang 2 buah baut diameter 10 mm

- Kontrol Las Sudut

Direncanakan las dengan  $t_e = 1 \text{ cm}$

Mutu las yang digunakan  $F_{E70XX}$

$$\begin{aligned}A_1 &= t_e \cdot (2 \cdot d_{plat}) \\ &= 1 \times 2 \times (18) \\ &= 36 \text{ cm}^2\end{aligned}$$

$$\begin{aligned}I_x &= 2 \times \left( \frac{1}{12} \times 18^3 \right) \\ &= 972 \text{ cm}^4\end{aligned}$$

$$S_x = 2 \times \left( \frac{18^2}{3} \right) = 216 \text{ cm}^3$$

Akibat geser beban sentris

$$f_v = \frac{P_u}{A} = \frac{2917,05}{36} = 81,029 \text{ kg/cm}^2$$

$$f_{total} = f_v = 81,029 \text{ kg/cm}^2$$

$$F_u \text{ las} = 0,75 \times 0,6 \times 70 \times 70,3 = 2214,45 \text{ kg/cm}^2$$

$$t_e = \frac{f_{total}}{f_{u_{las}}} = \frac{81,029}{2214,45} = 0,037 \text{ cm}$$

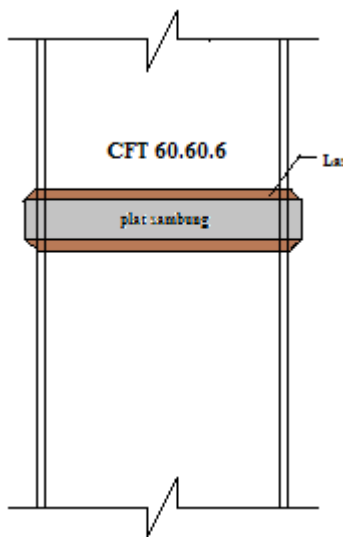
$$a = \frac{t_e}{0,707} = \frac{0,037}{0,707} = 0,0517 \text{ cm} < (a \text{ min} = 3 \text{ mm})$$

dipakai las sudut dengan tebal 3 mm

#### 4.3.4.5 Sambungan Antar Kolom

Kolom akan disambung menggunakan sambungan las dengan plat tambahan dengan tebal 50 mm. Dari hasil analisa SAP 2000, diperoleh gaya maksimum pada frame 99 dengan data gaya sebagai berikut :

$$\begin{aligned} P_u &= -478977 \text{ kg} \\ V_u &= -472,22 \text{ kg} \\ M_u &= -1178,77 \text{ kgm} \end{aligned}$$



Gambar 4.45 Pemodelan sambungan antar kolom

Misal  $t_c = 1 \text{ cm}$

$$\begin{aligned} A &= 4 \times (1 \times 60,0) = 240 \text{ cm}^2 \\ I_x &= (b+d)^3/6 = 288000 \text{ cm}^4 \\ I_y &= (b+d)^3/6 = 288000 \text{ cm}^4 \\ S_x &= b.d + (d^2/3) = 4800 \text{ cm}^3 \\ S_y &= b.d + (d^2/3) = 4800 \text{ cm}^3 \\ F_{u,las} &= 0,75 \times 0,6 \times F_{e90xx} \times t_e \end{aligned}$$

$$\begin{aligned} F_{u_{\text{las}}} &= 0,75 \times 0,6 \times 90 \times 70,3 \times 1 \\ F_{u_{\text{las}}} &= 2847,15 \text{ kg/cm}^2 \end{aligned}$$

Akibat Pu

$$F_v = \frac{Pu}{A} + \frac{Mu}{Sx} = \frac{478977}{240} + \frac{1178,77}{4800} = 2020,295 \text{ kg/cm}^2$$

Akibat Vu

$$F_h = \frac{Vu}{A} + \frac{Mu}{Sx} = \frac{472,22}{240} + \frac{1178,77}{4800} = 26,52 \text{ kg/cm}^2$$

$$\begin{aligned} F_{\text{total}} &= (F_h^2 + F_v^2)^{0,5} \\ F_{\text{total}} &= (26,52^2 + 2020,295^2)^{0,5} \\ F_{\text{total}} &= 2020,469 \text{ kg/cm}^2 \end{aligned}$$

$$\begin{aligned} t_e &= \frac{F_{\text{total}}}{F_{u_{\text{las}}}} \\ &= \frac{2020,469}{2847,15} = 0,709 \\ a_{\text{las}} &= \frac{0,709}{0,707} = 1,003 \text{ cm} \end{aligned}$$

Syarat Tebal Kaki las

Tebal minimum = Tebal plat = 50 mm, a min = 6 mm

$$\begin{aligned} a_{\text{eff max las}} &= \frac{0,6 \times F_u \times t}{2 \times 0,707 \times 0,6 \times Fe70xx} \\ &= \frac{0,6 \times 4100 \times 50}{2 \times 0,707 \times 0,6 \times 70 \times 70,3} \\ &= 2,94 \text{ cm} \end{aligned}$$

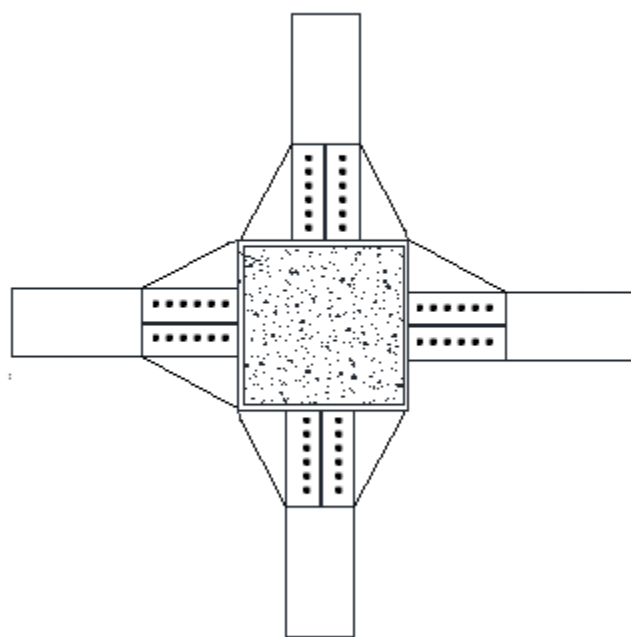
Sehingga diambil las dengan a = 1,5 cm

#### 4.3.4.6 Sambungan Balok Induk Dengan Kolom

Sambungan antar balok induk – kolom direncanakan sebagai rigid connection, yang mana tumpuan pada balok

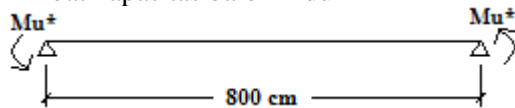
induk terletak sebagai tumpuan yang diberi pelat pengaku. Sambungan menggunakan las pada konsol ke kolom, baut dan pelat siku sebagai pelat penyambung. Adapun data-data yang diperlukan adalah sebagai berikut:

Balok Induk	:	WF 600 x 200 x 13 x 23
Kolom	:	CFT 600 x 600 x 15
Mutu las	:	Fe <sub>110xx</sub>
Mutu Baut	:	Disesuaikan
Mutu Diafragma Plate	:	BJ 50



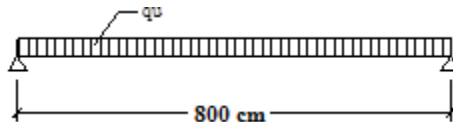
Gambar 4.46 Sambungan Balok Induk dengan Kolom

Perhitungan gaya geser pada sambungan  
-Akibat kapasitas balok induk



$$\begin{aligned}\text{Mu}^* &= 1,1 \times \text{Ry} \times \text{Zx} \times \text{Fy} \\ &= 1,1 \times 1,5 \times 3778 \times 2500 \\ &= 12389250 \text{ kg cm} \\ \text{Vu}_1 &= 2 \times \text{Mu/L} \\ &= 2 \times 12389250/800 = 30740.2 \text{ kg}\end{aligned}$$

-Akibat beban kombinasi 1,2D+0,5L dari balok induk



Dari program SAP 2000, diperoleh Vu akibat beban kombinasi adalah sebesar :

$$\begin{aligned}\text{Vu}_2 &= 17119 \text{ kg} \\ \text{Vu total} &= 30740.2 + 17119 \\ &= 47859,2 \text{ kg}\end{aligned}$$

- Perencanaan sambungan baut pada badan balok  
Kontrol Kuat geser baut  
Pada bidang geser baut tidak ada ulir ( $r_1 = 0,5$ )  
Mutu profil BJ41 ( $f_u = 4100 \text{ kg/cm}^2$ )  
Baut tipe tumpu baut 20 mm ( $A_g = 3,14 \text{ cm}^2$ )  
Mutu baut A490 ( $f_u = 10350 \text{ kg/cm}^2$ )  
Pelat menggunakan tipe single plate ( $t = 10 \text{ mm}$ )

Kuat geser baut:

$$\begin{aligned}\emptyset \cdot V_n &= \emptyset \cdot r_1 \cdot f_u \cdot m \cdot A_b \\ &= 0,75 \cdot 0,5 \cdot 10350 \cdot 1 \cdot 3,14 \\ &= 12193,31 \text{ kg (menentukan)}\end{aligned}$$

Kuat tumpu baut

$$\begin{aligned}\emptyset \cdot R_n &= \emptyset \cdot 2,4 \cdot d_b \cdot t_p \cdot f_u \\ &= 0,75 \cdot 2,4 \cdot 2 \cdot 1 \cdot 4100 \\ &= 14760 \text{ kg}\end{aligned}$$

Kuat tarik baut:

$$\begin{aligned}T_d &= \emptyset \cdot 0,75 \cdot f_u \cdot A_b \\ &= 0,75 \cdot 0,75 \cdot 10350 \cdot 3,14 \\ &= 18289,96 \text{ kg}\end{aligned}$$

Kontrol geser

$$\begin{aligned}V_u &= \frac{P_u}{n} = \frac{47859,2}{4} \\ &= 11964,8 \text{ kg} < 12193,31 \text{ kg (OK)}\end{aligned}$$

Kontrol tarik

$$\begin{aligned}f_{uv} &= \frac{V_u}{A} = \frac{11964,8}{3,14} = 3810,445 \text{ kg/cm}^2 \\ f_t &= (1,3 \times f_u^b - 1,5 \times f_{uv}) \\ &= (1,3 \times 10350 - 1,5 \times 3810,445) \\ &= 7739,52 \text{ kg/cm}^2 < 10350 \text{ kg/cm}^2 \dots \text{OK}\end{aligned}$$

Dipasang 4 baut pada satu sisi

Kontrol Jarak Baut

Jarak baut ketepi =  $S_1 = 50 \text{ mm}$

$1,5d_b \leq S_1 \leq 4t_p + 100$

$30 \leq 50 \leq 140 \text{ mm}$

Jarak antar baut =  $S = 100 \text{ mm}$

$$3\text{db} \leq S \leq 15\text{tp}$$

$$60 \leq 100 \leq 150 \text{ mm}$$

Ukuran Plat

$$\text{Panjang} = 50 + (4-1) \times 100 + 50 = 400 \text{ mm} = 40 \text{ cm}$$

$$\text{Lebar} = 50 + 50 = 100 \text{ mm} = 10 \text{ cm}$$

- Perencanaan sambungan geser pada kolom

Direncanakan las dengan  $t_e = 1 \text{ cm}$

Mutu las yang digunakan  $F_{E110xx}$

$$\begin{aligned} A_l &= t_e \cdot (2 \cdot d_{plat} + 4 \cdot l_{plat})) \\ &= 1 \times (2 \times 40 + 4 \times 10) \\ &= 120 \text{ cm}^2 \end{aligned}$$

$$\begin{aligned} I_x &= (2 \times (\frac{1}{12} \times 40^3)) + 4(\frac{1}{12} \times 40 \times 1^3 + \\ &\quad 40 \times 1 \times 20^2) \\ &= 74680 \text{ cm}^4 \end{aligned}$$

$$S_x = 74680 / 30,6 = 2440,5228 \text{ cm}^3$$

Akibat geser beban sentris

$$f_v = \frac{P_u}{A} = \frac{47859,2}{120} = 398,24 \text{ kg/cm}^2$$

Akibat beban momen lentur

$$f_h = \frac{M_u}{S_x} = \frac{12389500}{2440,5228} = 5076,576 \text{ kg/cm}^2$$

$$\begin{aligned} f_{total} &= \sqrt{f_v^2 + f_h^2} = \sqrt{398,24^2 + 5076,576^2} \\ &= 5092,172 \text{ kg/cm}^2 \end{aligned}$$

$$F_u \text{ las} = 0,75 \times 0,6 \times 110 \times 70,3 = 3479,85 \text{ kg/cm}^2$$

$$t_e = \frac{f_{total}}{f_{u_{las}}} = \frac{5092,172}{3479,85} = 1,463 \text{ cm}$$

$$a = \frac{t_e}{0,707} = \frac{1,463}{0,707} = 2,069 \text{ cm} > (a \text{ min} = 6 \text{ mm})$$

Dipakai las sudut dengan ketebalan 2 cm

- Kontrol Pelat Penyambung

Direncanakan pelat penyambung 400 x 10

Mutu Pelat Baja BJ41 ( $f_u = 4100 \text{ kg/cm}^2$ )

Diameter lubang (lubang dibuat dengan bor =

$$20 \text{ mm} + 1,5 \text{ mm} = 21,5 \text{ mm}$$

$$A_{nv} = L_{nv} \cdot t$$

$$= (L - n \cdot \text{diameter lubang}) \times 1 \text{ cm}$$

$$= (40 - 7 \times 2,15) \times 1 \text{ cm}$$

$$= 24,95 \text{ cm}^2$$

$$\phi P_n = \phi \cdot (0,6 \cdot f_u \cdot A_{nv})$$

$$= 0,9 \times 0,6 \times 4100 \times 24,95$$

$$= 55239,3 \text{ kg} > 39197,56 \text{ kg}$$

- Sambungan pada Diaphragm Plate dengan Kolom

Las tumpul penetrasi penuh tebal = 2 cm

Mutu Pelat diaphragm plate BJ50 ( $f_y = 2900 \text{ kg/cm}^2$ )

$$T = \frac{Mu}{d} = \frac{12389250}{61,2} = 202438,725 \text{ kg}$$

Kekuatan rencana las tumpul penetrasi penuh

$$\phi R_n = 0,9 \times t_e \times f_y$$

$$= 0,9 \times 2 \times 2900 = 5220 \text{ kg/cm}^2$$

Luas las tumpul

$$A_{las} = t_e \cdot d_{balok} = 2,5 \times 61,2 = 153 \text{ cm}^2$$

Tegangan yang terjadi akibat beban tarik

$$f_{total} = \frac{202438,73}{153} = 1323,2 < \phi R_n = 5220 \text{ kg/cm}^2$$

- Sambungan pada Diaphragm plate dengan sayap balok

Kontrol Kuat geser baut

Pada bidang geser baut tidak ada ulir ( $r_1 = 0,5$ )

Mutu profil BJ41 ( $f_u = 4100 \text{ kg/cm}^2$ )

Baut tipe tumpu baut 24 mm ( $A_g = 4,52 \text{ cm}^2$ )

Mutu baut A490 ( $f_u = 10350 \text{ kg/cm}^2$ )

Pelat menggunakan tipe single plate ( $t = 10 \text{ mm}$ )

Kuat geser baut:

$$\begin{aligned}\emptyset \cdot V_n &= \emptyset \cdot r_1 \cdot f_u \cdot m \cdot A_b \\ &= 0,75 \cdot 0,5 \cdot 10350 \cdot 1 \cdot 4,52 \\ &= 17558 \text{ kg (menentukan)}\end{aligned}$$

Kuat tumpu baut

$$\begin{aligned}\emptyset \cdot R_n &= \emptyset \cdot 2,4 \cdot d_b \cdot t_p \cdot f_u \\ &= 0,75 \cdot 2,4 \cdot 2,4 \cdot 1 \cdot 4100 \\ &= 17712 \text{ kg}\end{aligned}$$

Kuat tarik baut:

$$\begin{aligned}T_d &= \emptyset \cdot 0,75 \cdot f_u \cdot A_b \\ &= 0,75 \cdot 0,75 \cdot 10350 \cdot 4,52 \\ &= 26337,54 \text{ kg}\end{aligned}$$

Kontrol geser

$$\begin{aligned}V_u &= \frac{P_u}{n} = \frac{202438,725 \text{ kg}}{12} \\ &= 16869,89 \text{ kg} < 17558 \text{ kg (OK)}\end{aligned}$$

Kontrol tarik

$$f_{uv} = \frac{V_u}{A} = \frac{16869,89}{4,52} = 3723,27 \text{ kg/cm}^2$$

$$f_t = (1,3 \times f_u^b - 1,5 \times f_{uv})$$

$$= (1,3 \times 10350 - 1,5 \times 3723,27)$$

$$= 7870,095 \text{ kg/cm}^2 < 10350 \text{ kg/cm}^2 \rightarrow (\text{OK})$$

Dipasang 12 baut dengan dua sisi yang terdiri dari 6 baut

Kontrol Jarak Baut

Jarak baut ketepi =  $S_1 = 50 \text{ mm}$

$$1,5d_b \leq S_1 \leq 4t_p + 100$$

$$36 \leq S \leq 140 \text{ mm}$$

Jarak antar baut =  $S = 100 \text{ mm}$

$$3db \leq S \leq 15tp$$

$$72 \leq S \leq 150 \text{ mm}$$

Ukuran Plat

$$\text{Panjang} = 50 + ((6-1)/2) \times 100 + 50 = 550 \text{ mm} = 55 \text{ cm}$$

- Kekuatan Diaphragm Plate

Dipakai baut tipe tumpu 24 mm

Mutu pelat baja BJ50( $f_u = 5000 \text{ kg/cm}^2$ ,  $f_y = 2900 \text{ kg/cm}^2$ )

$$A_g = w \cdot t_w$$

$$= 55 \cdot 1 \text{ cm}$$

$$= 55 \text{ cm}^2$$

$$A_n = A_g - A_{perlemahan}$$

$$= 55 - (2 \times 2,55 \times 1)$$

$$= 49,9 \text{ cm}^2$$

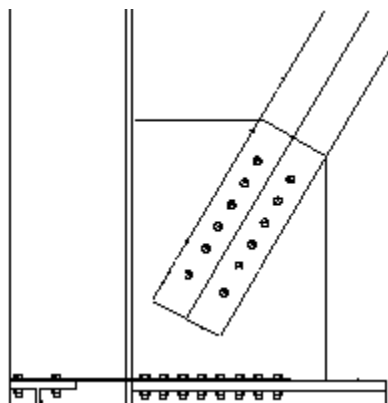
Terhadap patah

$$T \leq 0,9 \cdot A_n \cdot F_u$$

$$202438,725 \text{ kg} \leq 224550 \text{ kg} \dots (\text{OK})$$

#### **4.3.4.7 Sambungan pada Bresing ke Kolom**

Sesuai peraturan SNI 1729-2015, mengenai kuat perlu sambungan batang bresing ke balok, harus ditentukan lebih besar atau sama dengan kuat nominal batang bresing yaitu 1,25. Ry.Vn. Perhitungan didasarkan pada kekuatan nominal tekan dan nominal tarik yang telah dihitung pada perencanaan bresing. Berdasarkan perhitungan sebelumnya, kekuatan nominal tarik lebih besar dari kekuatan nominal tekan, sehingga perencanaan sambungan juga didasarkan pada kekuatan nominal tekan dari bresing tersebut. Besar kekuatan nominal tekan diperoleh adalah sebesar 187560 kg



Gambar 4.47 Sambungan Bracing Dengan Pelat Buhul

- Sambungan pada batang bresing

Kuat geser baut

Pada bidang geser baut tidak ada ulir ( $r_1 = 0,5$ )

Mutu profil BJ41 ( $f_u = 4100 \text{ kg/cm}^2$ )

Baut tipe tumpu baut 24 mm ( $A_g = 4,52 \text{ cm}^2$ )

Mutu baut A490 ( $f_u = 10350 \text{ kg/cm}^2$ )

Tebal plat buhul = 10 mm

$$\Phi \cdot V_n = \Phi \cdot (r_1 f_{ub}) \cdot m \cdot A_b$$

$$= 0,75 \cdot (0,5 \cdot 10350) \cdot 2 \cdot 4,52$$

$$= 23391 \text{ kg}$$

Kuat tumpu baut

$$\Phi \cdot R_n = \Phi \cdot 2,4 \cdot d_b \cdot t_p \cdot f_u$$

$$= 0,75 \cdot 2,4 \cdot 2,4 \cdot 1 \cdot 4100$$

$$= 17712 \text{ kg (menentukan !)}$$

$$n = \frac{V_u}{\varphi R_n} = \frac{187560}{17712} = 10,58 \approx 12 \text{ buah}$$

Dipasang 12 buah baut, sehingga pada masing masing flens dipasang 6 baut

Kontrol jarak baut

Jarak baut ketepi = S1 = 50 mm

$$1,5db \leq S1 \leq 4tp + 100$$

$$45 \leq 50 \leq 140 \text{ mm}$$

Jarak antar baut = S = 100 mm

$$3db \leq S \leq 15tp$$

$$90 \leq 100 \leq 150 \text{ mm}$$

Ukuran Plat

$$\text{Panjang} = 50 + ((12-1)/2) \times 100 + 50 = 650 \text{ mm} = 65 \text{ cm}$$

- Sambungan las sudut pada plat buhul  
Bahan las sudut yang digunakan adalah E<sub>70xx</sub>

Tebal efektif las sudut rencana te= 1 cm

Kuat nominal las sudut

$$\begin{aligned}\emptyset \cdot R_{nw} &= 0,75 \cdot te \cdot (0,6 \cdot f_{uw}) \\ &= 0,75 \cdot 1 \cdot 0,6 \cdot 70 \cdot 70,3 \\ &= 2214,45 \text{ kg/cm}^2\end{aligned}$$

Luas las sudut

$$\begin{aligned}A_{las} &= 2 \cdot (d+b) \\ &= 2 \cdot (100+80) = 360 \text{ cm}^2\end{aligned}$$

Tegangan yang terjadi pada las sudut

$$\cos \phi = \cos 59^\circ = 0,5151$$

$$\sin \phi = \sin 59^\circ = 0,857$$

$$0,5151 \cdot Vu = 0,5151 \times 187560 = 96612 \text{ kg}$$

$$0,857 \cdot Vu = 0,857 \times 187560 = 160738 \text{ kg}$$

$$f_h = \frac{96612}{360} = 268,36 \text{ kg/cm}^2$$

$$f_v = \frac{160738}{360} = 446,494 \text{ kg/cm}^2$$

$$\begin{aligned}f_{total} &= \sqrt{(\sum f_v)^2 + (\sum f_h)^2} \\ &= \sqrt{(268,36)^2 + (446,494)^2} \\ &= 520,93 \text{ kg/cm}^2\end{aligned}$$

Tebal efektif las sudut

$$t_e = \frac{f_{total}}{\emptyset \cdot R_{nw}} = \frac{520,93}{2214,45} = 0,235 \text{ cm}$$

$$a = \frac{t_e}{0,707} = \frac{0,235}{0,707} = 0,332 \text{ cm} < a \text{ min } (0,6 \text{ cm})$$

Dipakai ketebalan las sudut sebesar 0,6 cm

#### 4.3.4.8 Sambungan Kolom dengan Base Plate

Perencanaan *base plate* dibawah ini menggunakan *fixed plate* dari katalog Continental Steel untuk profil HSS 600.600.15.15 dengan data – data sebagai berikut :

- Part Type = Mild Steel Plate
- H = 1000 mm
- B = 1000 mm
- t<sub>p</sub> = 60 mm
- q = 471,03 kg/m<sup>2</sup>

Dari hasil analisa SAP 2000 didapat gaya- gaya yang bekerja adalah sebagai berikut:

$$\begin{aligned} P_u &= 420177,6 \text{ kg} \\ M_{uX} &= 3099450 \text{ kg.cm} \\ M_{uY} &= 2665940 \text{ kg.cm} \\ V_u &= 11059,15 \text{ kg} \end{aligned}$$

- Perencanaan Sambungan Las Sudut pada Base Plate  
Direncanakan las dengan t<sub>e</sub> = 1 cm pada kaki kolom pada profil HSS 600.600.15.15 sehingga didapat :

$$A_{las} = 4 \times (d_{kolom}) = 4 \times 60 = 240 \text{ cm}^2$$

$$I_x = \frac{(b+d)^3}{6} = \frac{(60+60)^3}{6} = 288000 \text{ cm}^4$$

$$I_y = \frac{(b+d)^3}{6} = \frac{(60+60)^3}{6} = 288000 \text{ cm}^4$$

$$S_x = b \times d + \left( \frac{d^2}{3} \right) = 60 \times 60 + \left( \frac{60^2}{3} \right) = 4800 \text{ cm}^3$$

$$S_y = b \times d + \left( \frac{d^2}{3} \right) = 60 \times 60 + \left( \frac{60^2}{3} \right) = 4800 \text{ cm}^3$$

$$\begin{aligned} f_{u_{las}} &= \varphi \cdot 0,6 \cdot F_{E90xx} = 0,75 \cdot 0,6 \cdot 90 \cdot 70,3 \cdot 1 \\ &= 2847,15 \text{ Kg/cm}^2 \end{aligned}$$

Akibat Pu:

$$\begin{aligned} f_p &= \frac{Pu}{A} + \frac{My}{Sx} = \frac{420177,5}{240} + \frac{3099450}{4800} \\ &= 2396,46 \text{ kg/cm}^2 \end{aligned}$$

Akibat Vu:

$$\begin{aligned} f_v &= \frac{Vu}{A} + \frac{My}{Sy} = \frac{11059,15}{240} + \frac{3099450}{4800} \\ &= 691,798 \text{ kg/cm}^2 \end{aligned}$$

$$\begin{aligned} f_{total} &= \sqrt{f_p^2 + f_v^2} = \sqrt{2396,46^2 + 691,798^2} \\ &= 2494,314 \text{ kg/cm}^2 \end{aligned}$$

$$te = \frac{f_{total}}{f_{u_{las}}} = \frac{2494,314}{2847,15} = 0,876 \text{ cm}$$

$$a = \frac{te}{0,707} = \frac{0,876}{0,707} = 1,24 \text{ cm} > (a \text{ min} = 6 \text{ mm})$$

Syarat- syarat tebal kaki las

Tebal minimum =  $t_{plat} = 60 \text{ mm}$

$$\begin{aligned} a_{eff\ max} &= 1,41 \cdot \frac{f_u}{f_{E\ 90xx}} \cdot tp = 1,41 \cdot \frac{4100}{90.70,3} \cdot 6 \\ &= 5,48 \text{ cm} \end{aligned}$$

Sehingga dipakai las dengan  $a = 1,24 \text{ cm}$

Perhitungan Base Plate

Periksa eksentrisitas gaya:

$$e = \frac{Mu}{Pu} = \frac{3099450}{420177,5} = 7,37 \text{ cm}$$

$$1/6 h = 1/6 \cdot 100 \text{ cm} = 16,67 \text{ cm} > e = 7,37 \text{ cm}$$

Karena  $1/6 h > e$ , maka tidak terjadi gaya tarik, sehingga tidak perlu memasang gaya angkur (dipasang angkur praktis)

Direncanakan diameter baut : 20 mm = 2 cm

$$h' \geq we + c1$$

$w_e = \text{jarak baut ke tepi} = 2 \cdot db = 2 \cdot 2 = 4 \text{ cm}$

$c1 = \text{jarak minimum untuk kunci} = 27/16 \cdot 2 = 3,375 \text{ cm}$

$$h' \geq 4 + 3,375 = 7,375 \text{ cm}$$

$$h \geq H - 0,5 \cdot h' = 100 - 0,5 \cdot 11,06 = 94,47 \text{ cm}$$

$B = 100 \text{ cm}$

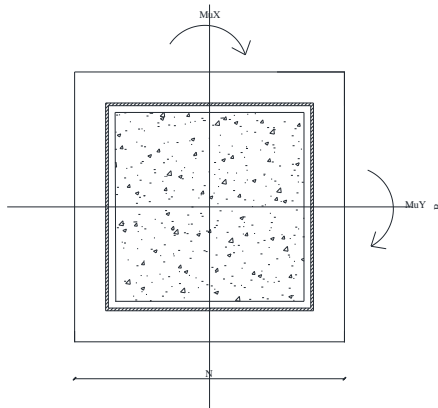
Dimensi beton :

Panjang : 1200 mm

Lebar : 1200 mm

$$\sqrt{\frac{A_2}{A_1}} = \sqrt{\frac{120 \cdot 120}{100 \cdot 100}} = 1,2$$

#### Perencanaan akibat beban sumbu X



Gambar 4.48 Arah Beban Sumbu X Pada Base Plate

- Akibat beban  $P_u$

$$f_{pa} = \frac{P_u}{B \cdot N} = \frac{420177,5}{100 \cdot 100} = 42,01 \text{ kg/cm}^2$$

- Akibat beban  $M_u$

$$f_{pb} = \frac{6 \cdot M_u}{B \cdot N^2} = \frac{6 \cdot 3099450}{100 \cdot 100^2} = 18,59 \text{ kg/cm}^2$$

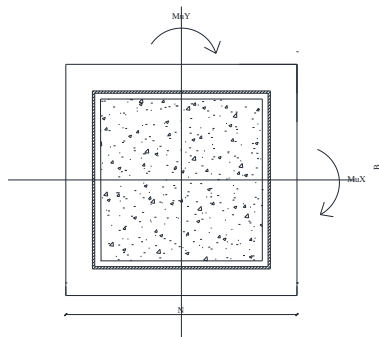
- Tekanan maksimal

$$f_{p\max} = f_{pa} + f_{pb} = 42,01 + 18,59 = 60,60 \text{ kg/cm}^2$$

- Tekanan yang dapat diterima kolom  
 $f_p \text{ avail} = \emptyset. 0,85. f'c = 0,90 \times 0,85 \times 25 = 19,125 \text{ Mpa}$   
 $f_p \text{ avail} = 191,25 \text{ kg/cm}^2 > f_{pmax} = 60,60 \text{ kg/cm}^2 (\text{OK})$
- Menentukan  $M_{upl}$  pada sejarak m setiap lebar 1 cm pelat  
 $m = \frac{N - 0,95.d}{2} = \frac{100 - 0,95 \cdot 60}{2} = 21,5 \text{ cm}$   

$$\begin{aligned} M_{upl} &= \left( f_{pmax} - 2 \cdot f_{pb} \cdot \frac{m}{N} \right) \cdot \left( \frac{m^2}{2} \right) + \left( 2 \cdot f_{pb} \times \frac{m}{N} \right) \left( \frac{m^2}{3} \right) \\ &= \left( 60,60 - 2 \times 18,59 \cdot \frac{21,5}{100} \right) \cdot \left( \frac{21,5^2}{2} \right) + \left( 2 \times \right. \\ &\quad \left. 18,59 \times \frac{21,5}{100} \right) \left( \frac{21,5^2}{3} \right) \\ &= 1284,302 \text{ kg.cm/cm} \end{aligned}$$
- Menentukan tebal base plate  
 $f_y = 2500 \text{ kg/cm}^2$   
 $t = \sqrt{\frac{4 \cdot M_{upl}}{0,9 \cdot f_y}} = \sqrt{\frac{4 \times 1284,3}{0,9 \cdot 2500}} = 1,27 \text{ cm} < 6 \text{ cm (OK)}$

#### Perencanaan akibat beban sumbu Y



Gambar 4.49 Arah Beban Sumbu Y Pada Base Plate

- Akibat beban  $P_u$   
 $f_{pa} = \frac{P_u}{B \cdot N} = \frac{420177,5}{100 \cdot 100} = 42,017 \text{ kg/cm}^2$
- Akibat beban  $M_u$   
 $f_{pb} = \frac{6 \cdot M_u}{B \cdot N^2} = \frac{6 \cdot 2665940}{100 \cdot 100^2} = 15,995 \text{ kg/cm}^2$

- Tekanan maksimal

$$f_{p\ max} = f_{pa} + f_{pb} = 42,017 + 15,995 = 58,012 \text{ kg/cm}^2$$

- Tekanan yang dapat diterima kolom

$$f_{p\ avail} = \emptyset \cdot 0,85 \cdot f'c = 0,9 \times 0,85 \times 25 = 19,125 \text{ Mpa}$$

$$f_{p\ avail} = 191,25 \text{ kg/cm}^2 > f_{p\ max} = 58,01 \text{ kg/cm}^2 (\text{OK})$$

- Menentukan  $M_{upl}$  pada sejarak m setiap lebar 1 cm pelat

$$m = \frac{N - 0,95 \cdot d}{2} = \frac{100 - 0,95 \cdot 60}{2} = 21,5 \text{ cm}$$

$$M_{upl} = \left( f_{p\ max} - 2 \cdot f_{pb} \cdot \frac{m}{N} \right) \cdot \left( \frac{m^2}{2} \right) + \left( 2 \cdot f_{pb} - \frac{m}{N} \right) \left( \frac{m^2}{3} \right)$$

$$= \left( 58,01 - 2 \times 15,995 \cdot \frac{21,5}{100} \right) \cdot \left( \frac{21,5^2}{2} \right) + \left( 2 \times \right.$$

$$\left. 15,995 - \frac{21,5}{100} \right) \left( \frac{21,5^2}{3} \right)$$

$$= 1110,894 \text{ kg.cm/cm}$$

- Menentukan tebal base plate

$$fy = 2500 \text{ kg/cm}^2$$

$$t = \sqrt{\frac{4 \cdot M_{upl}}{0,9 \cdot fy}} = \sqrt{\frac{4 \times 1110,894}{0,9 \cdot 2500}}$$

$$= 1,405 \text{ cm} < 6 \text{ cm}$$

Pakai tebal base plate 2 cm

### **Perencanaan pelat pengaku**

- Pelat pengaku direncanakan seperti dengan dengan balok yang menerima beban momen dari pelat landas.
- Dimensi pelat minimum menurut SNI-1729-2015 Pasal G3-3

Tebal pelat pengaku minimum ( $t_s$ )

$$t_s \geq 0,5 \cdot t_f \rightarrow 0,5 \times 1,5 = 0,75 \text{ cm}$$

Direncanakan tebal pengaku 2x tebal disambung, maka "tebal pelat pengaku ( $t_s$ ) = 1,5 cm"

### **Perencanaan baut angkur**

- Gaya tarik yang terjadi pada angkur

$$T = \frac{f_{p\ max} \cdot A \cdot B}{2} - P_u = \frac{58,012 \cdot 100 \cdot 100}{2} - 420177,5$$

$$= 117177,5 \text{ kg}$$

“Karena  $1/6 h > e$ , maka dipasang angkur praktis”

Perhitungan Baut Angkur:

Dipakai baut angkur Ø20 mm mutu F1554 Grade 105 dengan  $f_u = 7381,5 \text{ kg/cm}^2$

$$\begin{aligned}\varphi V_n &= 0,75 \cdot r_1 \cdot f_{ub} \cdot A_b \\ &= 0,75 \times 0,5 \times 7381,5 \times 3,14\end{aligned}$$

$$= 8696,1 \text{ kg (menentukan)}$$

$$\begin{aligned}\varphi R_n &= 2,4 \cdot \varphi \cdot d_b \cdot t_p \cdot f_u \\ &= 2,4 \cdot 0,75 \cdot 2 \cdot 6 \cdot 4100 \\ &= 88560 \text{ kg}\end{aligned}$$

- Kuat rencana tarik

$$\begin{aligned}T_d &= \varphi \cdot 0,75 \cdot f_{ub} \cdot A_b \\ &= 0,75 \times 0,75 \times 7381,5 \times 3,14 \\ &= 13044,2 \text{ kg}\end{aligned}$$

- Kontrol geser

$$n = \frac{V_u}{\varphi V_n} = \frac{11059}{8696,1} = 1,27$$

Kontrol tarik

$$n = \frac{T}{\varphi V_n} = \frac{117177,5}{8696,43} = 11,47 \approx 12 \text{ buah}$$

Untuk pelat landas dipasang 12 baut

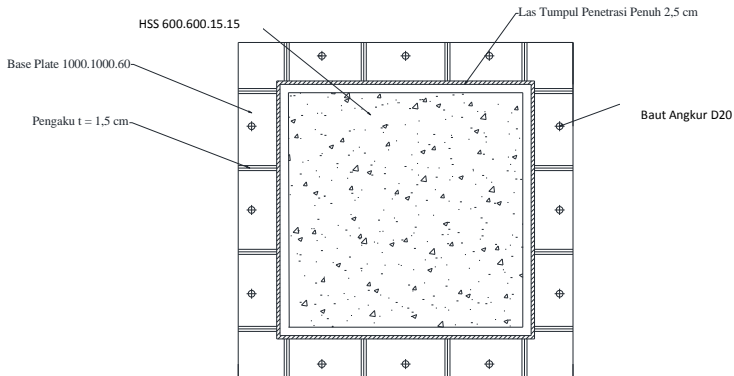
- Panjang Baut Angkur ( $12 \text{ in} \times 2,54 = 30,48 \text{ cm}$ )

$$\begin{aligned}\lambda d &= \frac{9f_y}{10 \cdot \sqrt{f'c}} \times \frac{\alpha \cdot \beta \cdot \gamma \cdot \lambda}{\left( \frac{c + ktr}{d_b} \right)} \\ &= \frac{9 \times 250}{10 \cdot \sqrt{25}} \times \frac{1 \times 1,2 \times 1 \times 1}{3,0}\end{aligned}$$

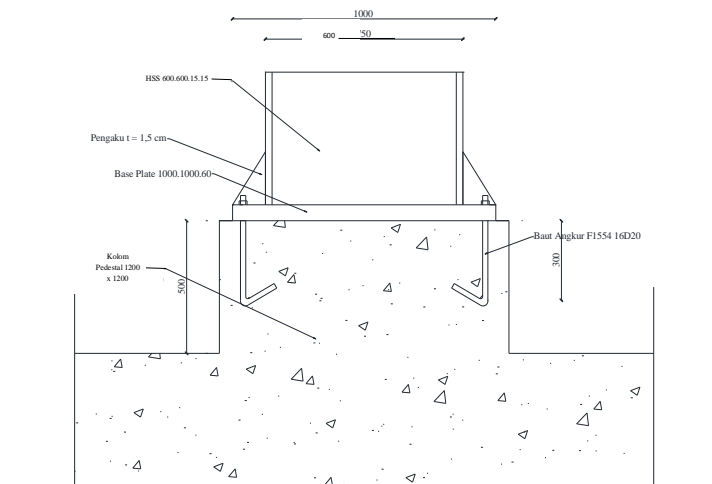
$$\lambda d = 18 \cdot db \rightarrow 18 \cdot 2,0 \text{ cm} = 36 \text{ cm} \approx 40 \text{ cm}$$

Maka panjang angkur yang dibutuhkan 40 cm.

Direncanakan dipasang hingga 150 cm setebal Pedestal



Gmbar 4.50 Base Plate pada Kolom



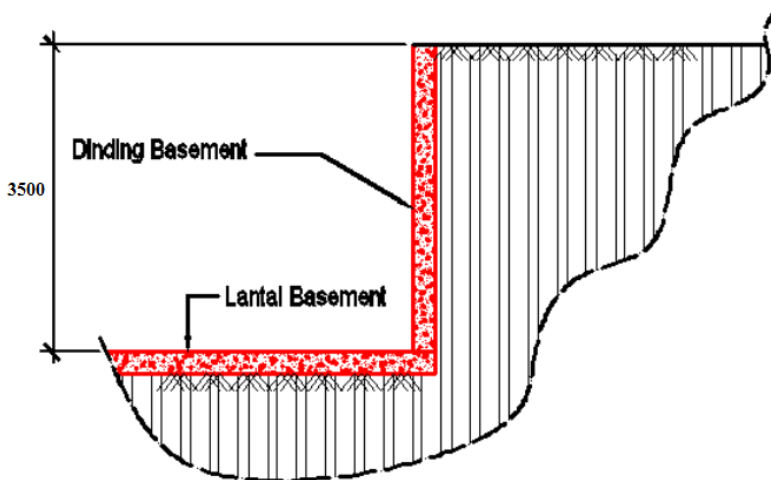
Gambar 4.51 Tampak Samping Base Plate dan Kolom Pedestal

## 4.4 Perencanaan Struktur Bawah

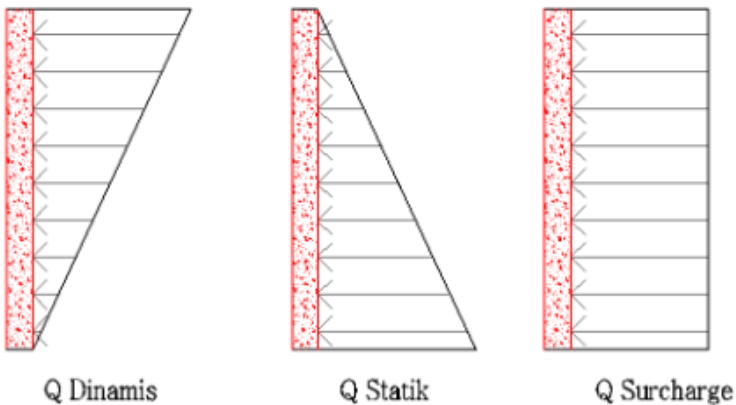
### 4.4.1 Perencanaan Pelat Dinding Penahan Tanah

Dinding struktur semi basement tidak seluruhnya berada di dalam tanah, karena setengah lantai paling bawah masuk ke dalam tanah, maka dinding luar yang terkena tekanan tanah digunakan pelat beton sebagai penahan tanah.

Agar dapat merencanakan konstruksi penahan tanah dengan tepat, maka perlu diketahui gaya horizontal yang bekerja antar konstruksi penahan dengan massa tanah yang ditahan. Gaya horizontal disebabkan oleh tekanan tanah aktif horizontal yang diilustrasikan pada gambar dibawah ini



Gambar 4.52 Pemodelan basement



Gambar 4.53 Gaya yang bekerja pada dinding basement

- **Q dinamis**

Data tanah yang dipergunakan untuk mencari gaya dinamis:

$$\gamma_t = 1,759 \text{ t/m}^3$$

$$\gamma_w = 1,000 \text{ t/m}^3$$

$$\gamma' = 1,759 - 1,000 = 0,759 \text{ t/m}^3$$

$$\theta = 38^\circ$$

$$C_u = 0$$

$$C = 0$$

$$\sigma = \gamma_t \times H \\ = 1,759 \times 3,5 = 6,1565 \text{ t/m}^2$$

$$K_a = \tan^2(45^\circ - \frac{\theta}{2})$$

$$K_a = \tan^2(45^\circ - \frac{38^\circ}{2}) = 1$$

$$P \theta = \frac{1}{2}(\{k_a \cdot \gamma' + \gamma_w\}H_1 - 2C \cdot k_a^{0.5})h_2$$

$$= \frac{1}{2}(\{1 \cdot 0,759 + 1\}3,5 - 2 \cdot 0 \cdot k_a^{0.5})3,5 \\ = 10,77382 \text{ t/m}^2$$

- $Q_{\text{static(Air)}} = \gamma \times H$   
 $= 1000 \times 3,5$   
 $= 3500 \text{ kg/m}^2$
- $Q_{\text{surcharge}} = q \times K_a$   
 $= 800 \text{ kg/m}^2 \times 1$   
 $= 800 \text{ kg/m}^2$

Dari hasil analisa dengan program SAP 2000 dengan beban akibat tekanan tanah aktif, air, dan surcharge diperoleh beban maksimum sebesar 7689,06 kgm

$$\text{Tebal Pelat Beton} = 15 \text{ cm}$$

$$D_{\text{tulangan}} = 10 \text{ mm}$$

$$d = t - \text{decking} = 150 - 20 - 0,5 \cdot 10 = 125 \text{ mm}$$

$$R_n = \frac{M_u}{0,8 \cdot b \cdot d^2} = \frac{7689,06 \times 1000}{0,8 \times 1000 \times 125^2} = 0,615$$

$$\rho_{\text{perlu}} = \frac{1}{m} \left( 1 - \sqrt{1 - \frac{2m \cdot R_n}{f_y}} \right)$$

$$= \frac{1}{15,69} \left( 1 - \sqrt{1 - \frac{2 \times 15,69 \times 0,619}{400}} \right) = 0,00308 < \rho_{\text{min}} = 0,0035$$

$$\text{As Perlu} = 0,0035 \times 1000 \times 125 = 437,5 \text{ mm}^2$$

Dipasang Tulangan satu lapis Diameter 10-170 ( As = 462 mm<sup>2</sup> )

#### 4.4.2 Perencanaan Pelat Basement

Pelat basement merupakan plat di bawah tanah yang langsung berhubungan dengan tanah di bawah galian basement. Pelat ini didesain untuk menerima gaya uplift dari air tanah dan beban hidup berupa kendaraan yang parker karena lantai basement ini difungsikan sebagai tempat parker. Namun untuk mengetahui momen terbesar yang terjadi, dianggap kendaraan belum ada sehingga gaya yang bekerja hanya uplift pressure saja

Perhitungan tulangan plat basement menggunakan metode desain langsung SNI 2847-2013 dengan tebal pelat minimum tanpa balok interior tanpa penekalan dan tanpa balok pinggir adalah  $L_n/30$

$$L_n/30 = 8000/30 = 266 \text{ mm} = 27 \text{ cm}$$

Diambil tebal pelat dasar = 27 cm

$$\begin{aligned}W_u &= 1,2DL \\&= 1,2(0,27 \times 2400) \\&= 777,6 \text{ kg/m}^2 \\Mu &= \frac{w u \times l \times (l-b) \times (l-b)}{8} = 35965,224 \text{ kgm}\end{aligned}$$

Faktor distribusi momen tepi eksterior ditahan penuh:

- Mu pada tumpuan = 0,65
- Mu pada lapangan = 0,35

	Momen negatif	Momen Positif
Mu	35965,224	19365,889
Faktor Distribusi	75%	75%
Momen lajur kolom	26973,92	14524,416
Momen lajur tengah	12587,83	6778,06

### Penulangan pelat Basement

- **Penulangan jalur kolom**

#### Daerah Tumpuan

Diameter tulangan = 16 mm

Tebal selimut beton = 2 cm

$$d = 270 - 20 - \frac{1}{2} \cdot 16 = 242 \text{ mm}$$

$$d' = 20 + 1/2 \cdot 16 = 28 \text{ mm}$$

$$Mu = 26793,92 \text{ kgm}$$

$$\rho \text{ perlu} = \frac{Mu}{0,8fy.(d-d')bd}$$

$$\rho \text{ perlu} = \frac{26793,92}{0,8 \cdot 400 \cdot (242 - 28) \cdot 1000 \cdot 242}$$

$$= 0,008102$$

$$As \text{ tulangan} = \rho \times b \times d$$

$$= 0,008102 \times 1000 \times 242$$

$$= 1960,8 \text{ mm}^2$$

Dipakai tulangan lentur D16-100 ( As = 1915 mm<sup>2</sup> )

**Daerah Lapangan**

Diameter tulangan = 16 mm

Tebal selimut beton = 2 cm

$$d = 270 - 20 - \frac{1}{2} \cdot 16 = 242 \text{ mm}$$

$$d' = 20 + \frac{1}{2} \cdot 16 = 28 \text{ mm}$$

$$Mu = 14524,416 \text{ kgm}$$

$$\rho \text{ perlu} = \frac{Mu}{0,8.fy.(d-d')bd}$$

$$\rho \text{ perlu} = \frac{14524,416}{0,8.400.(242-28)1000.242}$$

$$= 0,0046$$

$$\begin{aligned} As \text{ tulangan} &= \rho \times b \times d \\ &= 0,0046 \times 1000 \times 242 \\ &= 1113,2 \text{ mm}^2 \end{aligned}$$

Dipakai tulangan lentur D16-180 ( As = 1117 mm<sup>2</sup> )

- **Penulangan jalur tengah**

**Daerah Tumpuan**

Diameter tulangan = 12 mm

Tebal selimut beton = 2 cm

$$d = 270 - 20 - \frac{1}{2} \cdot 12 = 244 \text{ mm}$$

$$d' = 20 + \frac{1}{2} \cdot 12 = 26 \text{ mm}$$

$$Mu = 12587,889 \text{ kgm}$$

$$\rho \text{ perlu} = \frac{Mu}{0,8.fy.(d-d')bd}$$

$$\rho \text{ perlu} = \frac{12587,889}{0,8.400.(244-26)1000.244}$$

$$= 0,004$$

$$\begin{aligned} As \text{ tulangan} &= \rho \times b \times d \\ &= 0,004 \times 1000 \times 244 \\ &= 976 \text{ mm}^2 \end{aligned}$$

Dipakai tulangan lentur D12-100 (  $A_s = 1131 \text{ mm}^2$  )

### **Daerah Lapangan**

Diameter tulangan = 12 mm

Tebal selimut beton = 2 cm

$$d = 270 - 20 - \frac{1}{2} \cdot 12 = 244 \text{ mm}$$

$$d' = 20 + \frac{1}{2} \cdot 16 = 26 \text{ mm}$$

$$M_u = 6778,06 \text{ kgm}$$

$$\rho_{\text{perlu}} = \frac{M_u}{0,8 \cdot f_y \cdot (d - d') \cdot b \cdot d}$$

$$\rho_{\text{perlu}} = \frac{6778,06}{0,8 \cdot 400 \cdot (244 - 26) \cdot 1000 \cdot 244}$$

$$= 0,00396$$

$$A_s \text{ tulangan} = \rho \times b \times d$$

$$= 0,00396 \times 1000 \times 242$$

$$= 958,32 \text{ mm}^2$$

Dipakai tulangan lentur D12-180 (  $A_s = 1117 \text{ mm}^2$  )

#### **4.4.3 Perencanaan tie beam Basement**

Untuk mendukung struktur basement, dilakukan perancangan *tie beam* yang menghubungkan poer-poer yang diatasnya terdapat struktur *retaining wall* basement. Desain penulangan pada *tie beam* akan direncanakan menggunakan tulangan baja. Hal tersebut dilaksanakan karena *tie beam* menerima kombinasi beban aksial dan lentur. Dalam perancangan *tie beam* ini diambil data:

Gaya aksial kolom yang ditinjau untuk perhitungan pondasi

$$P_{\text{kolom}} = 420177 \text{ kg (tipe 2)}$$

$$P_{\text{tie beam}} = 42017,7 \text{ kg} = 420177 \text{ N}$$

Dimensi tie beam = 40 cm x 60 cm

Mutu beton ( $f'_c$ ) = 30 Mpa

Mutu beton ( $f_y$ ) = 400 Mpa

Tulangan utama = 29 mm

Tulangan sengkang = 10 mm

Selimut beton = 50 mm

Tegangan ijin tarik beton:

$$f_{ijin} = 0,7 \times \sqrt{f'c} = 0,7 \times \sqrt{30} = 3,83 \text{ Mpa}$$

Tegangan tarik yang terjadi:

$$f_r = \frac{P_u}{\varphi \cdot b \cdot h} = \frac{420177}{0,8 \cdot 400 \cdot 600} = 2,18 \text{ Mpa}$$

### **Penulangan Lentur Tie Beam**

Berdasarkan RSNI 03-2847-2012 Pasal 21.12.3.2 Balok sloof yang didesain sebagai pengikat horizontal antara poer harus diporoposikan sedemikian hingga dimensi penampang terkecil harus sama dengan atau lebih besar jarak antar kolom yang disambung dibagi dengan 20, tetapi tidak perlu lebih besar dari 450

$$\frac{l}{20} = \frac{8000}{20} = 400 \text{ mm}^2$$

Direncanakan dimensi sloof terkecil adalah 400 mm, maka dimensi tersebut telah memenuhi kriteria pendesainan.

Penulangan sloof didasarkan pada kondisi pembebanan dimana beban yang diterima adalah beban aksial dan lentur sehingga penulangannya seperti penulangan pada kolom.

Beban yang diterima sloof :

$$\begin{aligned} - \text{berat sendiri} &= 0,40 \times 0,60 \times 2400 = 576 \text{ kg/m} \\ - \text{berat dinding} &= 4 \times 0,15 \times 2400 = 1440 \text{ kg/m} + \\ &\qquad\qquad\qquad q_d = 2016 \text{ kg/m} \end{aligned}$$

Konstruksi sloof merupakan balok menerus sehingga pada perhitungan momen digunakan momen koefisien. Besarnya koefisien momen tersebut ditentukan pada RSNI 03-2847-2012 Pasal 8.3.3, sebagaimana diperlihatkan dengan analisis berikut ini:

$$q_u = 1,2 \times 2016 = 2419,2 \text{ kg/m}$$

$$\begin{aligned} M_{u \text{ tumpuan}} &= \frac{1}{12} \times q_u \times l^2 \\ &= \frac{1}{12} \times 2419,2 \times 8^2 \\ &= 12902,4 \text{ kgm} = 129,024 \text{ Nmm} \end{aligned}$$

$$P_{u \text{ Sloof}} = 391163,6 \text{ N}$$

$$P_{\max} = 42,0177 \text{ ton}$$

$$P = 2 \times 42,0177 = 84,035 \text{ ton}$$

$$Q = (0,4 \times 0,6) \times 2,4 = 0,576 \text{ ton/m}$$

$$q_u = 0,576 \text{ ton/m} \times 1,2 = 0,69 \text{ ton/m}$$

$$M_u = 12,902 \text{ ton.m} = 1,2902 \times 10^8 \text{ N.mm}$$

$$d_x = 400 - 50 - \frac{1}{2} \cdot 29 = 335,5 \text{ mm}$$

$$M_n = \frac{M_u}{\phi} = \frac{1,2902 \times 10^8}{0,8} = 1,612 \times 10^8 \text{ Nmm}$$

$$m = \frac{f_y}{0,85 \cdot f_{ic}} = \frac{400}{0,85 \cdot 30} = 15,69$$

$$\rho_{\min} = \frac{1,4}{f_y} = \frac{1,4}{400} = 0,0035$$

$$\begin{aligned} \rho_{\text{bal}} &= \frac{0,85 \cdot f'c \cdot \beta}{f_y} \left( \frac{600}{600 + f_y} \right) \\ &= \frac{0,85 \cdot 30 \cdot 0,85}{400} \left( \frac{600}{600 + 400} \right) = 0,032513 \end{aligned}$$

$$\rho_{\max} = 0,75 \rho_b = 0,75 \times 0,032513 = 0,024384$$

$$R_n = \frac{M_n}{bd^2} = \frac{1,612 \times 10^8}{400 \times 339^2} = 3,58$$

$$\begin{aligned} \rho_{\text{perlu}} &= \frac{1}{m} \left( 1 - \sqrt{1 - \frac{2m \cdot R_n}{f_y}} \right) \\ &= \frac{1}{15,69} \left( 1 - \sqrt{1 - \frac{2 \times 15,69 \times 3,58}{400}} \right) = 0,00969 > \rho_{\min} \end{aligned}$$

Tulangan tarik yang dibutuhkan :

$$\begin{aligned} A_s &= \rho \times b \times d_x \\ &= 0,00969 \times 1000 \times 335,5 = 3250,223 \text{ mm}^2 \end{aligned}$$

Digunakan Tulangan D29 ( $A_s = 660,52 \text{ mm}^2$ )

$$\text{Jumlah tulangan Perlu} = \frac{3250,223}{660,52} = 4,92 \approx 5 \text{ buah}$$

Digunakan tulangan lentur atas 5D29

$$\begin{aligned} A_s &= \left( \frac{1}{4} \times \pi \times d^2 \right) \times 5 \\ &= 3303,93 \text{ mm}^2 > 3251,65 \text{ mm}^2 \text{ (OK)} \end{aligned}$$

### Penulangan Geser Sloof

$$V_u = \frac{1}{2} \times 2016 \times 8 = 8064 \text{ kg} = 80640 \text{ N}$$

Berdasarkan RSNI 03-2847-2012 Pasal 11.2.1.2 penentuan kekuatan geser beton yang terbebani aksial tekan ditentukan dengan perumusan berikut :

$$A_g = 400 \times 600 = 240000 \text{ mm}^2$$

$$d = 600 - 50 - 10 - 29/2 = 525,5 \text{ mm}$$

$$V_c = 0,17 \left( 1 + \frac{P_u}{14 A_g} \right) \lambda \sqrt{f'c} \times b_w \times d$$

$$= 0,17 \left( 1 + \frac{420177}{14.240000} \right) 1\sqrt{30} \times 400 \times 525,5$$

$$= 220198 \text{ N}$$

$$\phi V_c = 0,75 \times 220198 = 165149 \text{ N} > V_u (\text{OK})$$

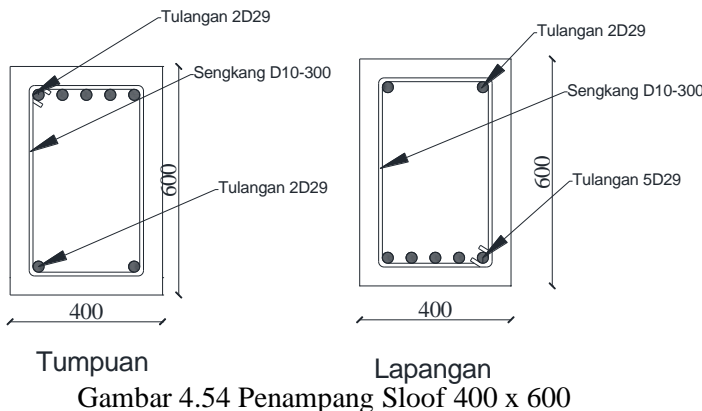
Berdasarkan RSNI 03-2847-2012 Pasal 21.12.3 jarak antara tulangan transversal pada sloof tidak boleh kurang dari berikut ini:

$$\frac{d}{2} \text{ atau } 300 \text{ mm}$$

$$\frac{525,5}{2} = 262,75 \text{ mm} \rightarrow s = 300 \text{ mm}$$

Dipasang sengkang  $\emptyset 10 - 300 \text{ mm}$  (sengkang dua kaki)

Detail tulangan sloof



Gambar 4.54 Penampang Sloof 400 x 600

#### 4.4.4 Perencanaan Pondasi Tiang Bor

##### 4.4.4.1 Dimensi Penampang Tiang Bor

Data data untuk perhitungan pondasi tiang bor didasarkan pada pembebanan akibat beban mati, hidup dan gempa. Perhitungan analisa struktur atas dengan bantuan SAP 2000 diambil reaksi perletakan maksimum yang telah direkapitulasikan dalam tabel di bawah ini

Beban	P(kg)	Mx(kgm)	My(kgm)
Max	420177	30994,5	37063

Dari data tanah diperoleh korelasi tanah berdasarkan J.E BOWLES. Selanjutnya direncanakan diameter pondasi tiang bor sebesar :

$$Ds = 2,257 \sqrt{\frac{4201,77}{30000}} = 0,842 = 0,8 \text{ meter}$$

Direncanakan diameter badan pondasi tiang bor = 0,8 meter, diameter ujung pondasi direncanakan sama dengan Diameter badan

$$Dh = Ds = 0,8 \text{ meter}$$

Keterangan	Kedalaman (m)	Tebal	N	N koreksi (N')
Lapisan 1	0	0	0	0.00
Lapisan 2	3	3	24	24
Lapisan 3	6	3	50	50
Lapisan 4	9	3	50	50

##### 4.4.4.2 Daya dukung tiang bor

Daya dukung tiang bor berasal dari tahanan ujung dan tahanan selimut tiang. Untuk mengevaluasi berapa kedalaman yang sesuai untuk tiang bor ini, dilakukan perhitungan mencari daya dukung pondasi menggunakan perumusan dari Luciano-Decourt(1982) karena perumusan ini dapat dipergunakan untuk seluruh jenis tanah.

$$Q_1 = Q_p + Q_s$$

dimana :

$Q_l$  = Daya dukung tanah maximum pada pondasi

$Q_p$  = Resistance Ultimate di dasar Pondasi

$Q_s$  = Resistance ultimate akibat lekatan lateral

$$Q_p = (N_p \cdot K) \cdot A_p$$

dimana :

$N_p$  = Harga rata rata di sekitar  $4B$  diatas hingga  $4B$  dibawah dasar tiang pondasi ( $B$ =Diameter Pondasi)

$K$  = Koefisien karakteristik tanah

=  $12 \text{ t/m}^2$ , untuk tanah lempung

=  $15 \text{ t/m}^2$ , untuk tanah lempung berlanau

=  $25 \text{ t/m}^2$ , untuk tanah lanau berpasir

=  $40 \text{ t/m}^2$ , untuk tanah pasir

=  $40 \text{ t/m}^2$ , untuk lempung sangat kaku (Poulos)

$A_p$  = Luas penampang dasar tiang

$$Q_s = \left( \frac{N_s}{3} + 1 \right) \cdot A_s$$

Dimana :

$q_s$  = tegangan akibat lekatan lateral dalam  $\text{t/m}^2$

$N_s$  = harga rata-rata sepanjang tiang yang tertanam, dengan batasan :  $3 \leq N \leq 50$

$A_s$  = Keliling x Panjang Tiang Terbenam(Luas selimut)

$$Q_p = (N_p \cdot K) \cdot A_p$$

$$= \left\{ \left( \frac{30+50+50}{3} \right) \cdot 15 \cdot \left( \frac{3,14 \cdot 0,8 \cdot 0,8}{4} \right) \right\}$$

$$= 326,557 \text{ ton}$$

$$Q_s = \left( \frac{N_s}{3} + 1 \right) \cdot A_s$$

$$\begin{aligned}
 Q_{\text{total}} &= \left( \frac{43,33}{3} + 1 \right) \cdot (3,14 \cdot 0,8 \cdot 4) = 194,1587 \text{ ton} \\
 P_{ijin} &= \left( \frac{Q_u}{S_f} \right) \\
 P_{ijin} &= \left( \frac{520,716}{3} \right) \\
 &= 173,512 \text{ Ton}
 \end{aligned}$$

#### 4.4.4.3 Penulangan Tiang Bor

Direncanakan diambil rasio tulangan untuk Bore Pile sebesar = 1,145 % dari program PCACOL, maka dipakai tulangan 16D13 ( $A_s = 2123,716 \text{ mm}^2$ ) dengan sengkang spiral D10-150

#### 4.4.4.4 Daya dukung tanah Tiang Pancang Kelompok

Untuk daya dukung group pondasi, harus dikoreksi terlebih dahulu dengan koefisien efisiensi  $C_e$ .

$$\begin{aligned}
 Q_{L(\text{group})} &= Q_{L(1 \text{ tiang})} \times n \times C_e \\
 n &= \text{jumlah tiang dalam group}
 \end{aligned}$$

##### *Perhitungan Koefisien $C_e$*

Dengan menggunakan perumusan Converse – Laberre :

$$E_k = 1 - \theta \left[ \frac{(n-1)m + (n-1)m}{90mn} \right]$$

Dimana :

$D$  = diameter tiang pancang

$s$  = jarak antar tiang pancang

$m$  = jumlah tiang pancang dalam 1 baris

$n$  = jumlah baris tiang pancang

$\Theta$  = Arc tg  $D/s$  (dalam derajat)

#### 4.4.4.5 Repetisi Beban Diatas Tiang Kelompok

Bila diatas tiang-tiang dalam kelompok yang disatukan oleh sebuah kepala tiang (*poer*) bekerja beban-beban vertikal (V), horizontal (H), dan momen (M), maka besarnya beban vertikal ekivalen (P<sub>V</sub>) yang bekerja adalah

:

$$P_V = \frac{V}{n} \pm \frac{M_y \times x_{max}}{\Sigma x^2} \pm \frac{M_x \times y_{max}}{\Sigma y^2}$$

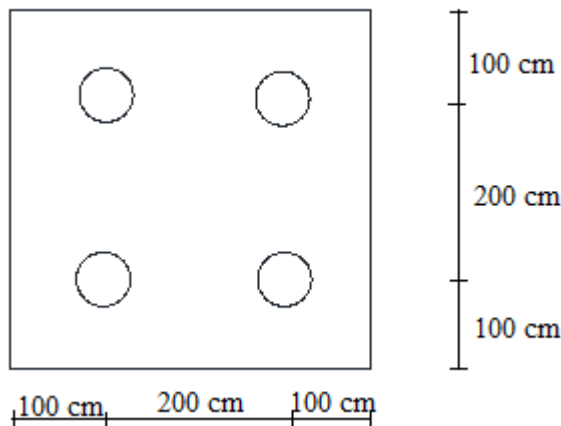
dimana :

- P<sub>V</sub> = beban vertikal ekivalen
- V = beban vertikal dari kolom
- N = banyaknya tiang dalam group
- M<sub>x</sub> = momen terhadap sumbu x
- M<sub>y</sub> = momen terhadap sumbu y
- x<sub>max</sub> = absis terjauh terhadap titik berat kelompok tiang
- y<sub>max</sub> = ordinat terjauh terhadap titik berat kelompok tiang
- $\Sigma x^2$  = jumlah dari kuadrat absis tiap tiang terhadap garis netral group
- $\Sigma y^2$  = jumlah dari kuadrat ordinat tiap tiang terhadap garis netral group
- nilai x dan y positif jika arahnya sama dengan arah e, dan negatif bila berlawanan dengan arah e.

#### 4.4.4.6 Perhitungan Repetisi Beban Diatas Tiang Kelompok

##### Pondasi Tipe 1

Beban	P(kg)	Mx(kgm)	My(kgm)	Hx	Hy
<b>Max</b>	<b>420177</b>	<b>30994,5</b>	<b>37063</b>	<b>11059</b>	<b>597</b>
<b>1,2D+0,5L+Ex</b>	<b>324638.09</b>	<b>25462.6</b>	<b>12401.2</b>	<b>10398</b>	<b>773</b>
<b>1,2D+0,5L+Ey</b>	<b>339609.39</b>	<b>29324</b>	<b>10816</b>	<b>14700</b>	<b>709</b>
<b>1D+1L</b>	<b>319069.35</b>	<b>23625.1</b>	<b>5065.7</b>	<b>8427</b>	<b>454</b>



Gambar 4.55 Perencanaan Poer 1

$$E_k = 1 - \left( \operatorname{arc} \operatorname{tgn} \frac{800}{2000} \right) \left[ \frac{(2-1)^2 + (2-1)^2}{90 \times 2 \times 2} \right] \\ = 0,84$$

$$P_i = \frac{\Sigma P}{n} \pm \frac{M_y \times x_{max}}{\Sigma x^2} \pm \frac{M_x \times y_{max}}{\Sigma y^2}$$

$$\Sigma y^2 = 4 (1)^2 = 4 \text{ m}^2$$

$$\Sigma x^2 = 4 (1)^2 = 4 \text{ m}^2$$

Beban Tetap:

$$P_{D+L} = \frac{319069,35}{4} \pm \frac{23625,1 \times 1}{4^2} \pm \frac{5065,7 \times 1}{4^2} \\ = 81873,0125 \text{ kg} \rightarrow (\text{menentukan})$$

Beban sementara:

$$P_{1,2D+0,5L+EX} = \frac{324638,09}{4} \pm \frac{25462,6 \times 1}{4^2} \pm \frac{12401,2 \times 1}{4^2} \\ = 83526,01 \text{ kg}$$

$$P_{D+L+EY} = \frac{339606,39}{4} \pm \frac{29324 \times 1}{4^2} \pm \frac{10816 \times 1}{4^2} \\ = 87410,3475 \text{ kg} \rightarrow (\text{menentukan})$$

Beban Ultimate:

$$P_{D+L} = \frac{420177}{4} + \frac{30994 \times 1}{4^2} + \frac{37063 \times 1}{4^2}$$

$$= 109297,8125 \text{ kg} \rightarrow (\text{menentukan})$$

Kontrol beban tetap

$P_{\max} = 81873,0125 \text{ Kg} < Q_{ijin} = 173512 \text{ Kg}$  (OK)

Kontrol beban sementara

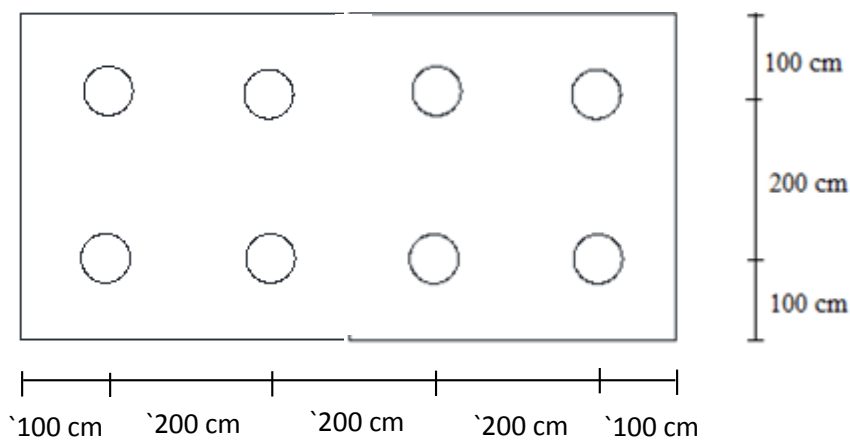
$P_{\max} = 87410,3475 \text{ ton} < Q_{ijin} = 173512 \text{ Kg}$  (OK)

Kontrol beban ultimate

$P_{\max} = 109297,8125 \text{ Kg} < Q_{ijin} = 173512 \text{ Kg}$  (OK)

## Pondasi Tipe 2

Beban	P(kg)	Mx(kgm)	My(kgm)	Hx	Hy
<b>Max</b>	<b>832650</b>	<b>25694,5</b>	<b>32210</b>	<b>11059</b>	<b>897</b>
<b>1,2D+0,5L+Ex</b>	<b>644638,09</b>	<b>21462,6</b>	<b>14420,2</b>	<b>10398</b>	<b>973</b>
<b>1,2D+0,5L+Ey</b>	<b>669609,39</b>	<b>21324</b>	<b>10816</b>	<b>14700</b>	<b>984</b>
<b>1D+1L</b>	<b>638138,7</b>	<b>18625,1</b>	<b>8265,4</b>	<b>8427</b>	<b>854</b>



Gambar 4.56 Perencanaan Poer 2

$$E_k = 1 - \left( \operatorname{arc} tgn \frac{800}{2000} \right) \left[ \frac{(4-1)4 + (4-1)4}{90 \times 2 \times 4} \right]$$

$$= 0,64$$

$$P_i = \frac{\Sigma P}{n} \pm \frac{M_y \times x_{max}}{\Sigma x^2} \pm \frac{M_x \times y_{max}}{\Sigma y^2}$$

$$\Sigma y^2 = 4 (1)^2 + 4 (3)^2 = 40 \text{ m}^2$$

$$\Sigma x^2 = 4 (1)^2 = 4 \text{ m}^2$$

Beban Tetap:

$$\begin{aligned} P_{D+L} &= \frac{638318,70}{8} \pm \frac{18625,1 \times 3}{40^2} \pm \frac{8265,4 \times 1}{4^2} \\ &= 80318,0615 \text{ kg} \rightarrow (\text{menentukan}) \end{aligned}$$

Beban sementara:

$$\begin{aligned} P_{1,2D+0,5L+EX} &= \frac{644638,09}{8} \pm \frac{21462,6 \times 3}{40^2} \pm \frac{14420 \times 1}{4^2} \\ &= 81368,25 \text{ kg} \end{aligned}$$

$$\begin{aligned} P_{1,2D+0,5L+EY} &= \frac{669609,39}{8} \pm \frac{21324,6 \times 3}{40^2} \pm \frac{10816 \times 1}{4^2} \\ &= 84410,3475 \text{ kg} \rightarrow (\text{menentukan}) \end{aligned}$$

Beban Ultimate:

$$\begin{aligned} P_{D+L} &= \frac{832650}{8} \pm \frac{25694 \times 3}{40^2} \pm \frac{32210 \times 1}{4^2} \\ &= 104848,44 \text{ kg} \rightarrow (\text{menentukan}) \end{aligned}$$

Kontrol beban tetap

$$P_{\max} = 80318,0615 \text{ Kg} < Q_{ijin} = 173512 \text{ Kg} \text{ (OK)}$$

Kontrol beban sementara

$$P_{\max} = 81368,25 \text{ ton} < Q_{ijin} = 173512 \text{ Kg} \quad (\text{OK})$$

Kontrol beban ultimate

$$P_{\max} = 104848,44 \text{ Kg} < Q_{ijin} = 173512 \text{ Kg} \quad (\text{OK})$$

#### 4.4.5 Perencanaan Poer Dimensi Poer

Poer direncanakan terhadap gaya geser ponds pada penampang kritis dan penulangan akibat momen lentur. Untuk penulangan D13, panjang penyaluran Ld diambil yang menentukan dari tiga perhitungan alternatif, yaitu :

$$\begin{aligned} Ld &= 0,25 \left( \frac{F_y}{\sqrt{F'_c}} \right) \cdot D_{tulangan} \\ &= 0,25 \left( \frac{410}{\sqrt{30}} \right) \cdot 13 = 243,28 \text{ mm} \end{aligned}$$

$$Ld = 0,04 \cdot db \cdot fy = 0,04 \cdot 13 \cdot 410 = 213,2 \text{ mm}$$

$$Ld = 40 \cdot b = 40 \times 13 = 520 \text{ mm}$$

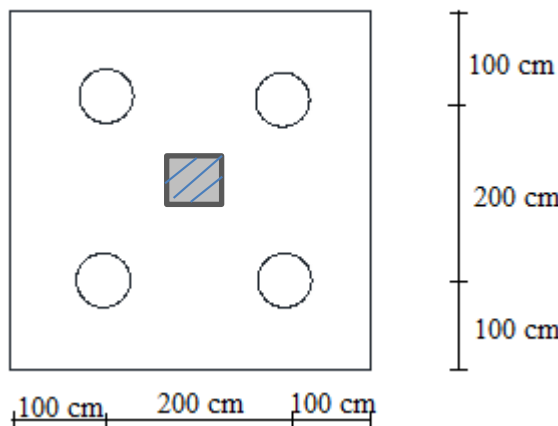
Berdasarkan panjang Penyaluran dari batang tulangan tersebut, maka direncanakan tebal Pile cap sebesar 1500 mm

### Kontrol Geser Pons

Poer harus mampu menyebarkan beban dari kolom ke pondasi, sehingga perlu dilakukan kontrol kekuatan geser pons untuk memastikan bahwa kekuatan geser nominal beton harus lebih besar dari geser pons yang terjadi. Perencanaan geser pons pada poer tersebut berdasarkan ketentuan SNI 03-2847-2012 Pasal 11.11.2.1.

#### Pondasi tipe 1

#### Akibat Kolom



Gambar 4.57 Tampak atas Kolom dan Poer

Untuk pondasi tapak non-prategang ( $V_c$ ) ditentukan berdasarkan nilai yang terkecil dari persamaan berikut:

$$V_{c1} = 0,17 \left(1 + \frac{2}{\beta}\right) \lambda \sqrt{f'c} \times b_o \times d$$

$$V_{c2} = 0,083 \times \left(\frac{\alpha_s d}{b_o}\right) \lambda \sqrt{f'c} \times b_o \times d$$

$$V_{c3} = 0,333 \lambda \sqrt{f'c} \times b_o \times d$$

dimana :

$\beta$  = rasio sisi terpanjang terhadap sisi terpendek (daerah beban terpusat) =  $1200/1200 = 1$

Tebal effektif balok poer :

$$\text{Arah x (dx)} = 1500 - 75 - (1/2 \cdot 25) = 1412,75 \text{ mm}$$

Keliling penampang kritis :

$$b_o = 2(bk + d) + 2(hk + d)$$

dimana :  $bk$  = lebar penampang kolom

$hk$  = tinggi penampang kolom

$d$  = tebal efektif poer

$$b_o = 2(1200 + 1412,75) + 2(1200 + 1412,75) = 10451 \text{ mm}$$

$$V_{c1} = 0,17 \left(1 + \frac{2}{\beta}\right) \lambda \sqrt{f'c} \times b_o \times d$$

$$= 0,17 \left(1 + \frac{2}{1}\right) 1 \cdot \sqrt{30} \times 10451 \times 1412,75$$

$$= 41243353,177 N$$

$$V_{c2} = 0,083 \times \left(\frac{\alpha_s d}{b_o}\right) \lambda \sqrt{f'c} \times b_o \times d$$

$$= 0,083 \times \left(\frac{40 \cdot 1412,75}{10451}\right) 1 \cdot \sqrt{30} \times 10451 \times 1412,75$$

$$= 36293541,04 N$$

$$V_{c3} = 0,333 \lambda \sqrt{f'c} \times b_o \times d$$

$$= 0,333 \cdot 1 \cdot \sqrt{30} \times 10451 \times 1412,75$$

$$= 26929483,545 N$$

Dari ketiga nilai  $V_c$  diatas diambil nilai terkecil, maka kapasitas penampang dalam memikul geser adalah  $26929483,545 \text{ N} = 2692948,3 \text{ Kg}$

$$\emptyset V_c = 0,6 \cdot 2692948,3 \text{ Kg} > P_u - P_{\text{mak}} \text{ kg}$$

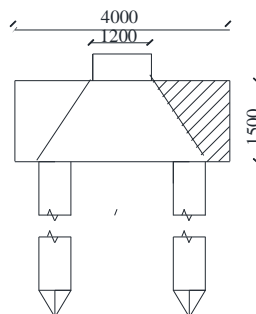
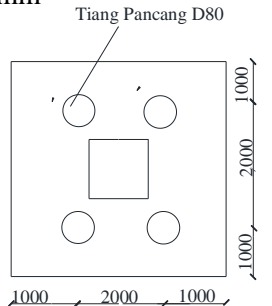
$$\begin{aligned}\emptyset V_c &= 16157689,8 \text{ kg} > 420177 - (173,512 \times 1000) \\ &= 16157689,8 \text{ kg} > 246665 \text{ kg } (\text{OK})\end{aligned}$$

Jadi ketebalan dan ukuran poer memenuhi syarat terhadap geser pons akibat kolom.

### Akibat Pancang

$\beta$  = rasio sisi terpanjang terhadap sisi terpendek  
(daerah beban terpusat) =  $600/600 = 1$

$$\begin{aligned}bo &= (0,25 \times \pi \times (600 + 1412,75)) + (2 \times 600) \\ &= 2780,81 \text{ mm}\end{aligned}$$



Gambar 4.58 Geser Ponds Akibat Tiang Pancang

$$\begin{aligned}
 V_{c1} &= 0,17 \left(1 + \frac{2}{\beta}\right) \lambda \sqrt{f'c} \times b_o \times d \\
 &= 0,17 \left(1 + \frac{2}{1}\right) 1 \cdot \sqrt{35} \times 2780,81 \times 1412,75 \\
 &= 11853342,43 N
 \end{aligned}$$

$$\begin{aligned}
 V_{c2} &= 0,083 \times \left(\frac{\alpha_s d}{b_o}\right) \lambda \sqrt{f'c} \times b_o \times d \\
 &= 0,083 \times \left(\frac{40 \cdot 1412,75}{2780,81}\right) 1 \cdot \sqrt{35} \times 2780,81 \times 1412,75 \\
 &= 39201504,76 N
 \end{aligned}$$

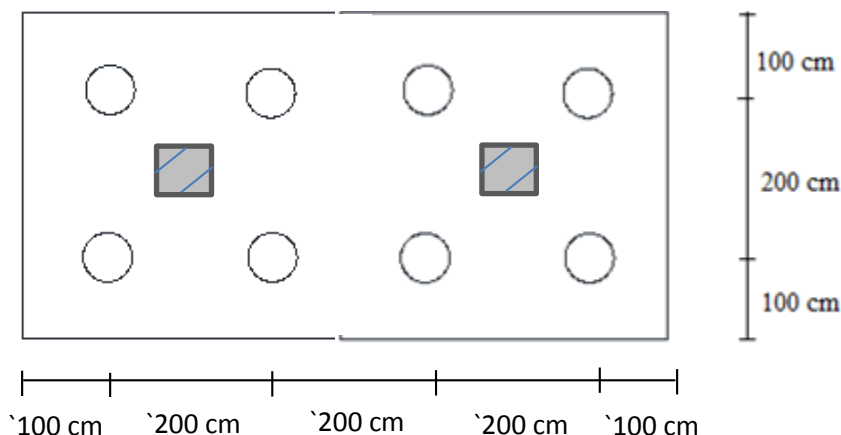
$$\begin{aligned}
 V_{c3} &= 0,333 \lambda \sqrt{f'c} \times b_o \times d \\
 &= 0,333 \cdot 1 \cdot \sqrt{35} \times 2780,81 \times 1412,75 \\
 &= 7739535,35 N
 \end{aligned}$$

Dari ketiga nilai  $V_c$  diatas diambil nilai terkecil, maka kapasitas penampang dalam memikul geser adalah 8406591 N = 7739,535 kN

$$\begin{aligned}
 \text{ØVc} &= 0,6 \cdot 773953,5 \text{ kg} > P_{\text{mak}} \\
 \text{ØVc} &= 464372,1 \text{ kg} > (173,512 \times 1000) \\
 &= 464372,1 \text{ kg} > 173512 \text{ kg (OK)}
 \end{aligned}$$

Jadi ketebalan dan ukuran poer memenuhi syarat terhadap geser pons akibat gaya dari pancang.

**Pondasi tipe 2  
Akibat Kolom**



Gambar 4.59 Tampak atas Kolom dan Poer

Untuk pondasi tapak non-prategang ( $V_c$ ) ditentukan berdasarkan nilai yang terkecil dari persamaan berikut:

$$V_{c1} = 0,17 \left(1 + \frac{2}{\beta}\right) \lambda \sqrt{f'c} \times b_o \times d$$

$$V_{c2} = 0,083 \times \left(\frac{\alpha_s d}{b_o}\right) \lambda \sqrt{f'c} \times b_o \times d$$

$$V_{c3} = 0,333 \lambda \sqrt{f'c} \times b_o \times d$$

dimana :

$\beta$  = rasio sisi terpanjang terhadap sisi terpendek (daerah beban terpusat) =  $1200/1200 = 1$

Tebal effektif balok poer :

$$\text{Arah } x (dx) = 1500 - 75 - (1/2 \cdot 25) = 1412,75 \text{ mm}$$

Keliling penampang kritis :

$$b_o = 2(bk + d) + 2(hk + d)$$

dimana :  $bk$  = lebar penampang kolom

$hk$  = tinggi penampang kolom

d = tebal efektif poer

$$b_o = 2(1200 + 1412,75) + 2(1200 + 1412,75) = 10451 \text{ mm}$$

$$\begin{aligned} V_{c1} &= 0,17 \left(1 + \frac{2}{\beta}\right) \lambda \sqrt{f'c} \times b_o \times d \\ &= 0,17 \left(1 + \frac{2}{1}\right) 1 \cdot \sqrt{30} \times 10451 \times 1412,75 \\ &= 41243353,177 \text{ N} \end{aligned}$$

$$\begin{aligned} V_{c2} &= 0,083 \times \left(\frac{\alpha_s d}{b_o}\right) \lambda \sqrt{f'c} \times b_o \times d \\ &= 0,083 \times \left(\frac{40.1412,75}{10451}\right) 1 \cdot \sqrt{30} \times 10451 \\ &\quad \times 1412,75 \\ &= 36293541,04 \text{ N} \end{aligned}$$

$$\begin{aligned} V_{c3} &= 0,333 \lambda \sqrt{f'c} \times b_o \times d \\ &= 0,333 \cdot 1 \cdot \sqrt{30} \times 10451 \times 1412,75 \\ &= 26929483,545 \text{ N} \end{aligned}$$

Dari ketiga nilai  $V_c$  diatas diambil nilai terkecil, maka kapasitas penampang dalam memikul geser adalah  $26929483,545 \text{ N} = 2692948,3 \text{ Kg}$

$$\begin{aligned} \bar{\sigma}_{Vc} &= 0,6 \cdot 2692948,3 \text{ Kg} > P_u - P_{mak} \text{ kg} \\ \bar{\sigma}_{Vc} &= 16157689,8 \text{ kg} > 420177 - (173,512 \times 1000) \\ &= 16157689,8 \text{ kg} > 246665 \text{ kg (OK)} \end{aligned}$$

Jadi ketebalan dan ukuran poer memenuhi syarat terhadap geser pons akibat kolom.

### Akibat Pancang

$\beta$  = rasio sisi terpanjang terhadap sisi terpendek (daerah beban terpusat) =  $600/600 = 1$

$$\begin{aligned} b_o &= (0,25 \times \pi \times (600 + 1412,75)) + (2 \times 600) \\ &= 2780,81 \text{ mm} \end{aligned}$$

$$\begin{aligned} V_{c1} &= 0,17 \left(1 + \frac{2}{\beta}\right) \lambda \sqrt{f'c} \times b_o \times d \\ &= 0,17 \left(1 + \frac{2}{1}\right) 1 \cdot \sqrt{35} \times 2780,81 \times 1412,75 \end{aligned}$$

$$= 11853342,43 \text{ N}$$

$$\begin{aligned} V_{c2} &= 0,083 \times \left( \frac{\alpha_s d}{b_o} \right) \lambda \sqrt{f' c} \times b_o \times d \\ &= 0,083 \times \left( \frac{40 \cdot 1412,75}{2780,81} \right) 1 \cdot \sqrt{35} \times 2780,81 \\ &\quad \times 1412,75 \end{aligned}$$

$$= 39201504,76 \text{ N}$$

$$\begin{aligned} V_{c3} &= 0,333 \lambda \sqrt{f' c} \times b_o \times d \\ &= 0,333 \cdot 1 \cdot \sqrt{35} \times 2780,81 \times 1412,75 \\ &= 7739535,35 \text{ N} \end{aligned}$$

Dari ketiga nilai  $V_c$  diatas diambil nilai terkecil, maka kapasitas penampang dalam memikul geser adalah 8406591 N = 7739,535 kN

$$\emptyset V_c = 0,6 \cdot 773953,5 \text{ kg} > P_{\max}$$

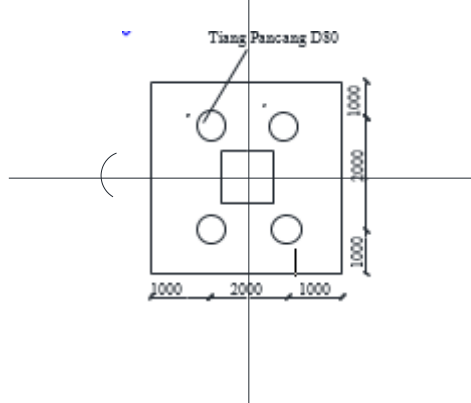
$$\begin{aligned} \emptyset V_c &= 464372,1 \text{ kg} > (173,512 \times 1000) \\ &= 464372,1 \text{ kg} > 173512 \text{ kg (OK)} \end{aligned}$$

Jadi ketebalan dan ukuran poer memenuhi syarat terhadap geser pons akibat gaya dari pancang.

### **Penulangan Poer**

Untuk penulangan lentur, *poer* dianalisa sebagai balok kantilever dengan perletakan jepit pada kolom. Sedangkan beban yang bekerja adalah beban terpusat di tiang kolom yang dihasilkan dari tiang pancang menyebabkan reaksi pada tanah dan berat sendiri poer. Perhitungan gaya dalam pada poer didapat dengan teori mekanika statis tertentu

### **Penulangan Arah x**



Gambar 4.60 Pemodelan Perhitungan Penulangan Arah X

$$\begin{aligned}
 P_{\max} &= 173,512 \text{ ton} \\
 P &= 2 \times 173,512 = 347,042 \text{ ton} \\
 Q &= 4 \times 2,4 \times 1,5 = 14,4 \text{ ton/m} \\
 qu &= 14,4 \text{ ton/m} \times 1,2 = 17,28 \text{ ton/m} \\
 Mu &= P a - \frac{1}{2} qux \cdot L^2 \\
 &= (347,042 \times 1) - (\frac{1}{2} \times 17,28 \times (1)^2) \\
 &= 338,402 \text{ tonm} \\
 &= 338402000 \text{ Nmm} \\
 dx &= 1500 - 70 - \frac{1}{2} \cdot 24 = 1418 \text{ mm} \\
 dy &= 1500 - 70 - 25 - \frac{1}{2} \cdot 24 = 1393,5 \text{ mm} \\
 Mn &= \frac{Mu}{\emptyset} = \frac{338402000}{0,8} = 423002500 \text{ Nmm} \\
 m &= \frac{fy}{0,85 \cdot f'c} = \frac{400}{0,85 \cdot 30} = 13,45 \\
 \rho_{\min} &= \frac{1,4}{fy} = \frac{1,4}{410} = 0,0034 \\
 \rho_{\text{bal}} &= \frac{0,85 \cdot f'c \cdot \beta \left( \frac{600}{600+fy} \right)}{fy} \\
 &= \frac{0,85 \cdot 30 \cdot 0,85 \left( \frac{600}{600+410} \right)}{410} = 0,0314 \\
 \rho_{\max} &= 0,75 \rho b = 0,75 \times 0,0314 = 0,02355 \\
 Rn &= \frac{Mn}{bd^2} = \frac{423003500}{4000 \times 1418^2} = 0,052 \\
 \rho_{\text{perlu}} &= \frac{1}{m} \left( 1 - \sqrt{1 - \frac{2m \cdot Rn}{fy}} \right) \\
 &= \frac{1}{13,45} \left( 1 - \sqrt{1 - \frac{2 \times 13,45 \times 0,052}{400}} \right) \\
 &= 0,001301 < \rho_{\min} \\
 \rho_{\text{alt}} &= 4/3 \times \rho_{\text{perlu}} \\
 &= 4/3 \times 0,001301 = 0,0017348 < \rho_{\min} \\
 \rho_{\text{alt}} < \rho_{\min} &\rightarrow \rho = \rho_{\min} = 0,0034
 \end{aligned}$$

Tulangan tarik yang dibutuhkan :

$$\text{As} = \rho \times b \times d_x \\ = 0,0034 \times 1000 \times 1418 = 4822 \text{ mm}^2$$

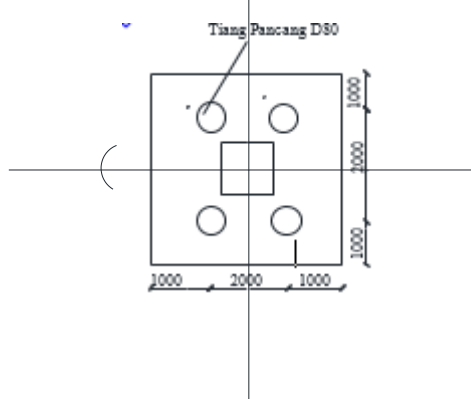
Digunakan Tulangan D24 (As = 452,39 mm<sup>2</sup>)

$$\text{Jumlah tulangan Perlu} = \frac{4822}{452,39} = 10,66 \text{ buah}$$

$$\text{Jarak tulangan terpasang} = \frac{1000}{10,66} = 93,80 \approx 100$$

Digunakan tulangan lentur atas D24–100 mm

### Penulangan Arah Y



Gambar 4.61 Pemodelan Perhitungan Penulangan arah Y

$$P_{\max} = 173,512 \text{ ton}$$

$$P = 2 \times 173,512 = 347,042 \text{ ton}$$

$$Q = 4 \times 2,4 \times 1,5 = 14,4 \text{ ton/m}$$

$$qu = 14,4 \text{ ton/m} \times 1,2 = 17,28 \text{ ton/m}$$

$$Mu = P a - \frac{1}{2} qux \cdot L^2$$

$$= (347,042 \times 1) - (\frac{1}{2} \times 17,28 \times (1)^2)$$

$$= 338,402 \text{ tonm}$$

$$= 338402000 \text{ Nmm}$$

$$dx = 1500 - 70 - \frac{1}{2} \cdot 24 = 1418 \text{ mm}$$

$$dy = 1500 - 70 - 25 - \frac{1}{2} \cdot 24 = 1393,5 \text{ mm}$$

$$\text{Mn} = \frac{Mu}{\emptyset} = \frac{338402000}{0,8} = 423002500 \text{ Nmm}$$

$$m = \frac{fy}{0,85 \cdot f'c} = \frac{400}{0,85 \cdot 30} = 13,45$$

$$\rho_{\min} = \frac{1,4}{fy} = \frac{1,4}{410} = 0,0034$$

$$\rho_{\text{bal}} = \frac{0,85 \cdot f'c \cdot \beta \left( \frac{600}{600+fy} \right)}{fy}$$

$$= \frac{0,85 \cdot 30 \cdot 0,85 \left( \frac{600}{600+410} \right)}{410} = 0,0314$$

$$\rho_{\max} = 0,75 \rho b = 0,75 \times 0,0314 = 0,02355$$

$$Rn = \frac{Mn}{bd^2} = \frac{423003500}{4000 \times 1418^2} = 0,052$$

$$\rho_{\text{perlu}} = \frac{1}{m} \left( 1 - \sqrt{1 - \frac{2m \cdot Rn}{fy}} \right)$$

$$= \frac{1}{13,45} \left( 1 - \sqrt{1 - \frac{2 \times 13,45 \times 0,052}{400}} \right)$$

$$= 0,001301 < \rho_{\min}$$

$$\rho_{\text{alt}} = 4/3 \times \rho_{\text{perlu}}$$

$$= 4/3 \times 0,001301 = 0,0017348 < \rho_{\min}$$

$$\rho_{\text{alt}} < \rho_{\min} \rightarrow \rho = \rho_{\min} = 0,0034$$

Tulangan tarik yang dibutuhkan :

$$\text{As} = \rho \times b \times d_x$$

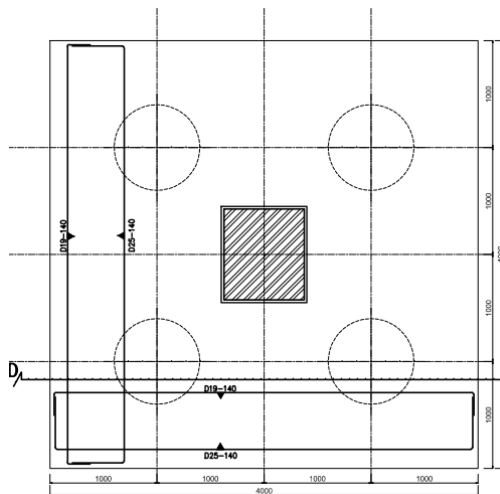
$$= 0,0034 \times 1000 \times 1393,5 = 4737,9 \text{ mm}^2$$

Digunakan Tulangan D24 (As = 452,39 mm<sup>2</sup>)

$$\text{Jumlah tulangan Perlu} = \frac{4737,9}{452,39} = 10,47 \text{ buah}$$

$$\text{Jarak tulangan terpasang} = \frac{1000}{10,47} = 95,48 \approx 100$$

Digunakan tulangan arah Y D24–100 mm



Gambar 4.62 Pemodelan Penulangan Poer

#### 4.4.6 Perencanaan Kolom Pedestal

Besarnya gaya – gaya dalam kolom diperoleh dari hasil analisis SAP 2000 pada pada kolom lantai Ground, adalah :

$$Mu = 30944 \text{ kg.m} = 125,8871 \text{ kN}$$

$$Pu = 420177 \text{ kg} = 4201770 \text{ N}$$

$$Vu = 11059,015 \text{ kg} = 110590,15 \text{ N}$$

Data perencanaan kolom :

$$b = 1200 \text{ mm}$$

$$h = 1200 \text{ mm}$$

$$Ag = 1440000 \text{ mm}^2$$

Mutu bahan :

$$f'c = 30 \text{ Mpa}$$

$$fy = 400 \text{ Mpa}$$

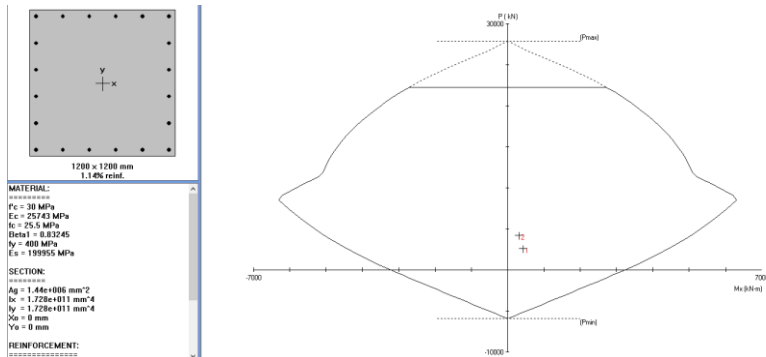
$$\text{Selimut beton} = 50 \text{ mm}$$

$$\text{Tulangan sengkang} = \emptyset 10 \text{ mm}$$

$$\text{Tulangan utama} = \emptyset 25 \text{ mm}$$

$$\text{Tinggi efektif} = 1200 - (50 + 10 + \frac{1}{2} \cdot 10) = 1135 \text{ mm}$$

Penulangan Lentur pada Kolom  
Dari PCACOL didapat nilai  $\rho = 1,14\%$



Gambar 4.63 Hasil Analisis Kolom Pedestal dengan Program PCA Col.

$$As = 0,0114 \cdot 1200 \cdot 1135 = 15526,8 \text{ mm}^2$$

Dipasang tulangan 24D25, As = 15526,96 mm<sup>2</sup> dipasang merata 4 sisi.

### Penulangan Geser Kolom

$$Vu = 11059,015 \text{ kg} = 110590,15 \text{ N}$$

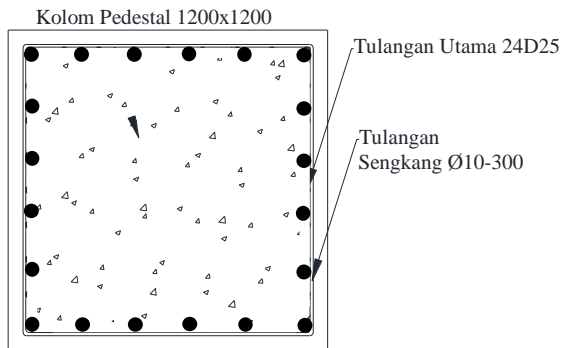
Kekuatan geser yang disumbangkan oleh beton :

$$\begin{aligned} Vc &= 2 \left( 1 + \frac{Nu}{14 \cdot Ag} \right) \frac{1}{6} \sqrt{f'c} \times b \times d \\ &= 2 \left( 1 + \frac{420177}{14 \times 1440000} \right) \frac{1}{6} \sqrt{30} \times 1200 \times 1135 \\ &= 2538487,668 \text{ N} \end{aligned}$$

$$\emptyset Vc = 0,6Vc = 0,6 \times 2538487,668 = 1523092,6 \text{ N}$$

Karena Vu=110590,1 N <  $\emptyset Vc \rightarrow$  tidak perlu tulangan geser

Jadi dipasang tulangan geser praktis Ø10 – 300, sengkang dua kaki



Gambar 4.64 Penulangan Kolom Pedestal

## **BAB V**

### **KESIMPULAN DAN SARAN**

#### **5.1 Kesimpulan**

Dari hasil perhitungan dan analisis yang telah dilakukan, maka dapat diperoleh kesimpulan sebagai berikut:

1. Hasil perhitungan struktur sekunder:
  - a. Pelat lantai atap menggunakan bondek dari SUPER FLOOR DECK tebal 0,75 mm dengan pelat beton tebal 110 mm dan dipasang tulangan negatif Ø 10 – 250.
  - b. Pelat lantai gedung perkuliahan menggunakan bondek dari SUPER FLOOR DECK tebal 0,75 mm dengan pelat beton tebal 110 mm dan dipasang tulangan negatif Ø 10 – 180.
  - c. Dimensi balok anak pada atap menggunakan profil WF 350 x 175 x 6 x 9 dengan mutu baja BJ-41.
  - d. Dimensi balok anak pada lantai perkantoran menggunakan profil WF 400 x 200 x 8 x 13 dengan mutu baja BJ-41.
  - e. Dimensi balok penggantung lift menggunakan profil WF 300 x 150 x 6,5 x 9 dengan mutu baja BJ-41.
  - f. Pelat tangga menggunakan SUPER FLOOR DECK dengan pelat beton tebal 9 cm tanpa tulangan negative dengan lebar injakan tangga 28 cm dan tinggi injakan 17 cm
  - g. Pelat bordes menggunakan SUPER FLOOR DECK dengan pelat beton tebal 9 cm dengan tulangan negative yang digunakan Ø 10 – 250.
  - h. Dimensi balok utama tangga menggunakan profil WF 250 x 125 x 5 x 8 dan dimensi balok penumpu tangga WF 250 x 125 x 5 x 8 dengan mutu baja BJ-41.
2. Hasil perhitungan struktur primer:
  - a. Bresing arah X dan Y menggunakan profil WF 300 x 200 x 9 x 14

- b. Dimensi Balok Induk arah X dan Y menggunakan profil WF 600 x 200 x 13 x 23 dengan mutu baja BJ-41.
  - c. Dimensi kolom lantai menggunakan Concrete Filled Tube ( CFT ) 600 x 600 x 15 x 15 dengan BJ-411 dan isian beton dengan mutu 25 MPa
  - d. Perencanaan base plate menggunakan fixed plate dari katalog Continental Steel.
3. Hasil perhitungan struktur bawah:
- a. Struktur pondasi menggunakan pondasi bore pile  $\varnothing$  80 cm dengan kedalaman 4 m yang dimulai dari elevasi -3,5m
  - b. Struktur Basement pada dinding menggunakan pelat beton tebal 15 cm dengan penulangan  $\varnothing$ 10-170 per meter panjang, dan pada pelat lantai basement menggunakan pelat beton tebal 27 cm sesuai peraturan SNI 2847-2013 dengan penulangan tumpuan pada jalur kolom  $\varnothing$ 16-100 dan pada daerah lapangan  $\varnothing$ 16-180, sedangkan pada penulangan jalur tengah daerah tumpuan menggunakan  $\varnothing$ 12-100 dan pada daerah lapangan  $\varnothing$ 12-180
  - c. Dimensi poer Tipe 1 direncanakan 4 m x 4 m x 1m, dengan tulangan lentur arah X D24–100 mm dan tulangan lentur arah Y D24–100 mm dan Tipe 2 direncanakan 8 m x 4 m x 1 m, dengan tulangan lentur arah X D24-100 dan tulangan Lentur arah Y D24-100
  - d. Dimensi kolom pedestal direncanakan 1200 mm x 1200 mm, dengan tulangan utama 24D25 dan tulangan geser  $\varnothing$ 10 – 300.
  - e. Dimensi sloof direncanakan 400 mm x 600 mm, dengan tulangan lentur 5D22 dan tulangan geser  $\varnothing$ 10 – 300.

## 5.2 Saran

Diharapkan dilakukan studi yang mempelajari tentang perencanaan struktur *concentrically braced frames* (CBF) lebih dalam dengan mempertimbangkan aspek teknis, ekonomis, dan

estetika. Sehingga perencanaan dapat dimodelkan semirip mungkin dengan kondisi sesungguhnya di lapangan.

Halaman ini sengaja dikosongkan

## **DAFTAR PUSTAKA**

- Badan Standardisasi Nasional . 2015 . SNI 1729-2015 :  
Spesifikasi untuk Bangunan Gedung Baja Struktural .  
Jakarta . Badan Standardisasi Nasional
- Badan Standardisasi Nasional . 2012 . SNI 1726-2012 :  
Tata Cara Perencanaan Ketahanan Gempa untuk  
Bangunan Gedung . Jakarta . Badan Standardisasi  
Nasional
- Dewabroto, Wiryanto. 2005. *Evaluasi Kinerja Bangunan  
Tahan Gempa Dengan SAP 2000*. [http://jurnalsipil  
uph.files.wordpress.com/2006/12/vol1312.pdf](http://jurnalsipil.uph.files.wordpress.com/2006/12/vol1312.pdf)
- Badan Standardisasi Nasional . 2015 . SNI 2847-2013 :  
Persyaratan beton structural untuk bangunan gedung.  
Jakarta . Badan Standardisasi Nasional
- Direktorat Penyelidikan Masalah Bangunan . 1983 ,  
Peraturan Pembebaan Indonesia Untuk Gedung  
1983 , Bandung , Yayasan Lembaga Penyelidikan  
Masalah Bangunan
- G. Salmon, Charles & E. Johnson, Jhon . 1991 . Struktur  
Baja desain dan Perilaku Jilid 2 Edisi Kedua . Jakarta  
. Erlangga
- Leon,Roberto & Griffis,Larry . 2013 . Composite Column  
Design . Saudi Arabia . King Fahd University
- Wahyudi, Herman .1999 . Daya Dukung Pondasi Dangkal.  
Surabaya : Jurusan Teknik Sipil FTSP-ITS

Standard Nasional Indonesia. 2012. *Standar Perencanaan Ketahanan Gempa Untuk Struktur Bangunan Gedung* SNI 03-1726-2012. Badan Standarisasi Nasional, 2012.

Standard Nasional Indonesia. 2002. *Tata Cara Perencanaan Struktur Baja Untuk Struktur Bangunan Gedung* SNI 03-1729-2002. Badan Standarisasi Nasional.

Standard Nasional Indonesia. 2013. *Tata Cara Perhitungan Struktur Beton Untuk Bangunan Gedung* SNI 03-2847-2013. Badan Standarisasi Nasional.

Widiarsa, Ida Bagus Rai, & Putu Deskarta . 2007 . Kuat Geser Baja Komposit Dengan Variasi Tinggi Penghubung Geser Tipe-T ditinjau Dari Uji Geser Murni. Jurnal Ilmiah Teknik Sipil Vol. 11, No 1



## LABORATORIUM MEKANIKA TANAH &amp; BATUAN

JURUSAN TEKNIK SIPIL

## FAKULTAS TEKNIK SIPIL &amp; PERENCANAAN

Kampus ITS, Keputih Sukolilo Surabaya

Telp. 031 5994251 - 55 Psw. 1140,

Telp/Fax: 031 5928601, e-mail : tanah.its@gmail.com

## DRILLING LOG

NAMA PROYEK		= PEMBANGUNAN GEDUNG		BORE TYPE		: Rotary drilling machine		Remarks.										
KLIEN		= PT. INDEKS REKATAMA		MULAI		: 20 Desember 2014		UD = Undisturb Sample										
TITIK BOR		= BH-1		SELESAI		: 22 Desember 2014		CS = Core Sample										
LOKASI		= DS. SUKOHARJO		MASTER BOR		: OSIAS		SPT = SPT Test										
ORO-ORO OMBO, BATU - MALANG																		
Scale in m	Elevation (LWS) in m	Depth in m	Thickness in m	Legend	Type of Soil	Colour	Relative Density or Consistency	General Remarks	UD / CS		SPT TEST		Standard Penetration Test					
									Depth in m	Sample Code	Depth in m	Sample Code	N-Value Blows/30 cm	Blows per each 15 cm	15 cm	15 cm	15 cm	N - Value
0.00	0.00																	
1.00	-1.00																	
2.00	-2.00																	
3.00	-3.00																	
4.00	-4.00																	
5.00	-5.00																	
6.00	-6.00																	
7.00	-7.00																	
8.00	-8.00																	
9.00	-9.00																	
10.00	-10.00																	
START OF BORING										END OF BORING								



## LABORATORIUM MEKANIKA TANAH &amp; BATUAN

JURUSAN TEKNIK SIPIL

FAKULTAS TEKNIK SIPIL &amp; PERENCANAAN

Kampus ITS, Keputih Sukolilo Surabaya

Telp. 031 5994251 - 55 Psw. 1140,

Telp/Fax: 031 5928601, e-mail : tanah.its@gmail.com

## DRILLING LOG

Project Information							Bore Type	Rotary drilling machine			Remarks				
							Mulai	20 Desember 2014			UD = Undisturb Sample				
							Selesai	22 Desember 2014			CS = Core Sample				
Location							Master Bore	OSIAS			SPT = SPT Test				
Scale in m	Elevation (LWS) in m	Depth in m	Thickness in m	Legend	Type of Soil	Colour	Relative Density or Consistency	General Remarks	UD / CS	SPT TEST	Standard Penetration Test				
									Depth in m	Sample Code	Depth in m	Sample Code			
									N-Value Blows/30 cm	Blows per each 15 cm					
									15 cm	15 cm	15 cm	15 cm			
										N - Value					
										0	10	20	30	40	50
0.00	0.00														
1.00	-1.00														
2.00	-2.00														
3.00	-3.00														
4.00	-4.00														
5.00	-5.00														
6.00	-6.00														
7.00	-7.00														
8.00	-8.00														
9.00	-9.00														
10.00	-10.00														

**START OF BORING**

Depth in m	Sample Code	Depth in m	Sample Code	N-Value Blows/30 cm	Blows per each 15 cm	N - Value
-5.00		-3.00	SPT 1	30	3	30
-5.50	UD 01	-3.50			8	8
-6.00		-6.00	SPT 2	>50	25	>50
-6.50		-6.50			3/15	3/15
-8.50		-9.00	SPT 3	>50	15/5	>50
-9.00	UD 02	-9.50				

**END OF BORING**

The graph plots N-value (Blows per 30 cm) against depth in meters. The x-axis ranges from 0 to 50, and the y-axis ranges from 0.00 to 10.00 m. A blue line connects data points. At 3.00 m depth, an N-value of 30 is recorded. Between 5.50 m and 6.50 m depth, the N-value increases sharply to over 50, indicating a transition through a hard layer (BATU).



# LABORATORIUM MEKANIKA TANAH & BATUAN

JURUSAN TEKNIK SIPIL

# **FAKULTAS TEKNIK SIPIL & PERENCANAAN**

Kampus ITS, Keputih Sukolilo Surabaya

Telp. 031 5994251 - 55 Psw. 1140,

Telp/Fax: 031 5928601, e-mail : tanah.its@gmail.com

## DRILLING LOG



# LABORATORIUM MEKANIKA TANAH & BATUAN

# JURUSAN TEKNIK SIPIL

## FAKULTAS TEKNIK SIPIL & PERENCANAAN

Kampus ITS, Keputih Sukolilo Surabaya

Telp. 031 5994251 - 55 Psw. 1140,

Telp/Fax: 031 5928601, e-mail : tanah.its@gmail.com

REKAP HASIL TEST LAB

**CLIENT** : PT. INDEKS REKATAMA      **MASTER BOR** : SENTOT CS  
**PROJECT** : PEMBANGUNAN GEDUNG      **DATE** :  
**LOCATION** : DS. SUKOHARJO, ORO-ORO OMBO, BATU MALANG

**POINT : BH-1**

DEPTH (Meter)	VOLUMETRIC + GRAVIMETRY							SIEVE ANALYSIS			ATTERBERG LIMITS			STRENGTH			
	Gs	e	Sr	Wc	n	$\gamma_t$	$\gamma_d$	$\gamma_{sat}$	G	S	S+CI	LL	PL	IP	$\phi$	C	Cu
-3.00	2.637	0.876	75.640	25.13	46.70	1.759	1.406	1.873							38.00	0	*
-6.00	2.669	0.683	80.960	20.72	40.58	1.914	1.586	1.992							40.00	0	*

<b>REMARK</b>	G = Gravel (%)	LL = Liquid Limit (%)	$\phi$ = Angle of internal friction (degree)	Pp = Preconsolidation Pressure ( $\text{kg}/\text{cm}^2$ )
	S = Sand (%)	PL = Plastic Limit (%)	C = Cohesion ( $\text{kg}/\text{cm}^2$ )	Cc = Compression Index
	S + Cl = Silt + Clay (%)	IP = Plastic Index (%)	Cu = Cohesion Undrained ( $\text{kg}/\text{cm}^2$ )	Cv = Compression of Consolidation ( $\text{cm}^2/\text{kg}$ )
			*	= Not test
	Gs = Specific Gravity	$W_c$ = Water content (%)	$\gamma_{\text{sat}}$ = Saturated density (gr/cc)	
	e = Void ratio	n = Porosity (%)	$\gamma_d$ = Dry density (gr/cc)	
	Sr = Degree of saturation (%)	$\gamma_t$ = Wet density (gr/cc)		



# LABORATORIUM MEKANIKA TANAH & BATUAN

JURUSAN TEKNIK SIPIL

FAKULTAS TEKNIK SIPIL DAN PERENCANAAN - ITS

Kampus ITS, Keputih Sukolilo Surabaya 60111,

Telp. 031 5994251 – 55, Psw. 1140,

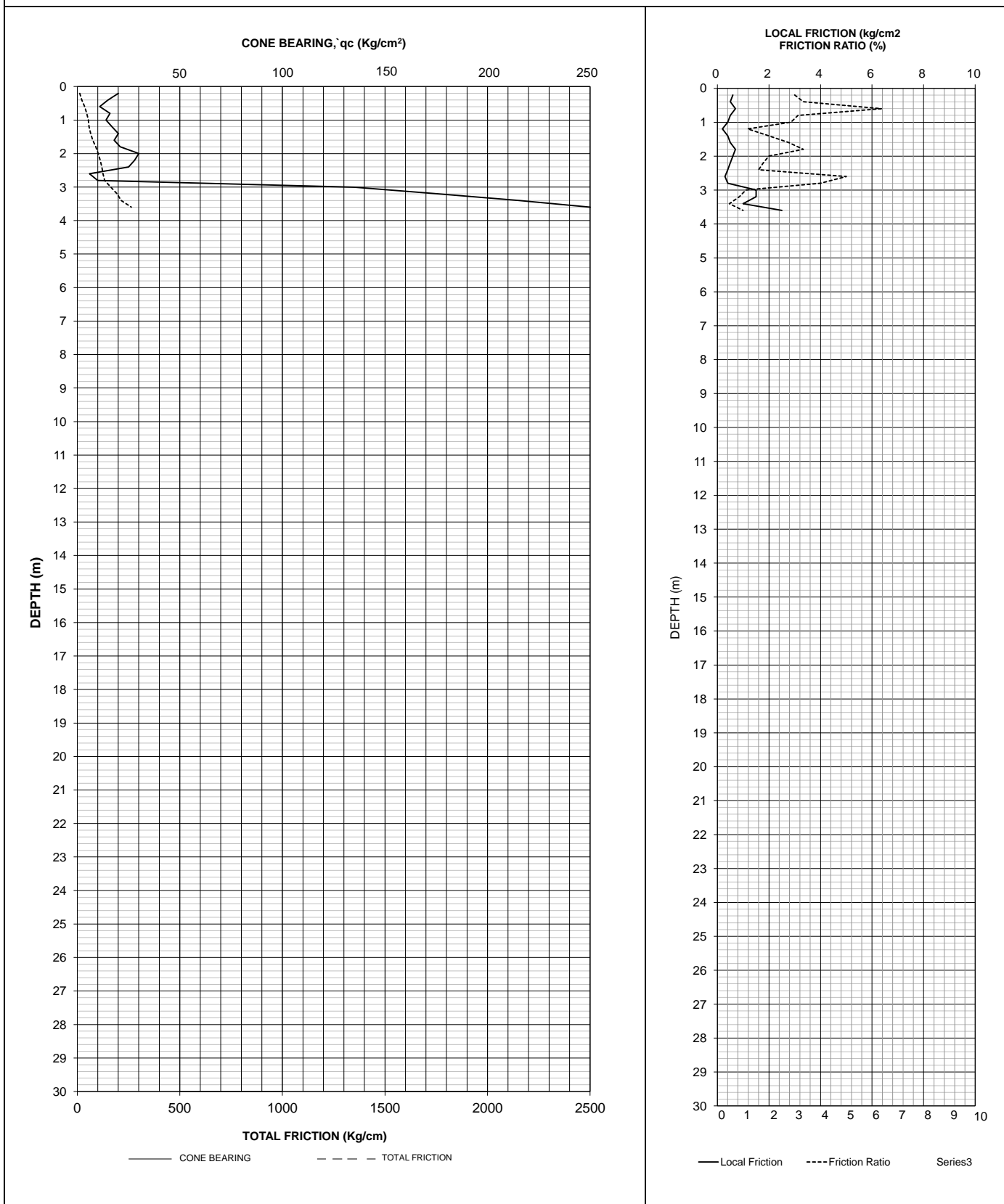
Telp./Fax: 031 592 8601, email : tanah.its@gmail.com

## Cone Penetrometer Test (CPT)

KLIEN : PT. INDEKS REKATAMA  
PROYEK : GEDUNG

TITIK : S-1  
LOKASI : DS. SUKOHARJO BATU, MALANG

Master Sondir : OSIAS  
Tanggal : 20 Desember 2014



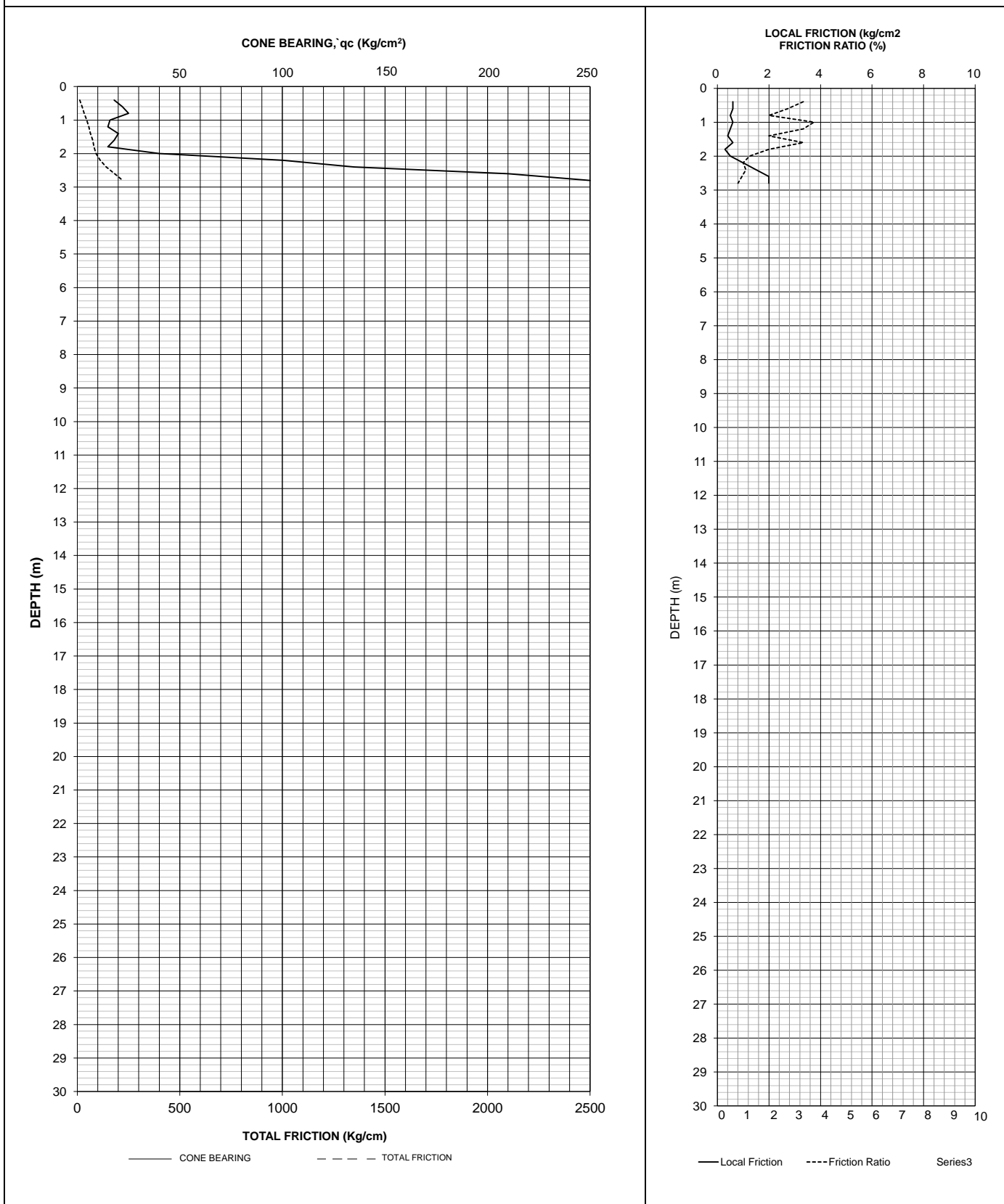


## Cone Penetrometer Test (CPT)

KLIEN : PT. INDEKS REKATAMA  
PROYEK : GEDUNG

TITIK : S-2  
LOKASI : DS. SUKOHARJO BATU, MALANG

Master Sondir : OSIAS  
Tanggal : 20 Desember 2014



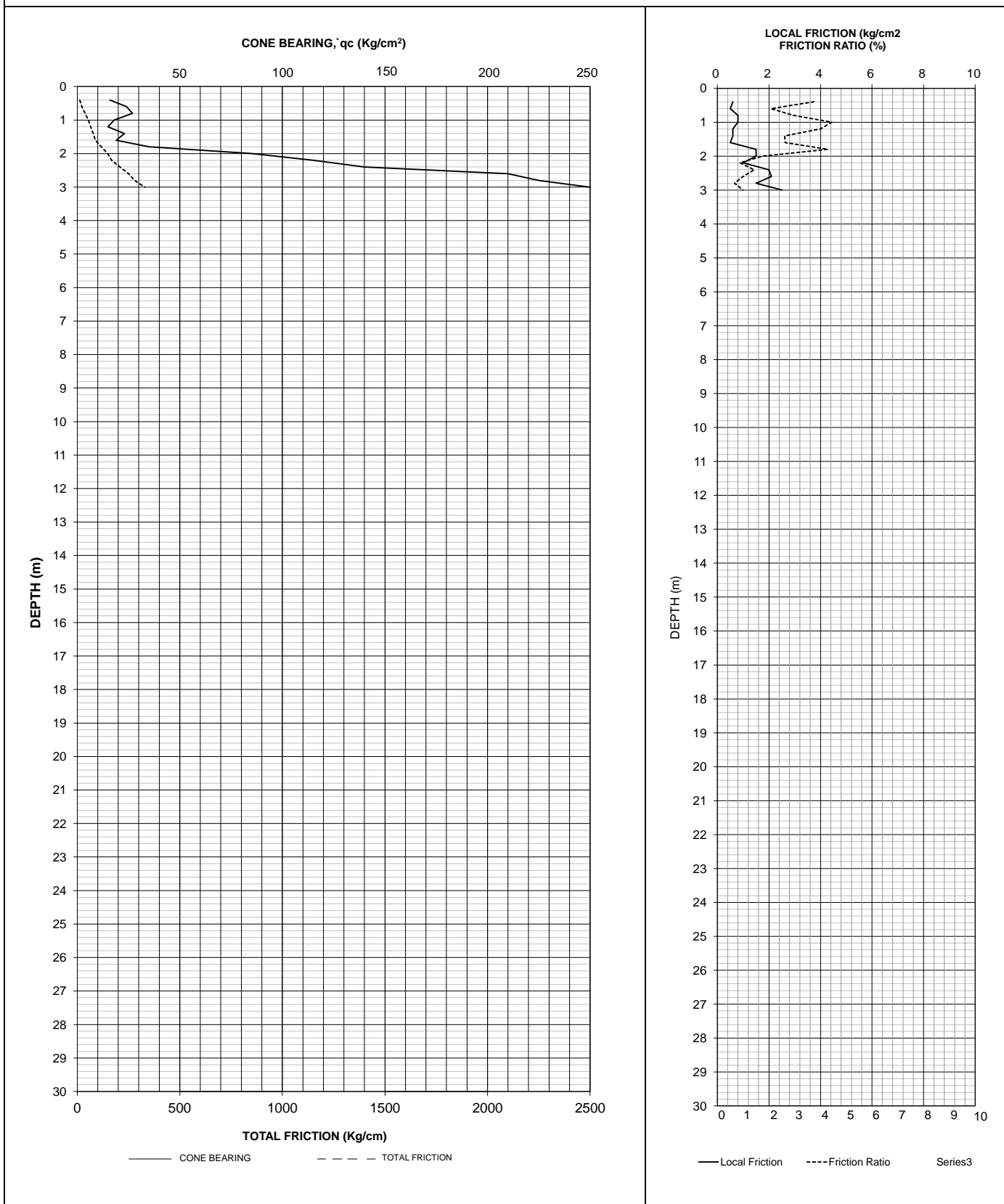


## Cone Penetrometer Test (CPT)

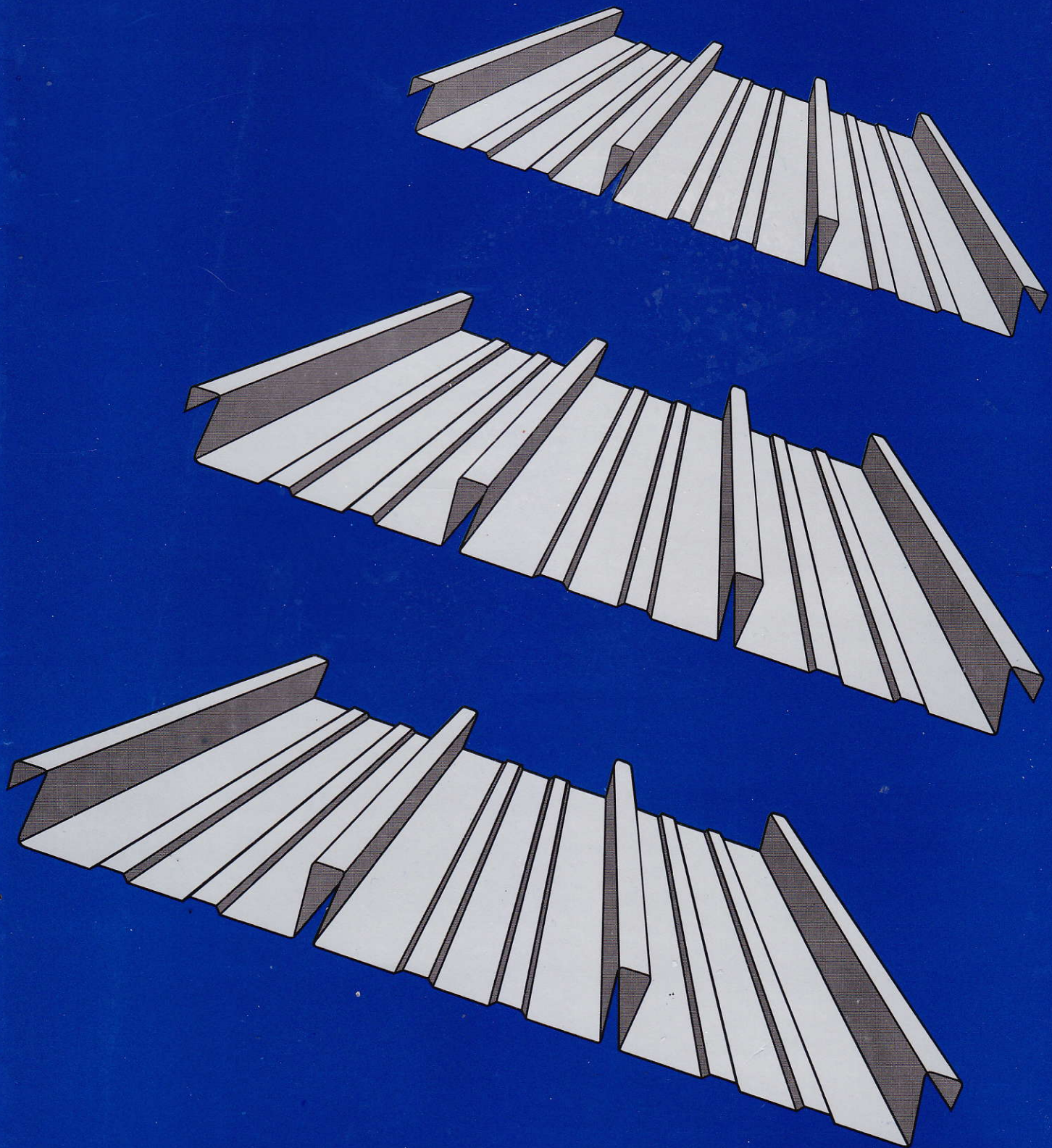
KLIEN : PT. INDEKS REKATAMA  
PROYEK : GEDUNG

TITIK : S-3  
LOKASI : DS. SUKOHARJO BATU, MALANG

Master Sondir : OSIAS  
Tanggal : 20 Desember 2014



# *Super Floor Deck*®



**Super Floor Deck®** adalah bahan lembaran panel berbentuk plat gelombang yang terbuat dari baja struktural bermutu tinggi dengan High-tensile steel JIS 3302 (570 N/mm<sup>2</sup>), dan berfungsi sebagai bekisting tetap dan penulangan positif satu arah pada lantai beton bangunan bertingkat.

Tebal bahan yang tersedia adalah 0.75 mm dan 1.00 mm dengan lapisan seng minimum 220 gr/m<sup>2</sup>.

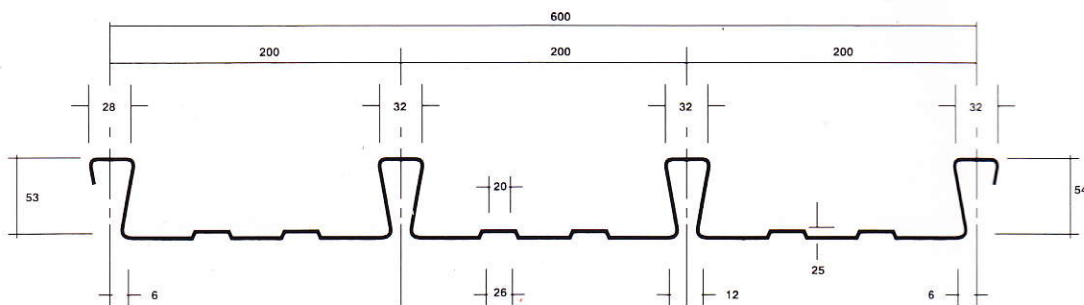
**Super Floor Deck®** dapat dipesan sesuai panjang yang dibutuhkan. Untuk memudahkan dalam pemasangan dan pengangkutan, dianjurkan panjang maximum 12 meter.

#### KEUNGGULAN-KEUNGGULAN **Super Floor Deck®**

- pemasangan yang cepat dan mudah.
- Sebagai pengganti tulangan positif searah.
- Ketahanannya terhadap kebakaran lebih baik.
- Dapat difinishing dengan cat sebagai plafond.
- Baja berkekuatan tinggi yang memberikan platform kerja yang lebih aman.

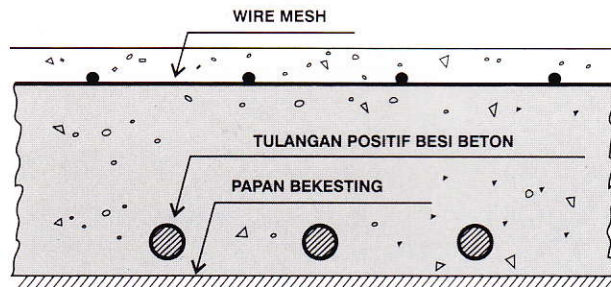
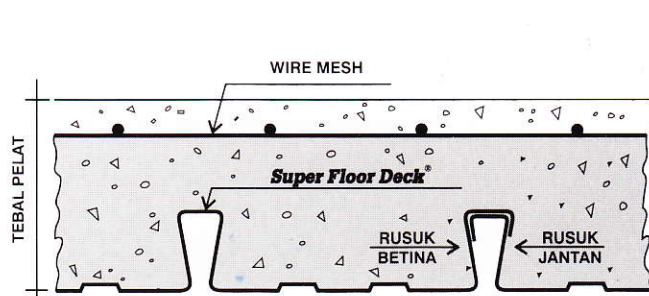
#### SPESIFIKASI

Bentuk gelombang dan ukuran **Super Floor Deck®**



Berat per satuan luas : 10,10 Kg/M<sup>2</sup> untuk ketebalan 0,75 mm

Berat per satuan panjang : 6,06 Kg/M<sup>2</sup>

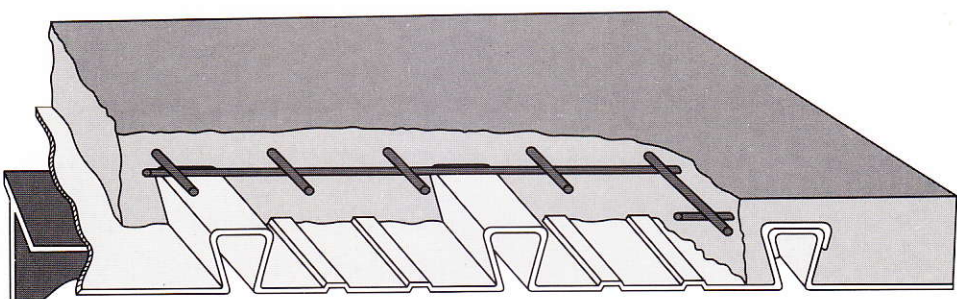


## SUPER KOMPOSIT PELAT BETON

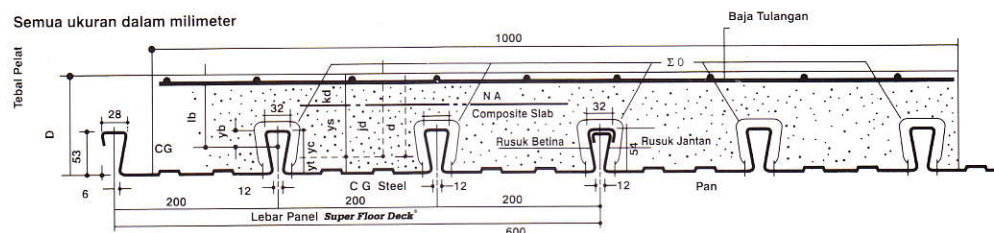
## KONVENTIONAL PELAT BETON

PERBANDINGAN	Jenis Bekisting	Bentang m	Beban kg/m <sup>2</sup>	Tebal cm	Tulangan Positif
KONVENTIONAL PELAT BETON	Kayu	4.5	400	14	O 12 mm
SUPER KOMPOSIT PELAT BETON	<b>Super Floor Deck®</b>	4.5	400	11	Tidak Perlu

# Super Floor Deck®



## PERENCANAAN: Plat Lantai Komposit



**Tabel Perencanaan Praktis**

Tabel Perencanaan Praktis berikut ini bisa membantu dalam perencanaan penggunaan **Super Floor Deck®** untuk suatu bangunan antara lain:

- Menunjukkan tabel plat beton untuk bentang tunggal, bentang ganda, dan bentang menerus.
- Kebutuhan tulangan negatif, serta perhitungan luas penampangnya, pada bentang ganda atau bentang menerus.
- Ketebalan plat beton pada bentang tertentu, serta berbagai beban (Super Imposed Load)
- Tiang penyangga sementara yang dibutuhkan untuk meniadakan lendutan awal pada waktu beton dan **Super Floor Deck®** belum berfungsi.

**TABEL 1 : SIFAT PENAMPANG *Super Floor Deck®* PERLEBAR 1000 MM**

Tebal Pelat mm	Berat per satuan luas kg / m <sup>2</sup>	Luas penampang mm <sup>2</sup>	Penampang efektif penuh Yc mm	Yt mm	Momen lentur positif			Momen lentur negatif			le	Gaya reaksi aman untuk perlakatan tepi			Gaya reaksi aman untuk perlakatan tengah		
					I <sub>p</sub> $10^6 \times mm^4$	Z <sub>pc</sub> $10^3 \times mm^3$	Z <sub>pt</sub> $10^3 \times mm^3$	I <sub>n</sub> $10^6 \times mm^4$	Z <sub>nc</sub> $10^3 \times mm^3$	Z <sub>nt</sub> $10^6 \times mm^4$		10 mm perlakatan 10 mm Of Bearing KN	Pertambahan per 10 mm Increm, Per 10 mm KN	max	10 mm perlakatan 10 mm Of Bearing KN	Pertambahan per 10 mm Increm, Per 10 mm KN	Max KN
					0.75	10.1	1241	38.6	15.4	0.511	13.15	33.14	0.309	10.21	10.73	0.425	3.76

Catatan : I<sub>p</sub> = momen inersia profil panel untuk daerah momen positif

Notes

In = idem untuk daerah momen negatif

Z<sub>nt</sub> = momen tahanan, puncak rusuk dalam daerah momen negatif (tegangan tarik)

Z<sub>nc</sub> = idem, dasar dek dalam daerah momen negatif (tegangan tekan)

Ie = momen inersia ekivalen untuk perhitungan lendutan bentang menerus

Z<sub>pc</sub> = idem, puncak rusuk, dalam daerah momen positif (tegangan tekan)

Z<sub>pt</sub> = idem, dasar dek, dalam daerah momen positif (tegangan tarik)

**TABEL 2 : TABEL PERENCANAAN PRAKТИS**

Super Floor Deck® 0.75 MM	BENTANG TUNGGAL TANPA TULANGAN NEGATIF SAMPLE SPAN CONDITION WITHOUT NEGATIVE REINFORCEMENT						BENTANG GANDA DENGAN TULANGAN NEGATIF DOUBLE SPAN CONDITIONS WITH NEGATIVE REINFORCEMENT						BENTANG MENERUS DENGAN TULANGAN NEGATIF MULTIPLE SPAN CONDITIONS WITH NEGATIVE REINFORCEMENT																							
	BERBAN BERGUNA SUPER IMPOSED LOAD KG/M <sup>2</sup>	200	300	400	500	600	750	1000	200	300	400	500	600	750	1000	200	300	400	500	600	700	1000														
	TIANG PENYANGGA PROPPOS	BENTANG SPAN M	TEBAL PELAT SLAB DEPTH CM	TEBAL PELAT SLAB DEPTH CM	TEBAL PELAT SLAB DEPTH CM	TEBAL PELAT SLAB DEPTH CM	TEBAL PELAT SLAB DEPTH CM	TEBAL PELAT SLAB DEPTH CM	TEBAL PELAT SLAB DEPTH CM	TEBAL PELAT SLAB DEPTH CM	TEBAL PELAT SLAB DEPTH CM	TEBAL PELAT SLAB DEPTH CM	TEBAL PELAT SLAB DEPTH CM	TEBAL PELAT SLAB DEPTH CM	TEBAL PELAT SLAB DEPTH CM	TEBAL PELAT SLAB DEPTH CM	TEBAL PELAT SLAB DEPTH CM	TEBAL PELAT SLAB DEPTH CM	TEBAL PELAT SLAB DEPTH CM	TEBAL PELAT SLAB DEPTH CM	TEBAL PELAT SLAB DEPTH CM	TEBAL PELAT SLAB DEPTH CM														
TANPA PENYANGGA NO. PROPS	1.50	9	9	9	9	9	9	9	0.75	9	0.91	9	1.07	9	1.24	9	1.40	9	1.66	9	2.08	9	0.59	9	0.73	9	0.85	9	0.98	9	1.11	9	1.31	9	1.65	
	1.75	9	9	9	9	9	9	10	9	1.03	9	1.25	9	1.48	9	1.71	9	1.94	9	2.29	10	2.53	9	0.81	9	0.99	9	1.17	9	1.35	9	1.53	9	1.81	10	2.00
	2.00	9	9	9	9	9	9	10	9	1.36	9	1.65	9	1.95	9	2.26	9	2.57	9	3.04	10	3.35	9	1.07	9	1.31	9	1.55	9	1.79	9	2.03	9	2.39	10	2.65
	2.25	9	9	9	9	9	9	11	9	1.73	9	2.12	9	2.50	9	2.90	9	3.29	9	3.89	11	3.85	9	1.37	9	1.68	9	1.98	9	2.30	9	2.60	9	3.08	11	3.04
	2.50	9	9	9	9	9	10	14	9	2.16	9	2.65	9	3.13	9	3.62	9	4.11	10	4.29	14	3.69	9	1.71	9	2.09	9	2.48	9	2.86	9	3.25	10	3.39	14	2.92
SATU BARIS PENYANGGA ONE ROW PROPS	2.75	10	10	10	10	11	12	15	9	2.64	9	3.24	9	3.83	10	3.94	11	4.02	12	4.29	15	4.23	9	2.09	9	2.25	9	3.02	10	3.11	11	3.18	12	3.39	15	3.33
	3.00	10	10	10	11	12	13		9	3.17	9	3.87	10	4.10	11	4.28	12	4.41	13	4.74			9	2.51	9	3.07	10	3.25	11	3.38	12	3.49	13	3.75		
	3.25	11	11	11	12	13	14		10	3.41	10	4.13	10	4.87	12	4.65	13	4.83	14	5.22			10	2.70	10	3.27	10	3.84	12	3.67	13	3.82	14	4.12		
	3.50	12	12	12	12	13	15		11	3.68	11	4.42	11	5.18	12	5.44	13	5.64	15	5.71			11	2.90	11	3.49	11	4.09	12	4.29	13	4.46	15	4.51		
	3.75	13	13	13	13	14			11	4.25	11	5.11	11	5.99	13	5.83	14	6.09					11	3.36	11	4.04	11	4.73	13	4.61	14	4.81				
DUA BARIS PENYANGGA TWO ROW PROPS	4.00	14	14	14	14	15			12	4.55	12	5.43	12	6.33	14	6.24	15	6.55					12	3.59	12	4.28	12	4.99	14	4.93	15	5.17				
	4.50								13	5.49	13	6.51	14	7.06	15	7.53						13	4.34	13	5.14	14	5.58	15	5.95							
	5.00								15	6.20	15	7.27	15	8.90							15	4.90	15	5.73	15	6.58										

Catatan : - BEBAN MATI (BERAT SENDIRI **Super Floor Deck®** DAN PELAT BETON) SUDAH DIPERHITUNGKAN

- BEBAN BERGUNA DALAM TABEL ADALAH JUMLAH BEBAN HIDUP DAN BEBAN-BEBAN FINISHING LAINNYA

- MUTU BAJA TULANGAN U - 48

## CARA PEMASANGAN

Lembaran **Super Floor Deck®** diletakan diatas balok-balok pemikul (beam), baik diatas kontruksi beton maupun pada kontruksi baja, kemudian segera dimatikan/dipakukan atau di-las, jika perletakan di alas kontruksi baja. Hal tersebut untuk menghindari dari geseran perletakan lembaran **Super Floor Deck®** pada kedudukannya. Cara perletakan **Super Floor Deck®** pada umumnya minimum 5 cm dari bibir balok pemikul. Untuk sambungan arah memanjang, jarak perletakan **Super Floor Deck®** satu dengan lainya diusahakan seminimal mungkin. Usahakan perletakan lembaran **Super Floor Deck®** bisa menutup dua atau tiga bentangan balok pemikul (continuous span), agar lebih praktis dan menghemat waktu baik dalam pemasangan maupun dalam pengangkutan. Lembaran **Super Floor Deck®** pada waktu beton masih basah berfungsi sebagai bekisting dan merupakan lantai kerja paling aman bagi pekerja lainnya. Tapi hindarkan terjadinya pemasangan beban diatas lembaran **Super Floor Deck®** yang belum berfungsi tersebut. Disarankan, gunakanlah papan balok kayu untuk lintasan jalan para pekerja.

## CARA PEMASANGAN PADA KONSTRUKSI BAJA

Setelah konstruksi baja selesai dipasang dan balok-balok (beam) nya sudah dilot water pas, lembaran **Super Floor Deck®** segera dipasang. Biasanya pada konstruksi baja pemasangan **Super Floor Deck®** dengan cara bentang menerus, kemudian dimatikan dengan las listrik atau paku tembak.

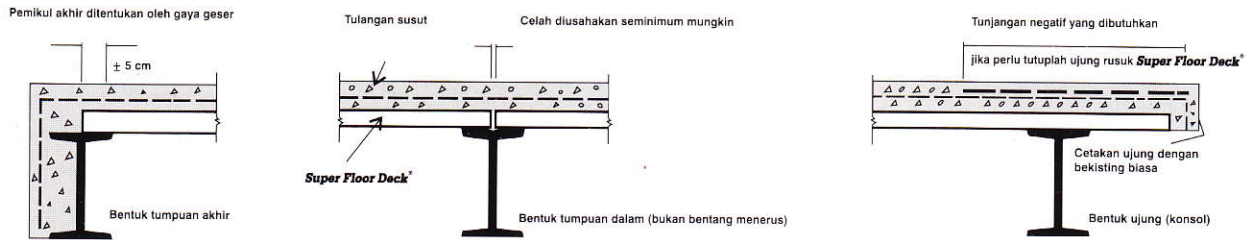
### Syarat-syarat cara pengikatan

#### 1. Dengan cara pengelasan:

Pada bagian ujung **Super Floor Deck®** dan dibawah kaki rusuk dilas dengan las cantum berdiameter 1 cm. Pada balok pemikul tengah, lembaran dilas pada bagian rata kaki rusuk betina disetiap lembaran **Super Floor Deck®**. Mutu kawat las yang digunakan berukuran 3,25 mm, dengan baja celulose AC/DC bermutu tinggi. Cara pengelasannya dilakukan dari atas ke bawah.

#### 2. Dengan cara pemakuan:

Bisa dengan paku keling biasa atau paku tembak. Bisa juga menggunakan paku berdiameter 4 mm. Kalau balok pemikul baja (beam) diperhitungkan sebagai balok T komposit, maka bisa digunakan paku berdiameter 10- 16 mm dilas ke balok baja pemikul dan berfungsi sebagai penahan geser.

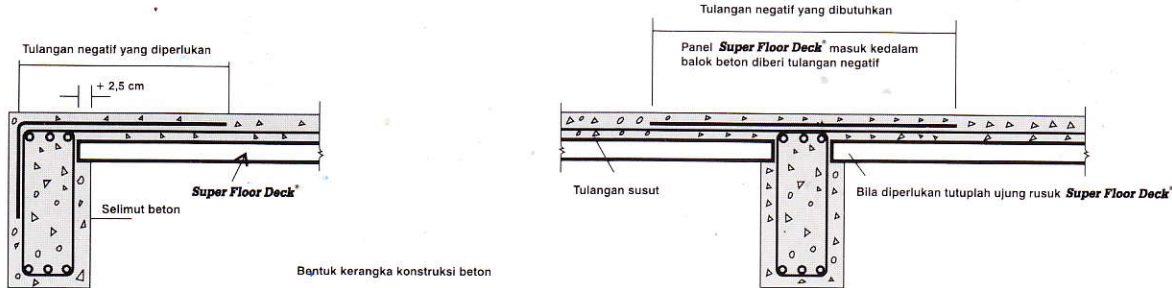


## CARA PEMASANGAN PADA KONSTRUKSI BETON

Memasang lembaran **Super Floor Deck®** di atas konstruksi beton pada umumnya dipasang sebagai bentang tunggal karena pengecoran balok dan lantai bersamaan, yaitu untuk menghemat waktu pekerjaan cor dan supaya menghasilkan balok T sesuai perencanaan.

### Syarat-syarat cara pengikatan

1. Lembaran **Super Floor Deck®** dipasang diantara dua balok pemikul sebagai bentang tunggal. Ada dua cara pemasangan. yaitu lembaran **Super Floor Deck®** dimatikan pada balok pemikul yang sudah dicor atau diletakkan di atas papan bekisting balok pemikul/dinding dengan jarak 2,5 cm dari sisi balok, sebelum balok/dinding dicor.
2. Lembaran **Super Floor Deck®** dipasang di atas beberapa balok pemikul sebagai bentang menerus. Pada waktu pengecoran balok-balok pemikul, siapkan angkur-angkur atau stek besi yang akan ditanam ke dalam coran beton tadi. **Super Floor Deck®** diletakkan setelah dilubangi sesuai dengan jarak angkur-angkur atau stek besi tersebut. Setelah angkur-angkur/stek besi dibengkokkan, selanjutnya pengecoran dilaksanakan.

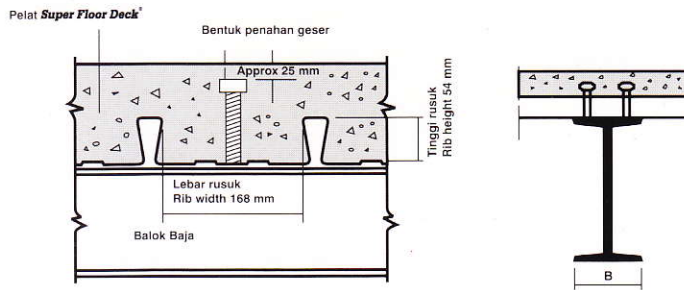


## TIANG PENYANGGA SEMENTARA

Sebelum **Super Floor Deck®** dicor dengan adukan beton, terlebih dahulu disangga oleh tiang penyangga sementara, terbuat dari kayu dolken atau papan, terutama untuk bentang besar. Hal ini untuk menghindari lendutan akibat pembebanan sementara **Super Floor Deck®** belum berfungsi. Biasanya tiang penyangga sementara ini dilepas setelah beton berumur 7 sampai 14 hari.

## PENAHAN GESER

Penahan geser dibutuhkan untuk ikatan antara lantai beton dengan balok pemikul dibawahnya. Terbuat dari basi baton dengan diameter antara 10 sampai 16 mm. Ada juga yang dibuat secara khusus. Tinggi maksimum di bawah permukaan akhir plat baton 2 cm. Adapun jaraknya harus dihitung berdasarkan diagram gaya lintang balok.



## TULANGAN SUSUT

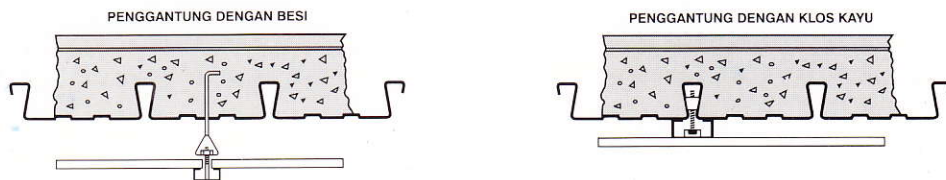
Disarankan memakai Tulangan Susut yang berfungsi selain untuk mengatasi keretakan lantai beton akibat perubahan temperatur dan juga menyebarkan pembebanan. Untuk plat tebal antara 9-12 cm, bisa digunakan jaring kawat berdiameter 5 mm dan 6 mm untuk tebal antara 13-16 cm

## SYARAT-SYARAT MUTU BETON

Disarankan kekuatan tekanan karakteristik minimum 200 kg/Cm<sup>2</sup> (K-200) dan harus tercapai setelah beton berumur 28 hari dan harus memenuhi syarat - syarat PBI 1971 (NI - 2)

## PEKERJAAN LANGIT-LANGIT

Langit-langit yang menggantung bisa dibuat penggantung dari kawat baja yang di tanam ke dalam plat beton sebelum di-cor. Atau pada alur gelombang **Super Floor Deck®** dipasang rusuk dari kayu dan berfungsi sebagai pengikat. Penyemprotan dengan bahan plesteran seperti gips, vermiculit, bisa langsung disemprotkan kepermukaan bagian bawah **Super Floor Deck®**



**Mild Steel Plates**Metric units 7.85kg/mm<sup>2</sup> - 0.7293 kg/mm<sup>2</sup>

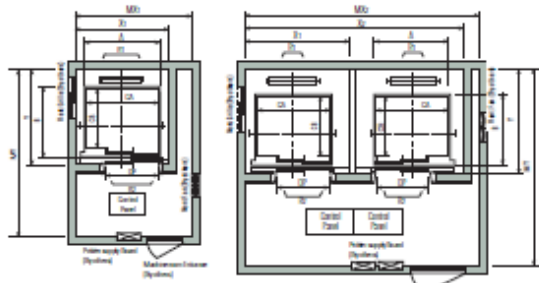
Thickness	Weight x Length [t]	Weight / pc							
		4 x 8	4 x 16	5 x 10	5 x 20	6 x 20	8 x 20	10 x 20	
mm	kg <sup>2</sup>	kg	kg	kg	kg	kg	kg	kg	kg
1.2	6.875	38.0	-	43.8	-	-	-	-	-
1.5	1.094	56.6	-	54.7	-	-	-	-	-
1.6	1.167	57.0	-	58.3	-	-	-	-	-
1.8	1.366	44.3	-	68.3	-	-	-	-	-
2.2	1.677	52.7	-	82.9	-	-	-	-	-
2.6	1.987	66.7	-	94.8	-	-	-	-	-
3	2.168	70.0	-	109	219	-	-	-	-
3.2	2.334	74.7	-	117	-	-	-	-	-
4.0	2.917	65.3	167	146	292	352	-	-	-
4.5	3.285	115	210	164	328	384	-	-	-
5	3.697	117	232	162	365	428	-	-	-
6	4.376	140	280	219	428	505	700	1312	
6.25	4.621	148	296	232	463	554	741	1386	
7.5	5.470	175	350	273	517	656	875	1641	
8	5.854	187	373	292	583	703	934	1752	
9	6.564	210	420	328	654	786	1055	1960	
9.53	6.955	222	445	348	695	834	1112	2086	
10	7.293	223	467	365	729	875	1167	2186	
12	8.752	280	543	428	875	1053	1400	2625	
12.7	9.262	296	563	463	926	1111	1482	2779	
13	9.661	303	467	474	948	1138	1517	2844	
14	10.371	307	463	511	1021	1225	1634	3080	
15	10.94	250	700	547	1094	1213	1752	3286	
16	11.47	373	747	583	1167	1402	1867	3561	
18	13.13	420	849	656	1313	1575	2100	3908	
19	13.86	443	847	662	1386	1603	2217	4157	
20	14.59	467	934	729	1459	1753	2334	4376	
21	15.32	486	983	764	1532	1838	2452	4595	
22	16.04	513	1027	802	1604	1935	2567	4913	
24	17.55	546	1120	875	1755	2105	2801	5251	
25	18.23	583	1167	912	1823	2188	2917	5470	
25.4	18.52	589	1186	926	1852	2223	2984	5567	
26	20.42	653	1387	1521	2042	2452	3287	6136	
28	21.15	677	1354	1657	2115	2538	3384	6345	
30	21.88	700	1450	1594	2188	2625	3501	6564	
32	23.34	747	1494	1667	2334	2801	3724	7001	
35	25.53	817	1634	1777	2553	3064	4385	7659	
36	26.25	840	1680	1713	2625	3151	4301	7076	
38	27.71	887	1774	1886	2771	3316	4434	8216	
40	28.17	934	1867	1459	2917	3501	4668	8752	
44	32.69	1027	2054	1665	3209	3851	5134	9627	
45	32.82	1050	2100	1641	3282	3938	5251	9846	
50	36.47	1167	2384	1823	3647	4376	5834	10944	
55	40.11	1284	2567	2066	4011	4813	6118	12038	
57	41.57	1330	2660	2079	4157	4988	6451	12471	
60	43.76	1400	2801	2188	4376	5251	7001	13127	
63.5	46.31	1482	2964	2316	4631	5557	7410	13860	
65	47.40	1517	3034	2370	4740	5849	7565	14221	
70	51.05	1634	3267	2553	5105	6136	8168	15315	
75	54.70	1750	3521	2735	5470	6564	8752	16409	

CONTINENTAL STEEL PTE LTD

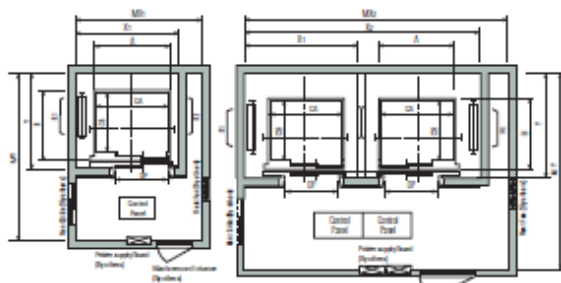
## Layout Plan - LUXEN(Gearless Elevators) 1~2.5m/sec | Side open

### Plan of Hoistway & Machine Room

Rear Drop



Side Drop



### Overhead & Pit Depth

(Unit: mm)

Load (kg)	450 ~ 1000		1150 ~ 1600		M/C Room Height (M/R)	
	Speed (m/sec)	Overhead (OH)	Pit Depth (PP)	Overhead (OH)	Pit Depth (PP)	
1.0	4000	1300	4400	1400	3300	
1.3	4000	1400	4400	1500	3400	
1.75	4000	1500	4400	1600	3400	
2.0	4000	1700	4700	2000	3400	
2.5	3000	2200	3000	2200	3400	

- Note:**
1. Above dimensions are applied for car height of 2500mm, for other applicable dimensions, contact us.
  2. In case of mezzanine/bridge isolation part, machine room height should be increased 200mm.
  3. Machine room temperature should be maintained below 40 °C with ventilation function or air condition (if necessary) and humidity below 80%.

### Standard Dimensions & Reactions

#### Manufacturer Standard

Speed (m/sec)	Capacity Persons/kg	Opening Type	Clear Opening OP	CWT Drop	Car		Hoistway Size			Machine Room Size			M/C Room Reaction (kg)				Pit Reaction (kg)
					Internal (A x CB)	External (A x B)	X1	X2	Y	MX1	MX2	MY	R1	R2	R3	R4	
1.0	4000	Rear	1100x1100	1140x1175	1800	3200	1600	1600	3400	2400	2000	2000	4000	4000	4000	4000	4000
	3000	Rear	1100x1100	1140x1140	1800	3200	1700	1700	3400	2400	2000	2000	3400	3400	3400	3400	3400
	2000	Rear	1100x1100	1140x1175	1800	3200	2100	2100	3400	2400	2000	2000	4000	4000	4000	4000	4000
	1800	Rear	1100x1100	1140x1175	1800	3200	2100	2100	3400	2400	2000	2000	4000	4000	4000	4000	4000
	1600	Rear	1100x1100	1140x1175	1800	3200	2100	2100	3400	2400	2000	2000	4000	4000	4000	4000	4000
	1400	Rear	1100x1100	1140x1175	1800	3200	2100	2100	3400	2400	2000	2000	4000	4000	4000	4000	4000
	1200	Rear	1100x1100	1140x1175	1800	3200	2100	2100	3400	2400	2000	2000	4000	4000	4000	4000	4000
	1000	Rear	1100x1100	1140x1175	1800	3200	2100	2100	3400	2400	2000	2000	4000	4000	4000	4000	4000
	800	Rear	1100x1100	1140x1175	1800	3200	2100	2100	3400	2400	2000	2000	4000	4000	4000	4000	4000
	600	Rear	1100x1100	1140x1175	1800	3200	2100	2100	3400	2400	2000	2000	4000	4000	4000	4000	4000
1.3	4000	Rear	1100x1100	1140x1175	1800	3200	2100	2100	3400	2400	2000	2000	4000	4000	4000	4000	4000
	3000	Rear	1100x1100	1140x1175	1800	3200	2100	2100	3400	2400	2000	2000	4000	4000	4000	4000	4000
	2000	Rear	1100x1100	1140x1175	1800	3200	2100	2100	3400	2400	2000	2000	4000	4000	4000	4000	4000
	1800	Rear	1100x1100	1140x1175	1800	3200	2100	2100	3400	2400	2000	2000	4000	4000	4000	4000	4000
	1600	Rear	1100x1100	1140x1175	1800	3200	2100	2100	3400	2400	2000	2000	4000	4000	4000	4000	4000
	1400	Rear	1100x1100	1140x1175	1800	3200	2100	2100	3400	2400	2000	2000	4000	4000	4000	4000	4000
	1200	Rear	1100x1100	1140x1175	1800	3200	2100	2100	3400	2400	2000	2000	4000	4000	4000	4000	4000
	1000	Rear	1100x1100	1140x1175	1800	3200	2100	2100	3400	2400	2000	2000	4000	4000	4000	4000	4000
	800	Rear	1100x1100	1140x1175	1800	3200	2100	2100	3400	2400	2000	2000	4000	4000	4000	4000	4000
	600	Rear	1100x1100	1140x1175	1800	3200	2100	2100	3400	2400	2000	2000	4000	4000	4000	4000	4000
1.75	4000	Rear	1100x1100	1140x1175	1800	3200	2100	2100	3400	2400	2000	2000	4000	4000	4000	4000	4000
	3000	Rear	1100x1100	1140x1175	1800	3200	2100	2100	3400	2400	2000	2000	4000	4000	4000	4000	4000
	2000	Rear	1100x1100	1140x1175	1800	3200	2100	2100	3400	2400	2000	2000	4000	4000	4000	4000	4000
	1800	Rear	1100x1100	1140x1175	1800	3200	2100	2100	3400	2400	2000	2000	4000	4000	4000	4000	4000
	1600	Rear	1100x1100	1140x1175	1800	3200	2100	2100	3400	2400	2000	2000	4000	4000	4000	4000	4000
	1400	Rear	1100x1100	1140x1175	1800	3200	2100	2100	3400	2400	2000	2000	4000	4000	4000	4000	4000
	1200	Rear	1100x1100	1140x1175	1800	3200	2100	2100	3400	2400	2000	2000	4000	4000	4000	4000	4000
	1000	Rear	1100x1100	1140x1175	1800	3200	2100	2100	3400	2400	2000	2000	4000	4000	4000	4000	4000
	800	Rear	1100x1100	1140x1175	1800	3200	2100	2100	3400	2400	2000	2000	4000	4000	4000	4000	4000
	600	Rear	1100x1100	1140x1175	1800	3200	2100	2100	3400	2400	2000	2000	4000	4000	4000	4000	4000
2.0	4000	Rear	1100x1100	1140x1175	1800	3200	2100	2100	3400	2400	2000	2000	4000	4000	4000	4000	4000
	3000	Rear	1100x1100	1140x1175	1800	3200	2100	2100	3400	2400	2000	2000	4000	4000	4000	4000	4000
	2000	Rear	1100x1100	1140x1175	1800	3200	2100	2100	3400	2400	2000	2000	4000	4000	4000	4000	4000
	1800	Rear	1100x1100	1140x1175	1800	3200	2100	2100	3400	2400	2000	2000	4000	4000	4000	4000	4000
	1600	Rear	1100x1100	1140x1175	1800	3200	2100	2100	3400	2400	2000	2000	4000	4000	4000	4000	4000
	1400	Rear	1100x1100	1140x1175	1800	3200	2100	2100	3400	2400	2000	2000	4000	4000	4000	4000	4000
	1200	Rear	1100x1100	1140x1175	1800	3200	2100	2100	3400	2400	2000	2000	4000	4000	4000	4000	4000
	1000	Rear	1100x1100	1140x1175	1800	3200	2100	2100	3400	2400	2000	2000	4000	4000	4000	4000	4000
	800	Rear	1100x1100	1140x1175	1800	3200	2100	2100	3400	2400	2000	2000	4000	4000	4000	4000	4000
	600	Rear	1100x1100	1140x1175	1800	3200	2100	2100	3400	2400	2000	2000	4000	4000	4000	4000	4000
2.5	4000	Rear	1100x1100	1140x1175	1800	3200	2100	2100	3400	2400	2000	2000	4000	4000	4000	4000	4000
	3000	Rear	1100x1100	1140x1175	1800	3200	2100	2100	3400	2400	2000	2000	4000	4000	4000	4000	4000
	2000	Rear	1100x1100	1140x1175	1800	3200	2100	2100	3400	2400	2000	2000	4000	4000	4000	4000	4000
	1800	Rear	1100x1100	1140x1175	1800	3200	2100	2100	3400	2400	2000	2000	4000	4000	4000	4000	4000
	1600	Rear	1100x1100	1140x1175	1800	3200	2100	2100	3400	2400	2000	2000	4000	4000	4000	4000	4000
	1400	Rear	1100x1100	1140x1175	1800	3200	2100	2100	3400	2400	2000	2000	4000	4000	4000	4000	4000
	1200	Rear	1100x1100	1140x1175	1800	3200	2100	2100	3400	2400	2000	2000	4000	4000	4000	4000	4000
	1000	Rear	1100x1100	1140x1175	1800	3200	2100	2100	3400	2400	2000	2000	4000	4000	4000	4000	4000
	800	Rear	1100x1100	1140x1175	1800	3200	2100	2100	3400	2400	2000	2000	4000	4000	4000	4000	4000
	600	Rear	1100x1100	1140x1175	1800	3200	2100	2100	3400	2400	2000	2000	4000	4000	4000	4000	4000
3.0	4000	Rear	1100x1100	1140x1175	1800	3200	2100	2100	3400	2400	2000	20					



Jurusan Teknik Sipil  
Fakultas Teknik Sipil Dan Perencanaan  
Institut Teknologi Sepuluh Nopember

Judul Tugas Akhir

Modifikasi Perencanaan  
Struktur Gedung Fakultas Ilmu  
dan Administrasi Universitas  
Brawijaya sistem rangka Bresing  
Konsentris Khusus

Dosen Pembimbing

Harun Al Rasyid, ST.,MT.,Ph.D

Ir. Isdarmanu M.Sc

Keterangan

Nama Mahasiswa

Hanief Haris Setiawan

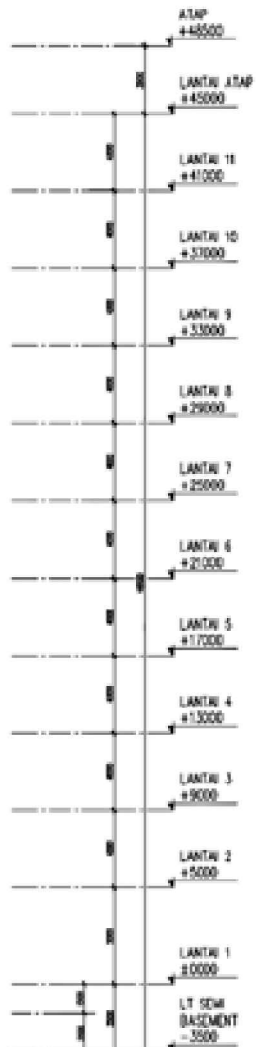
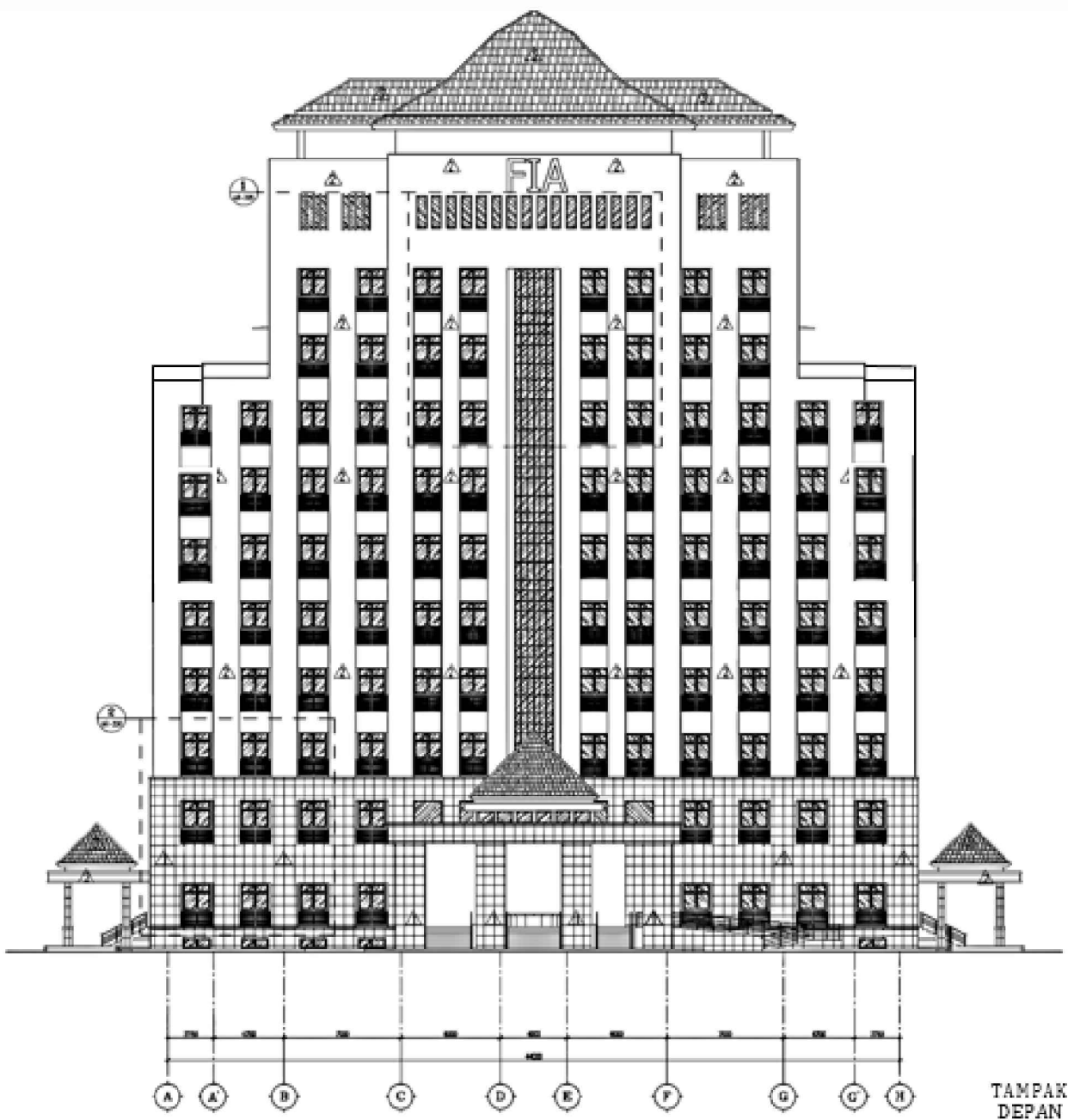
Revisi	Tanggal	Catatan
--------	---------	---------

Nama Gambar

TAMPAK DEPAN BANGUNAN

Skala	No Gambar	Jumlah Gambar
-------	-----------	---------------

1:450	1	19
-------	---	----





Jurusan Teknik Sipil  
Fakultas Teknik Sipil Dan Perencanaan  
Institut Teknologi Sepuluh Nopember

Judul Tugas Akhir

Modifikasi Perencanaan  
Struktur Gedung Fakultas Ilmu  
dan Administrasi Universitas  
Brawijaya sistem rangka Bresing  
Konsentris Khusus

Dosen Pembimbing

Harun Al Rasyid, ST.,MT.,Ph.D

Ir. Isdarmanu M.Sc

Keterangan

Nama Mahasiswa

Hanief Haris Setiawan

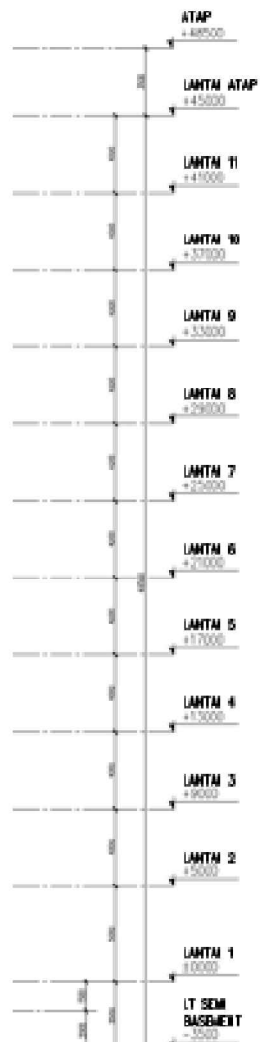
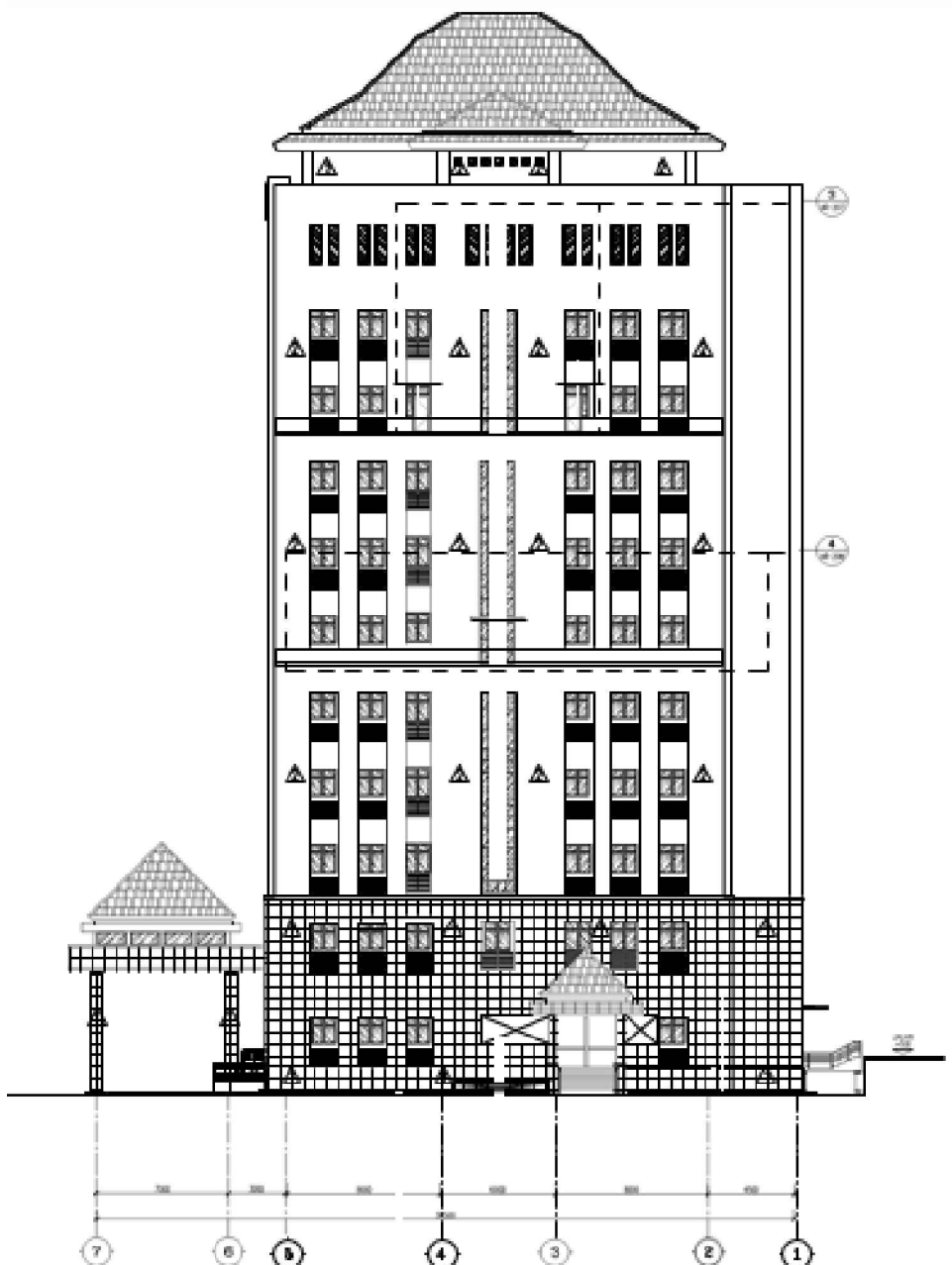
Revisi	Tanggal	Catatan
--------	---------	---------

Nama Gambar

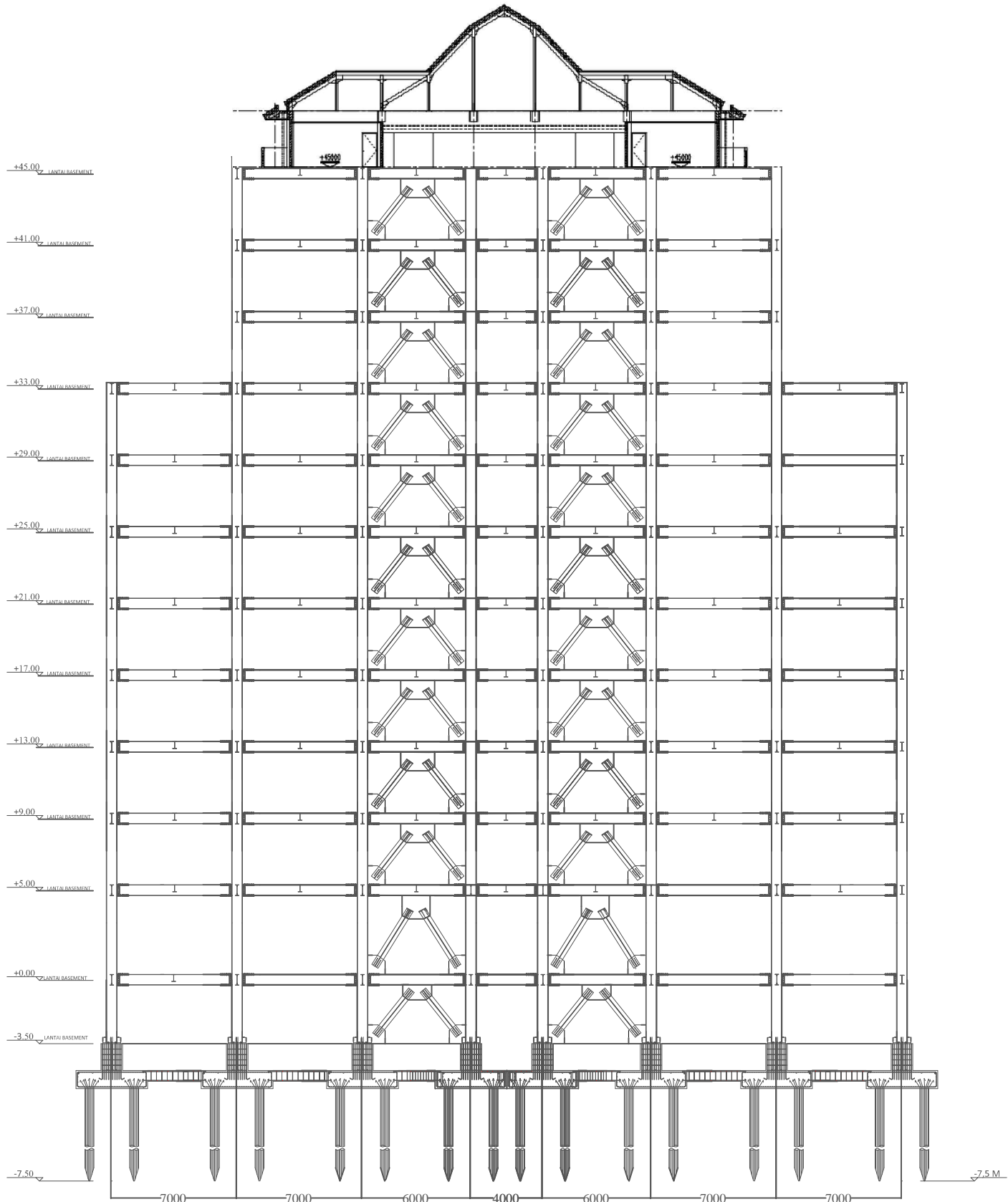
TAMPAK SAMPING BANGUNAN

Skala	No Gambar	Jumlah Gambar
-------	-----------	---------------

1:450	2	19
-------	---	----



TAMPAK  
SAMPING KANAN 1



Jurusan Teknik Sipil  
Fakultas Teknik Sipil Dan Perencanaan  
Institut Teknologi Sepuluh Nopember

Judul Tugas Akhir

Modifikasi Perencanaan  
struktur Gedung Kampus  
UNESA Menggunakan Baja  
*Frames (EBF)*

Dosen Pembimbing

Harun Al Rasyid, ST.,MT.,Ph.D  
Ir. Isdarmawati M.Sc

Keterangan

Nama Mahasiswa

Hantef Harris Setiawan

Revisi	Tanggal	Catatan

Nama Gambar

Potongan  
Memanjang

Skala	No	Jumlah
	No	
Gambar	Gambar	
1:300	3	24



Jurusan Teknik Sipil  
Fakultas Teknik Sipil Dan Perencanaan  
Institut Teknologi Sepuluh Nopember

Judul Tugas Akhir

Modifikasi Perencanaan  
struktur Gedung Fakultas Ilmu dan  
Administrasi menggunakan sistem  
Rangka Bresing Konsentris

Dosen Pembimbing

Harun Al Rasyid, ST.,MT.,Ph.D  
Ir. Isdarmawan M.Sc

Keterangan

Nama Mahasiswa

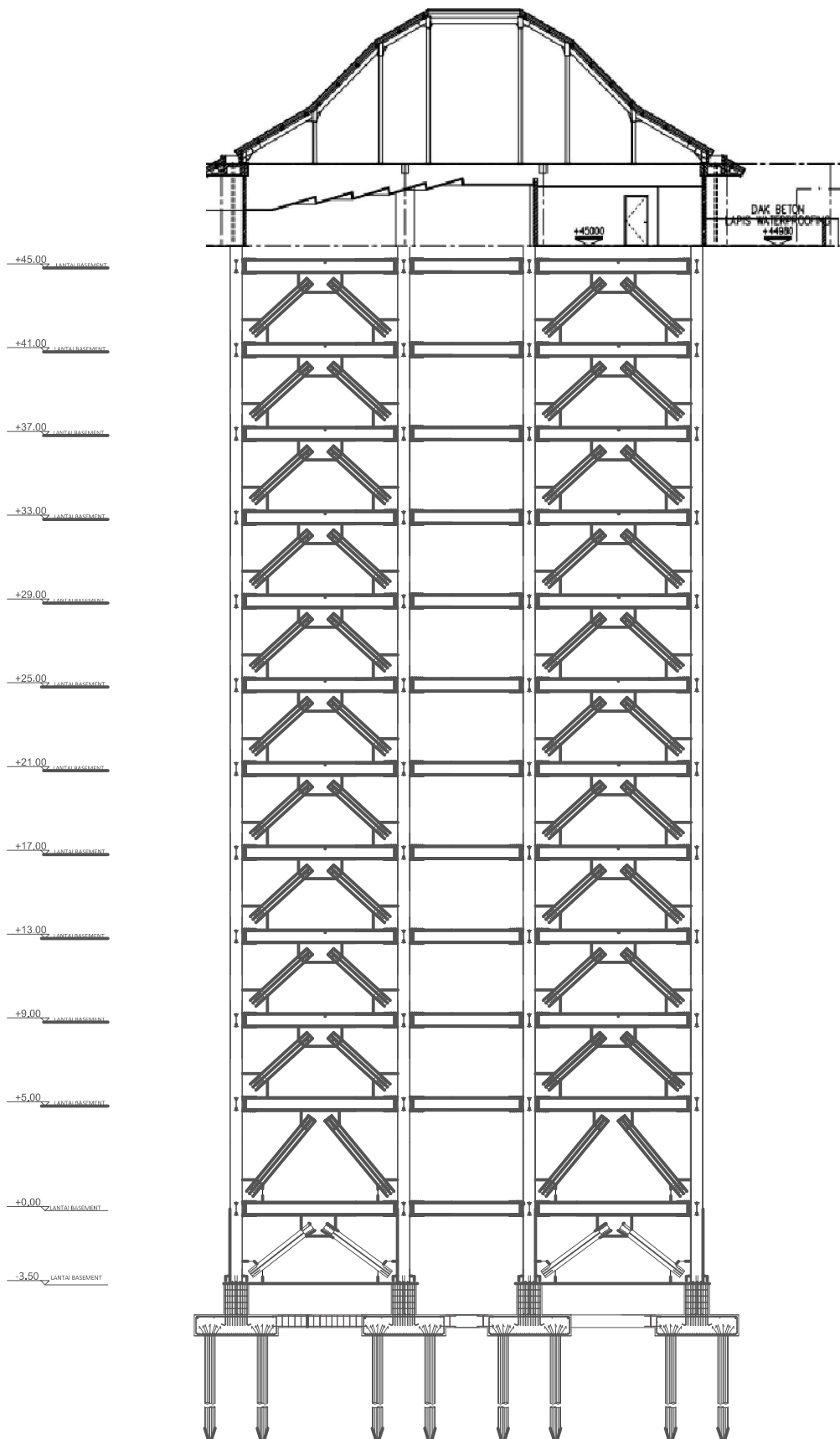
Hanief Haris Setiawan

Revisi      Tanggal      Catatan

Nama Gambar

Potongan Melintang

Skala	No Gambar	Jumlah Gambar
1:300	4	24





Judul Tugas Akhir

Modifikasi Perencanaan  
Struktur Gedung Fakultas Ilmu  
dan Administrasi Universitas  
Brawijaya sistem rangka Bresing  
Konsentris Khusus

Dosen Pembimbing

Harun Al Rasyid, ST.,MT.,Ph.D

Ir. Isdarmanu M.Sc

Keterangan

BI : WF 600.200.13.23

BA : WF 400.200.8.13

Kolom: CFT 600.600.15.15

Brace : WF 300.200.9.14

Nama Mahasiswa

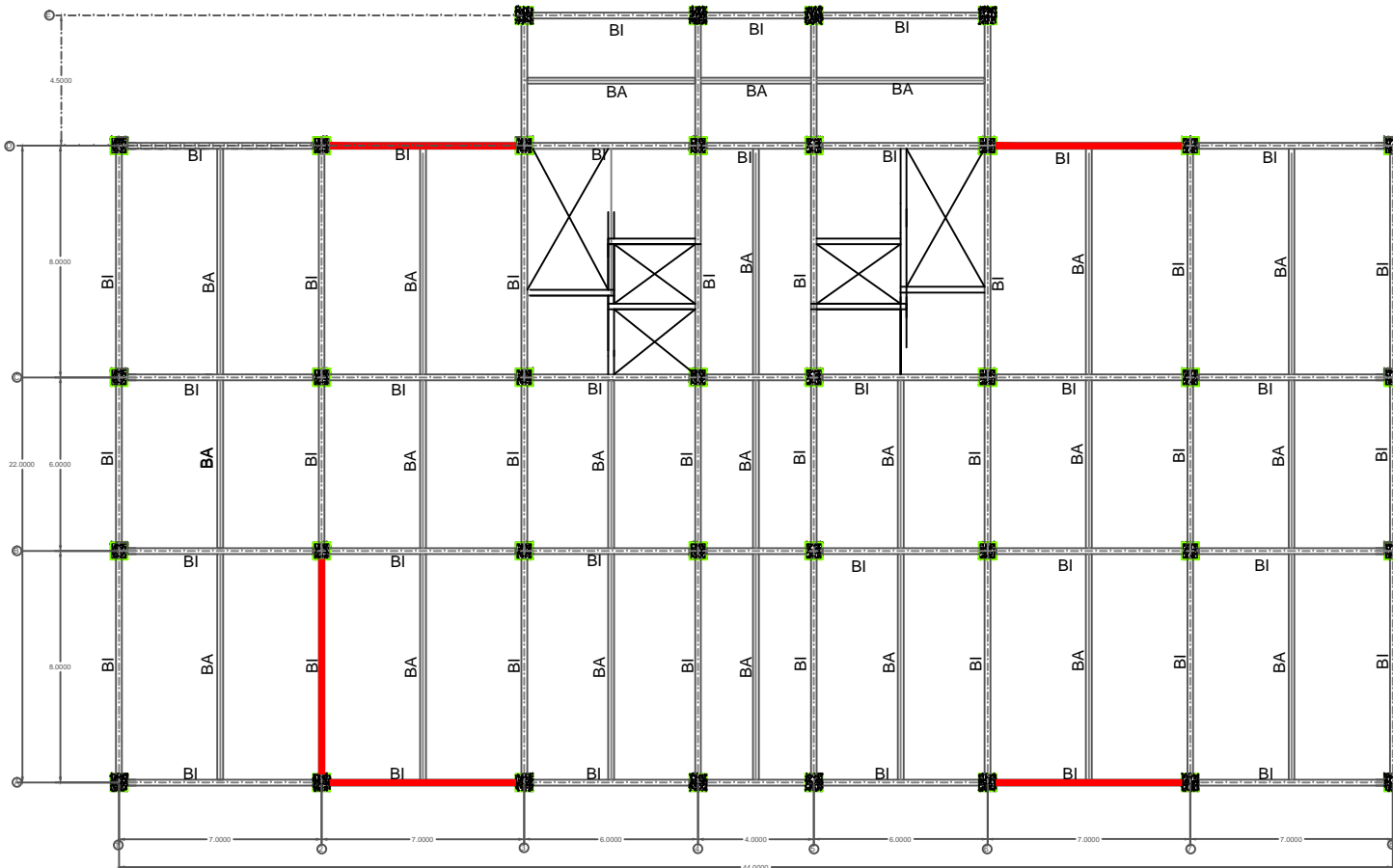
Hanief Haris Setiawan

Revisi	Tanggal	Catatan

Nama Gambar

DENAH PEMBALOKAN DAN  
KOLOM LANTAI DASAR-LANTAI 9

Skala	No Gambar	Jumlah Gambar
1:250	5	24





Judul Tugas Akhir

Modifikasi Perencanaan  
Struktur Gedung Fakultas Ilmu  
dan Administrasi Universitas  
Brawijaya sistem rangka Bresing  
Konsentris Khusus

Dosen Pembimbing

Harun Al Rasyid, ST.,MT.,Ph.D

Ir. Isdarmanu M.Sc

Keterangan

BI : WF 600.200.13.23

BA : WF 400.200.8.13

Kolom: CFT 600.600.15.15

Brace : WF 300.200.9.14

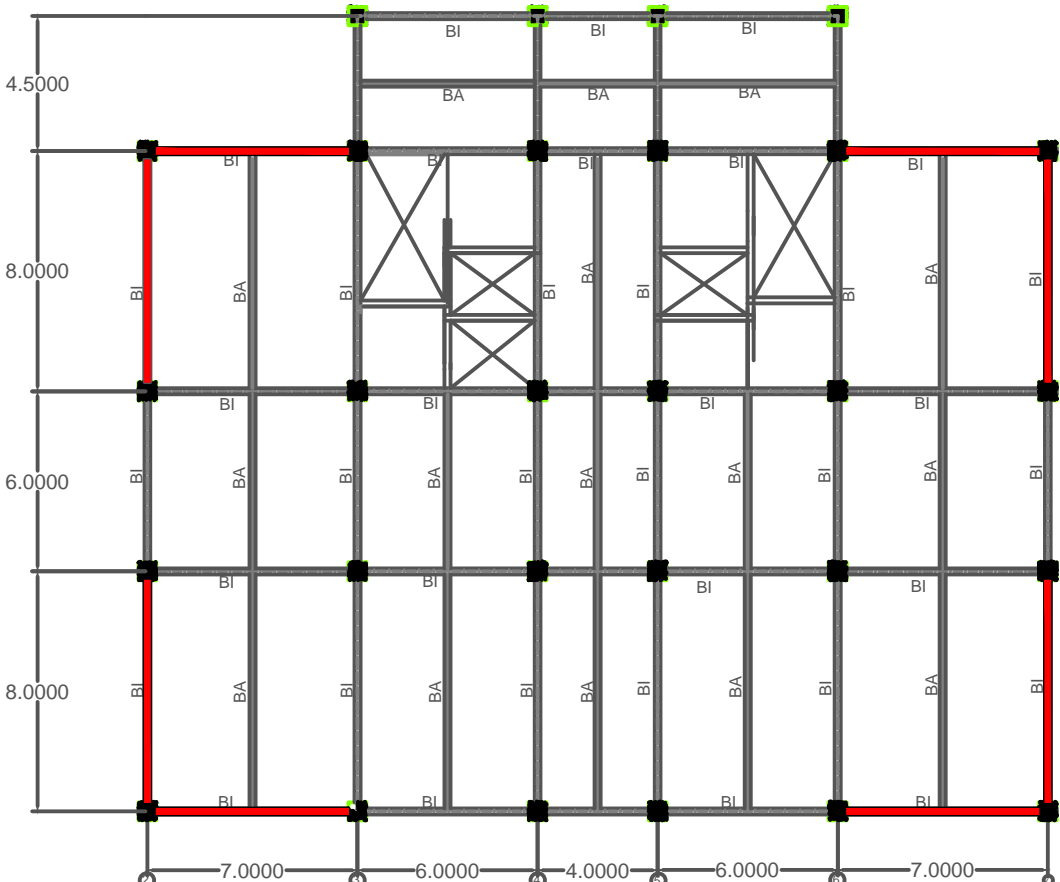
Nama Mahasiswa

Hanief Haris Setiawan

Revisi	Tanggal	Catatan

Nama Gambar

DENAH PEMBALOKAN DAN  
KOLOM LANTAI 10-LANTAI ATAP



Skala	No Gambar	Jumlah Gambar
1:250	6	24



Jurusan Teknik Sipil  
Fakultas Teknik Sipil Dan Perencanaan  
Institut Teknologi Sepuluh Nopember

Judul Tugas Akhir

Modifikasi Perencanaan  
Struktur Gedung Fakultas Ilmu  
dan Administrasi Universitas  
Brawijaya sistem rangka Bresing  
Konsentris Khusus

Dosen Pembimbing

Harun Al Rasyid, ST.,MT.,Ph.D

Ir. Isdarmanu M.Sc

Keterangan

BI : WF 600.200.13.23  
BA : WF 400.200.8.13  
Kolom: CFT 600.600.15.15  
Brace : WF 300.200.9.14

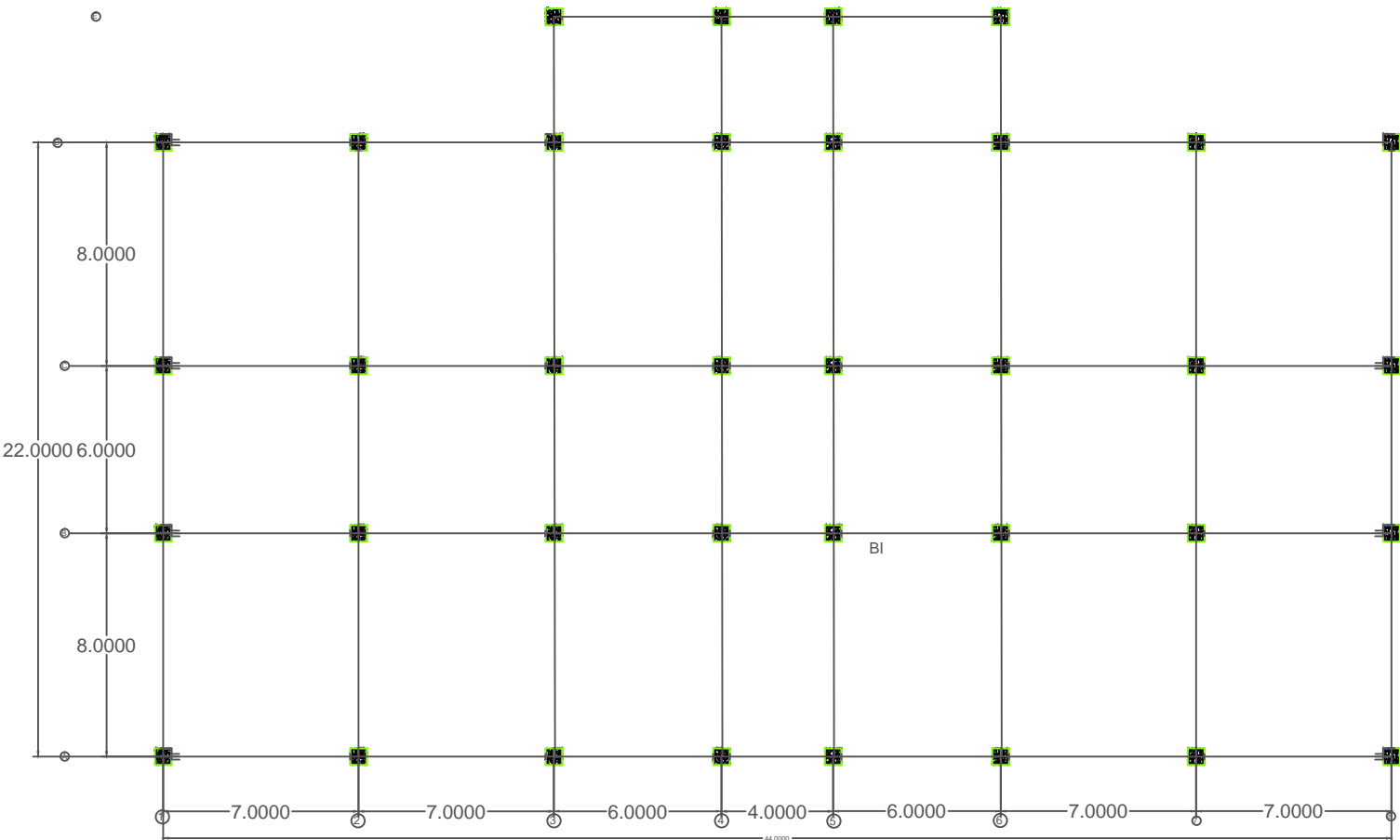
Nama Mahasiswa

Hanief Haris Setiawan

Revisi	Tanggal	Catatan

Nama Gambar

DENAH  
KOLOM LANTAI DASAR-LANTAI 9



Skala	No Gambar	Jumlah Gambar
1:250	7	24



Jurusan Teknik Sipil  
Fakultas Teknik Sipil Dan Perencanaan  
Institut Teknologi Sepuluh Nopember

Judul Tugas Akhir

Modifikasi Perencanaan  
Struktur Gedung Fakultas Ilmu  
dan Administrasi Universitas  
Brawijaya sistem rangka Bresing  
Konsentris Khusus

Dosen Pembimbing

Harun Al Rasyid, ST.,MT.,Ph.D

Ir. Isdarmanu M.Sc

Keterangan

BI : WF 600.200.13.23  
BA : WF 400.200.8.13  
Kolom: CFT 600.600.15.15  
Brace : WF 300.200.9.14

Nama Mahasiswa

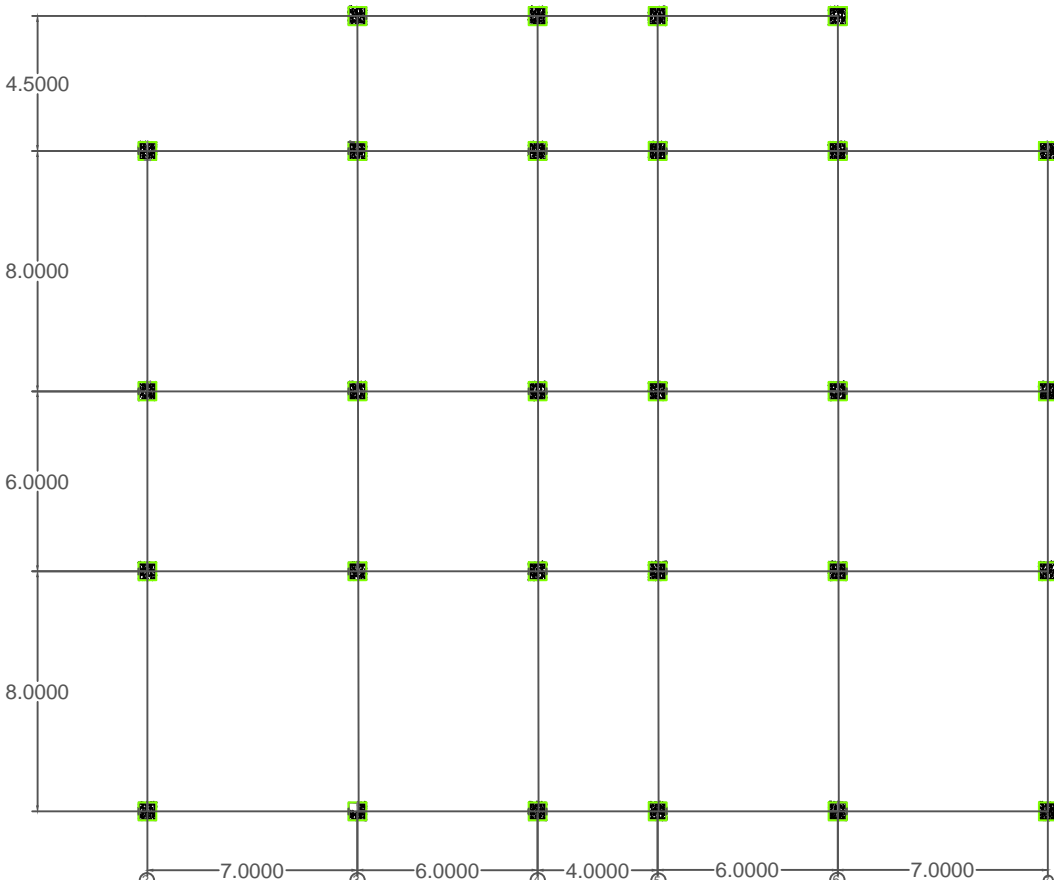
Hanief Haris Setiawan

Revisi	Tanggal	Catatan

Nama Gambar

DENAH  
KOLOM LANTAI 10-LANTAI ATAP

Skala	No Gambar	Jumlah Gambar
1:250	8	24





Judul Tugas Akhir

Modifikasi Perencanaan  
Struktur Gedung Fakultas Ilmu  
dan Administrasi Universitas  
Brawijaya sistem rangka Bresing  
Konsentris Khusus

Dosen Pembimbing

Harun Al Rasyid, ST.,MT.,Ph.D

Ir. Isdarmanu M.Sc

Keterangan

BI : WF 600.200.13.23  
BA : WF 400.200.8.13  
Kolom: CFT 600.600.15.15  
Brace : WF 300.200.9.14

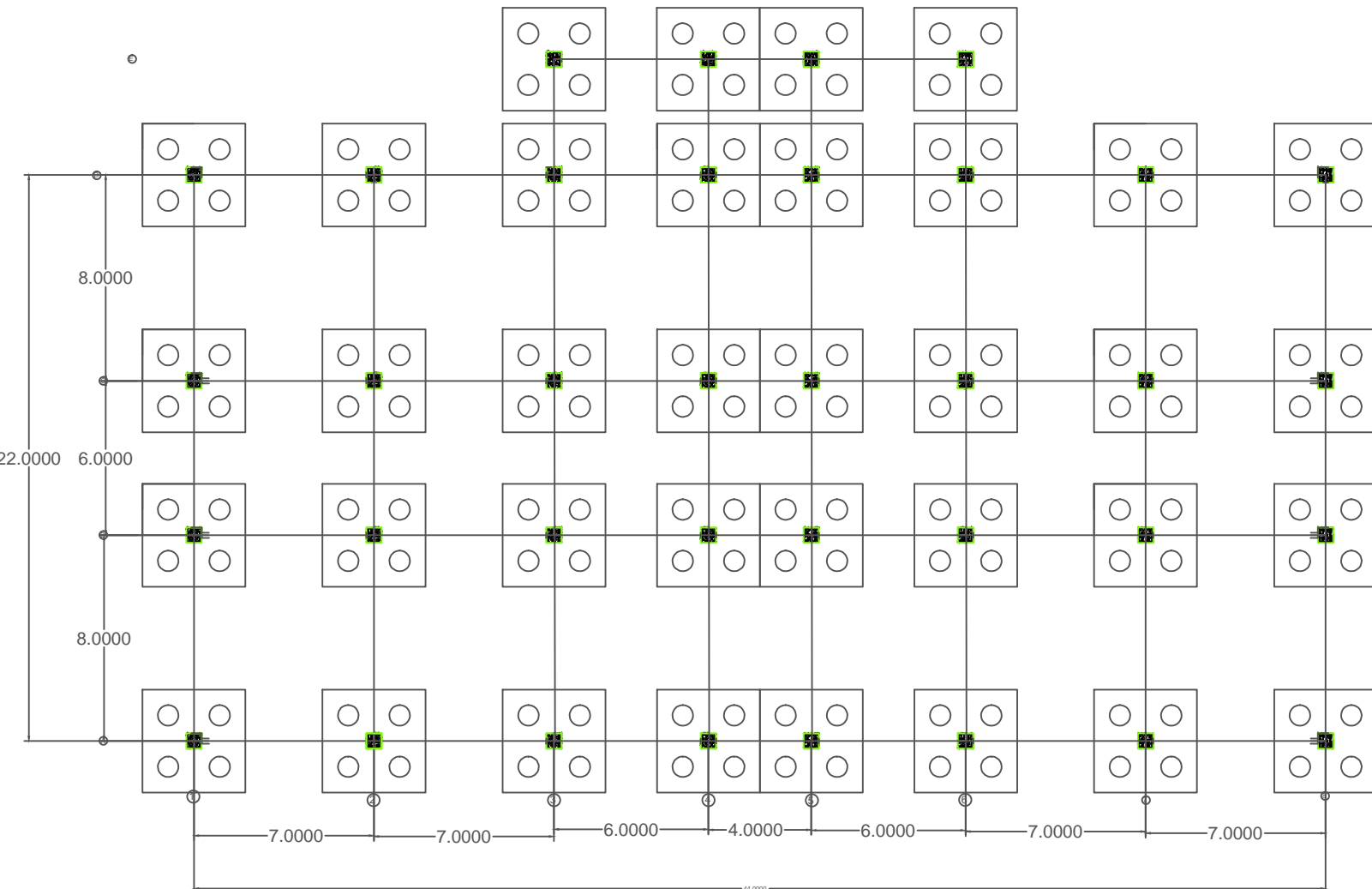
Nama Mahasiswa

Hanief Haris Setiawan

Revisi	Tanggal	Catatan

Nama Gambar

DENAH  
KOLOM LANTAI DASAR-LANTAI 9



Skala	No Gambar	Jumlah Gambar
1:250	9	24



Jurusian Teknik Sipil  
Fakultas Teknik Sipil Dan Perencanaan  
Intitut Teknologi Sepuluh Nopember

Judul Tugas Akhir

Modifikasi Perencanaan  
Gedung Fakultas Ilmu dan  
Administrasi Universitas Brawijaya  
menggunakan sistem Rangka  
Bresing Konsentris

Dosen Pembimbing

Harun Al Rasyid, ST.,MT.,Ph.D  
Ir. Isdarmanu M.Sc

Keterangan

Nama Mahasiswa

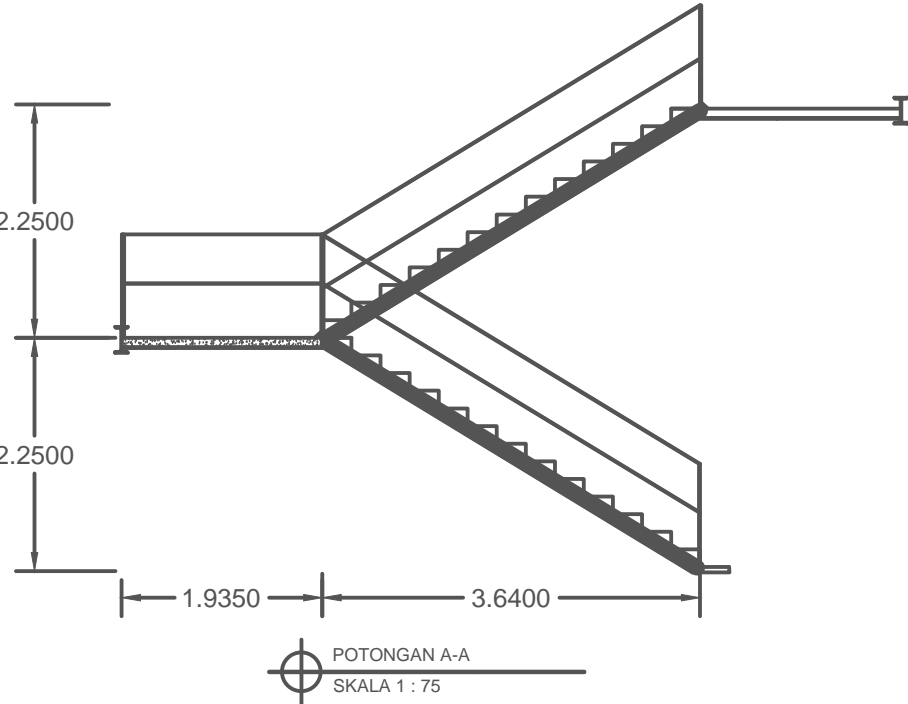
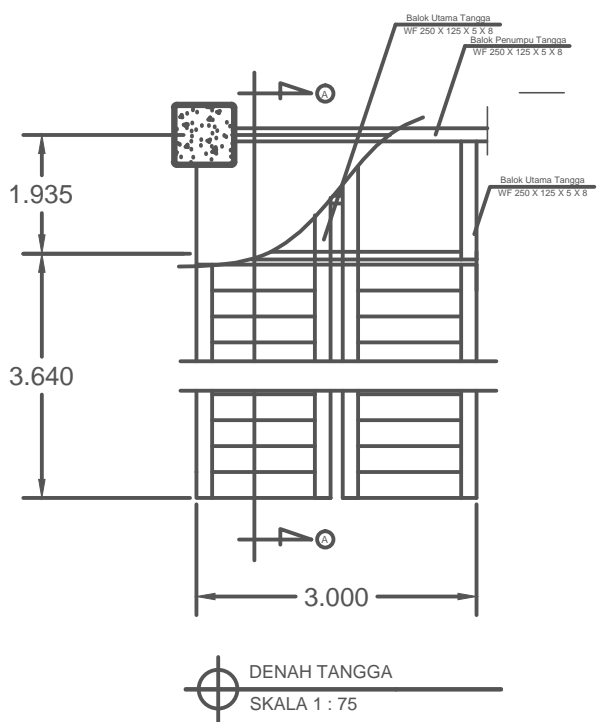
Hanief Haris Setiawan

Revisi	Tanggal	Catatan

Nama Gambar

DETAIL TANGGA

Skala	No Gambar	Jumlah Gambar
1:75	10	19





Jurusan Teknik Sipil  
Fakultas Teknik Sipil Dan Perencanaan  
Institut Teknologi Sepuluh Nopember

Judul Tugas Akhir

Modifikasi Perencanaan  
Struktur Gedung Fakultas Ilmu  
dan Administrasi Universitas  
Brawijaya sistem rangka Bresing  
Konsentris Khusus

Dosen Pembimbing

Harun Al Rasyid, ST.,MT.,Ph.D

Ir. Isdarmanu M.Sc

Keterangan

Nama Mahasiswa

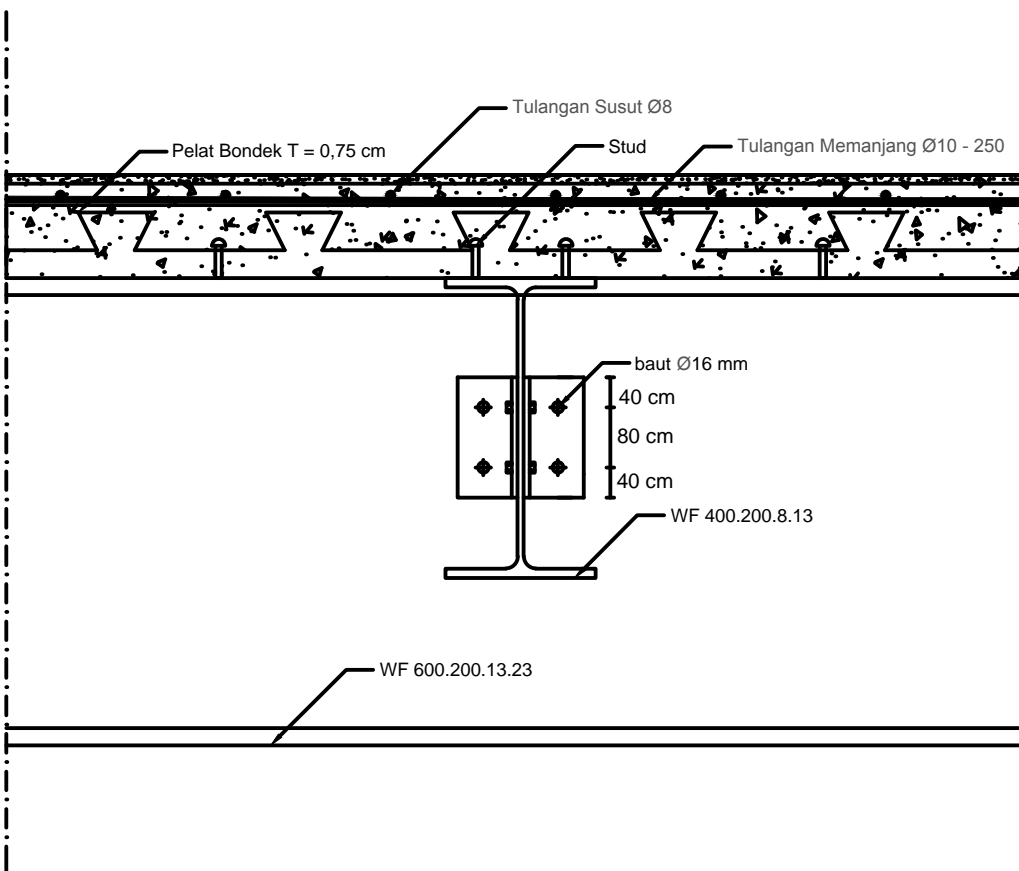
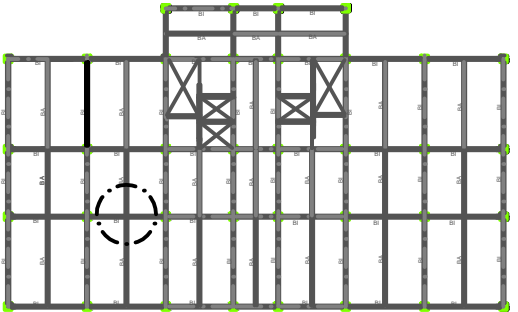
Hanief Haris Setiawan

Revisi	Tanggal	Catatan

Nama Gambar

DETAIL SAMBUNGAN  
BALOK ANAK GEDUNG  
PERKULIAHAN KE BALOK INDUK

Skala	No Gambar	Jumlah Gambar
1:100	11	19





Jurusan Teknik Sipil  
Fakultas Teknik Sipil Dan Perencanaan  
Institut Teknologi Sepuluh Nopember

Judul Tugas Akhir

Modifikasi Perencanaan  
Struktur Gedung Fakultas Ilmu  
dan Administrasi Universitas  
Brawijaya sistem rangka Bresing  
Konsentris Khusus

Dosen Pembimbing

Harun Al Rasyid, ST.,MT.,Ph.D

Ir. Isdarmanu M.Sc

Keterangan

Nama Mahasiswa

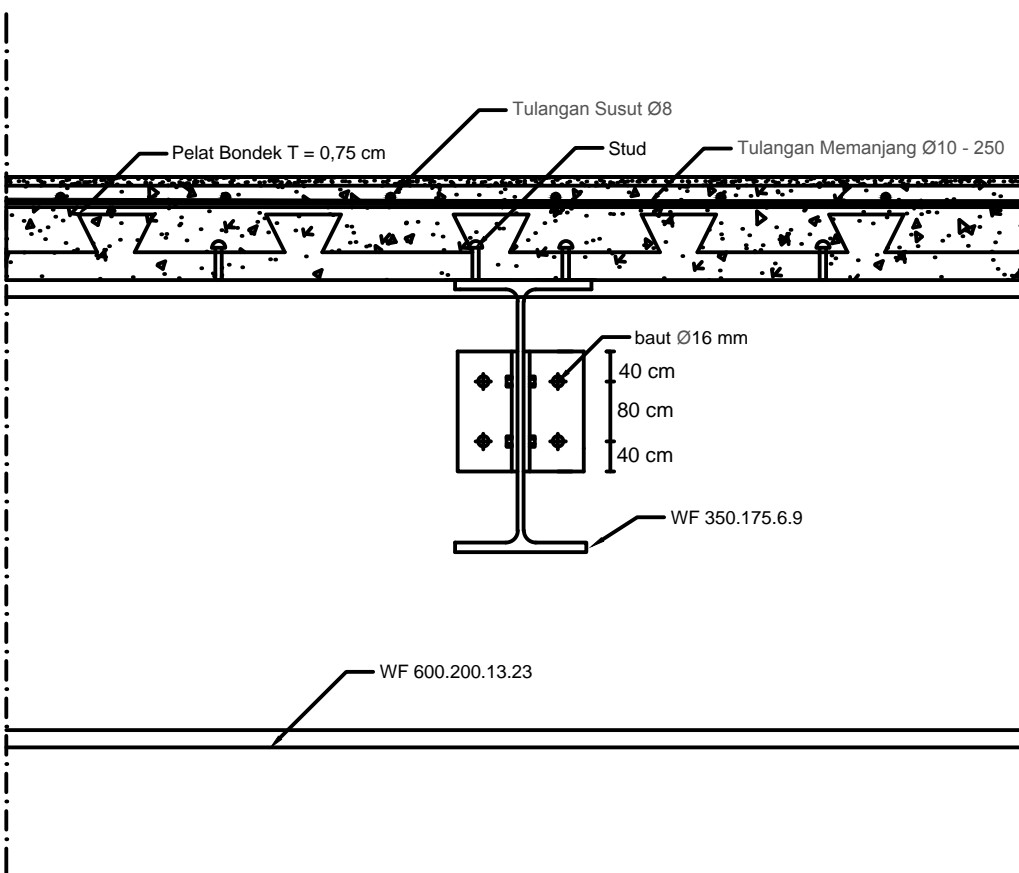
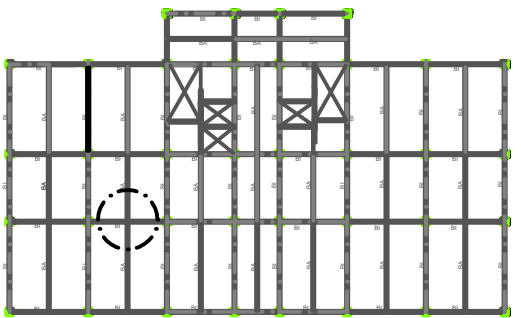
Hanief Haris Setiawan

Revisi	Tanggal	Catatan

Nama Gambar

DETAIL SAMBUNGAN  
BALOK ANAK ATAP KE BALOK INDUK

Skala	No Gambar	Jumlah Gambar
1:100	12	19





Jurusan Teknik Sipil  
Fakultas Teknik Sipil Dan Perencanaan  
Institut Teknologi Sepuluh Nopember

Judul Tugas Akhir

Modifikasi Perencanaan  
struktur Gedung Fakultas Ilmu dan  
Administrasi Universitas Brawijaya  
Sistem Rangka Bresing Konsentris

Dosen Pembimbing

Harun Al Rasyid, ST.,MT.,Ph.D  
Ir. Isdarmunu M.Sc

Keterangan

Nama Mahasiswa

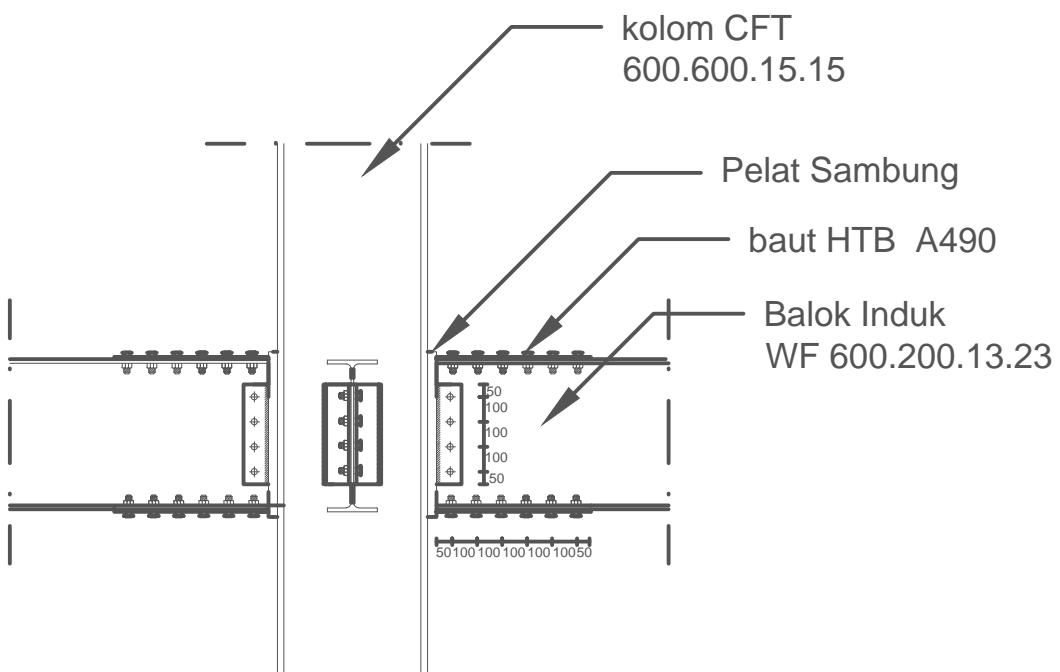
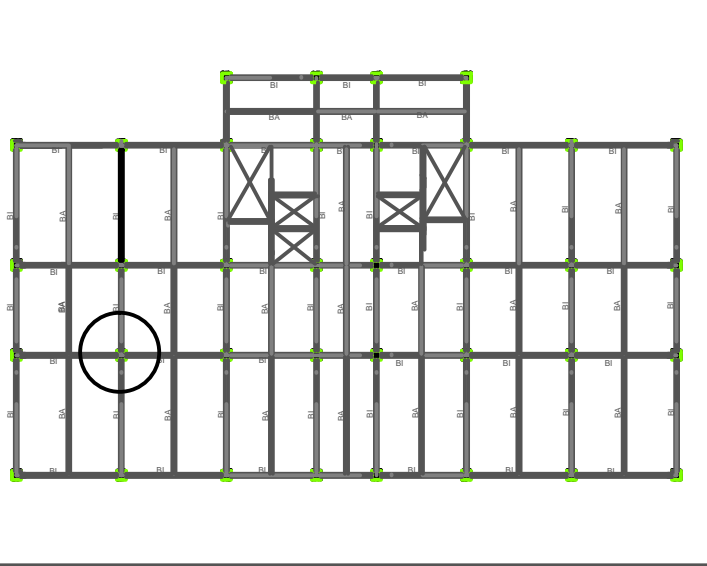
Hanief Haris Setiawan

Revisi	Tanggal	Catatan
--------	---------	---------

Nama Gambar

Detail A Sambungan  
Balok Induk ke Kolom

Skala	No Gambar	Jumlah Gambar
1:30	13	19





Jurusan Teknik Sipil  
Fakultas Teknik Sipil Dan Perencanaan  
Institut Teknologi Sepuluh Nopember

Judul Tugas Akhir

Modifikasi Perencanaan  
struktur Gedung Fakultas Ilmu dan  
Administrasi Universitas Brawijaya  
Sistem Rangka Bresing Konsentris

Dosen Pembimbing

Harun Al Rasyid, ST.,MT.,Ph.D  
Ir. Isdarmunu M.Sc

Keterangan

Nama Mahasiswa

Hanief Haris Setiawan

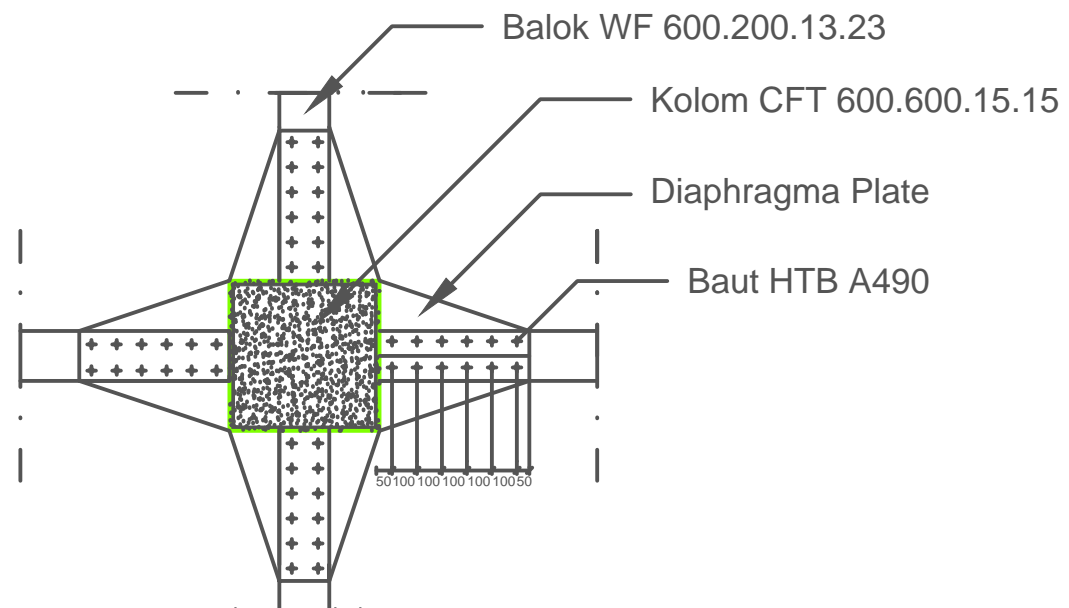
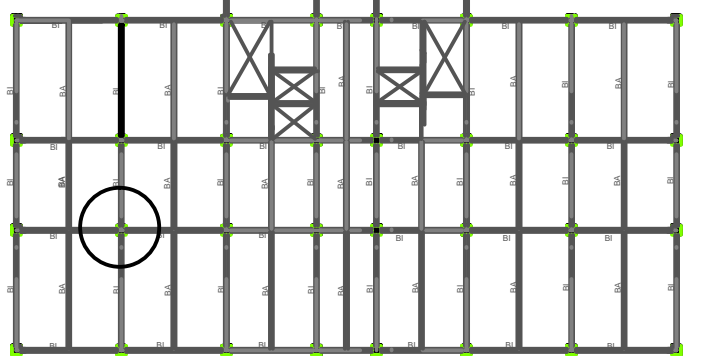
Revisi      Tanggal      Catatan

Nama Gambar

Detail B Sambungan  
Balok Induk ke Kolom

Skala      No  
Gambar      Jumlah  
Gambar

1:30      14      19





Jurusan Teknik Sipil  
Fakultas Teknik Sipil Dan Perencanaan  
Institut Teknologi Sepuluh Nopember

Judul Tugas Akhir

Modifikasi Perencanaan  
struktur Gedung Fakultas Ilmu dan  
Administrasi Universitas Brawijaya  
Sistem Rangka Bresing Konsentrasi

Dosen Pembimbing

Harun Al Rasyid, ST.,MT.,Ph.D  
Ir. Isdarmanu M.Sc

Keterangan

Nama Mahasiswa

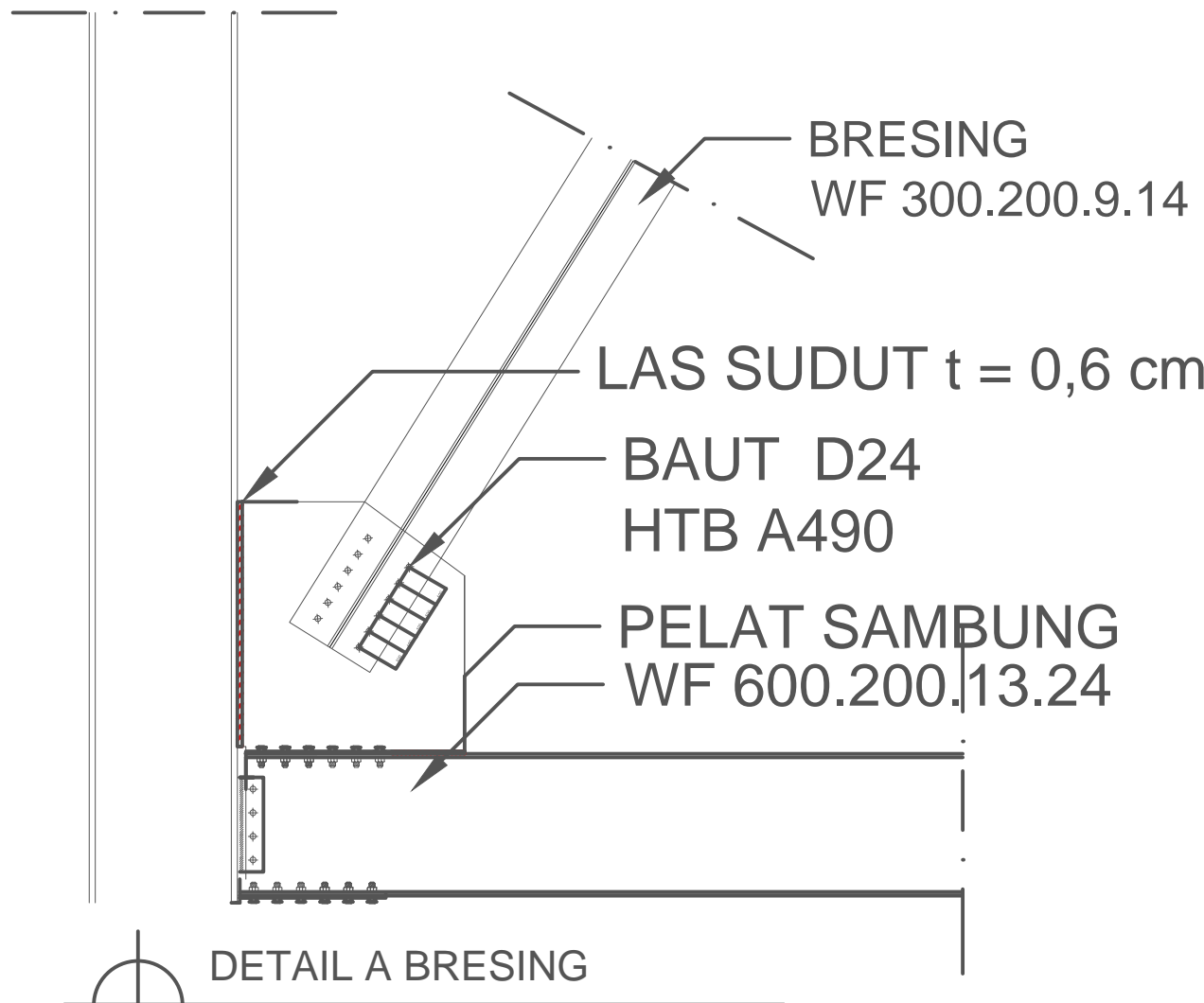
Hanief Haris Setiawan

Revisi      Tanggal      Catatan

Nama Gambar

Detail A Sambungan Bresing

Skala	No Gambar	Jumlah Gambar
1:30	15	19





Jurusan Teknik Sipil  
Fakultas Teknik Sipil Dan Perencanaan  
Institut Teknologi Sepuluh Nopember

Judul Tugas Akhir

Modifikasi Perencanaan  
Struktur Gedung Fakultas Ilmu  
dan Administrasi Universitas  
Brawijaya sistem rangka Bresing  
Konsentris Khusus

Dosen Pembimbing

Harun Al Rasyid, ST.,MT.,Ph.D

Ir. Isdarmanu M.Sc

Keterangan

Nama Mahasiswa

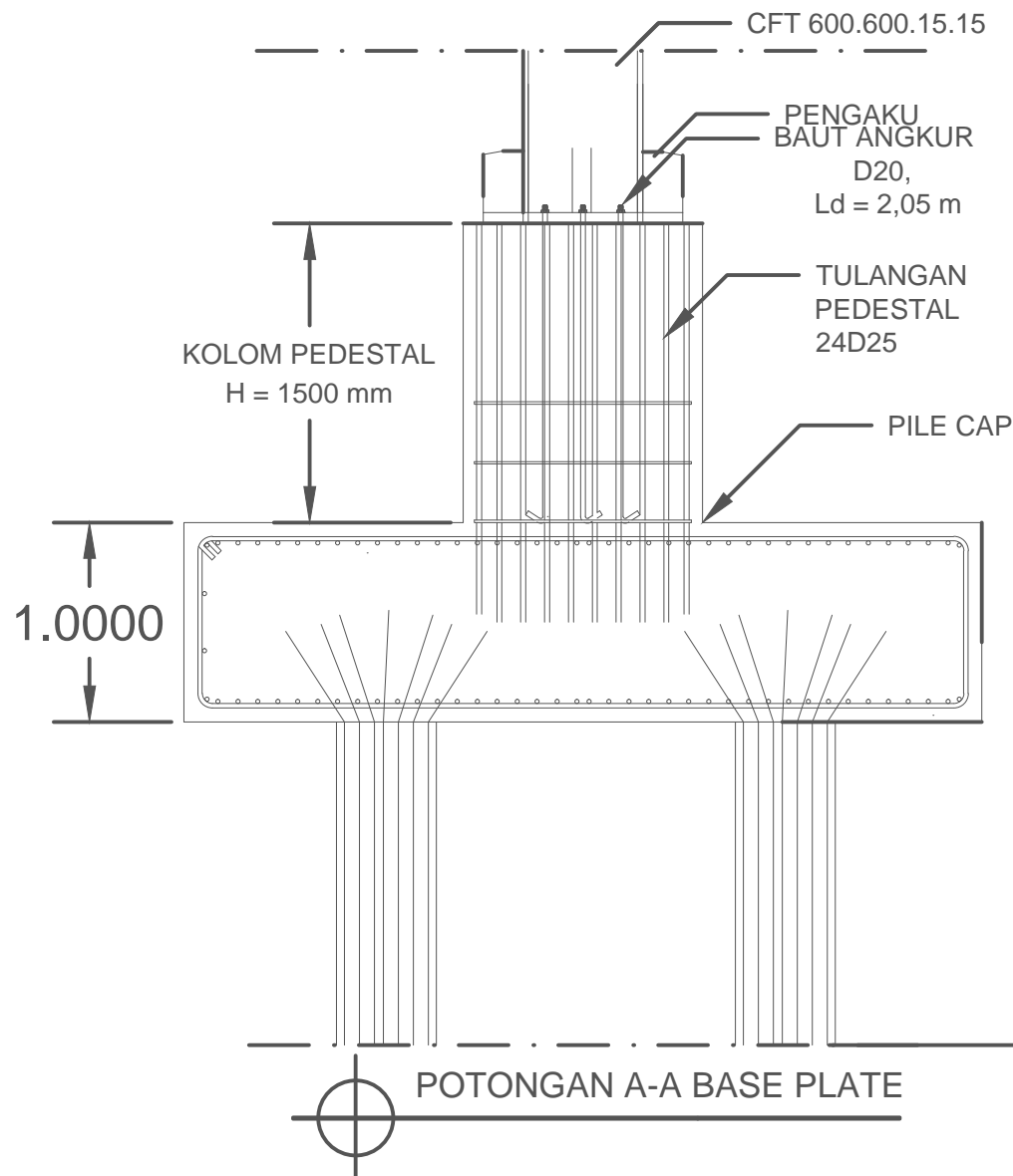
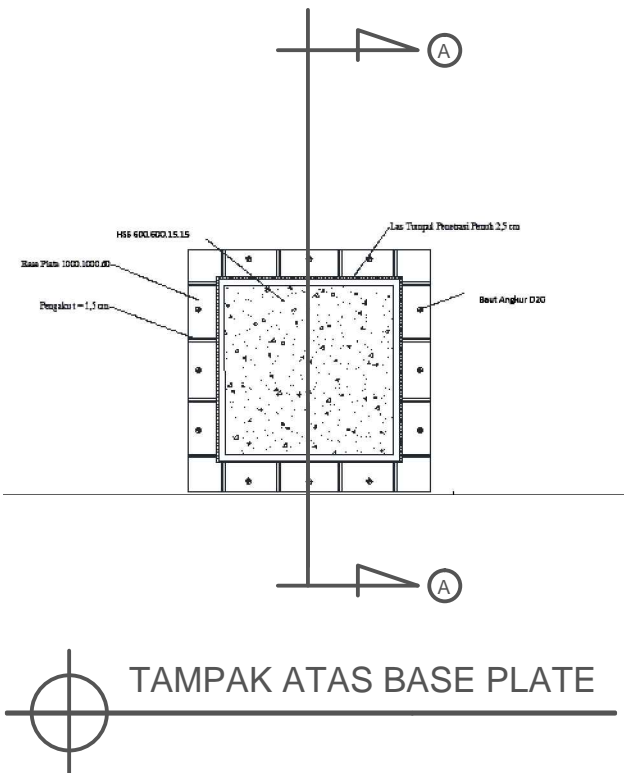
Hanief Haris Setiawan

Revisi	Tanggal	Catatan

Nama Gambar

DETAIL BASE PLATE

Skala	No Gambar	Jumlah Gambar
1:40	17	19





Jurusan Teknik Sipil  
Fakultas Teknik Sipil Dan Perencanaan  
Institut Teknologi Sepuluh Nopember

Judul Tugas Akhir

Modifikasi Perencanaan  
Gedung Fakultas Ilmu dan  
Administrasi Universitas Brawijaya  
menggunakan sistem Rangka  
Bresing Konsentris

Dosen Pembimbing

Harun Al Rasyid, ST.,MT.,Ph.D  
Ir. Isdarmanu M.Sc

Keterangan

Nama Mahasiswa

Hanief Haris Setiawan

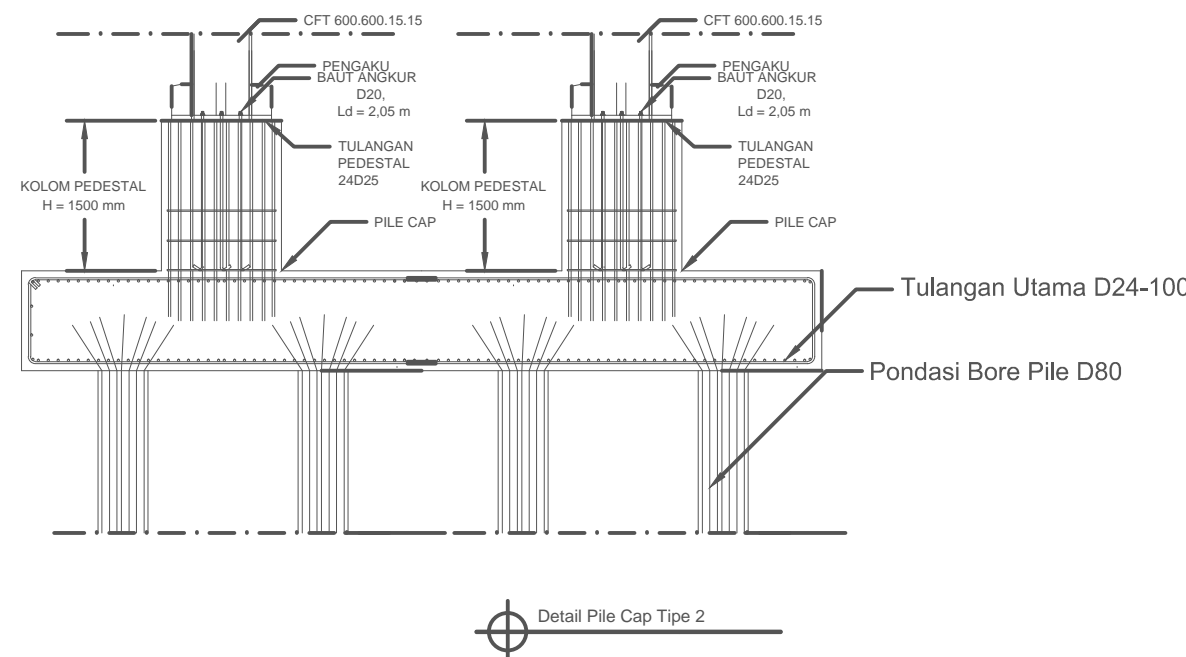
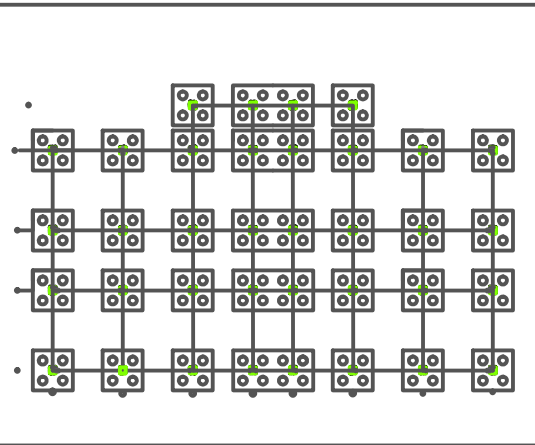
Revisi      Tanggal      Catatan

Nama Gambar

DETAIL PILE CAP  
TIPE 2

Skala      No  
Gambar      Jumlah  
Gambar

1:75      18      19





Jurusan Teknik Sipil  
Fakultas Teknik Sipil Dan Perencanaan  
Institut Teknologi Sepuluh Nopember

Judul Tugas Akhir

Modifikasi Perencanaan  
Struktur Gedung Fakultas Ilmu  
dan Administrasi Universitas  
Brawijaya sistem rangka Bresing  
Konsentris Khusus

Dosen Pembimbing

Harun Al Rasyid, ST.,MT.,Ph.D

Ir. Isdarmanu M.Sc

Keterangan

Nama Mahasiswa

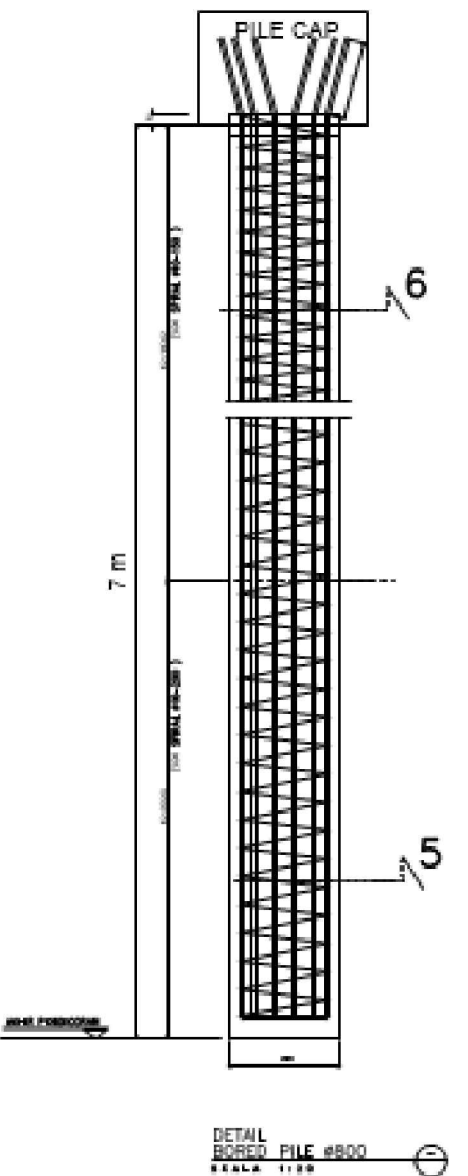
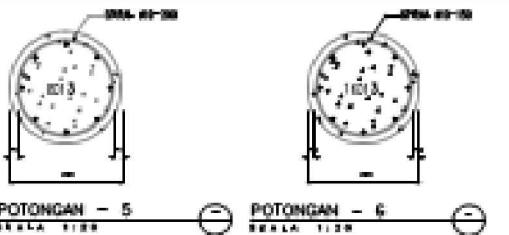
Hanief Haris Setiawan

Revisi	Tanggal	Catatan

Nama Gambar

DETAIL PENULANGAN BORE PILE

Skala	No Gambar	Jumlah Gambar
1:65	19	19



## BIODATA PENULIS



### **Hanief Haris Setiawan**

Lahir di Surabaya pada tanggal 21 Juni 1995. Penulis merupakan anak kedua dari dua bersaudara. Penulis telah menempuh pendidikan formal di SD Hang Tuah X Juanda Surabaya (2001-2007), SMPN 35 Surabaya (2007-2010), SMA Negeri 15 Surabaya (2010-2013), dan pada tahun 2013 penulis melanjutkan pendidikan Sarjana (S-1) di Jurusan Teknik Sipil Institut Teknologi

Sepuluh Nopember Surabaya dengan NRP 3113 100 030. Penulis mengambil bidang studi struktur dengan judul tugas akhir "**Modifikasi Perencanaan Struktur Gedung Fakultas Ilmu Dan Administrasi Universitas Brawijaya Menggunakan Sistem Rangka Bresing Konsentris Khusus**".

Contact Person:

Email : [haniefharis@gmail.com](mailto:haniefharis@gmail.com)